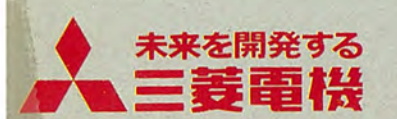
MITSUBISHI DENKI GIHO 三菱電機技報



Vol.51 No.3

マイクロプロセッサ応用特集





菱電機技報

Vol. 51 No. 3 MARCH 1977

マイクロプロセッサ応用特集

目 次

特集論文

プラントコントローラ 《MELPLAC》 50 ハードウェアシステム……千 葉 正・山内 信治・松 村 雅 司・横 内 通 憲・大 野 宣 男 171 プラントコントローラ《MELPLAC》50 の方式とソフトウェア……真鍋舜治・山下弘雄・山本 修・松村雅司・片岡猪三郎 176 マイクロプロセッサの計算機及び周辺端末機器への応用 ………大川清人・今村貞良・江村 弘・西田考一・三浦裕史 182 マイクロプロセッサシリーズの最近の実績 ……………… 野 忠 剛・井手口哲夫・大槻貞二郎・山 田 圀 裕・浜 野 尚 徳 192

普通論文

永久ヒューズの理論考察とその応用製品 ……………………宮 本 紀 男・和 田 勇 一・井 上 武 男・実 森 俊 夫・堀 田 滋 矩 201 東京電力㈱鹿島変電所納め超高圧系統自動操作装置 …………落 合 友 義・安 立 秀 男・金 田 明・矢 野 恒 雄・横 田 敦 信 207 G 形コントロールセンタ ………………………………………………………………………高木洋一郎・辻 徳 雄・田 淵 靖 英 216 最近の大形変圧器技術開発 [II]田村良平・清水英範・平井正好・渡辺次男・石井飯次 220 226

我が国最大級のガスタービン発電機・9375kVA 4 極 CFC 形タービン発電機・新形直流電動機 SD-II 形・新形直流電気動力計・ 名古屋市交通局納めチョッパ制御装置と主電動機(表紙-3)

FEATURING MICROPROCESSOR APPLICATIONS

CONTENTS

FEATURED PAPERS

The Hardware System of the MELPLAC 50 Plant Controller	171
The Construction and Software of the MELPLAC 50 Plant Controller	176
Microprocessor Applications to Computers, Peripherals, and Terminals	182
Application of the Type MUS-10 Universal Computer & Display System to Plant Supervision and Control Toshiyuki Iwanaga et al.	187
New Products in the Microprocessor Series	192

GENERAL PAPERS

The Permanent Power Fuse and Associated Devices	201
275kV Automatic Substation Control Equipment	207
The Type G Control Center	211
An Offset Cassegrain Antenna with a Fan-Shaped Aperture	216
Recent Progress in the Development of Large Power Transformers	220
The Hardware of MELCOM 70 Models 20 and 25 Computers Massyochi Sakao et al.	232

The Development of Apparatus Using Ultraviolet Ionization for the Measurement of SF6 Gas Leaks Osayoshi Imamura et al.

表 紙

プラントコントローラ《MELPLAC》50 当社は永年ブラントの近代化にふさわしい最適のブラント制御システム及びプラント制御用コントラーラを追求してきた。ことに紹介 するプラントコントローラ《MELPLAC》 50 は各種プラントの(1) DDC 用, (2) シーケンス制御用, (3) プラント監視用の各コントローラの用途としてマイクロブロセッサの応用, 高性能で経済性の 高いコントローラ、分散形プラント制御システムコンボーネント等 の特長を有し、最適な規模と性能をもち、使い易い制御システムを 実現するプログラマブルコントローラである。《MELPLAC》は鉄 鋼プラントをはじめ各種のプラントで高い評価を受け多数納入、製 作中である。

COVER

The MELPLAC 50 Plant Controller

For many years, Mitsubishi Electric has been engaged in the development of plant-control systems and plant controllers optimally suited to industrial modernization. The MELPLAC 50 makes use of microprocessors in a high-performance yet economical controller incorporating the features of distributed plant-control system components. This programmable controller makes possible the design of control systems that have optimum scale and functions, yet are easy to use. The MELPLAC 50 plant controller may be used in such applications as direct digital control, sequence control and plant monitoring, and the large number of systems now in service in ironand-steel and other types of plants have been very favorably received.

236

アブストラクト

プラントコントローラ《MELPLAC》50ハードウェアシステム

千葉 正・山内信治・松村雅司・横内通遠・大野音男

三菱電機技報 Vol.51 · No.3 · P 171~175

プロセス制御の分野に適用する機能分散形の専用電子計算機を指向したプラントコントローラ《MELPLAC》50を開発した。《MELPLAC》50は、DDC 制御用高位言語を直接、命令として実行し、現場でのプログラミングやオンラインデバッグ機能を備えて、ソフトウェアの生産性と保守性を効率化することを目的としている。ハードウェアは、高速バイポーラ マイクロプロセッサを使用しプロセス制御に必す(須)の高速応答性を実現している。

東京電力(㈱鹿島変電所納め超高圧系統自動操作装置 落合友義・安立秀卯・金田 明・矢野恒雄・横田敦信

三菱電機技報 Vol.51·No.3·P207~210

変電所における系統操作を確実、かつ高速化するための自動操作装置は昭和42 年に実用化し、多数使用されているが、昭和50年4月275kV超高圧系統用自動 操作装置として初めて適用し、東京電力(榊鹿島・変電所に設置した。この装置は 超高圧変電所における事故時及び平常時の操作を自動化し、操作の信頼度向上 と迅速化をはかるためのもので、装置構成の概要と、その実用化に当たって計 画、設計、製作上特に考慮した諸事項について紹介する。

プラントコントローラ (MELPLAC) 50の方式とソフトウェア

真鍋舜治・山下弘雄・山本 修・松村雅司・片岡猪三郎

三菱電機技報 Vol.51 · No.3 · P176~181

当社では、近年の大形複雑化する、プラント設備のコントローラとして、マイクロプロセッサを用いた、プラントコントローラ《MELPLAC》を開発した、これは、電子計算機を含むプラントコントロール システムにおいて、DDC レベル、あるいはシーケンス コントロールレベルのコントロールを分担するコントローラである。このようなコントローラを開発するとき、どのような項目に着目し、それをどのように解決したかを記した。

G形コントロールセンタ

高木洋一郎・辻 徳雄・田渕靖英

三菱電機技報 Vol.51·No.3·P211~215

G形コントロールセンタは、過去20数年にわたって業界をリードしてきた経験を生かし、特に顧客志向を強く打ち出して開発した600V級の低圧補機モータ用のコントロールセンタである。

本文では、この顧客志向からみたG形コントロールセンタの各種特長を中心 に述べるとともに、従来ややもすると、過小評価してきた新・旧機種の互換性 と、旧機種の補用品対策について、その基本的考え方についても説明する。

マイクロプロセッサの計算機及び周辺端末機器への応用

大川清人·今村貞良·江村 弘·西田考一·三浦俗史

三菱電機技報 Vol.51·No.3·P182~186

マイクロプロセッサ応用製品の開発は、各種の製品分野で活発に行われているが、ここでは計算機関連分野の下記4例について紹介する。

- (1) 計算機への応用 1:ミニ コンピュータ (MELCOM 70/20, 25)
- (2) 計算機への応用 2:オフィスコンピュータ (MELCOM 80/8)
- (3) 周辺端末機器への応用: インテリジェント端末 (M 2350)
- (4) コントローラへの応用: F DISK接続機構 (A 5488)

扇形開口オフセットカセグレンアンテナ

水沢丕雄・高松泰男・倉島徳幸

三菱電機技報 Vol.51·No.3·P216~219

マイクロ波通信用アンテナには、広角度放射特性が優れ、交差偏波放射レベルの低いものが要求されている。今回開発したアンテナは、開口形状が扇形のオフセット カセグレンアンテナ方式を採用した。この結果、近軸及び広角度の放射特性の優れたものが得られた。また交差偏波放射レベルは、水平面内のピークレベルで約-30dBのものが得られた。このアンテナの1次放射器には、フレア角度変化形複モードホーンを使用している。

マイクロプロセッサ応用製品

- MUS-10三菱万能計算表示装置の監視・制御への応用-

岩永俊之·伊藤堅一·西山幸和·石橋彰彦·野村大也

三菱電機技報 Vol.51·No.3·P187~191

MUS-10は、その経済性、信頼性、小形軽量さなどが認められ、急速にその応用分野が拡大されている。従来の電算機とCRTを用いた監視装置では、経済的な面で採用を断念していた分野へも適用が可能になった。磁気ビデオディスクとCRTの結合により画面の容易な作成、遠方データ伝送による信号線の削減、高精度、高速算術演算処理などが主な特長である。

本文では、MUS-10の基本システムの概要とその具体的応用例について述べる。

最近の大形変圧器技術開発[II]

一短絡強度,振動,騒音,付属品,材料—

田村良平·清水英範·平井正好·波逸次男·石井敏次

三菱電機技報 Vol.51·No.3·P220~225

最近の大形変圧器の技術開発につき、第 [1] 編では、絶縁、磁界、漂遊損、 温度上昇に関する研究開発の概要を述べた(1)、本編では、これに続いて短絡強 度、振動、騒音、付属品、材料に関する研究開発の現状について述べる。

マイクロプロセッサシリーズの最近の実績

水野忠剛・井手口哲夫・大槻真二郎・山田圀俗・浜野高徳

三菱電機技報 Vol.51·No.3·P192~197

三菱マイクロプロセッサシリーズ《MELPS》8はCPUをはじめLSIメモリ、周辺回路用IC各種で形成しており、またソフトウェアとして、コンパイラPL/Iロアセンブラ、シミュレータ、モニタ、サブルーチンパッケージ等から構成されコストパフォーマンスの優れたシステム構成が実現されている。《MELPS》8 CPUはワンチップ8ビット並列処理用LSIで、インテル社8080Aと互換性を持つように設計されている。

《MELCOM》70モデル20・25のハードウェア

阪尾正義・深尾忠一郎・今村貞良・松本典明・田原 豊 三菱電機技報 Vol.51・No.3・P226~231

ミニコンの利用分野は近年増々拡大・多様化しているとともに、ミニコン本体は高性能と低価格が厳しく要求されている。この市場の動向に呼応して、シリーズとして体系化した新ミニコン3モデルを開発した。新モデルはCPU・LSIICメモリ等の導入により性能価格比の向上を図るとともに、シリーズ化により小規模から大規模システムまでの適合を図った。更にマイクロプログラムの開放により、ユーザ独自のミニコンシステムの構成を可能にしている。

永久ヒューズの理論考察とその応用製品

宮本紀男・和田勇一・井上武男・実森俊夫・堀田滋矩

三菱電機技報 Vol.51•No.3•P201~206

本文は、限流と選択しゃ断の両立によって短絡保護の理想を達成するのに必要な限流条件と、これに合致する素子(永久ヒューズ)の設計法、応用製品の特長と性能を述べている。永久ヒューズ応用製品は、配電系統主回路に採用されるため、同ヒューズが持つ限流・選択の両立機能や限流効果が、分岐回路末端まで広範囲に提供されることにより、短絡保護システムの合理的、経済的かつ省資源的設計が可能であることを強調して述べている。

紫外線電離形SF6ガス漏洩検知器

今村長義·井田芳明·吉岡武男·桑原 宏

三菱電機技報 Vol.51 No.3 P232~235

SF6 ガスは、その絶縁性能の優秀性によって電力用しゃ断器をはじめとする間 閉機器・装置の絶縁媒体として使われている。これに伴い、ガスリーク検査技 術の向上が強く望まれているが、従来のリークディテクタでは、定量測定が困難であり、かつ放射線源を使用しているので法的規制を受けるなど、現地機器 据付時に手軽にはリークテストが実施できなかった。これらの問題点を解決した紫外線電離形SF6 ガス漏洩検知器を開発し、実用化に成功したので紹介する。

Abstracts

Mitsubishi Denki Giho: Vol. 51, No. 3, pp. $207{\sim}10$ (1977)

275kV Automatic Substation Control Equipment

by Tomoyoshi Ochial*, Hideo Adachi*, Akira Kanada, Tsuneo Yano & Atsunobu Yokota

The first automatic substation control equipment, which provided precise and rapid operation of automatic substations, was put into practical operation in 1967, and a large number of units are now in use. In April 1975 such a restorator was applied for the first time to a 275kV system in Tokyo Electric Power's Kashima Substation, where it serves to automate operation under both abnormal and normal conditions. The article describes the equipment itself as well as its planning, design and manufacture.

*Tokyo Electric Power Co., Ltd.

Mitsubishi Denki Giho: Vol. 51, No. 3, pp. 211~15 (1977)

The Type G Control Center

by Yoichiro Takagi, Norio Tsuji & Yasuhide Tabuchi

The Type G control center, primarily used for controlling 600V-class low-voltage auxiliary-machine motors, fully reflects Mitsubishi Electric's experience as a leader in this industry for more than 20 years. The article describes the advantages to the user of Type G control centers, emphasizing the interchangeability between new and old models, a consideration often understimated in the past, and the problems of providing auxiliary parts for old models.

Mitsubishi Denki Giho: Vol. 51, No. 3, pp. 216~19 (1977)

An Offset Cassegrain Antenna with a Fan-Shaped Aperture

by Moto'o Mizusawa, Yasuo Takamatsu & Noriyuki Kurashima

Antennas used for microwave communications are required to have excellent wide-angle radiation characteristics and a low cross-polarization radiation level. Mitsubishi Electric has recently developed an offset Cassegrain antenna with a fan-shaped aperture, which demonstrates excellent near-axis and wide-angle radiation characteristics and can obtain a cross-polarization radiation level of about $-30~\mathrm{dB}$ in terms of horizontal plane peak value. The primary radiator of the antenna uses a dual-mode horn with a multiple-angle flare.

Mitsubishi Denki Giho: Vol. 51, No. 3, pp. 220 \sim 25 (1977)

Recent Progress in the Development of Large Power Transformers

by Ryohei Tamura, Hidenori Shimizu, Masayoshi Hirai, Tsugio Watanabe & Toshitsugu Ishii

On the basis of an earlier study of R&D work on the insulation, magnetic field, stray loss, and temperature rise of large power transformers, the article reviews recent R&D work on short-circuit strength, vibration, noise, accessories, and materials.

Mitsubishi Denki Giho: Vol. 51, No. 3, pp. 226~31 (1977)

The Hardware of MELCOM 70 Models 20 and 25 Computers

by Masayoshi Sakao, Chuichiro Fukao, Sadayoshi Imamura, Noriaki Matsumoto & Yutaka Tahara

In recent years, the expansion and diversification of minicomputer applications has led to strong demands for upgraded performance and reduced cost. To meet this trend, Mitsubishi Electric has developed a scries of new minicomputers. The new models offer an improved cost/performance ratio through the introduction of LSIs in the CPU, and IC memories, and the serialization means wider applicability to any size of system. In addition, the wider dissemination of microprogramming techniques enables users to construct their own minicomputer system.

Mitsubishi Denki Giho: Vol. 51, No. 3, pp. 232 \sim 35 (1977)

The Development of Apparatus Using Ultraviolet Ionization for the Measurement of $SF_{\scriptscriptstyle G}$ Gas Leaks

by Osayoshi Imamura, Yoshiaki Ida, Takeo Yoshioka & Hiroshi Kuwahara

Because of its outstanding insulating properties, SF₆ is widely used as the insulating medium in circuit breakers and other switching apparatus. This has resulted in a strong demand for improvements in the techniques of gas-leak detection, since conventional detectors not only are ineffective in making quantitative measurements but also, because of their use of radioactivity, are subject to governmental regulations that place obstacles in the way of on-site testing during equipment installation. The article describes the successful development of a gas-leak detector using ultraviolet ionization, which has overcome these difficulties.

Mitsubishi Denki Giho: Vol. 51, No. 3, pp. 171~75 (1977)

The Hardware System of the MELPLAC 50 Plant Controller

by Akira Chiba, Nobuharu Yamauchi, Masaji Matsumura, Michinori Yokouchi & Nobuo Ono

Mitsubishi Electric has developed the MELPLAC 50 plant controller, an exclusive computer of the function-distribution type for application to process control, capable of execution using a problem-oriented language for instruction by direct digital control. It is provided with field programming and on-line debugging functions, for improved software productivity and serviceability. A high-speed bipolar microprocessor is used to ensure the rapid response indispensable for process control.

Mitsubishi Denki Giho: Vol. 51, No. 3, pp. 176~81 (1977)

The Construction and Software of the MELPLAC 50 Plant Controller

by Shunji Manabe, Hiro'o Yamashita, Osamu Yamamoto, Masaji Matsumura & Isaburo Kataoka

The MELPLAC 50 plant controller employing microprocessors has been developed as a controller for large-scale, complex plant equipment. This controller partially controls the DDC level or sequence-control level in a plant-control system using electronic computers. The article discusses the problems and methods of solution in developing the controller.

Mitsubishi Denki Giho: Vol. 51, No. 3, pp. 182~86 (1977)

Microprocessor Applications to Computers, Peripherals, and Terminals

by Kiyoto Okawa, Sadayoshi Imamura, Hiroshi Emura, Koichi Nishida & Hiroshi Miura

The development of products using microprocessors is proceeding actively in various fields of industry, and the article takes up the following four examples associated with computers.

1. Application to MELCOM 70 Models 20 and 25 minicomputers.

2. Application to the MELCOM 80 Model 8 office computer.
3. Application to peripherals and the MELCOM 2350 intelligent

terminal.

Application to controllers with the A5489 flexible disk interface

 Application to controllers with the A5488 flexible-disk interface adaptor.

Mitsubishi Denki Giho: Vol. 51, No. 3, pp. 187~91 (1977)

Application of the Type MUS-10 Universal Computer & Display System to Plant Supervision and Control by Toshiyuki Iwanaga, Ken'ichi Ito, Yukikazu Nishiyama, Akihiko Ishibashi & Hiroya Nomura

The Type MUS-10 universal computer and display system, featuring economy, reliability, and compact, lightweight construction, is rapidly expanding in application. The supervision unit, comprising a computer and CRT, is finding application in fields that were economically impractical in the past. The system features include easy picture formation by a combination of a magnetic video disk and a CRT, reduction of signal wiring by remote data transmission, and a high-accuracy rapid arithmetic function. The article outlines the basic system and gives examples of its applications.

Mitsubishi Denki Giho: Vol. 51, No. 3, pp. 192~97 (1977)

New Products in the Microprocessor Series

by Tadanori Mizuno, Tetsuo Ideguchi, Teijiro Otsuki, Kunihiro Yamada & Hisanori Hamano

The microprocessors of Mitsubishi Electric's new MELPS 8 series consist of a CPU along with an LSI memory, and various peripheral circuit ICs, and use software comprising a $PL/I\mu$, compiler, an assembler, a simulator, monitor, and subroutine package, in a configuration that provides an excellent cost/performance ratio. The CPU consists of a 1-chip 8-bit parallel-operation LSI, and is designed for interchangeability with Intel's 8080A.

Mitsubishi Denki Giho: Vol. 51, No. 3, pp. 201∼6 (1977)

The Permanent Power Fuse and Associated Devices

by Toshio Miyamoto, Yuichi Wada, Takeo Inoue, Toshio Jitsumori & Shigenori Hotta

The article discusses the conditions for ideal short-circuit protection, combining cascade current limitation and selective interruption, and describes the design of a quick self-restoring permanent power fuse together with the features and performance of complete devices employing the PPF. These devices are used in the main circuit of power-distribution systems, and the complex protection, enhanced by the current-limiting effect of the PPF, extends to the ends of branch circuits, enabling design of short-circuit protection systems that are rational, economical, and resource efficient.

プラントコントローラ《MELPLAC》50ハードウェアシステム

千葉 正*·山内信治**·松村雅司**·横内通憲**·大野宣男***

1. まえがき

プロセス 制御の分野に電子計算機が本格的に導入されて約十数年を経過するが、その普及が広範囲にわたり DDC 等の底辺部にまで及ぶにつれて、単に従来のはん(汎)用計算機を適用する方式では システムの大規模化・複雑化・高性能化に対する人間の能力の整合性に不均衡が目立ち始めた。例えば、システムを記述する ソフトウェア の生産性の低下、大規模 ソフトウェア の統合管理に対する人間の能力の限界、故障伝ば(播)の局限化に対する保守能力の問題などが クローズアップされてくる。

以上のような趨勢に対応するため当社では、"機能指向"の専用形制御装置による分散制御化の方向に早くから着目し、1970年にマイクロコントローラ《MELMIC》100を、次いで、シーケンスコントローラ《MELSEC》シリーズを開発して、「現場で簡単に扱える機能別・制御目的別制御コンポーネント」としてファミリー化し、現在までに多数納入している。

このたび更にマイクロプロセッサを活用,広範囲にわたるプラント制御の豊富な利用技術(ソフトウェア)と制御用計算機,《MELMIC》,《MELSEC》を中心とする多数の実績をベースに,各分野の総合技術を結集して,プラントコントローラ《MELPLAC》50を開発・製品化した。本文ではそのハードウェアシステムについて説明する。

2. 《MELPLAC》 50 の基本設計思想

- (2) 機能単位の分散化 システム を指向し、プロセス との結合を直接的 とすることにより、システム を単純化し分かりやすい構成とする。
- (3) 制御向き高位言語を採用し、これを ハードウェア で直接実行させることにより、 プログラム 作成と現場での プログラム 修正の効率化を図り、ソフトウェア及び オンラインデバッグ の効率化に重点をおく。
- (4) 計算機制御 システム を形成する場合は、 データ の授受を中心とした疎な結合とし、上位計算機の負荷の軽減を図る。

3. 特 長

- (1) 制御向き高位言語の採用
 - (a) ビット演算(シーケンス 制御)と ワード演算 (算術演算処理) との並行処理
 - (b) Conditional Load と Compare 命令の採用による処理 フローの簡単化
 - (c) ビット変数、ワード変数の メモリ の共用
 - (d) データ 転送効率化のための MV, #命令 (多変数制御)
- (2) 高位言語を機械語として直接実行可能
 - (a) 直接 アドレッシュング 主体による プログラム の明快化
 - (b) トランスファテーブル の採用による プログラム リロケーション 機能の実現

- (c) 遊 アセンブル のための ラベル の採用
- (d) インデックス 命令の簡単化
- (3) プロセス と プログラム の結合が直接的
 - (a) Load/Store 命令による メモリアクセス と入出力動作の一元化
 - (b) ソース の採用による制御対象の直接指定
- (4) 容易な デバッグ と文書化
 - (a) プログラムメモリ と データメモリ の完全分離
 - (b) データフロー 主体の アーキテクチュア と コントロールフロー の単純化
 - (c) 構造的 プログラミング の容易な命令体系
 - (d) プログラミング パネル による現地 デバッグ と各種 オンラインデバッグ 機能
- (e) オフライン 処理による アセンブラ, 逆 アセンブラ の サポート 体系の 完備
- (5) 独立機能 モジュール による フレキシブル な ハードウェア
 - (a) マイクロプロセッサ の適用
 - (b) マイクロプログラム 制御方式の採用
 - (c) タイマ, カウンタ 機能の独立処理
 - (d) 大幅に ハート゚ウェァ 化された割込処理
- (6) 複合 システム
 - (a) 複数 CPU による ロードシェア システム と経済的な バックアップ システム
 - (b) データベースの疎な結合による上位計算機の負荷軽減

4. ハードウェア構成と各部の機能

《MELPLAC》 50 の基本 ハードウェア アーキテクチュア を図 1. に、制御盤 実装例を図 2. に示す。

以下に各部の機能を示す。

4.1 CPU

CPU は、プログラミング パネルによって作成されたプログラム に基づき、プロセス 入力情報の処理や周辺機器の制御を行う部分で、プラント 制御に不可欠な高速処理性能と、シーケンス 制御・算術演算処理の同時処理機能及びプラント 制御向きの高位言語体系を備えた高性能プログラマブルコントローラ を構成する。

CPU は次の各部から構成され、 それぞれは、 $1 \sim 2$ 枚の大形機能別 $1 \sim 1$ で実現されている。(図 3. 参照)

- (1) 演算制御部 (CPU カード)
- (2) プログラムメモリ 部
- (3) データメモリ 部
- (4) メンテナンス パネル
- (5) CPU 電源

CPU の仕様を, 表 1. に示す。

演算制御部は、プログラムメモリ部から読出された命令に従い、指定された ソース に対して ビット 演算、 ワード 演算、分岐判定等を行う。命令はすべて 1 語命令形式で構成され、基本語構成は、上位 6 ビットで命令 コードを、次の 2 ビットで修飾指定を、下位の 16 ビットでソース

指定を行う 24 ビットワード である。 命令の解読・実行はすべて マイクロ プログラム により行われる。

割込みは、High、Low 二つのレベルをもち、おのおの8点、24点の割込要因が設けられており、割込処理は演算制御部で実行される。《MELPLAC》50では、割込要求に対応した割込処理プログラムへの分岐は ハードウェアで自動判定され、アキュムレータ、プログラムカウンタ等の

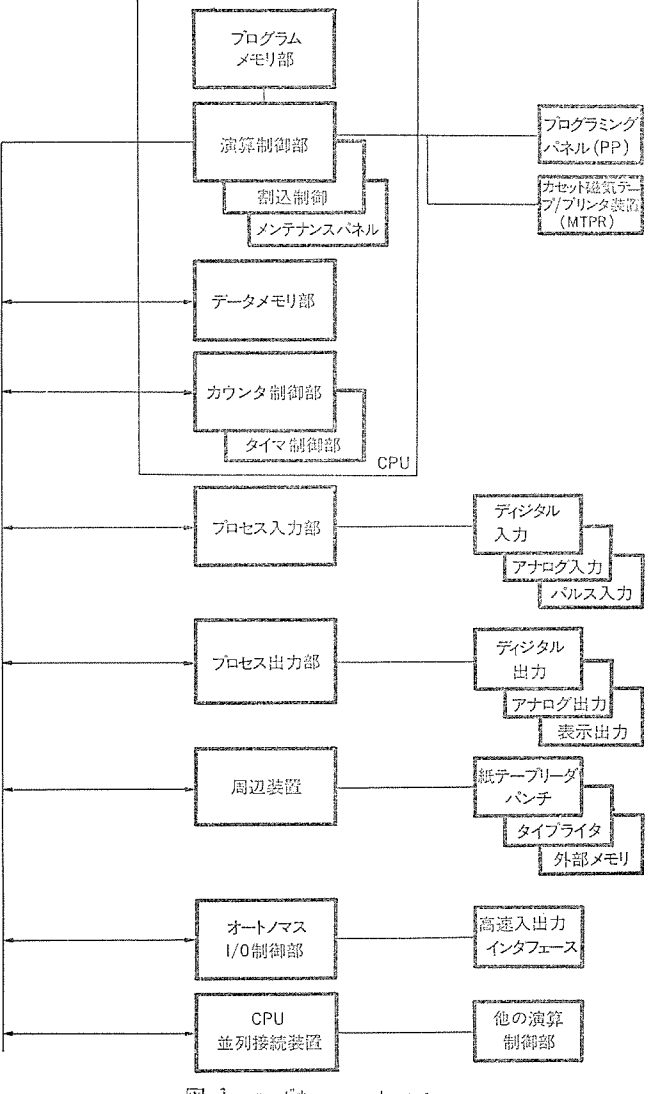


図 1. ハードウェア アーキテクチュア

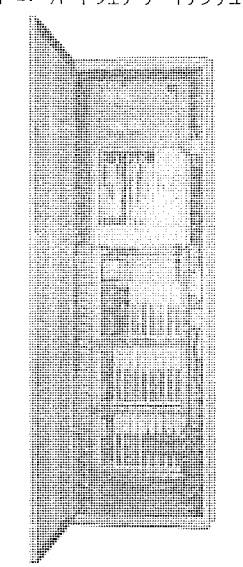


図 2. 《MELPLAC》 50 制御盤

内部レジスタの退避も自動的に行われるため、割込処理プログラム は非常に簡単となりかつ、割込要因別に構造化が可能になる。

プログラムメモリ 部は、25 ビット×4 KW の メモリカード からなり、CPU には最大2枚、すなわら8 KW まで実装できる。《MELPLAC》50では、プログラミングパネルによるプログラムロード時以外は、オンラインで使用中は読出し専用として動作し、書込みを必要とするデータエリアとは完全に分離されているため、プログラムは、プログラムメモリエリア外に飛

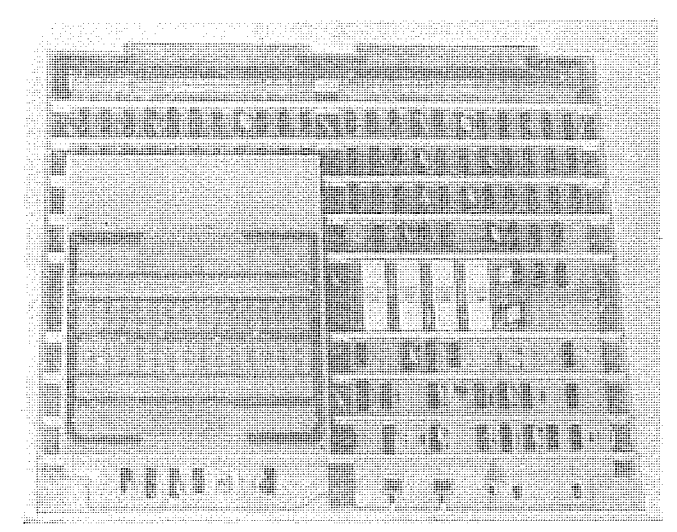


図 3.「CPU カー『ド

表 1. CPU, カウンタ, タイマ 仕様

●主仕様

演算制御部	
演 算 方 式	ソース指定によるワード/ビット処理制御
ワード処理	2 進並列,固定小数点演算, 1 語=16 ビット
ビット処理	シーケンシャル演算 1語=1ビット
制御方式	マイクロプログラミング方式
命令	35 征
演 算 速 度	
加減第	3.5 μs
乗 算	22.5 μs
除	35 μs
ビット 論理演算	4 μs
割込制 御	割 込要因自動判別方式
レベル	ハイ/ロー 2レベル
割 込 要 因	ハイレベル 8点 (うち6点は内部割込)
	ローレベル 24 点 (うち 6 点は内部割込)
サブルーテン	3 重ネスト処理まで可能
インデックス修飾	インデックスレジスタ, 2語 (X, Y) 装備
環 境 条 件	
温度	0~50°C
湿度	10~95% RH (湿球 35°C 以下,結構無し)
電 源	AC 100/110V +10%-15% 50/60 Hz
主記憶部	ワイヤメモリ又はコアメモリ
サイクルタイム	1 μs
プログラムメモリ	max 8 K 語 1 語=24ビット+バリティビット, (4 K 語単位)
データメモリ	2 K 語 1 語=16ビット+パリティビット
入出力部	直接ソース指定方式
システムデ	プログラミングパネル (PP)
バッグ装置	カセット磁気テープ/プリンタ装置 (MTPR)

❷カウンタ 仕様

方 武	比較回路付プリセッ
	ト可適カウンタ
点 数	64点 max
計 数 值	有効 15ビット
	0~32,767 10 進
入力バルス周波数	max 4 kHz·····
	8点同時処理可能
	max 1 kHz·····
	56点同時処理可能

❷タイマ 仕様

	1 (
ガ		定	プリセットク	マウンカ
			プリセットク ウンタ方式 128点 max	
点		Ü	128点 max	
Rÿ	限	値	0∼3276.7 s	max
イン	クリメン	ŀ		
	1	0 ms	0~327.67 s 0~3276.7 s	64 点
	10	0 ms	0∼3276.7 s	64 点

び出すことは無く、 また ハードウェア 故障以外ピプログラム 内容が変わる ことはないので万一 プログラムエラー が発生しても、 それが原因でプログラム 破壊を自己増殖し暴走してしまう恐れはない。

データメモリ 部は,17 ビット× 2 KW の メモリカード からなり,一時記憶(ソース MW,M),トランスファベクトル(ソース P)及び割込発生時の サブルーチン リターンアドレス や演算制御部の内部 レジスタ の内容などの退避 ェリァ として使用される。

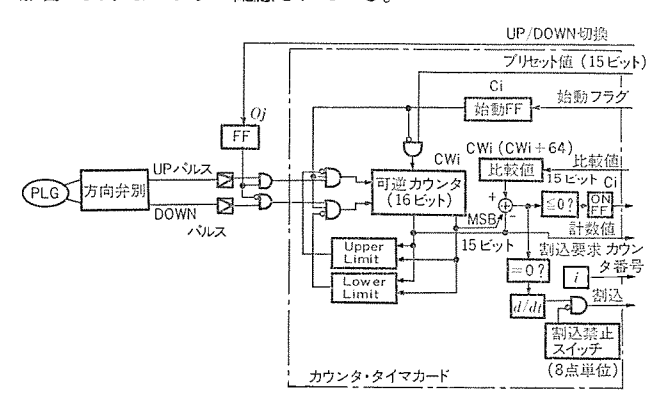
プログラムメモリ 部及び データメモリ 部は、 コアメモリ と ワイヤメモリ とが準備されており、いずれも、電源の オン/オフ や停電等で メモリ 内容が破壊されないよう配慮され、共に、 $0.5~{\rm KW}~{\rm C}$ との write protect (partial ROM) 機構が設けられている。

メンテナンスパネル は、システムデバッグ の際、ソース 内容の変更や データモニタ を オンライン 又は オフライン で行うための装置で、 特に データ の仮設定機能は、制御 パラメータ の オンライン チューニング や プログラム 変更時,原データ や原プログラム を保存したまま一時的に変更の効果を確認できるので、システムデバッグや制御品質の向上目的に非常に有効に利用できる。メンテナンスパネル にはこの外 4 ビットの モニタランプ 付 ステイタス フリップフロップ が備えられており、 うち 1 ビット は外部出力をとり出すことができるので、用途に応じて プログラム で自由に利用することができる。

CPU 電源は、CPU 及び カウンタ・タイマカード に電源を供給するための装置で、 外来 サージの フィルタリング 及び電源投入しゃ断の シーケンス が内蔵されている。

4.2 カウンタ・タイマカード

カウンタ・タイマカードは、CPU フレーム に実装され、外部から入力される カウンタ 入力信号の計数(カウンタ 機能)及び、内部で発生される一定周期の クロック 信号の計数(タイマ 機能)を行う装置で、 高速応答性を実現するため、 CPU の演算制御部とは独立した専用の処理機能をもち、 CPU の メインプログラム や処理速度が、計数処理のために影響を受けないように配慮されている。



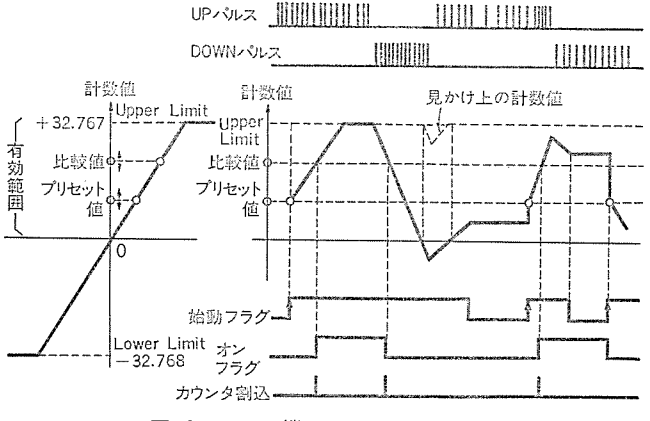
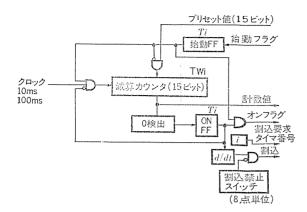


図 4. カウンタ 機能系統図及び動作例



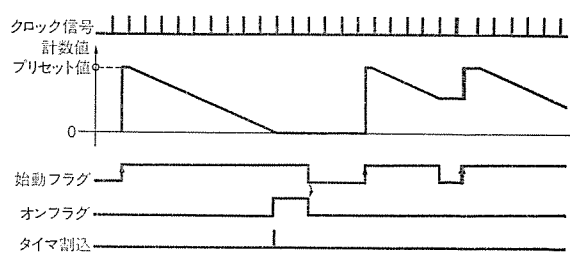


図 5. タイマ 機能系統図及び動作例

カウンタ は、比較器付 プリセット 可逆 カウンタで、計数値≥比較値を判定し、カウンタオンフラグが セット される。カウンタ 入力は、パルス 発振器の出力を方向弁別し、UP パルス 及び DOWN パルスとして入力される。カウンタ 点数は、最大 8 kHz 用 8 点、最大 1 kHz 用 56 点の計 64 点で、プリセット値、比較値及び計数始動 フラグは プログラム により設定され、計数値、カウンタオンフラグ は、プログラム で読出すことができる。プリセット値、比較値、計数値の計数範囲は、すべて、0~32,767で、計数実行中に、計数値=比較値となったとき、割込みを発生してCPU に通報することができる。カウンタの機能系統図及び動作例を図 4. に示す。

タイマ は、プリセット ダウンカウンタ 機能をもち、 タイマ 始動 フラグ が オン 状態のとき、計数値 = 0 の場合に タイマオンフラグ が セット される。 タイマ 点数は、 クロック 周期が 10 ms の タイマ 64 点、 100 ms の 94 で 64 点 の計 128 点で、 プリセット 値及び タイマ 始動 フラグ は プログラム で 設定され、 計数値及び タイマオンフラグ は プログラム で 読出すこ とができる。 プリセット 値及び比較値の 有効値は、 $0\sim327.67$ 秒(10 ms の場合)及び $0\sim3276.7$ 秒(100 ms の場合)であり、 タイマオンフラグ が セット された 瞬間に 割込みを発生して CPU に 通報することができる。 タイマ の 機能系統図及び動作例を図 5.60 に 示す。

4.3 プロセス入出力部

《MELPLAC》 50 の プロセス 入出力部は,ディジタル 入出力, r r r r r 八出力のそれぞれが標準として準備されている。プロセス 入出力部の仕様を表 2. に示す。

ディジタル 入力用の ユニット(プロセス 入力 ユニット)は、 $AC~100~V~\Pi$, $DC~100~V~\Pi$, $DC~48~V~\Pi$ の各 ユニット が用意され、 リミットスイッチ や 各種 スイッチ 類の プロセス 入力状態を読込むために使用される。

ディジタル 出力用の ユニット は、(プロセス 出力 ユニット) AC 100/200 V 用,DC 48 V 用,DC 100 V 用の各 ユニット が用意され,ソレノイドバルブ, ランプ 表示等 プロセス に直結される アクチュエータ 類を駆動するために使用される。 プロセス 入力, プロセス 出力の標準 ユニット の仕様を表3. に,外観の例を図 6. に示す。

アナログ入力は、CPU からの指定信号により マルチプレクス されたァ

表 2. プロセス 入出力部仕様

	実 装 点 数	ワード 最大 64 語 (16 ビット/語) ビット 最大 1,024 ビット (64 語のワードと しても使用可)		
ディジタル入力	種類と仕様	表 3. 参照		
	入力ユニット収納フレーム	128 点/フレーム入力専用 64 点/フレーム入出力混在 64 点単位		
	etz 14 15 496	ワード 最大 64 語 (16ビット/語)		
	実 装 点 数	ゼット 最大 1,024 ビット (64 語のワードと しても使用可)		
والمارية والمناسب	種類と仕様	表 3. 参照		
ディジタル出力		128(64)点/フレーム出力専用		
	出力ユニット	64(32)点/フレーム入出力混在		
	収納フレーム	64(32)点単位		
		() 内は出力ユニットの種類による		
	実 装 点 数	最大 208 点 (16 点单位)		
	変 換 精 度	±0.1%		
アナログ入力	変 換 値	±10 V→12 BIT		
, , , , , , , , , , , ,	スキャニング速度	5,000 点/s		
	絶縁アンブ	高抵抗絶縁方式の場合 16 点単位		
	実 裝 点 数	AC 1,500 V 耐圧絶縁の場合 8 点単位		
	実 装 点 数	最大 256 点 4 点单位		
アナログ出力	変 換 精 度	1/2 LSB 0.1%		
) テロク出力	変 換 値	12 BIT → ±10 V		
	収納フレーム	24 点/フレーム		

表 3. プロセス 入出力 ユニット 仕様

租	アイテ	形名	入力信号(プロ			特優	用 途
類	4		電圧	電 流	点数		
ブ	1	PIAA	AC 100 V	10 mA	16	AC 入力 トランス絶縁 無接点式	プロセス一般 リミットスイッチ, リレー等
・ロセス	2	PIDD	DC 48 V	20 mA	16	DC 入力 フォトアイソレー	コンピュータ用
へ入力ユ	3	PIDE	DC 100 V	20 mA	16	∫タ絶縁 ∫無接点式	プロセス一般
ニット	4	PICA	DC 48 V	10 mA	16	}DC 入力	山
	5	PICB	DC 100 V	10 mA	16	∫リードリレー絶級	143 12
	ア	Т	1		1	i	7
種	1	形名	出力信号(プ	ロセス側)	実装	特 長	用 途
類	テム	10 43	電圧	電流	点数	10 10	713 255
_	1	POAB	AC 100/200 V	2 A	8	AC 出力 無接点式	プロセス一般 AC バルブ用
プロセス	2	POAC	AC 100/200 V	1 A	16	BCR 使用	出力回路独立
点			AC 100 V	1 A	16	接点出力	16点独立接点
ガュ	3	POCG	DC 100 V	0.3 A	10		10 /// 34 35 18 ///
出力ユニット	4	POCG	DC 100 V	0.3 A 100mA	16	オープンコレクタ 出力 16回路共通コモン	コンピュータ用 DC バルブ, クラッチ

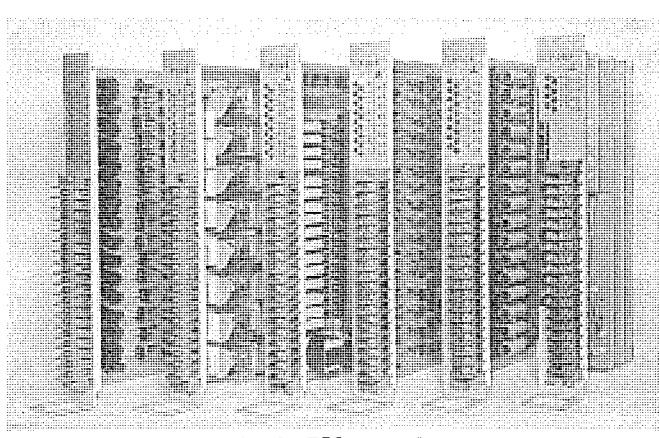


図 6. PIO カード

ナログ 信号が A/D 変換され、変換完了を割込みとして CPU に通報 するとともに、ディジタル 値を読込むための ユニットで、プロセス 側とは すべて絶縁されている。

rナログ 出力は, 出力 レジスタ の データ 内容を D/A 変換した後,絶 縁増幅器で プロセス 側と絶縁して外部 に 出力するための 2 = y + y + z = 0る。

《MELPLAC》 50 では、上記の各種 プロセス 入出力部を CPU と接続するために、 バス 増幅 ユニット を設け、 バスライン の延長・分岐のための バス 増幅と、 CPU に対する雑音の バッファ を行う。

4.4 デバッグ機器

《MELPLAC》 50 では,52 テムデバッグ 用機器 として, プログラミング パネル(PP)及び カセット 磁気 テープ・プリンタ 装置(MTPR) を準備している。

4. 4. 1 プログラミング パネル (PP)

PP は、CPU と接続して使用する専用の マンマシン インタフェース装置で、主として現場で計算機知識を必要とせずに システムデバッグ、 メンテナンス 及びそれに付髄する諸機能を能率的に行うことを目的とし、可機性、CPU との オンライン 着脱など操作性を配慮した装置である。PP は、マイクロプロセッサ を内蔵し以下の機能を実行する。図 7. に プログラミングパネル を示す。

- (1) CPU HALT 状態における PP の機能
 - (a) プログラム 読出し及び書込み
 - (b) データ 読出し及び書込み
 - (c) シングルステップ 実行
 - (d) ソースサーチ 及び アドレスサーチ
 - (e) トランスファ ベクトル 読出し及び書込み
 - (f) プログラム リロケート

プログラム 読出し及び書込みは,指定した プログラムメモリアドレス の命令を読出して表示したり書込む機能で,アドレス や, 命令, ソース 等は 10 進数 や高位言語で直接指定できる。

f-g 読出し及び書込みは, 指定した y-z の内容を 10 進数で読出したり書込む機能である。

シングルステップ 実行は、指定した プログラムアドレス から記憶されている 命令を 1 番地ずつ実行する t-ドで、 各実行過程における CPU やプロセス の状態を t-タすることができる。

ソースサーチ は、 指定された ソース が含まれている プログラムアドレス を サーチ し表示する モード で、ソース の割付けを変更する場合、所要の ソ ース を含む プログラムアドレス をすべて リストアップ する場合などに用いら

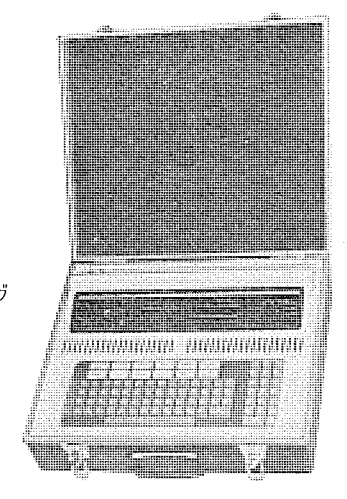


図 **7**. プログラミング パネル

れる。

アドレスサーチ は, 任意の プログラムアドレス から指定された プログラムアドレス まで連続して プログラム を実行させる モード で, プログラムデバッグ 時 に用いる。

トランスファベクトル 読出し及び書込みは、分岐先ァドレスを記憶したトランスファテーブルを読出したり、 プログラム 書込み時自動的に分岐先ァドレスをトランスファテーブルに埋込む機能で、 この機能により、メモリの絶対番地を意識せずプログラムできる。

プログラムリロケートは、プログラムを メモリ 上で移動させる機能で、 デバッグ 中プログラムの一部追加や削除を必要とするときに便利な機能である。

以上の機能はいずれも、DDC 制御などで現場デバッグや システム 調整を行う場合、十分な言語 プロセッサ の支援が受けられないという問題を解決する手段として、可搬形言語 プロセッサ の機能を PP にもたせて、マンマシン インタフェース の便宜を図ったものである。

- (2) CPU RUN 状態における PP の機能
 - (a) プログラムモニタ
 - (b) ソースモニタ

プログラムモニタ は、 指定された プログラムアドレス の実行時における アキュムレータ やソース の内容を、プロセス 運転中に モニタ する機能である。

ソースモニタは、指定されたソース内容をプロセス運転中にモニタする機能で、プログラムモニタと併せ、プロセスの時々刻々の状態変化をオレラインモニタできる。プログラムモニタ及びソースモニタは、それぞれ、指定されたプログラムアドレス及びソースアドレスをインクリメントしたりディクリメントすることができる。

4.4.2 カセット磁気テープ・プリンタ装置 (MTPR)

MTPR は、プログラム の外部記憶と ハードコピーの機能をもち、プログラム の保存、交換、修正、照合及び、プログラム 作成時の操作記録、プログラム 内容の記録保存に用いられる。MTPR は、CPU、PP と接続して CPU の プログラム 転送に用いられる外、PP のみと接続して オフライン でプログラム の作成・記録ができる。カセット 磁気 テープ に記録された プログラム は、ホストコンピュータ で逆 アセンブル し、 リスティング や コンコーダンスリスト を作成した り、 計算機で アセンブル された プログラムテープを MTPR を介して CPU の メモリ に ロード する機能を持つ。 図 8. に MTPR を示す。

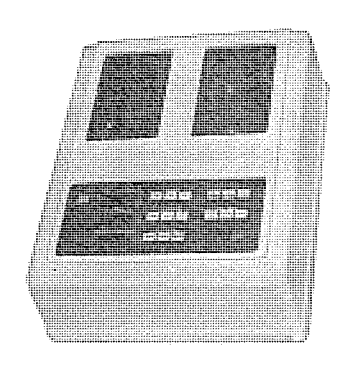


図 8. カセット磁気 テープ・プリンタ 装置 (MTPR)

5. RAS 機 能

《MELPLAC》 50 は、その使用目的から RAS(Reliability, Availability, Serviceability)機能には十分配慮され、保守・操作性の向上を図っている。例えば

(1) 機能別に独立した大形カードを採用し、故障同定が容易

- (2) LSI の採用により、高度な機能にもかかわらず部品点数が少ない
- (3) 豊富な異常検知機能
- (4) プログラムメモリ と データメモリ の分離により、 プログラム の自己破壊 増殖の防止
- (5) メモリの パーシャル ROM 機構による誤書込み防止
- (6) PP の セルフチェック 機構
- (7) PP の対 CPU オンライン 着脱機構
- (8) 並列接続装置による複合 システム の構成
- 等,種々の対策が施されている。

《MELPLAC》50では、並列接続装置を用いることにより、

ロードシェアシステム

バックアップシステム

を構成するととができる。

ロードシェアシステムは、2台以上の CPU に、それぞれ異なった プログラム を実行させながら、 共通の入出力装置(プロセス 入出力又は周辺機器)を 9745 で 70 できる システム で、 最大 4台の CPU を接続することができる。

バックアップシステムで、 2 台以上の CPU を 1 台の CPU で バックアップ する システム で、 バックアップ 用 CPU は、 スタンドバイ 状態のとき診断 プログラム により自己診断を行い スタンドバイ CPU の正常状態の維持を保証することができる。

ロードシェアシステム 及び バックアップシステム の システム 構成 モデル を図 9. に示す。

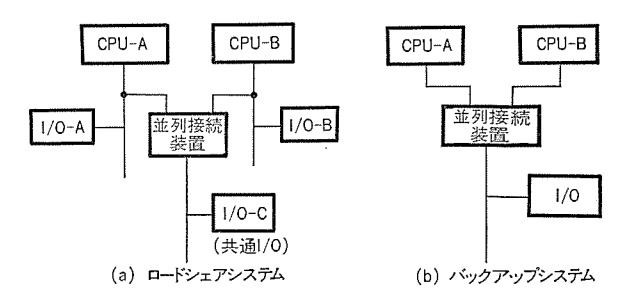


図 9. 《MELPLAC》 50 複合 システム

6. む す び

以上、ソフトウェア 生産性の向上を指向し、機能単位の分散化 システム に適したはん(汎)用 コントローラ として開発された《MELPLAC》50の ハードウェアシステムの概略を述べた。"専用機能形"の目的は、要求される制御機能ごとに制御装置を割付け、各機能に最も適合した言語を用意するとともに、各現場でのセルフプログラミングの機能と オンラインデバッグ 機能を備えて ソフトウェア の生産と保守を簡単化するととにある。これらの目的で開発された装置としては、用途は異なるが各種 シーケンスコントローラ、電卓、ビリングマシン等が挙げられる。

DDC 用の"電卓"を目指して、当社の総合技術を結集して開発された プラントコントローラ《MELPLAC》50 が、各種 プラント に適用され、広く普及して所期の目的を達成するために、ユーザ、システム 設計者、OEM メーカ等関連分野諸氏のご批判、ご指導を仰げれば幸いである。

最後に、《MELPLAC》50を開発するにあたり、有益など意見、 ご討論をいただいた関係諸氏に厚く感謝する。

(昭和 51-12-10 受付)

プラントコントローラ《MELPLAC》50の方式とソフトウェア

真鍋舜治*·山下弘雄**·山本 修**·松村雅司***·片岡猪三郎*

1. まえがき

近年の各産業界における制御に関する分野での変遷を見ると,その 進展は著しいものがある。すなわち

- (1) いわゆる自動制御の言葉で代表される,理論及び装置の適用される制御対象を包含する各種プラントが急速に増加している。これにより,最適な制御システム及びシステムを構成する ハードウェアシステムの多様性は著しく増している。
- (2) 制御対象である各種機械を駆動するための、電動機、油圧機器、空圧機器、各種 リレー類に制御信号を与える DDC レベル の コントローラ、あるいは シーケンス 制御用の コントローラ は、 制御の複雑さに伴い、プログラマブル コントローラ の採用が一般化している。
- (3) プラントの規模が大きくなると、上記 プログラマブル コントローラの上位に電子計算機が配置される例が多いが、この場合、上位電子計算機と、プログラマブルコントローラの果たす仕事の配分をどのようにするか。あるいは制御システムの経済性、信頼性、制御性能、の点からの検討が重要である。
- (4) ユーザ において、電子計算機、あるいは プログラマブル コントローラ を扱う技術者についていえば、過去にどういう技術分野の経験があり、現在どういう役割を担っている セクション の技術者が扱うかが重要である。

このようなことは、プログラマブル コントローラ の言語体系 (ソフトウェア 体系) に大いに関係がある。

(5) 半導体製造技術の発達はめざましく, これに伴い マイクロプロセッサ が出現し実用化されている。

当社は以上に述べた制御の分野における変化の一端を担ってきたが、上記五つの問題をふまえて、 ここに新しく プラントコントローラ 《MEL-PLAC》の商品名を有するプログラム コントローラ を開発した。

《MELPLAC》は,電子計算機を含む, プラントコントロール システム において,上位計算機の下位に属する DDC_{UVIN} の コントローラ であり,複雑な機械の シーケンス 動作を制御する シーケンス コントローラ である。

《MELPLAC》は、最近の システム に必要な経済性、信頼性、保守性、取扱い性 (ソフトウェア 言語体系) につき十分な検討を加えてあるが、特に ソフトウェア の取扱いに大きな特長を持っているので、 本稿でその概要を説明する。

2. 《MELPLAC》の言語体系の考え方

《MELPLAC》言語体系の開発の基本的発端は、拡大する プラント 制御 システム において、プログラマブル コントローラ、又は コンピュータ を プロセス と直結する制御 システム に適用する場合、①計算機を取扱ったことの ない技術者にも容易に理解できる ソフトウェア 体系の確立、②ソフトウェア 生産性の高い制御 システムの確立に対し何らかの解決をはかること にある。以下《MELPLAC》言語体系を決めるに当たって幾つかの トレードオフの項目を挙げ検討を加える。

2.1 ハードウェアとソフトウェア

プラント 制御システムは、ある制御機能の実行を主目的とするのであり、それを実現する機構を主限とするのではない。一つの機能を実現するのに、H/WとS/Wをどのように割付けるかが制御システム設計の出発点となる。 初期の計算機 DDC ではソフトウェアのもつ融通性が過大評価され、ソフトウェアへの負荷が大きくなっていたが、ソフトウェアの特質ともいえる可視性 (Visibility) の低さ、情報伝達効率の低さが認識されソフトウェアへの重荷を負わせることの不利が叫ばれるようになっている。 特に、最近 LSI など半導体技術の進歩によってハードウェアコストが著しく低下してくると、従来のようなソフトウェア偏重の考えを修正する必要が生じてきた。

《MELPLAC》ではこのような観点から ハードウェア よりも ソフトウェ 7 コスト の低減を重視して システムコスト の低減を目標とした。

2.2 機能中心と機構中心

計算機が制御するシステムは、一般に難しいといわれているがなぜ難 しいのだろうか。果して制御機能がそれだけ難しいのか、又は単に インプレメンテーションのやり方が不適切なため見かけ上難しいのか。従 来, ハード ワイヤードロジック で制御 システム を構成していたと き は 調整 (デバッグ), 故障診断に多大な時間を要することはなかった。すなわ ち,ワイヤードロジックでは制御機能とそれを実現する機構は大体1対1 に対応する制御 ユニットで構成されており、 これら ユニットの積上げ によるシステムアップがなされ、かつ相互間が疎な結合でよいので各機 能が明確で非常に理解しやすかった。これに反し、計算機システムで は プロセス 入出力, 計算機 ハードウェア, ベーシック ソフトウェア, アプリケーショ ソフトウェアなどに分化された専門機能が密接な関連を有している。 すなわち、計算機の難しさは、機能と機構が極端に分化したためと 考えられる。もし与えられた制御機能を機能中心の考えで階層分割 し、そのままインプレメントさせる道があれば今よりはるかに分かりや すくなるのではないかと思われる。このことから、プラントを制御す る《MELPLAC》は機能中心に システム 分割を行い分かりやすい ソフ トウェアシステムを指向した。

2.3 集中と分散

当初、分散した小さなものから初まり、スケールメリット追及の過程で集中/巨大化し、それが行きづまって分散化に移行するという傾向はすべてのシステムに見られることであり、コントローラ、計算機においても例外ではない。ところがプラント制御システムにおいてプロセスに直結する制御を実行する場合、集中化には二つの欠点を伴う。第1に制御応答が遅くなる。すなわち、集中化すれば情報の伝送に遅れが伴うことは当然ながら、その上、中央処理装置の数が限られるためどうしても処理が遅れる。第2に集中化によって1ヵ所の故障により全系の故障へと波及するが、分散化すれば故障は局所化されフェイルソフトとなる傾向が強い。一方、分散化した場合の問題点には次のようなことが挙げられる。第1に情報が分散化することによるシステム故障診断が難しくなること、第2に言語プロセッサなどの適用が難しいこと、第3に信号伝送系の負担が大きくなることである。し

たがって効果的な分散化を実現するためには、まず単体が故障しにくく、かつ故障があっても他へ波及しないものであること、更に、言語 プロセッサの サービス を不要とするような自立性の高い言語体系をもつこと、そして、疎な信号伝送の結合で十分機能を果たす制御機能の局所化を考えることが必要である。この考えに基づいて《MELPLAC》は自立性の高いソフトウェアシステムを目標にし分散化システム構成を実現することができる。

2.4 汎用と専用

一般に計算機は専用機からはん(汎)用機への道をたどってきているが、一方、最近の電卓や キャッシュレジスタのように端末に近い計算機応用の分野では専用機が広く使用されるようになった。現在は汎用と専用の両極への分化の時代と言える。 プラント DDC システム では、汎用 機と ソフトウェア の組合せで プラント 制御用汎用 コントローラの領域を カバー することは、 ハイレスポンス の必要性の面で問題が残るので プラントコントローラ 《MELPLAC》では専用機を選択した。

2.5 高位言語と機械語

汎用計算機では一般に、高位言語と機械語とは概念的に明確に分かれている。前者は人間の使用する言語あるいは数式に近い表現形式をとっており、人間とのインタフェースは優れているが、計算機で実行するためにはコンパイラなどの言語プロセッサにより機械語へ変換しなければならない。機械語はそのまま実行できるが人間にとって理解しにくい。このことから、高位言語にありながら機械語のように直接実行できる言語体系であれば、プログラミングが容易であるだけでなくデバッグ、分散形システム構成など強力な言語プロセッサのサービスが得られない場合でも有効なプログラミング、デバッグが可能である。言語が汎用の高位言語の場合には直接実行が不可能になってしまう。このことから《MELPLAC》では、適用範囲をある程度限定し専用的な高位言語を規定し直接実行を可能としている。

2.6 データ中心と処理中心

普通 プログラム の機能を理解するのに二つの方法がある。 一つは プログラム 処理の順序を中心として考える伝統的な方法,他は情報あるいは データ が変化していく流れを中心に考える方法である。 この差は わずかなように見えるが処理中心の考え方では分岐の多い複雑な コントロール フロー になる傾向が強く,データ 中心の考え方では単純な フロー で構造的な プログラム を作成しやすい。また, プログラム 障害を考えれば,データベース の破壊,処理機能の全面停止など ソフトウェア の信頼性に重大な影響を与える障害は一般的に処理中心の考え方を押し進

表 1. 《MELPLAC》言語体系の考え方

	基 本 方 針
1	工業プロセスの計算機制御に焦点を合わせた汎用コントローラとする。し たがって専用計算機的な性格をもつ
2	機能単位の分散化システムを指向する。これによりシステムを分かりやす く単純にする
3	ハードウェアよりもソフトウェアの効率化に力点を置き,システム価格の 低波を指向する
4	制御向き高位言語を用いることによりプログラム作成を効率化する
5	高位言語を機械語として直接実行する。これにより現場でのプログラム終 正が容易になる
6	プロセスとの結合を直接的にすることにより、システムを単純化する
7	オンラインでのデバッグや文書化が容易になるよう配慮する。この目的の ため、現場のプログラム修正のためのプログラミングパネルを準備する
8	マイクロプロセッサを用いるが、マイクロプログラム方式を用いることに より、ソフトウェアの永続性を保つ
9	複合システムを形成する場合は、データの授受を中心とした疎な結合を指 向する

めた結果といわれている。

このことから、ソフトウェア生産性向上及び信頼性向上の手段として データ中心の考え方を《MELPLAC》の命令や ハードウェア アーキテクチュ ア に埋込み、かつ、プログラム を入出力間の データ の流れとして捕える ような言語 アーキテクチュア になるよう留意している。

以上のような考察から、三菱プラントコントローラ《MELPLAC》の言語体系の基本的考え方を表 1. にまとめた。

3. 《MELPLAC》 50 ソフトウェアの特徴

前節で述べたプログラマブル コントローラの ソフトウェア システム の基本的考察 に基づいた《MELPLAC》 50 の言語体系とそれを実現するための アーキテクチュア の特長を表 2. にまとめた。 以下,主な項目について説明を加える。

3.1 制御向き高位言語

プラントコントローラ《MELPLAC》が要求される制御機能はシーケンス制御、一般に DDC と呼ばれている フィードフォワード/フィードバック 制御、この両者の混合形制御及び多変数制御などが挙げられる。これらの制御機能を実行処理するためには算術演算、論理演算及びこれらの混合演算を有効にかつ容易にプログラムできる必要がある。

3.1.1 命令体系

プラントコントローラ 《MELPLAC》 50 の命令一覧表及び オペランド 部を構成する ソース 一覧表をそれぞれ表 3.,表 4. に示す。

汎用計算機は普通算術演算を主体に作られていて、論理演算と混合演算はプログラムの分岐で処理しているためシーケンス制御にそのまま使用するとプログラムのコントロールフローが複雑になり、かつデバッグが困難である。したがって計算機では高位言語を導入してこの問題を回避しているが、実行時間やメモリ容量を犠牲にし、かつ言語プロセッサを抱えるという問題があった。

《MELPLAC》はこのような問題を解決するため表 3. に示したよ

表 2. 《MELPLAC》 ァーキテクチュア の特徴

項目	特徵	
言語を制御向き高位 言語とする。制御は シーケンス制御、フィードバック/フィ ドフォワード制御 変数制御を含む	 ビット演算とワード演算の独立処理 Conditional Load と Compare 命令 ビット変数ワード変数のメモリの共用 ソースの区別により見かけ上の命令数を減らしている。 データ転送効率化のための MV, #4命令 	
高位言語を機械語と して直接実行する	(6) 直接アドレッシングを原則とする (7) 間接プランチと相対プランチのみとしてプログラムのリロケーションを容易にする (8) ラベルを命令として残し、逆アセンブルを容易にす (9) INC Index 命令の工夫	
プロセスとの結合を 直接的にする	(10) 入出力命令をメモリの Load Store と同格とする(11) タイマ/カウンタの要素をもつ(12) 割込処理	
デバッグと文書化を 容易にする	 (13) ブログラムメモリとデータメモリの完全分離 (14) データ転送形のアーキテクチャ (15) 構造的プログラミングへの配慮 (16) ブログラミングパネルによる現地デバッグ (17) 各種オンラインデバッグ機能 (18) オフライン処理によるアセンブラ, 逆アセンブラのポート 	ሆ
ハードウェア	 (19) マイクロプロセッサを利用する (20) マイクロプログラム制御方式を採用する (21) データ語長は16ビット (22) プログラム語長は24ビット (23) メモリは、コア/ワイヤ選択可能 	
計算機複合システム	(24) 疎な結合を指向している (25) データの授受により情報交換を行う (26) 非同期的な並行処理,タイムスロット的な通信方式: 指向する	ē

表 3. 《MELPLAC》命令一覧

 分	類	シンボル	機能	ワドー 処 理	ビット 処 理	制御
			T 1			
		;	Load	0	0	
		\$	Invert Load	0	0	_
		,	Conditional Load	0		
転	送	SET	Set		0	
		RST	Reset	0	0	
		→ T 0 1 1	Store	0	_	
		LON	Latch On		0	
		LOF	Latch Off			
		+	Add	0		
算術	演算	-	Subtract	0		
		*	Multiply	0	_	
		/	Divide	0		
		AND	Logical AND	0	0	
		ANI	Complement AND	0	0	_
論理	演算	OR	Logical OR	0	0	-
		ORI	Complement OR	0	0	
		EOR	Exclusive OR	0	0	
		ъ в "	Unconditional Branch	_	-	0
		BY	Branch if YES			0
		BN	Branch if NO			0
11.41.	比較	CAL	Subroutine Call		-	0
95 NX	• 近収	RTN	Subroutine Return	_	_	0
		>	Compare Greater Than	0	_	-
		=	Compare Equal	0	-	
		<	Compare Less Than	0		-
		CI	Common Interlock		0	-
		CIR	Common Interlock Reset	-	0	-
		SL	Arithmetic Shift Left Double	0	-	-
		SR	Arithmetic Shift Right Double	0		
d.1- 121-	^ ^	PLS	Positive Differential	-	0	
好 缑	命令	INC	Increase Index		-	0
		MV	Transfer to Pointer	0	0	-
		1#	Move	0	0	-
		TM	Interrupt Terminate	-	_	0
		NOP	No Operation			0

表 4. 《MELPLAC》 ソース 一覧

	Ment	1	7 —	下処 理 用	ピ	ット	処理用
分	知	シン ポル	レンジ (語)	指 定	シンボル	レンジ (点)	指 定
I/O	プロセス入力	IW	128	IW 0~IW 127	I	1,024	100∼163 F
1/0	プロセス出力	ow	128	OW 0~OW 127	О	1,024	O 00~O 63 F
A/I	アナログ入力	ow	208	OW 700/KO~K207			
A/O	アナログ出力	ow	256	OW 400~OW 655			
	周辺機器	DW	64	DW 0~DW 63	$\overline{/}$		
I/O	カウンタ	CW	64	CW 0~CW 63	С	64	C0~C63
	割込マスク			and the same of th	IT	32	IT 0~IT 31
	一時記憶	MW	1,024	MW 0~MW 1023	M	1,024	M00~M63F
y	タイマ	TW	128	TW 0~TW 127	Т	128	T 0~T 127
Æ IJ	トランスファ ベ ク ト ル	P	512	P 0~P 551			
y	インデックス レ ジ ス タ	X.Y	2	X. Y			
命 令	定 数	К. Н		K 0~K±32767 H 0000~HFFFF			

うな命令を有し、1 ビットの論理演算機能と16 ビットの算術演算機能の両者を備えていて全く独立に処理できる。更に、混合演算に有効に対処するため数値の大小によって論理信号をセット、リセットする比較命令、 論理信号によって数値情報を選択する条件 ロード命令を設けることにより上記制御機能を容易に プログラム できる。

論理演算には更に シーケンス 制御特有の機能, 共通 インタロック 回路, 信号の パルス 化(微分)回路などを命令として有していて, プログラマブル シーケンスコントローラ《MELSEC》 シリーズ と同等の扱いでプログラムできる。命令に対し オペランド 部は表 4. に示したような ソース で表現する。《MELPLAC》は プラント の自動制御を主たる目的にしているか

ら、その御制対象を直接的に判断できる入出力情報が容易に プログラ ムでき、更に理解しやすいものでなければならない。この観点から 表 4. に示すような プロセス 入力,出力,カウンタ,タイマ,一時記憶(デ -タメモリ), 直接数値など, 一目りょう然に判断できる シンボル とそれ らの ナンバ によって ソース を構成し、 更に シンボル の変化によって1 ビットデータと 16 ビットデータが区別できる。 このように《MELPLAC》 の命令語は命令を直接的な ソース で構成しているため、取扱う データ の種類が明確かつ直接的に認識でき、 プログラム の作成、表現、理解 が飛躍的に向上している。 図 1., 図 2., 図 3. に算術, 論理, 混 合演算機能の例を示す。 ととで MW は データメモリ の ワード (16 ビット データ) を M は 1 ビットデータ情報を示す。 図 3. の混合演算機能を例 に説明すると,テータメモリ 101番目 (MW 101) と 102番目 (MW 102) の内容を比較して MW 101>MW 102 なら ビットアキュムレータ A2 に"1"が入りこれと データメモリ 10 番目の ワード 情報のうち ビット 0 の 情報 (M 100) とを AND 演算し結果を M 101 に ストァ する。次に, MW 110 の内容を ワードアキュムレータ A₁ に ロード し, M 101 を A₂ に ロ _ F する。ここで A₂ が "1" ならば MW 111 の内容を A₁ に ロー F, 更に M 100 の NOT を A2 に ロードし、 ここで A2 が "1" ならば MW 112 を A₁ に ロード する。最後に A₁ の結果を MW 100 に転送 する。以上の演算の結果, MW 100 には M 100 が "0" ならば M 112 が、M 101 が"1" ならば MW 111 がいずれでもなければ MW 110 が転送される。

3.1.2 情報の形態と命令実行

《MELPLAC》 における 16 ビットの ワード情報と 1 ビット情報は メモリ を共有化している。 したがって,同一内容を ワード情報として 16 ビットをとり出して演算することも, またその内の 1 ビットを ビット情報としてとり出すこともできる。図 4. に例を示す。 ここで IW 20

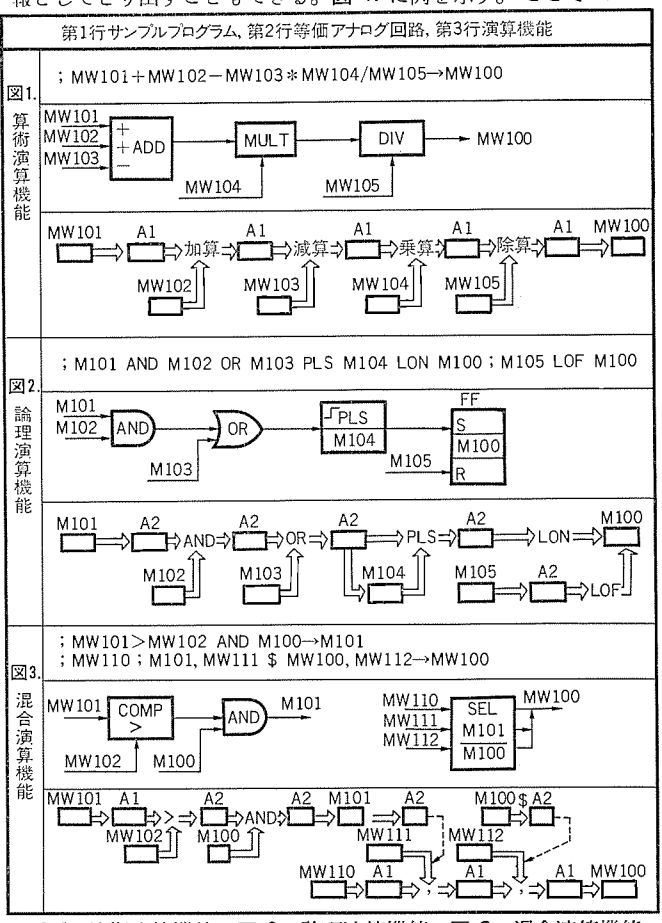
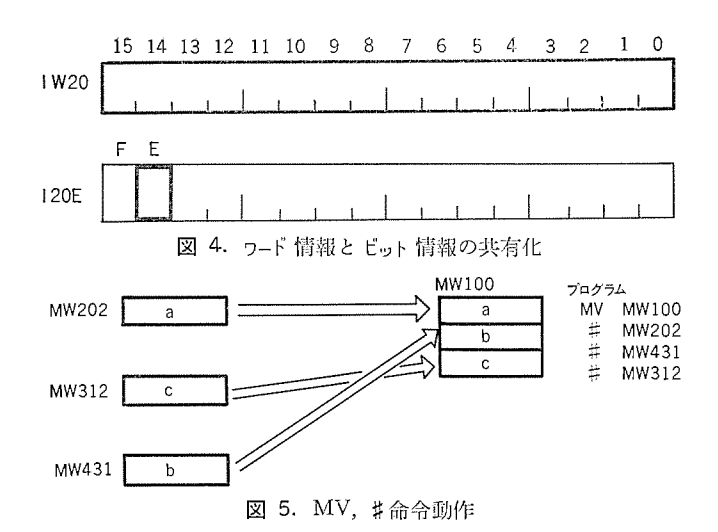


図 1. 算術演算機能 図 2. 論理演算機能 図 3. 混合演算機能



はプロセス入力データ20番の ワードデータを示し、I20 E は同一 データ内の14 ビット目の1 ビット情報を示している。一般的な問題として、1 ビット演算と 16 ビット演算の両機能をもたせれば命令の種類が増える。例えば AND 命令でも ワードアキュムレータ に対する AND か、ビットアキュムレータ に対する AND かを区別する必要がある。《MELPLAC》ではこの解決を オペランドの種類 す な わ ち 、 前述の ソース の種類によって区別して命令は同じ AND で実行できる。また直接数値命令は「Immediate Instruction」も従来、各機能命令(ロード、加減算命令など)と直接数値命令は別命令として設けられるのが一般的であったが、《MELPLAC》では数値に ソースシンボル を与えることにより オペランドで区別している。10 進数に K、16 進数に Hの ソースシンボルを与え、各命令と組合せることにより任意の数値を直接命令として実行できる。以上のことにより、《MELPLAC》のプログラムは シーケンス制御(1 ビット演算)、DDC(16 ビット演算中心)のいずれにも制御情報を適能には(押)握しながら容易に実行できる。

3.1.3 多変数制御命令

多変数制御を効果的に実行するためにはベクトル変数の演算が容易なことと、個別の変数を並べかえて、新しいベクトル変数を作る作業が能率よく処理されることが必要である。《MELPLAC》では前者は直接アドレッシング、インデックス修飾(後述)で対処し、後者はデータ転送命令 MV、まの命令(表 3.参照)で処理する。すなわち、分散して存在するパラメータを図 5. に示す例題のように、MV命令で指定された場所によ命令で示すデータを順次埋込んでいる。このことは一見してベクトル MW 100 の内容の一つの表現法になっていることが分かる。

3.2 高位言語の直接実行

プラント DDC や シーケンス 制御を受けるつ《MELPLAC》 は現場で制御 システム の運転、 調整を行いつつ プログラム の デバッグ、チューニング を行う必要がある。 このために高位言語を直接機械語として実行できる $P=\pm PO$ チャ を採っている。

3. 2. 1 ソースアドレッシング

高位言語を直接実行するためには、アーキテクチュアが高位言語とマッチしている必要がある。そのため《MELPLAC》のソースアドレッシングは直接指定を原則として、直接指定に対してインデックス修飾を行っている。一般に実施されているようなインデックスレジスタをベースレジスタのように使用してアドレッシング範囲の不足をカバーするような使用法はしていない。すなわち、FORTRANで MW 110 (I) と記述されるベクトル変数の表現を《MELPLAC》では MW 110 X(X:インデックスレジスタ)と記述される。このように、《MELPLAC》のアドレッシン

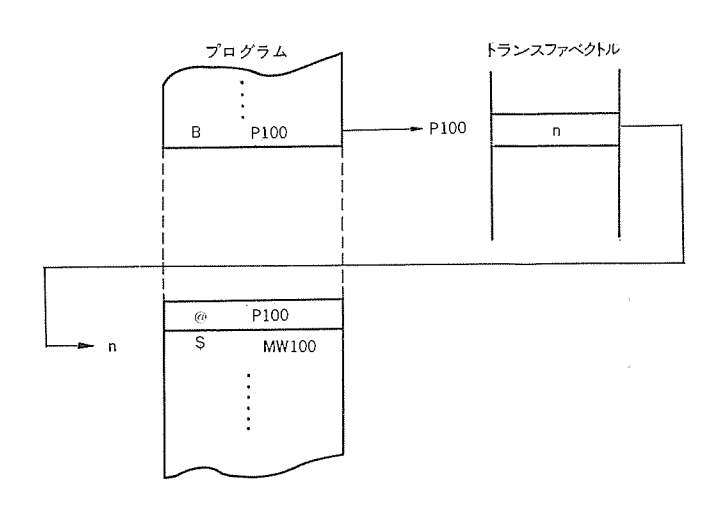


図 6. トランスファベクトル

グが直接指定中心となっているので高位言語とのつながりがよい。 3. 2. 2 プログラム分岐

プログラム 分岐に関しては高位言語には プログラムの ロケーション 情報はな いから、それを直接実行することを考慮して相対分岐と間接分岐と を用いることにした。《MELPLAC》では1語命令ですべて固定さ れているので近くの分岐は相対でも困難でない。また離れた分岐に 対してはベクトル(トランスファベクトルと呼ぶ)の考えを導入して間接的 に分岐する。これを図 6. を例に述べるとNOP P 100という命令が あると プログラムロード 時に NOP 命令の次の ロケーションアドレス n が 100 番の トランスファベクトル に自動的に書込まれる。NOP P100 といら命 令は実行時は No Operation として実行される。いまプログラム 実行 が BP 100 を実行するときは,トランスファベクトル P 100 の内容が参照さ れる。このとき P 100 の内容はn が記録されているため NOP P 100 の次の番地へ分岐する。このようにすれば分岐先の番地を意識する ことなく トランスファベクトルの アドレス を順番に指定し、かつ、分岐先 情報を示すNOP命令を分岐先の前のァドレスに入れておけばよい。 トランスファベクトルを示す テーブルを判然と独立させておくことはプログラ ミング だけでなく プログラムデバック 時に分岐情報が整然と全体的に把握 できる メリットを持っている。例えば,調整時にある プロクラムを別の プログラムで代行させて制御効果を確認したいような場合。 トランスファ ベクトル の内容を仮に書換えるだけで実行可能である。 分岐先 ラベル 情報を NOP 命令の形で残しておくことは言語 プロ セッサ 適用時の逆 アセンブラ機能に非常に有効である。

3.3 プロセスとの結合

3.3.1 プロセス入出力

コントローラ は プロセス の情報を検知し、必要な演算処理を実行した後操作信号を プロセス に出力する。したがって、コントローラ 内部の情報といえども何らかの形でプロセスの物理量に直接的に結合している。この直接的な関係をできるだけ保存した プログラム が分かりやすいものとなる。この目的で《MELPLAC》の入出力命令特にプロセス 入出力命令は メモリのロード、ストアと全く同一の命令で実行できるようにした。後述 プログラム 例の図 8. で示したように《MELPLAC》のプロセス 入出力のプログラミング はプロセス I/O の知識と応用 シーケンス(プログラム)の知識だけあればよい。

計算機の場合とれらの知識に加えて、 入出力 プログラム や モニタ などの ベーシック ソフトウェア、計算機内で扱われる プロセス 情報の名称、アドレス などの知識を必要としている。

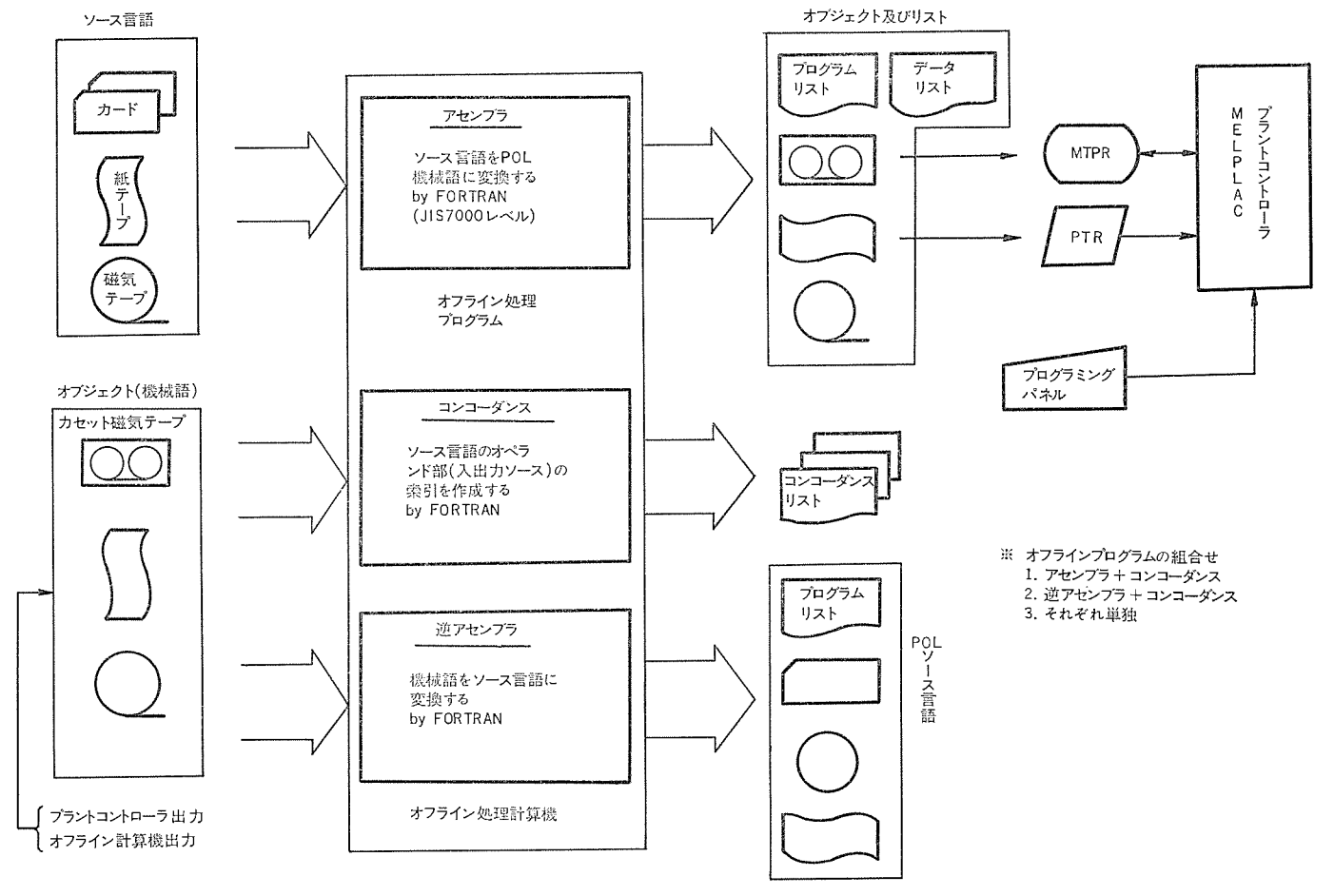


図 7. プラントコントローラ 《MELPLAC》 自動 プログラム 処理 システム

3.3.2 カウンタ, タイマ

プラント DDC システム の制御機能を実行する コントローラ では パルスカウンタ, タイマ 機能は不可欠である。特に カウンタ 機能は プロセス と直結した情報であり効果的な プログラミング が要求される。《MELPLAC》 では カウンタ, タイマ 機能が CPU と全く N-ドウェア 的に独立した処理部を有しているが, ソフトウェア の立場からみれば,上記 プロセス 入出力と全く同等に扱うことができる。

すなわち, カウンタの プリセット, カウンタ始動, 比較, 計数値 ロード などの機能がすべてロード, ストア命令でプログラム できる。(図 11. 参照)。

4. 自動プログラム処理 システム

《MELPLAC》の言語体系は高位言語の直接実行を第一の目的としているが、よりソフトウェア生産性向上の要求にこたえてホストプロセッシングによる言語プロセッサを用意している。

この プログラム は FORTRAN-7000 レベルで記述されているため ホストコン ピュータ として各機種を容易に適用で きる。

主機能と入出力を図7. に示す。 この機能のうち, 逆ァセンブラは デバ

ッグ 修正された プログラム を ソース 化する ことにより容易に デバッグ 結果を文書化できる メリット を有している。また、コンコーダンスリスト は ソース の索引である。アセンブルス は逆 アセンブル された プログラム に使用している各 ソース を ソース 単位に プログラムアドレス、データ値(データメモリ のみ)、プログラム 命令が一覧表となって作成される。この リストは デバッグ に重要な役割を果たしている。

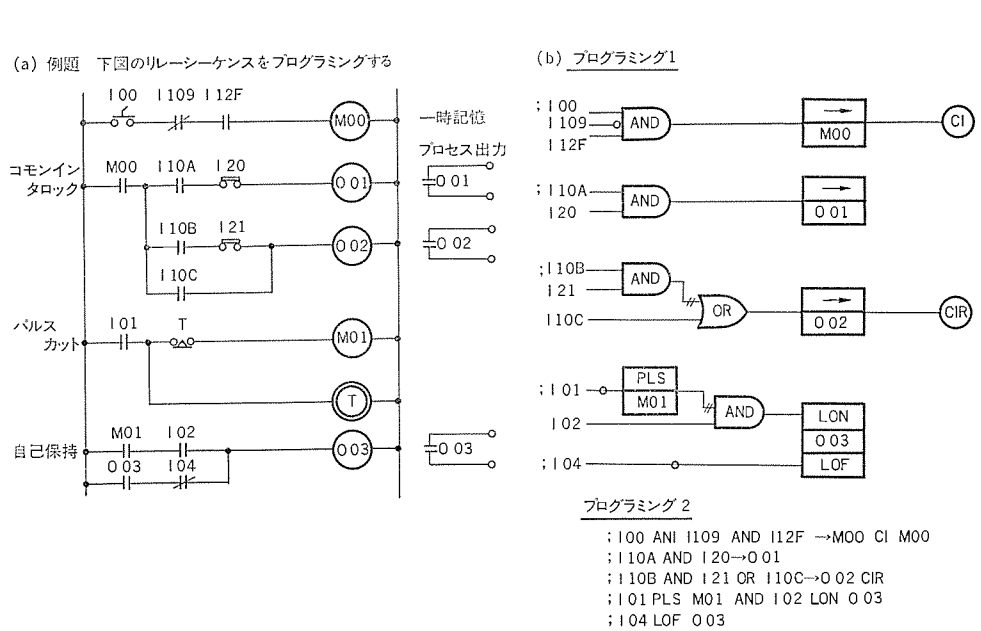
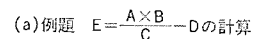


図 8. シーケンス 制御の プログラミング

5. プログラミング例

以上,《MELPLAC》言語に関し述べたが,下記 プログラミング 例を示すことにより《MELPLAC》ソフトウェア システム の特長とその効果的高位言語の使用 法のまとめとする。

- 5.1 シーケンス制御のプログラミング
- 図 8. に例題と プログラミング を示す。
- 5.2 算術演算のプログラミング
- 図 9. に例題と プログラミング を示す。
- 5.3 条件付き転送のプログラミング
- 図 10. に例題と プログラミング を示す。
- 5.4 カウンタのプログラミング
- 図 11. に例題と プログラミング を示す。
- 5.5 アナログ入力のプログラミング
- 図 12. に例題と プログラミング を示す。



tetel, A; MWO, B; MW1, C; MW2, D; MW3, E; MW4

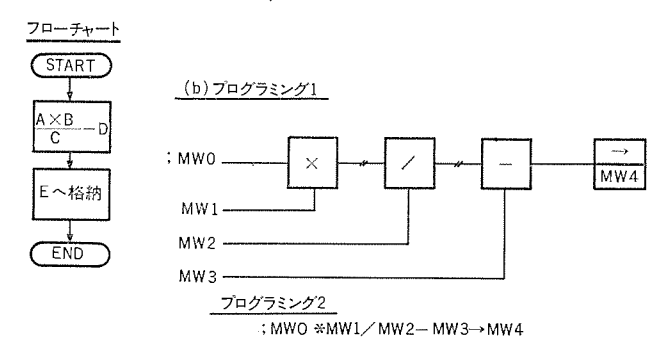


図 9. 算術演算の プログラミング

(a) 例題 下表に従って入力データを選択し一時記憶Dに格納する

信号a	信号b	選択データ
0	0	A
1	0	В
0	1	
1	1	1 6

tatil, a;101,b;102 A;1W1,B;1W2,C;1W3,O;HW10

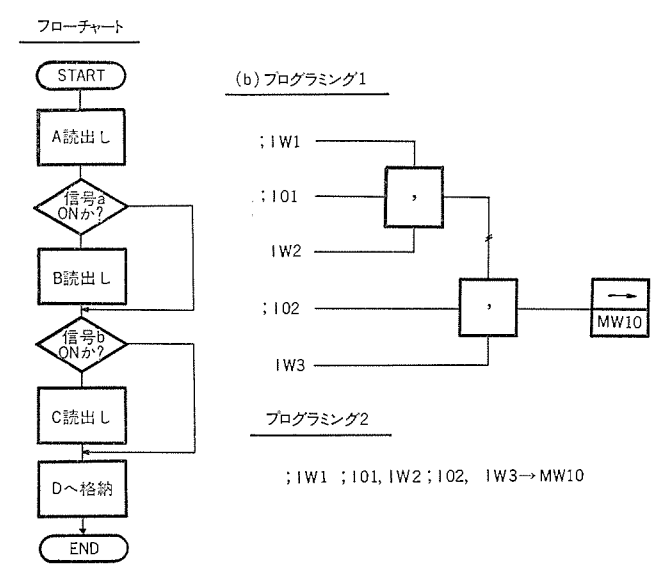


図 10. 条件付転送の プログラミング

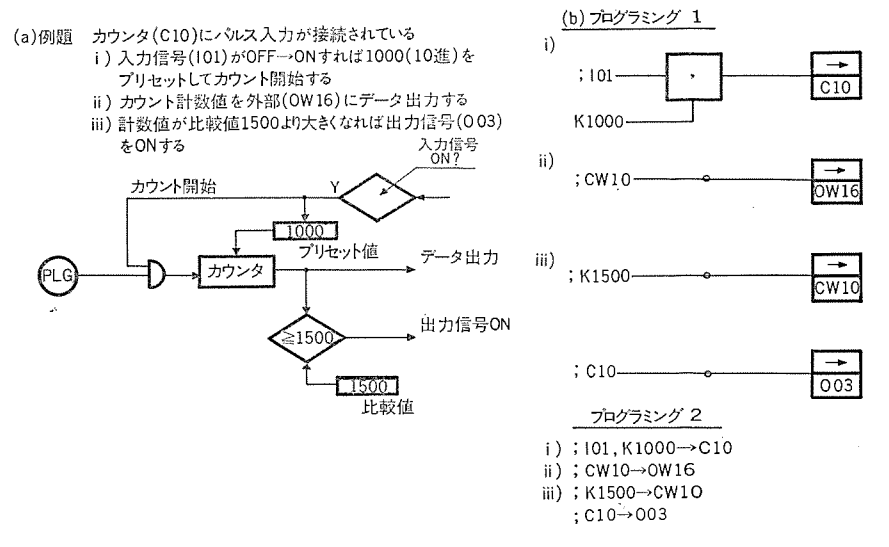


図 11. カウンタ の プログラミング

(a) 例題 10番目のアナログ入力に対LA/D変換を行い、その値を 一時記憶(MW20)に格納する

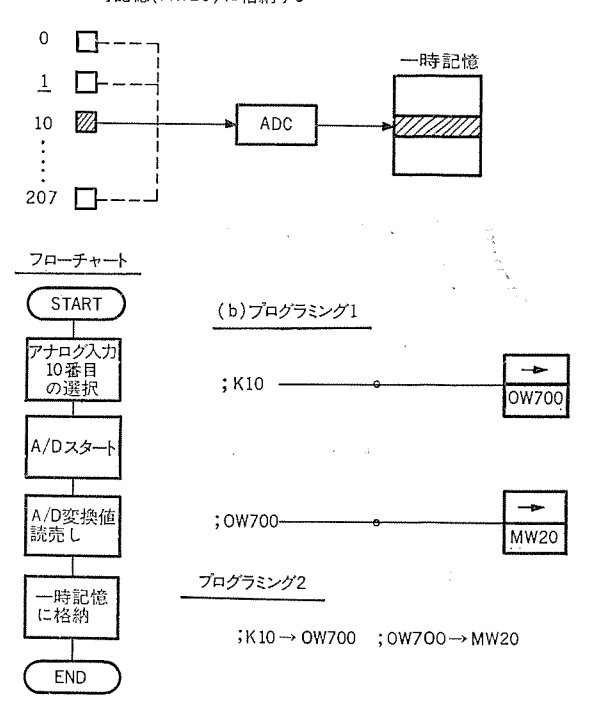


図 12. アナログ 入力の プログラミング

6. む す び

この論文は、当社が新しく開発したプログラマブルコントローラ に関し主に、ソフトウェア システムの面から基本を紹介したものである。近年のプラントコントロール システム は上位に電子計算機を有する大規模な システムが多いが、計算機の下位につながる、DDCレベルのコントローラ あるいは、シーケンスコントロール用コントローラ として最適なコントローラが重要である。

とのような コントロ−ラ を開発するとき, どのような項目について 検討を加え, どのような考え方で解決し, その結果《MELPLAC》 が有するに至った特徴を記してある。

最後に、 プラントコントローラ の開発課程に種々ど検討いただいた、ユーザ の皆様に感謝の意を表する次第である。(昭和 51-12-10 受付)

マイクロプロセッサの計算機及び周辺端末機器への応用

大川清人*·今村貞良*·江村 弘*·西田考一*·三浦裕史*

1. まえがき

当社製マイクロプロセッサ、《MELPS》 8 (Mitsubishi Electric LSI Processor Series 8) の発表に相前後し、当社におけるマイクロプロセッサ応用製品の開発が急速に立上がり、 既に大半の製作所でマイクロプロセッサ 応用製品の開発に着手している。

特に、計算機並びに周辺端末機器関連分野においては、早くからマイクロプロセッサの導入を検討し、利用技術の確立を図り、かつ、クロスアセンブラ、クロスコンパイラ(PLI/μ)、更にはデバッグマシン などの サポートシステム を整備しつつ、各種の応用製品を開発してきた。

これらの応用形態を分類すると,

- (1) 計算機への応用
- (2) 周辺端末機器への応用
- (3) コントローラへの応用

に大別することができる。

計算機への応用としては、《MELCOM》 $70 = 70 \mu 20$, 25, 《MELCOM》 $80 = 70 \mu 8$ などがその例であり、 従来からある ソフトウェアの 財産をそのまま引継ごうとするのが特徴である。

周辺端末機器への応用とは、計算機 システム における処理の分散化 に対応して、周辺端末機器側である種の処理を分担させるために マイクロプロセッサ を導入するものを指し、 特に端末機器においては、現状の マイクロプロセッサ の能力が、端末機器に適合していることもあり、インテリジェント ディスプレー など、種々の応用製品が開発されている。

コントローラへの応用とは、従来 ハードウェアで制御していた ロジックを プログラム 制御方式に置換するようなものを指し、マイクロプロセッサ 外部 回路とのむすびつきが密で、 ハードウェア 設計技術と ソフトウェア 設計技術の両方が要求される分野である。

ことでは,各応用分野における代表例として,下記 4 件を取り上げ,マイクロプロセッサの応用に焦点を当て,その内容を紹介したい。

(1) 《MELCOM》 70 モデル 20, 25

マイクロプログラム制御方式のバイポーラ LSI プロセッサを採用している。

(2) 《MELCOM》 80 モデル 8

計算機への応用例 :

N MOS 8 ビットマイクロプロセッサ (M 58710 S) により、デュアルプロセッサシステム を構成している。

周辺端末機器への応用 :

(1) M 2350 インテリジェント ディスプレー

N MOS 8 ビット マイクロプロセッサ (M 58710 S) を採用し、簡易な オペレーティング システム を導入している。

コントローラ への応用 :

(1) A 5488 フレキシブルディスク 接続機構

ハードウェア制御向きのマイクロプログラム制御方式 バイポーラ LSI プロセッサ を採用している。

2. 《MELCOM》 70 モデル 20, 25 への応用

《MELCOM》 70 モデル 20, 25 (以下 M 70/20, 25 と略称する) は, 従来からある《MELCOM》 70 (以下 M 70 と略称する) と ソフトウェア 及び入出力装置の両面において, 上位方向の互換性を有する新 形 ミニコンシリーズ である。

M 70/20, 25 の中央処理装置は、制御方式をマイクロプログラム制御方式にしており、この点が中央処理装置のアーキテクチャとして M 70と大きく異なっている。かつ、M 70/20, 25 の中央処理装置の演算制御部には、国内では初めて バイポーラタイプ の マイクロプロゼッサ (MMI 社、MM 6701) を採用している。

MM 6701 を採用した主な理由は、使用部品点数の削減による 実装 コストの低減を図ることは当然のことながら、MM 6701 が マイクロ プログラム 制御方式化に向いており、高速かつ アーキテクチャ が ミニコン 向きであることである。

2.1 マイクロプロセッサの使用法

M 70/20, 25 の中央処理装置の論理構成を図 1. に示す。図 1. の破線で示した部分にマイクロプロセッサを使用しており、中央処理装置の演算制御部の大部分を占めている。図 1. の左半分はマイクロプログラム制御部であり、マイクロ 命令を格納する 1 K ビット P ROM 素子及び ROM 制御のための TTLMSI, SSI ロジック により構成している。

図 2. は MM 6701 の内部の論理構成を示す。これらの各要素は, M 70/20, 25 の中央処理装置の中で、次のように有効に利用されている。

ALU 部 (すなわち, 論理演算及び算術演算 を実行する回路)

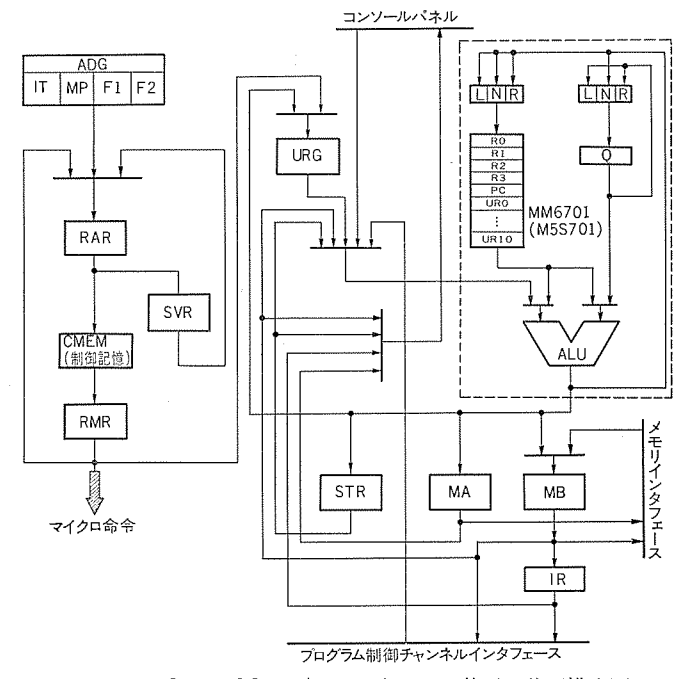


図 1. 《MELCOM》 70/20, 25 中央処理装置の論理構成図

Qレジスタ : マイクロプログラム の実行で使用する 16 ビットの レ

ジスタ

シフタ : 演算 レジスタ、ユニバーサルレジスタ などの右 シフト、

左シフト制御

マルチポート RAM :

4語 16 ビットの演算 レジスタ (R₀~R₃)

1語 プログラムカウシタ (PC)

その他 マ (クロプログラム の実行で使用する 16 ビットの ユ

ニバーサルレジスタ ($UR_0 \sim UR_{10}$)

また, M 70/20, 25 で使用している MM 6701 の タイミングチャート を 図 3. に示す。

2.2 マイクロプロセッサ導入の効果

MM 6701 導入に当たっては、受入検査などに関していくつかの問題はあったが、その効果も大きい。中央処理装置への導入の主な効果として、次のものが挙げられる。

(1) 実装効率の向上

M 70 の中央処理装置よりも、各種の機能追加を行ったが、中央処理装置の論理 n-F は 5 枚から 2 枚に削減することができた。 ただしこれは MM 6701 採用による直接的効果よりも、MM 6701 の採用によりマイクロプログラム 制御方式化が容易に実現し、 n-Fウェアが簡素

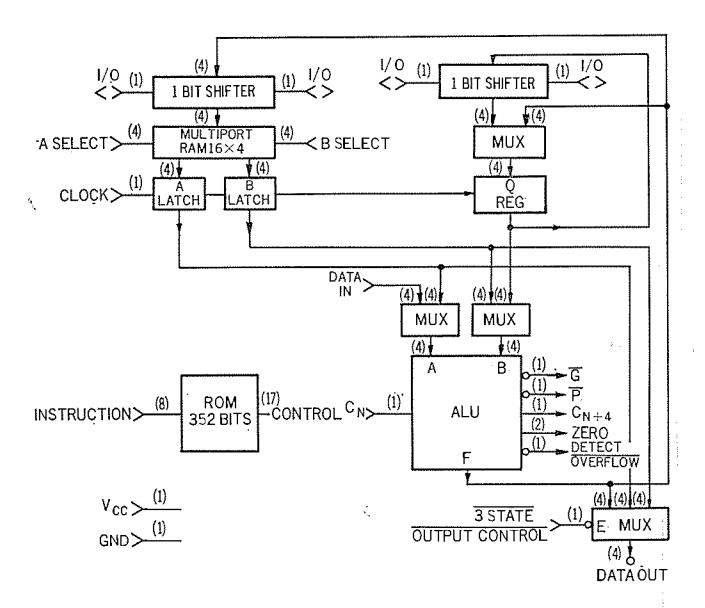


図 2. MM 6701 の論理構成図

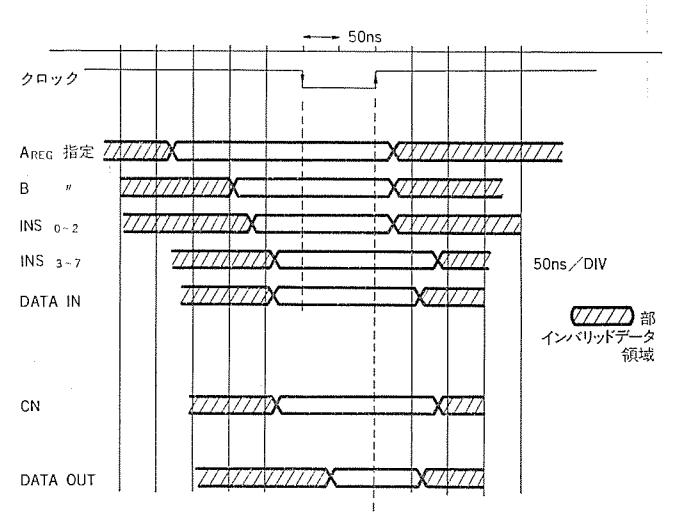


図 3. 《MELCOM》 70/20, 25 における MM 6701 の使用 タイミング

化されたことと,高密度・大形プリント 基板の採用により実装密度が 向上した点に負うところが大である。

(2) コスト低減

現時点では、部品としてのコスト低減のメリットよりも、前述の実装密度の向上による実装コスト低減のメリットのほうが大きくきいている。

(3) 高速性

一般にマイクロプログラム 制御方式化は,機能の追加・向上は容易であるが,動作速度は低下する場合が多い。M 70/20, 25 では,MM 6701 の高速性と,マイクロプログラム 格納用 ROM 素子の高速性(アクセスタイム 60 ナノ 秒)により,速度の低下を抑えながら,中央処理装置の機能追加・向上を実現した。

(4) マイクロプロセッサ に対する意識の高揚

開発段階から量産に至るまで、種々の技術的問題点に遭遇し、これを解決してきたが、検査部門、設計部門、製造部門がそれぞれの立場でマイクロプロセッサの本格的な導入に対処する手掛かりを掴んだこと、これらは今後検査設備、製造設備の投資及び技術開発の進め方などに生かされてくると期待している。

3. 《MELCOM》 80 モデル 8 への応用

《MELCOM》 80 モデル 8 (以下 M 80/8 と略称する) は、 オフィスコンピュータ の代表機種である、当社 M 80 シリーズ の下位機種として開発された計算機で、 M 80 シリーズ 共通の高級言語 COOL が使用できる。

M 80/8 は、LSI の時代に生まれた計算機としてふさわしく、中央処理装置に 2個のマイクロプロセッサを採用した デュアルシステム で、小形化、低廉化、低消費電力化はもとより、信頼性向上をねらっている。

中央処理装置以外に、オプション として接続できる オンラインアダプタ にも マイクロプロセッサ を採用し、 回線接続への適合性を 強化している。 これらの プロセッサ は す べ て、当社製 N MOS 8 ビット LSI プロセッサ 《MELPS》 8 を採用している。

ここでは、デュアルプロセッサとして特長のある、中央処理装置への応用についてその内容を紹介する。

図 4. に M 80/8 の外観を、図 5. に システム 構成図を示す。

3.1 マイクロプロセッサの使用法

中央処理装置は、システムメモリ(ファームウェア)によって制御されるが、 その主な機能に次のものがある。

(1) プログラム の自動読込み

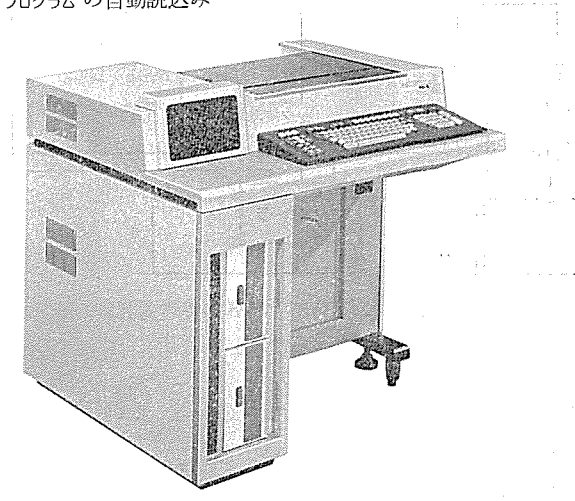


図 4. 《MELCOM》 80 モデル 8 の外観

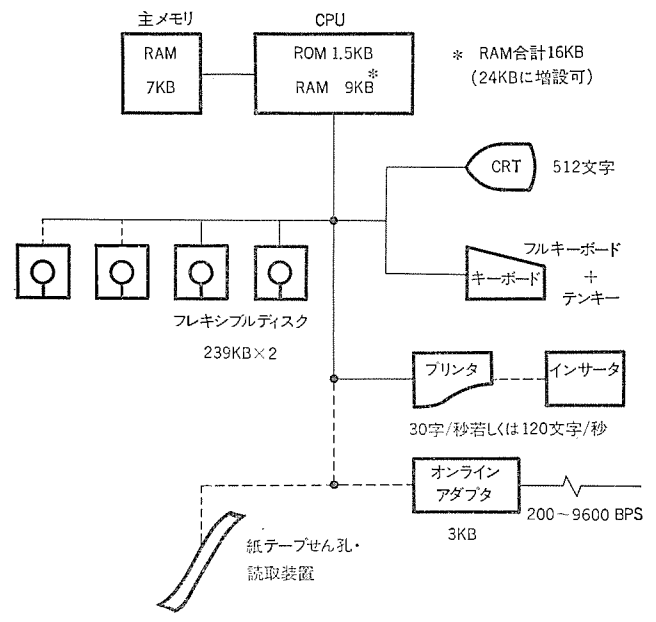


図 5. 《MELCOM》 80 モデル 8 システム 構成図



図 6. デュアルプロセッサ の平行動作

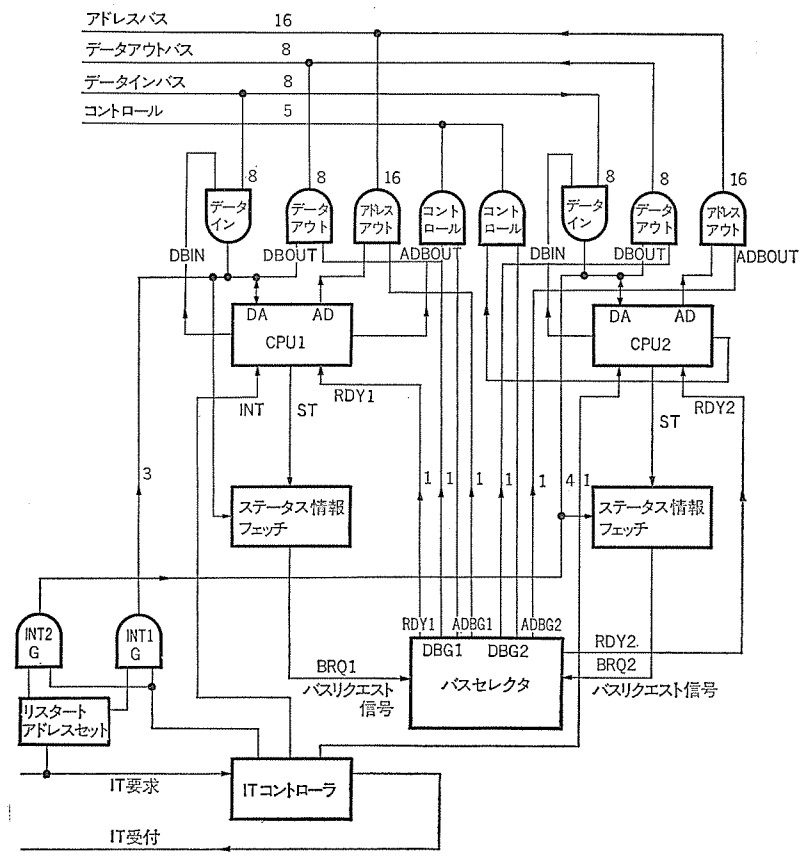


図 7. 《MELCOM》 80/8 中央処理装置の論理構成図

- (2) キーボード の操作監視
- (3) COOL 命令の読出し,解析
- (4) COOL 命令の実行
- (5) タイプライタ, フレキシブルディスク, ディスプレー などの入出力装置の制御

通常とれらの機能は、2個のマイクロプロセッサ にそれぞれ次のように 分担させて動作するが、いずれかのプロセッサ が故障したときは、正 常プロセッサ 1個で、全動作を行うことができる。

プロセッサ 1: プログラムの自動読込み

COOL 命令の実行

入出力装置の制御

プロセッサ 2: キーボード の操作監視

COOL 命令の読出し、解析

特に,演算処理部分の動作は, 図 6. に示すように命令の読出し,解析と演算処理の実行とを平行動作させることにより, プロセッサ 1 個使用の場合より 1.3 倍から 1.7 倍の性能向上を実現している。 このような デュアルシステム を実現している中央処理装置の論理構成図を図7. に示す。

3.2 マイクロプロセッサ導入の効果

M 80/8 への マイクロプロセッサ 導入の効果として、次のようなものが挙 げられる。

(1) コストパフォーマンス の向上

M 80/8 は,M 80 $rac{1}{2}$ の下位機種とは言え, 512 文字の表示が可能な $rac{1}{2}$ キャラクタディスプレー を内蔵し, マンマシン インタフェース の向上を図っている。マイクロプロセッサ の導入により これらが安価に実現できたと言える。

(2) 信頼性の向上

信頼性向上の第一の要素は、マイクロプロセッサ による中央処理 装置の デュアルシステム 化が挙げられる。 M 80/8 においては、マイクロプロセッサ による制御範囲が、 キャラクタディスプレー、プリンタ、 フレキシブルディスク 等の制御装置にまで及んでいるため、信頼性向上の効果は大きい。

また、マイクロプロセッサ 採用により、 下位機種にもかかわらず自己診断機能を豊富に持たせることが可能になったので、 従来のものに比べ、 RAS 機能が大幅に強化されたと言える。

(3) 小形化

LSI マイクロプロセッサ の採用と、徹底した プログラム 側御方式の採用により、 大幅に ハードウェア を削減できたこと、及び電源の小形化により、 1 段上の M 80/11 に比べ、箱体の大きさが一挙に半分になり、 1 箱体にすべての機能を実装することができた。その結果、事務机より 1 回り小さい スペース に設置することができ、スペースコストの低減が図れた。

4. M 2350 インテリジェント ディスプレー への応用

M 2350 $_{7\nu \neq 1}$ $_{5\nu \tau \lambda}$ $_{5\nu \tau \lambda}$ $_{5\nu \lambda}$ $_{5\nu \tau \lambda}$ $_{5\nu \tau$

インテリジェント端末の主な機能は、従来ホスト計算機で行われていた情報処理機能の一部を分担し、かつ オペレータインタフェース の向上を図って、計算機 システム全体の能力を上げることにあるが、その実現手段として、端末処理装置への マイクロプロセッサ による プログラム 制御方式を導入する手法を採用した。

ことでは、その内容を紹介する。 図 8. に M 2350 の外観と、図 9. に システム 構成図を示す。



図 8. M 2350 インテリジェント ディスプレー 装置

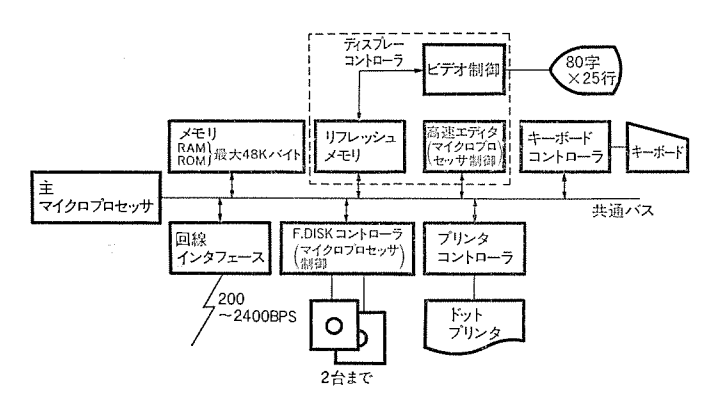


図 9. M 2350 インテリジェント ディスプレー 装置 システム 構成図

4.1 マイクロプロセッサの使用法

端末処理装置の主な機能に次のものがある。

(1) 各種入出力装置の制御

入出力装置としては図 9. に示すように、CRT = -100 =

- (2) FCP (Format Control Program) の アセンフル, FCP はいった ん中間言語におとされ, 中間言語がそのまま直接実行される。
- (3) 中間言語の直接実行

これらはすべて, 一つの マイクロプロセッサ により制御され,かつ個々の動作は同時動作が必要であるため, 簡単な リアルタイム・モニタ を導入している。M 2350 の プログラム 構造を図 10. に示す。

ことで採用した = 19 は,端末装置の特殊性を配慮し, = 10 を可能な限り小さくし, かつ = 10 個までの = 10 の管理を可能にしている。 = 10 の状態遷移図を図 = 10 に示す。

4.2 マイクロプロセッサ導入の効果

端末装置に対する要求は、さまざまのものがあるが、主なものを挙 げると次のようなものがある。

- (1) インテリジェント 化
- (2) 小形化
- (3) アプリケーション に対する適合性
- (4) 社会環境に対する適合性(低騒音など)

インテリジェント ディスプレー 装置はこれらの要求を満たすことができる有

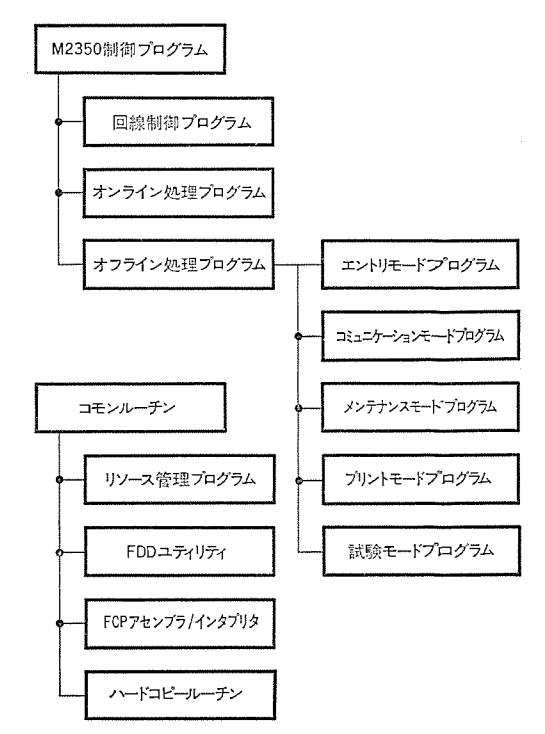


図 10. M 2350 インテリジェント ディスプレー 装置の プログラム 構造

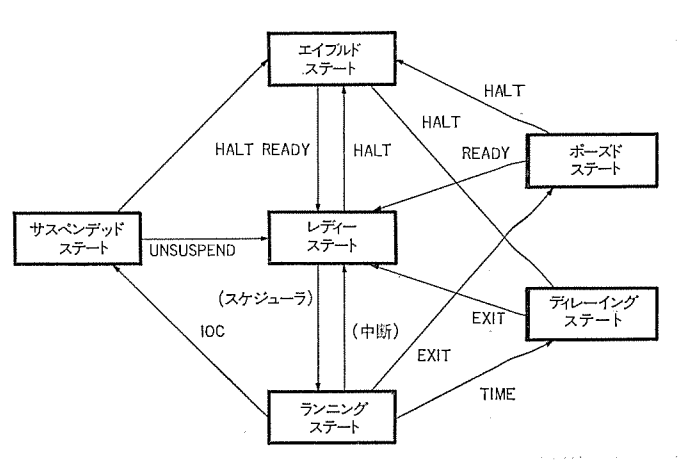


図 11. M 2350 の タスク の状態遷移図

望な端末装置であるが、 特に マイクロプロセッサ の導入 の効果が著しいものとして次のものがある。

(1) 安価で、小形の インテリジェント 端末の実現

従来、プログラム制御方式を実現する手段としてはミニコンピュータの導入が一般的であったが、スタンドアロンタイプの端末にミニコンピュータを導入することは価格的に無理であった。マイクロプロセッサの導入により、この問題を解決し、安価かつ小形のインテリジェント端末を実現した。

(2) ハード, ソフト 共に フレキシブル な端末の実現

端末装置に対する アプリケーション からの要求は多種多様であるが、 これらの要求に適合した端末を提供することが、端末 に課せられた課題である。

その一解決法として、フレキシブル な端末を提供することが考えられるが、端末装置にマイクロプロセッサによるプログラム 制御方式を導入することができたために、このことが可能になった。

5. A 5488 フレキシブルディスク接続機構への応用

フレキシブルディスク は小形・軽量のわりに記憶容量が大きく, 低価格, 再使用可能, 操作音が静かである, など種々の利点をもっているた

め、紙カードや紙デープに代わる媒体として近年注目を集めている。

A 5488 フレキシブルディスク 接続機構は、《MELCOM-COSMO》 500 の入出力装置の一つである M 2871 フレキシブルディスク 装置の制御装置 として開発されたもので、入出力多重制御装置 (PMX) を通して多重入出力処理装置(マルチプレクサ・チャンネル)に接続され、M 2871 フレキシブルディスク 制御装置 に 内蔵されている 2 台の ディスクドライブ を制御する。

ディスクフォーマット は IBM 3740 システム と互換性をもち、 データエントリシステム における オンライン 入出力装置、あるいは プログラムローダ として用いるのに適している。また、 マイクロプロセッサ を採用して フォーマット制御や シーク 制御などの複雑な制御を マイクロプログラム 制御しているため、部品点数の減少による小形化、低価格化を実現したばかりでなく、エラーチェック機能の充実によって高い信頼性を得ている。

5.1 マイクロプロセッサの使用法

フレキシブルディスク接続機構は、図 12. に示すように三つの部分から構成されている。

PMX $_{7297z-3}$ 部,及び デバイスインタフェース 部は, マイクロプロセッサ 部により制御される。マイクロプログラムは 1 語 32 ビット から成り,ROM から読出されて ALU, プログラム アドレスコントローラ 及び外部 フラグコントローラ に加えられる。

ALU は ビットスライス の ショットキーバイポーラ・マイクロプロセッサ で、8 ビット である。

A 5488 フレキシブルディスク 接続機構の機能のうち、主なものとして次のものが挙げられる。

- (1) シーク機能(指定 トラックへの ヘッドの移動)
- (2) リード機能(データの読出し)
- アイクロプロセッサ部

 アイクロプロセッサ部

 アイクロプロセッサ部

 アイクロプロセッサ部

 アイクロプロセッサ部

 アイクロプロセッサ部

 アイスカドライブ

 ROM
 (1語32 ビット)
 ス部

 ALU
 (8ビット)

 外部フラグコントローラ

 外部フラグコントローラ

 M2871
 フレキシブルディスク装置

図 12. A 5488 フレキシブルディスク 接続機構 ブロック 図

A5488フレキシブルディスク接続機構

- (3) ライト機能(データの書込みと再読出しによる チェック)
- (4) イニシャライズ機能(フォーマットの書込み)
- (5) IPL 機能(初期 プロクラム の自動読込み)
- (6) アテンション 機能(媒体 セットの報告)
- (7) センス 機能(状態情報の報告)

5.2 マイクロプロセッサ導入の効果

マイクロプロセッサの採用により、小形・低価格ながら豊富な機能を備えた、 ユーザの使いやすい制御装置が実現できた。

《MELCOM-COSMO》 500 では外にも マイクロプロセッサ採用の入出 力制御装置を開発中であり、マイクロプロセッサ部と PMX インタフェース部 の回路はこの接続機構と共通化されている。

このように、マイクロプログラム と デバイスインタフェース 部の変更だけで他の制御装置と共通化できるという柔軟性も、マイクロプロセッサ方式の大きな利点といえる。

6. む す び

以上に述べたように、計算機並びに周辺端末機器関連分野において も、さまざまの形態で、 広範囲に マイクロプロセッサ が利用されつつあ る。

しかし、マイクロプロセッサは、一見従来の MSI、SSI と同様の部品としての形態をなし、本来部品として取扱われるべきものではあるが、機能が大きいだけに人的資源若しくは設備の点で恵まれた環境にある計算機関連分野においても、その利用技術を確立するまでにはマイクロプロセッサの評価からはじまり、デバッグ方式の確立、ファームウェア人口の確保、検査体制の確立など、さまざまな問題を解決しなければならなかった。

今後、マイクロプロセッサは、従来計算機と は直接的な関連のなかった分野にまで浸 透して行くであろうが、これらの分野で の利用規模が拡大するに従い、上記の問 題が表面化してくることを心しておく必 要がある。

更に、計算機関連分野においても一応の利用技術の確立ができているとは言え、より一層の利用範囲、並びに規模の拡大に伴い、より効率のよい開発・製造体制の確立が必要となる。その中でも特に重要なものは、マイクロプロセッサ応用におけるソフトウェアの生産性向上であると言えよう。

マイクロプロセッサ応用製品

—MUS-10三菱万能計算表示装置の監視・制御への応用—

岩 永 俊 之*·伊 藤 堅 一*·西 山 幸 和*·石 橋 彰 彦*·野 村 大 也*

1. まえがき

1974年、第2世代のマイクロプロセッサが開発され、産業用電気品の分野においても、その性能、コスト及び信頼性の点から、そのニーズによくマッチしていることが、認められるようになり、急速にこの分野での応用範囲が拡大されるようになった。

今回マイクロプロセッサを主要構成要素とし、表示用として CRT ディスプレー (カラー 又は白黒) を使用した MUS-10 はん(汎)用計算表示装置は、複雑、高度な計算処理を伴うプラントの制御や監視用としても最適である。ことにその基本システムの概要と具体的な応用例について述べる。

2. システムの概要

2.1 特 長

MUS-10 は次のような特長をもつ。

(1) 耐環境性機器である。

最初,船用として開発されたために,厳しい設置環境条件にも耐えることができる。特に振動、衝撃,電源変動,周囲温度,湿度などの悪条件について,世界の主要な船級規則に適合する。

(2) CRT 表示が可能である。

CRT に表示することにより、1 画面に多量の データを表示することができ、更に棒 グラフなどの グラフィック 表示も可能であるので、その相関関係を知ることが容易である。 また、文字や グラフ の背景に、磁気 ビデオディスク (MVD) に ビデオカメラ を使って録画された映像が再生され、文字と画とを重ね合わせることができる。複雑な線や写真なども、簡単に録画、再生することができ、 画を作る ソフトウェア の作業時間が低減される。

(3) 高精度の高速演算が可能である。

マイクロプロセッサ は、ミニコン に比べ処理速度が遅いため、高精度の高速 算術演算には、一般に不向きであるが、別に高速算術演算処理装置 (HSA) を有するので、 $32 \, E_{vr}$ の フローティング演算が、約 $1,400 \, E$ 秒の高速で処理可能である。(ミニコン 並み)。

(4) 遠方データ伝送ができるので、信号線を削減できる。

遠方にある接点信号,並びに測温抵抗体,熱電対,圧電変換器及び電力変換器などの アナログ 信号を マイクロプロセッサ に, 入力 データ として伝送するもので,数百点の外部信号に対し, ツィストケーブル を 2 本布設するだけで,信号の伝送が可能であり,信号ごとに電線を布設する必要はない。遠方 (現場) ですべての信号は パルス に変換され,マイクロプロセッサ 内部の プログラム によって シーケンシャル に制御され, 遠方の データ が順次 サイクリック に メモリ へ書込まれ,更新される。これらの データ 伝送には専用の LSI を使用したため最大 2 km まで伝送可能であり, 2 km を越える場合は 2 km ごとに増幅 ユニットを追加すればよい。

(5) ハードコピー ができる。

CRT ディスプレー に表示された データ を、 ノン インパクトタイプ の電子 プリン

電子 プリンタ の代わりに、従来の タイプライタ も使用することができるので、データロギング のための作表も容易である。

- (6) 非破壊読出し形の ワイヤメモリ のために信頼性が高い。
- メモリの RAM/ROM 切換えが、スイッチ 操作だけでよく、システムディバッグが容易である上に、ROM として使用した場合、 非破壊読出し形であるために、記憶内容が変わることなく、高信頼性である。
- (7) プログラム の ロード は高速な紙 テープリーダ (PTR) で処理される。 大形計算機 《MELCOM》 7700 を用いた クロスアセンブラ により、 オブジェクトテープ を作り、 この PTR で メモリ へ自動的に、 高速に書込むことができる。

2.2 構成機器の説明

標準的な ハードウェアの構成を図 1. に示し, これらの概要について説明する。

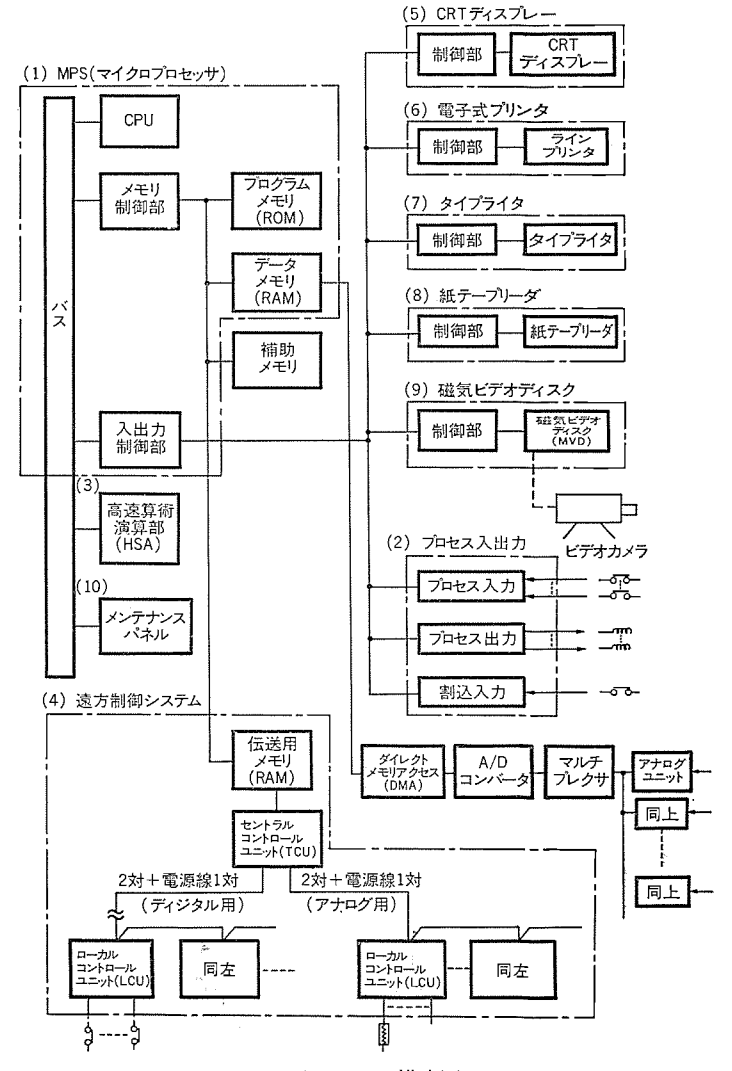


図 1. システム 構成図

(1) MPS (マイクロプロセッサ)

この装置の中枢をなすもので、CPU、メモリとその制御部、入出力 制御部より構成され、各種周辺機器と自由に組合せることができる。

- (a) CPU……三菱 M 58710 S, 8 ビット 並列処理 1 チップ LS1 インテル 社 8080 と互換性有
- (b) プログラムメモリ (ROM)……非破壊読出し式 ワイヤメモリ (標準16 K バイト, 最大 64 K バイト)
- (c) データメモリ (RAM)……IC メモリ(4K バイト 単位), ワイヤメモリ(4K バイト単位), 又は コアメモリ(4K バイト)
 - (注) (b)+(c)で最大 64 K バイト
- (d) 補助 メモリ·····フレキシブルディスク (250 K バィト)

(2) プロセス 入出力

プロセス 機器(電磁弁, リレー, コンタクタ, リミットスイッチ など)との接続を行うもので, 外部からの ノイズ をしゃ断するために, 入力, 出力 共に フォトアインレーション を行っている。

- (a) プロセス 入力……16 点/カード, 最大 2,048 点
- (b) プロセス 出力……16 点/カード, 最大 2,048 点
- (c) 割込入力…… 8点

(3) 高速算術演算処理装置 (HSA)

一般に MOS 形の マイクロプロセッサ は、 その処理速度が遅いため、高精度の演算を高速に処理することができない。これを解決するために、バイポーラ 形 IC を採用した高速算術演算装置を並用する。

- (a) 32 ビットフローティング演算で、10 進数で表現すれば、 2.6×10^{-20} $\leq |\mathbf{M}| \leq 9.2\times 10^{18}$
- (b) 処理速度……700 μs/1回の計算 (ただし ソフトウェア の処理 も含む)

(4) 遠方制御 システム

ディジタル 入出力

- (a) 方式 サイクリックパルス 同期式
- (b) チェック 方法 伝送線路は フィードバック 照合,入田力信号は 2 連送照合
- (c) 伝送速度 20 ms/30 点
- (d) 点数 480 点/セントラルステーション, 2 対 ケーブル+ 2 心電源 ケーブル

アナログ 入力

(a) 入力信号 標準 0~5 V

下記の検出端は、直接入力できるように、 トランスデューサュニット をもっている。

Pt $100\,\Omega$ 測温抵抗体,CA 熱電対, $4{\sim}20\,\mathrm{mA}$ 電流源,その他,電力,周波数,流量,積算回転数など

- (b) チェック 方式, 基準入力照合方式
- (c) 伝送速度 2.5 s/256 点
- (d) 点数 256 点/セットラルステーション, 2対 ケーブル+2心電源 ケーブル

(5) CRT ディスプレー

- (a) 白黒 テレビ,14 インチ,32 字 $\times 16$ 行,英数字,特殊記号, グラフ 用記号, Λ タカナ は オプション
- (b) カラーテレビ, 14 インチ 又は 20 インチ, 32 字×26 行, 記号は(a) と同じ

磁気 ビデオディスク と組合せ、文字と画を重ね合わせ可能

(6) 電子式 プリンタ

(a) 方式 放電破壊による ノン インパクト 方式

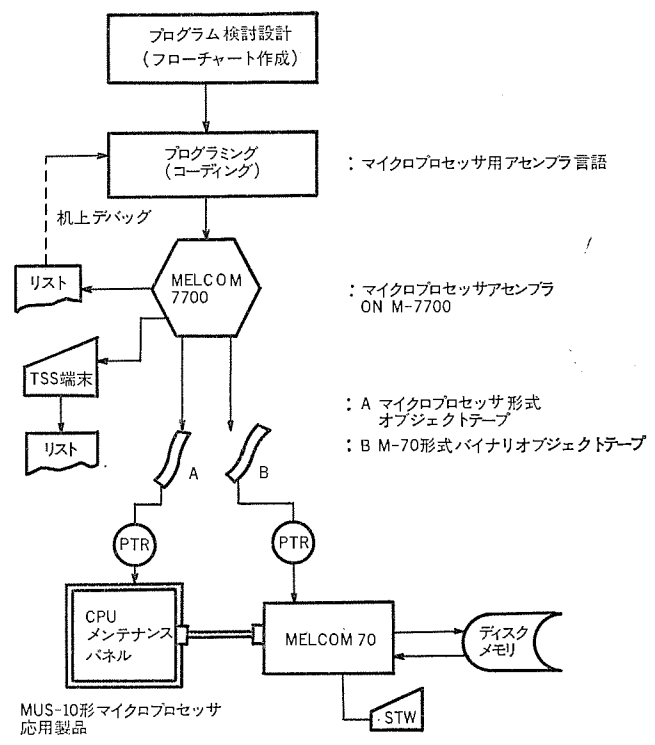


図 2. ソフトウェア 作業の流れ

(b) 速度 2 行/秒, 40 字/行

(7) タイプライタ

- (a) 方式 固定 キャリッジ形
- (b) 速度 930 字/分, 130 又は 156 字/行
- (8) 紙 テープリーダ (PTR)
 - (a) 方式 光電式
 - (b) 速度 240 バイト/秒
- (9) 磁気 ビデオディスク (MVD)

ビデオカメラ で撮影した映像を録画し、 再生する。(5)項 カラー CRT と組合せて文字と画を重ね合わせることができる。

静止画像 最大 230 画面 (白黒), 40 画面 (カラー)

(10) メンテナンス パネル

プログラムのディバック、保守などに使用し次の特長がある。

- (a) メモリの RAM/ROM 切換え
- (b) データの読出し/書込みのとき、アドレスの インクリメント、デクリメント
- (c) プログラム の実行を任意の番地で停止させる サーチ 機能
- (d) 他 システム の メモリ との データ 授受

2.3 サポートソフト

CPU に使用される ソフトウェア として、体系化された《MELPS》 8 があるが、 これを発展させ《MELCOM》 7700 を用いた クロスアセンブラにより、ソフトウェア 作業を効率化している。(図 2.)

3. 具体的な応用例

3.1 船用積付け計算機

船舶の安全運航のためには、船体に過大な応力が発生しないように 正確な計算に基づいた貨物、バラスト、燃料油など適切な積付け計画 が必要である。ところが最近では、貸物の多様化、船舶の大形化に 伴って、計算作業が複雑化し、多くの労力と時間を費している。こ の計算機は、これらを解決するもので最新の船体構造設計法に見合 った高度な計算処理を行っており、計算の結果を CRT に文字と ヴ ラフ 表示を行い、プリンタ によって ハードコピー を行う。(図 3.)

3.2 船用主機エンジン遠隔操縦装置

この装置は、船橋 (ブリッジ) の コントロールレバー の操作により、機関室 にある推進用 ディーゼルエンジン の始動、 停止、 逆転及び回転数の制御を行うもので、次の特長をもつ。

- (1) コントロールレバーの位置を時刻とともに記録する テレグラフロガー 機能がある。
- (2) 各種の設定が、ディジタルであるために調整しやすく、経年変化、温度 ドリフト がない。
- (3) シミュレーションテスト用のミミックボードがあり、各種のファンクションテストが可能で、更にシーケンスの動作状態を表示灯で確認できる。
- (4) 適切な オペレーションガイド が行える。(図 4.)

3.3 船用エンジンモニタ装置

この装置は船舶の中央機関室に設置され、プラントの運転状態を集中監視するものである。 被監視機器に取付けられた センサ からの情報 (温度, 圧力、リミットスイッチ の信号など) は機側の ローカルステーション で多重信号に変換され、2 対の信号線で セントラルステーション へ伝送されるので、従来装置に比べて、信号線が大幅に削減され、工事費が低減されると同時に保守が容易になり、信頼性が向上している。従来のランプ・メータを並べた大形の監視盤に代わり、CRT 表示による コンパクト 化を図り、プラントの関連する情報が、CRT に、高密度に表示されるため、状態監視が容易になり、安全かつ経済的運転となった。(図 5., 図 6.)

3.4 冷凍コンテナ監視装置

との装置は冷凍 コンテナ船の冷凍 コンテナの温度、デフロスト、コンプレッサ



図 3. 船用積付け計算機

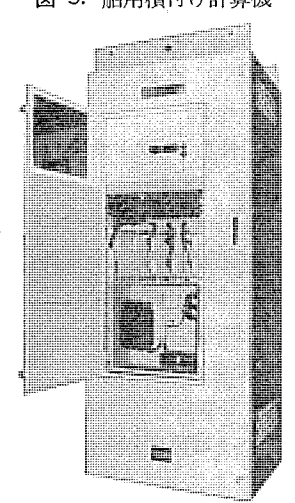


図 4. 船用主機 エンジン 遠隔操縦装置

の運転、コンプレッサ用電源の 入切,及びコンテナの接続状態信号を時分割サイクリック 方式で多重伝送し,中央監視盤上のCRTディスプレーによって,これらの状態表示, 警報を行い,プリンタにより 記録を行う。

更に、運転中の コンプレッサ 台数を数え、必要電力を算 出して発電機の台数制御も 可能である。

従来方式では、1,000本以上の外線を布設し、中央監視室には数百個以上の表示灯を並べ、多くのタイマ、リレーにより構成されていた。この装置の採用により、外線は7心ケーブルを1本布設するだけでよく、監視室にはマイクロプロセッサと CRTディスプレーを含んだ小さなユニットを設置するだけでよ

3.5 街路環境監視装置 この装置は市街地に設置され、その環境を監視するも

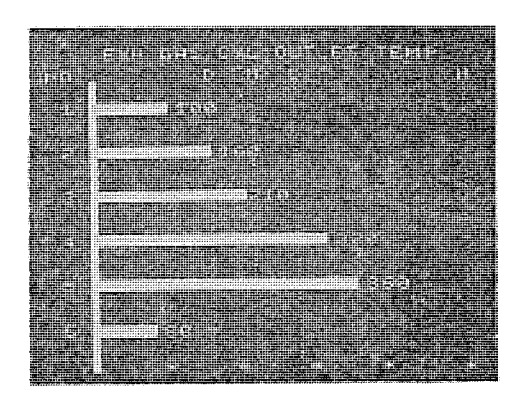


図 5. 船用 エンジンモニター排 ガス 温度監視の CRT 表示

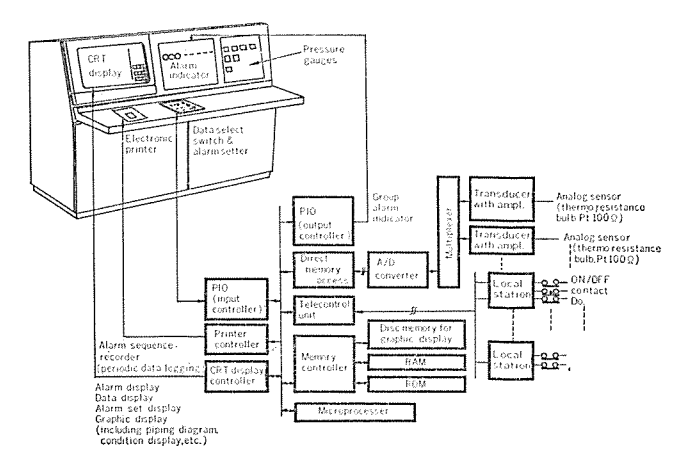


図 6. 船用 エンジンモニタ ブロック 図

ので、騒音や大気中の一酸化炭素を自動的に計測し、その平均値を 算出し、大形の ティーシタル 表示を行うと同時に、その公害の程度を分 かりやすくするための マンガを カラーテレビ に映しだす ものである。更 に日付け、時刻とともにすべての テータ を自動記録する電子式 ウリン タ をもっている。下記がその特長である。

- (1) ディジタル 表示器は、 表裏 2 色に塗りわけられた球を電磁力によって表示するもので、球切れのある電球式でないので、寿命は半永久的であり、夜昼に関係なく見やすい。
- (2) MVD により カラーテレビ への イラスト (マンガ) の再生が容易である。
- (3) 自動的に複雑な統計計算処理と記録が行われるので、省力化される。
- (4) 電話回線の利用により、数多くの ステーション の データ を、中央 監視することができる。
- (5) 風雨にさらされ、直射日光の当たる悪環境下に設置万能である耐環境性機器である。(図 7.)

3.6 工業プラントにおける集中監視

プラント 制御で、数多くの機器の集中監視には、従来、各機器に対応した表示灯をもつ グラフィック パネル が使用されてきたが、監視項目が多すぎると、パネル 寸法が過大になり、監視が困難であった。更に各機器から数百本におよぶ遠距離の電線を必要とした。これらを解決するために、MUS-10 を応用した例を述べる。

3.6.1 排煙脱硫プラントの集中監視

数十台の ポップ の運転状態及び数百個の電動弁の開閉状態, シーケンス の進行状態を白黒の CRT ディスプレー に集中表示した。 また, 多重 伝送機能の応用により, 信号線数を大幅に削減する ことができた。 (図 8.)

3.6.2 製粉工場用大形サイロ制御の集中監視

電動機,電動弁など,500~600個の状態監視用として,20 インチカラ – CRT ディスプレー3 台を採用した。制御 フローを磁気 ビデオディスク (M VD) に録画しておき,選択信号により所定の画面が CRT に再生され,これに重ね合わせて,機器の運転状態を カラーの文字,記号で表示した。今回は36枚の画面を必要に応じて,操作盤の キースイッチによる選択,運転時に必要な画面の自動選択が行われる。特にプラントの異常時には,最優先に該当画面が自動的に選択され,故障機器のフリッカ表示と故障内容の キャラクタ表示が行われる。(図 9.~図 11.)

3.7 データロガー

CRT ディスプレー, タイプライタ, 電子式 プリンタ の機能を駆使した データロガー としての応用例を述べる。従来の データロガー と比べ, CRT 表示 であるため, 1 度に多量の データ 表示ができ, 更に グラフィック 表示ができるので, 運転員の労力が軽減される。

3.7.1 受電設備用データロガー及び制御

この装置は、受電設備において、電力量、電圧、電流、力率などの 状態監視、デマンド監視を CRT に表示するとともに、定時、又は任 意リクエストにより タイプライタ でロギング を行う。

受電設備で重要な デマンド 監視は、 予測 デマンド が上限値を越える と警報を発する。最大 デマンド, デマンド 残り時間を数字で表示し、 デマンド の現在値と最大 デマンド との比は グラフ で CRT に表示する。

更に、この装置は進相 コンデッサの接続量を自動的に制御し、力率の自動制御も行っている。(図 12.)

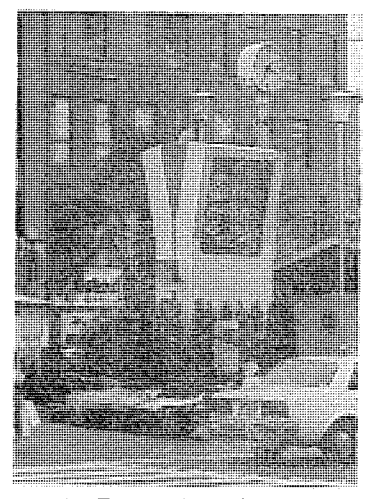


図 7. 街路環境監視装置

3.7.2 浄水場設備用 データロガー

受電電圧、電流及び原水流量、配水池水位などのアナログ量をCRTディスプレーにディジタル表示する。また受電線の地絡、過電流事故などの監視、及び配水池水位の異常状態の監視を行い、警報を出すと同時に警報記録用プリンタに時刻と事故内容を記録し、更にCRTにも表示する。

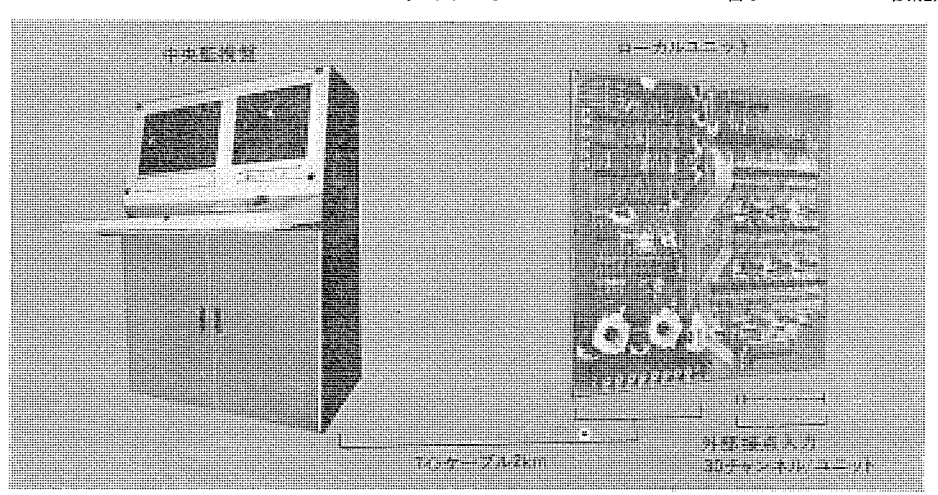


図 8. 排煙脱硫 プラント における集中監視―中央監視盤と ローカルユニット

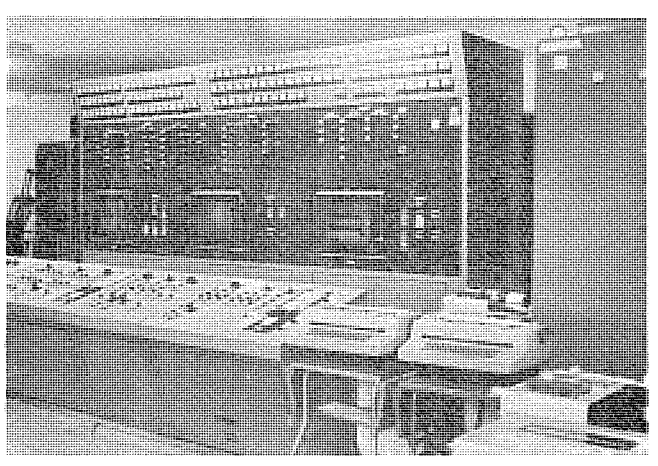


図 9. 製粉工場用大形 サイロ の集中監視と制御

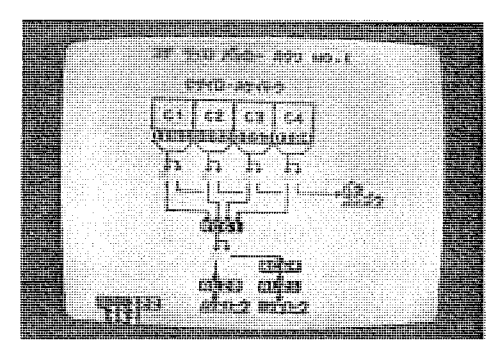


図 10. 製粉工場用大形 サイロ の集中監視と制御 の ブロック 図

しゃ断器, コンタクタ, ブレーカ などの開閉状態を CRT 上に, スケルト v で表示する。(図 13.)

3.8 デバイスコントローラ

マイクロプロセッサ を デバイス の コントローラ として使用すると, 従来,デバイス ごとに異なった コントローラ を標準の ハードウェア で実現できる。 その応用例を次に述べる。

3.8.1 カセット磁気テープ、プリンタ用コントローラ

これらの装置は汎用 シーケンサ《MELSEC》の プログラム 入出力装置であり、《MELSEC》の プログラム を読出して カセット MT へ記録する DUMP 機能、《MELSEC》 メモリ へ カセット MT の内容を転送する LOAD 機能、《MELSEC》 メモリ の内容と カセット MT の内容とを照合する VERIFY 機能、プログラムを他の番地へ移す RELOCAT 機能

などをもっている。 プリンタ は、《MELSEC》 の メモリ の内容や, カセット MT の内容の ハードコピー に使われる。

8.2 CRT 付きシーケンサ用プログラミング パネル

この装置は \mathfrak{I}_{0-} ケンサ《MELSEC》 710 の \mathfrak{I}_{0} グラミング パネル の機能に CRT の機能を付加したもので、次の特長がある。

- (1) CRT に同時に 15 行の シーケンス を表示することができる。
- (2) シーケンス を図案化 して表示している ために, シーケンス の流れを容易には(把)握 することができる。
- (3) オンラインモニタ機能によって、シーケンス

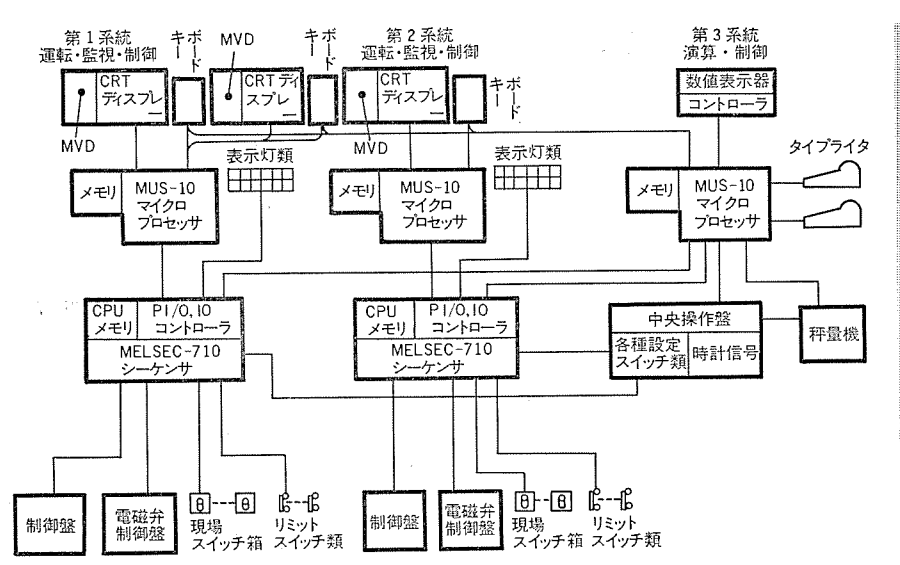


図 14. CRT 付 シーケッサ 《MELSEC》 710 用 プログラミッグ パネル

図 11. 製粉工場用大形 サイロ の集中監視・制御の ブロック 図

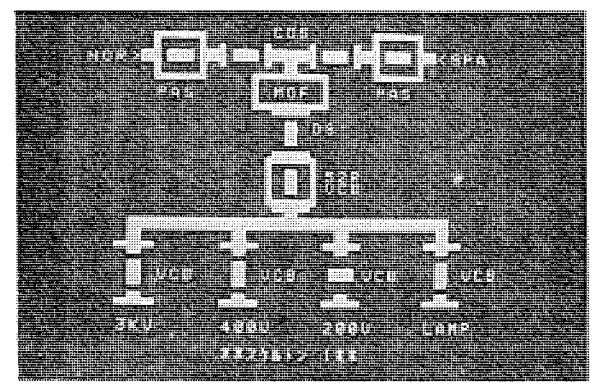


図 12. 受電設備用 データロガー ― スケルトン の CRT 表示

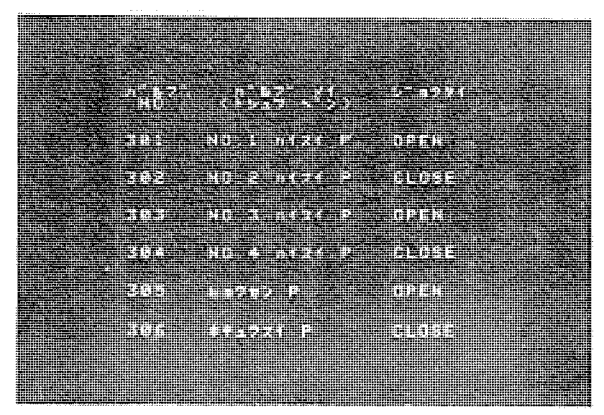


図 13. 浄水場設備用 データロガー 一機器運転状態の CRT 表示

の入出力条件を ϵ 2 ϕ 2 することができ、 故障の発見が容易となる。 (図 14.)

3.9 工業プラントにおける DDC

工業プラント分野における DDC の例として次に示す。これらはいずれも,シーケンサ《MELSEC》 710 と $_{0}$ ジックレベル で有機的に結合され,MUS-10 は数値演算制御を,シーケンサ は シーケンス 制御を分担している。

3.9.1 製粉工場用大形サイロ制御

大形 サイロ を有する製粉工場において、原料や製品の在庫管理、歩留り管理を行いながら、自動運転を行うもので、操作盤の キーボードにより、原料の取出し番号、投入先番号、投入量、銘柄、歩留り値、

予約番号などを設定し、その内容を ディジタル 表示器に表示する。取出し投入サイロ番号に従って系統が成立し、原料、粉の 輸送が行われ、秤量信号が、MUS にフィードバックされ、自動運転される。また、これらの状態は タイプライタ 2 台に定時あるいは任意に打出すことができる。(図 9.~図 11.)

3.9.2 焼結鉱の自動サンプリング設備の制御(鉄鋼プラント)

この装置は、高炉へ投入する人工 鉱石である焼結鉱の品質を管理す るもので、試料の自動採取、各種 試験装置への試料供給、最終的に

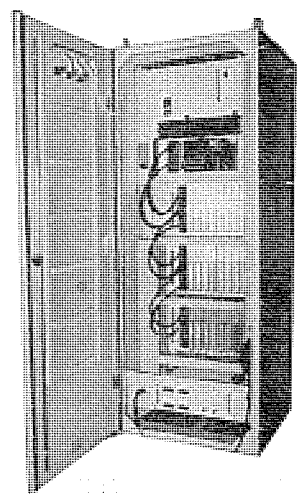


図 15. 焼結鉱の自動 サップ・ リッグ設備の制御用 パネル

分析 tつタに試料を送付し,併せて途中の分析 f-タ は中央の計算 t つタに刻々と伝送するものである。《MELSEC》 710 と MUS-10 を使用した大規模な DDC 50.25 しな である。(図 15.)

4. む す び

従来、コンピュータ化を望みながらも、その経済性、信頼性の面から断念していた分野にも、安価で、危険の分散化が容易に行えるマイクロプロセッサがますます適用されるようになる。 特に重電の分野においてこの傾向が強く、今回この分野への適用例について述べた。今後、高度なソフトウェア技術を知らなくても、 簡単にプログラム が可能になる キーボードプログラムローダを加えることにより、 更に広範囲な分野への応用が期待される。

最後に、これら装置の、製作調整、プラント 運転に際して、種々ご 指導、ご協力をいただいた関係各位に感謝の意を表する。

参考文献

- (1) 山地,原口,萱嶋,福島,井村:マイクロプロセッサ 応用 システムー MUS-10 三菱船用万能計算表示装置一,三菱電機技報,50, No. 3,147 (昭51)
- (2) 山地,原口:汎用計算装置への応用,情報処理,17,No.4,346(昭51)

マイクロプロセッサシリーズの最近の実績

水 野 忠 剛*·井手口哲夫*·大槻貞二郎**·山 田 圀 裕**·浜 野 尚 徳**

1. まえがき

半導体技術の進歩によって LSI 化が急速に進み、ワイヤードロジック 部はマイクロプロセッサシリーズにより置き換えられつつある。この傾向はマイクロプロセッサ 化による システム 開発期間の短縮、標準化のしやすさ、信頼性の向上、コストの低減、小形化の実現などによりますます促進されるものと思われる。マイクロプロセッサ 化においては、システム 設計がシステム フローチャート に基づく プログラム 開発に負うところが大きくなり、プログラム 作成の効率向上が重要な要素となる。当社では8 ビット 並列処理 マイクロプロセッサシリーズ《MELPS》8 (Mitsubishi Electric LSI Processor Series 8) を 開発するに当たり、コストパフォーマンス の優れたシステム 構成が可能なように、使いやすい品種の充実とともに、各種の言語 プロセッサ をはじめ 体系化 された ツール としての ソフトウェア をも開発したので、その最近の成果について概要を紹介する。

2. 《MELPS》 8 ハードウェア

《MELPS》 8_{N-1} ウェアは並列処理 8_{U-1} 、CPU を中心にして、LSI $_{X=U}$ 、周辺回路用 $_{IC}$ より構成されている。 表 $_{IC}$ に示したようにLSI $_{X=U}$ 、周辺回路用 $_{IC}$ に開発品種を追加し、 $_{U-1}$ 製品の充実を図った。図 $_{IC}$ 1. に《MELPS》 $_{U-1}$ 8 $_{U-1}$ 2 $_{U-1}$ 2 $_{U-1}$ 2 $_{U-1}$ 2 $_{U-1}$ 3 $_{U-1}$ 2 $_{U-1}$ 2 $_{U-1}$ 3 $_{U-1}$ 2 $_{U-1}$ 3 $_{U-1}$ 3 $_{U-1}$ 2 $_{U-1}$ 3 $_{U-1}$ 3 $_{U-1}$ 3 $_{U-1}$ 3 $_{U-1}$ 3 $_{U-1}$ 3 $_{U-1}$ 4 $_{U-1}$ 3 $_{U-1}$ 6 $_{U-1}$ 6 $_{U-1}$ 7 $_{U-1}$ 7 $_{U-1}$ 8 $_{U-1}$ 7 $_{U-1}$ 9 $_{U-1}$ 8 $_{U-1}$ 7 $_{U-1}$ 8 $_{U-1}$ 8 $_{U-1}$ 9 $_{$

2. 1 《MELPS》 8 CPU

《MELPS》 8 CPU (M 58710 S) は 8 ビット 並列処理の 1 チップ LSI C PU であり、 N チャンネル シリコン ゲート MOS プロセス にて開発されたものである。この CPU は インテル 社 8080 A と互換性をもち、高速処理、多重割込み、直接 メモリアクセス (DMA) 等の特長をもっている。

表 1. 《MELPS》 8 関連 LSI

1、加西的 5% 6 医原 155							
形名	機	ñŧ	構造	特	Ę		
1. マイク	ロプロセッサ						
M 58710 S	8ビット並列処	℡ CPU	N, Si	インテル社 80 ィブル	80 A コンパテ		
2. RAM	(Random Access	Memory)					
M 58721 P	★ 256×4 ビット	ティック RAM	N, Si	I/O 端子独立	CS 端子 2 コ		
M 58722 P	*	"	"	I/O 端子共通	CS 端子 2 コ		
M 58723 P		"	"	I/O 端子共通	CS 端子1コ		
M 58751 P	1024×1 ビット スタ	ティック RAM	"	低電力消費			
M 58755 S	4096×1 ビット	ナミック RAM	"	低電力消費			
M 58756 S		"	"	小形パッケー	/ (16ピン)		
3. フィー	ルドプログラマブル	ROM (Read C	Only Me	emory)			
M 58563 S	256×8 ビット	FAMOS ROM	P, Si	小容量低速ア	 ウセス		
M 58651 S	★ 1024×4 ビット		P, Al	電気的書込み,	消去可能		
M 58732 S	★ 1024×8 ビット I	AMOS ROM	N, Si	高速アクセス			
4. マスク	プログラム ROM(Read Only Me	mory)				
M 58730-	S 1024×8 ピット	ROM	N, Si	BNPF 形式,	16 進形式可 ジェクト形式)		
M 58731- ×××S	2018 × 8 12 1	ROM	N, Si	BNPF 形式,			
5. 周辺回	路用 IC						
M 54550 P		・ータ/ドライバ	В		ックゼネレータ		
M 54551 K	◆ システムコント ライバ	ローラ/バスド	В	メモリ, I/O る。	国路制御に適す		
M 54552 P	★ 8ピット I/O オ		В	ラッチ付ドライ			
M 58740 S	★ プログラマブル インタフェース	ィペリフェラル 、	N, Si	種々の I/O る。	装置制御に適す		
N:1	『チャンネル	P:Pチャンネ	ル	B:バイボー	ラ形		

Al: Al ゲート構造

★:新製品

基本構成は図 2. に示すように、四則演算、論理演算を行う"演算論理 ユニット"、演算の結果発生した サイン、 キャリー、パリティ などを保持する "フラグ F/F"、 データ を保持する データレジスタ、 CPU に与えられた命令を解読する "命令 デコーダ"、命令の読出し番地を指定する "プログラムカウンタ"、 CPU の動作を制御する "制御回路" などから構成されている。 CPU 外部との データ の授受はすべて 8 ビット の双方向性 データバス を介して行われ、その アドレス 及び I/O ポート の指定は アドレスバス を介して行われる。

次にこの CPU の悲本動作を図 3. に従って説明する。まず CPU の初期設定のため RESET を"1"にすると、プログラムカウンタは"0"になり、プログラム の実行は 0番地から始まる。 プログラム の実行中は 制御入力信号を E=9 し、割込要求 (LNT=1) があれば、その要因に応じた割込処理 $\mu=4$ して飛ぶ。 また $\pi=\mu$ で要求 (HOLD=1) があれば、データバスと アドレスバスを フローティング 状態にし、CPU は停止する。この状態では $\pi=4$ でルンバスは CPU から開放されるため DMA 転送などが可能になる。更に プログラム 実行中に外部 メモリ や I と要置などの外部装置との $\pi=4$ 授受の必要が生じた場合には、外部装置が READY 状態 (READY=1) にあるか否かを $\pi=4$

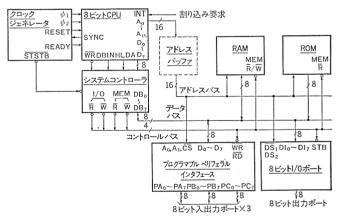


図 1. [《MELPS》 [8] システム ブロック 図

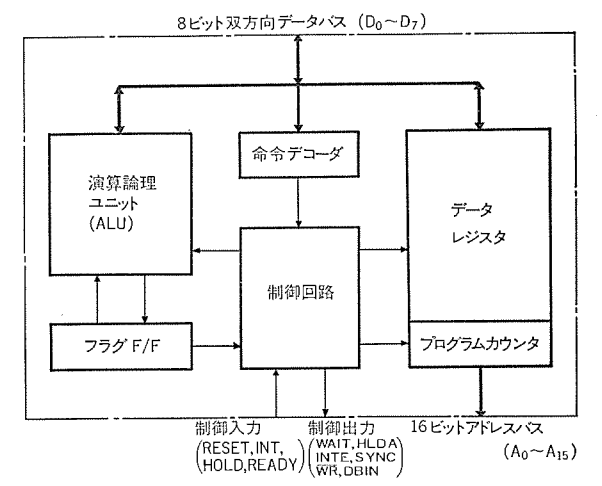


図 2. 《MELPS》 8 CPU の ブロック 図

Si:Si ゲート構造

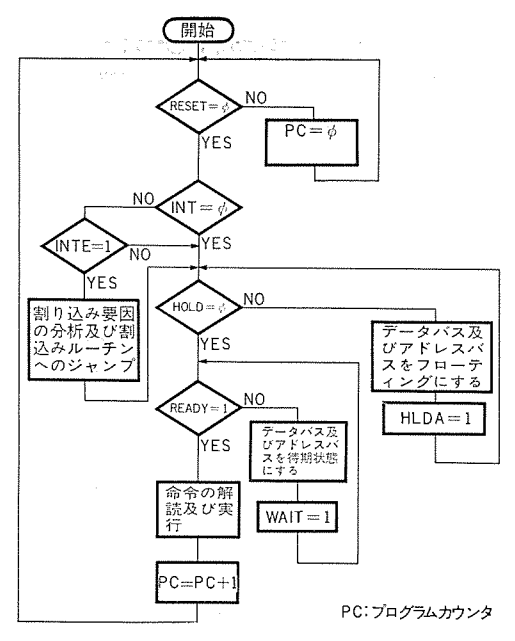


図 3. 《MELPS》 8 CPU の基本動作の フローチャート

し、READY 状態になければ CPU は f-9パス、 rドレスパス 出力を動作状態にして待機 (WAIT=1) し、外部装置が READY 状態になるのを待つ。 この機能は非同期に外部装置との f-9 授受を可能にするため、種々の $2 \ell^-$ の $y \in I/O$ 装置と直結が可能になる。 2. 2 LSI メモリ

CPU (M 58710 S) とともに使う LSI メモリとして データ 記憶用の R AM と制御 プログラム 用の ROM がある。RAM としては小容量 メモリ に適した スタティック 形 1,024 (256×4) ビット RAM 3 品種 (M 587 21 P, M 58722 P, M 58723 P) を追加した。この RAM は入出力,電源端子とも TTL レベル で駆動可能であるとともに,非動作時の パワーダウン 機能(標準値 22.5 mW),高速 アクセスタイム(450~250ns)のものを選別可能なように設計されている。 また比較的大容量の データメモリ 用として小形 パッケージ (16 ピッ)の ダイナミック 形 4,096 ビット R AM (M 58756 S) の開発を完了した。

制御 プログラム 用 メモリ として ューザ が自由に書込みのできる NM OS 形 4,096 (1,024×4) ビット EAROM (M 58651 S), FAMOS 形 8,192 (1,024×8) ビット PROM (M 58732 S), 及びLSI 製造時に書込みを行う 16,384 (2,048×8) ビットマスクプログラム ROM (M 58731-×××S) を《MELPS》8 シリーズ 製品として追加した。EAROM (M 58651 S) は電気的に消去, 書込みが可能なこと,消去,書込み電圧が 28 V と比較的低電圧であること,書換え回数が 106 回と

ROM としては無制限に近いこと, 読出し回数が 2×10¹¹ 回であることなどより,小量多機種の入出力装置の制御用,不揮発性の データファイルメモリ 等への使用が適している。

2. 3 周辺回路用 IC

《MELPS》8 の周辺回路用 IC として 4 品種の開発を完了した。クロックジェネレータ(M 54550 P),システムコントローラ(M 5 4551 K),8 ビット I/O ポート (M 54552 P)の バイポーラ 形 3 品種と プログラマブル ペリフェラル インタフェース (M 58740 S) の MOS 形 1 品種である。

クロックジェネレータ (M 54550 P) は CPU の クロック 信号 φι, φ₂, φ₂ 同期の RESET 信号, READY 信号などを発生する。 システムコントローラ (M 54551 K) は《MELPS》 8 システム を構成する RAM, ROM, I/O 回路に R/W 信号を与えると

ともに、駆動能力の大きい 8 本の I/O バスドライバ は CPU の データバス を実際に RAM, ROM, I/O 回路が接続される データバス から分離し、システム の駆動能力、ノイズ 余裕度を高める。また制御1信号の最適化を 図りおそい I/O 装置、 メモリ を使うことを可能にし ている。 8 ビット I/O ポート (M 54552 P) は 3 ステート の出力 バッファ 回路を備えた 8 ビット の ラッチ で構成され、出力 シンク 電流は 15 mA の 規格をも ち周辺 装置の駆動用に適している。

プログラマブル ペリフェラル インタフェース (M 58740 S) は システム ソフトウェア により プログラム 可能な入出力 インタフェース 国路で入出力 ポート として 応用範囲の広い MOS LSI である。24 ビットの入出 力端子をもち基 本的には8ビット入出力ポート3個に相当する。24ビットの入出力端 子は 12 $\stackrel{.}{\vdash}_{"}$ の A と B の二つの $\stackrel{.}{\not}$ に分けられ、CPU からの 別して 3種 (ϵ - $\tilde{\epsilon}$ 0, 1及び 2) ある。 ϵ - $\tilde{\epsilon}$ 0 では 8 $\tilde{\epsilon}$ ット 入出力 ポ - ト2個, 4 ビット 入出力 ポート2 個がそれぞれ入力あるいは出力 ポー トとして使用できるよう プログラム できる。 モード 1 では 24 個の入出 とも8ビットが入力あるいは出力のデータポートとして、残り4ビットが データ又は制御用として割込制御信号などに用いられる。 モード 2 は グループ A のみに用いられ、 8 ビットの双方向性 バス と 5 ビットの制御 信号として使われる。 CPU からの命令により 8 ビットのうち任意の ピットが セット又は リセットできる。このように種々の入出力信号の組 合せ信号を システム ソフトウェア により プログラム できる ことを特長とし ている。

図 4. に、システムコントローラ 及び、 プログラマブル ペリフェラル インタフェースの ブロック 図を示す。

2.4 LSI の信頼性評価技術

半導体集積回路の品質・信頼性保証の体制等については、既に紹介されている⁽¹⁾ので、LSI 開発における信頼性評価活動を概説し、《MELPS》8の信頼性物理を説明する。

巨大な回路 システム が、小さな シリコンチップ に集積される LSI では、ディスクリート 半導体や SSI クラス の IC の信頼性評価の ように、完成製品の評価だけでは、製品の信頼性向上に必要な信頼性物理の解明は困難である。 MOS の LSI 化が急速に進められた昭和 47 年ごろから、筆者らが描いてきた構想は、LSI を構成する単体素子や基本回路を REC (Reliability Evaluation Chips) として、そのプロセス や回路の基本的信頼性と故障に対する メカニズム を追求するというものであった。 昭和 49・50 年にその方法をマイクロプロセッサ 用 MOS LSI,

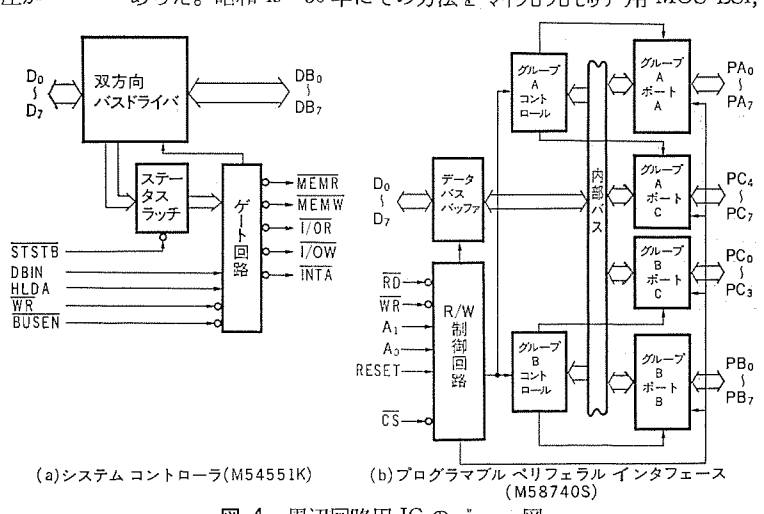


図 4. 周辺回路用 IC の ブロック 図

及び バイポーラヒューズ 式 PROM の開発に適用し、 その手法の有効性 が証明された $^{(2)}$ (3)。

現在,筆者らは,LSI 開発においては REC 評価で信頼性物理が 徹底的に究明され,適確な改善が行われて,LSI 完成品の総合的信 頼性が評価されるという手法をとっている。

RECによる基本的信頼性評価においては、①信頼性上の留意点に対する原因分類、モード分類が可能なRECを開発し、②RECの信頼性加速試験方法を開発し、③その評価により信頼性への影響の有無の研究と、④信頼性に影響する新しい(複合)パラメータ等の因子の発見……等が必要であり、評価技術と解析技術、及びそのための高度な観察・分析 ツールを要求される。故障メカニズムを追求し、信頼性物理に対する幅広い洞察力を持たねばならない。表 2. に開発頭初の故障モードとメカニズムを,マイクロプロセッサ RAM、FAMOS、EAROM の例で示す。これらは表 2. に述べた対策により完全に解決している。

完成品の信頼性評価においては、LSIの テスト技術の問題と、LSI

表 2. 開発頭初における故障 モード と メカニズム

	P(3)022(1)3	. , = ,,, = ,	
品 種 (プロセス)	故障モード	故障メカニズム	対 策
	・高温ストレスに よる接合リーク n ⁺ 拡散層 から p 基板へのリー ク電流の発生	・Al-Si 反応が結晶欠陥 などの一部分で起と り、そのため Al が Si 中に入り込み、p-n 接 合近くにまで違したも	・Al-Si 反応防止のため のプロセス変更
CPU (n-MOS Si ゲート)	・	・リンを含んだ上積み酸 化膜のわずかな導体化 により、その下のフィ ールド酸化膜を介して Si 装面が n 反転する	・Si 表面の n 反転防 止 のためのプロセス変更
	・ゲート破壊	・ゲート poly-Si 下 の ゲート酸化膜がオーバ エッチされ空洞ができ るため	・空洞発生防止のための プロセス変更
	・サージ破壊	・LSI テスタから発生	・テストプログラム変更
RAM	・アクセスタイム 不良	・VTH が高いためアク セスタイムのマージン がたくなる	・プロセスバラメータの 変更 ・設計上の変更
(n-MOS) (Si ゲート)	・シングルビット 不良 ・リフレッシュ不 良	・メモリセル部のゲート破壊や基板リークト	・ガート耐圧向上・基板リークの防止・スクリーニング方法の導入
FAMOS	・高温保存による 記憶"1"の揮 発	・ゲート酸化膜を通して フローティングゲート の蓄積電荷が逃げる。	・プロセスパラメータの 変更 ・スクリーニング方法の 違入
(p-MOS Si ゲート)	・ガラス封止パッ ケージの耐湿性 故障	・石英ガラスと封止樹脂 の結合が弱く、湿気が 浸入する	・封止樹脂の改良
	・書込み時の素子 破壊	・書込み時の高電圧ある いは大電流の印加でゲ ート破壊や p-n 接合 破壊が生じる。	・プロセスパラメータの 変更 ・スクリーニング方法の 導入
EAROM	・読出し動作によ る記憶"0"の 揮発	・読出し動作により誤書 込みが起とる	・設計上の改良 ・プロセスパラメータの 変更 ・スクリーニング方法の
(p-MNOS) Al ゲート)	・書込み特性不良	・ VTH が高いため, メモリセルにかかる書 込み電圧が低下する	導入 ・プロセスバラメータの 変更
	・アクセスタイム 不良	・ V _{TH} が高いため, アクセスタイムのマー ジンがなくなる	・プロセスパラメータの 変更 ・設計上の改良

表 3. 完成 LSI の信頼性試験結果 (例)

品 種(形名)	試験項目	試 験 条 件	試料数	コンポーネン トアワー (h・個)	故障数
CPU	高温動作寿命試験	Ta=125°C	25	1.25×10 ⁵	0
(M 58710 S)	高温保存試験	Ta=150°C	26	1.3×10 ⁵	0
RAM	高温動作寿命試験	Ta=125°C	149	2.71×10 ⁵	1*
(M 58755 S)	高温 DC バイアス 印加試験	Ta=125°C	66	1.37×10 ⁵	0
FAMOS	高温助作寿命試験	Ta=125°C	40	8×104	0
(M 58563 S)	高温保存試験	Ta=125°C	30	6×104	0
(,	紫外線照射試験	4.5mW/cm ²	10	1.5×10 ²	0
	高温動作寿命試験	(1) 記憶保持特性 Ta=125°C	20	2.2×10 ⁴	0
EAROM (M 58651 S)		(2) 読出し, 書込み、消 去特性 Ta=125°C	40	6×104	0
	高温保存試験	(1) 記憶保持特性 Ta=150°C	20	2.2×10 ⁴	0
		(2) 読出し, 書込み, 消 去特性 Ta=150°C	20	2×10 ⁴	0
	謝換え動作試験	Ta=25°C, 10°回/個	10		0

^{*} ファンクション不良 (240 h)

システムとしての問題とが中心になるが、①巨大なパターンに電気的 ストレスを印加する方法、②チップの回路上の異常箇所を解析する技術等が必要である。表 3. は、表 2. に対応する完成 LSI の総合的信頼性試験結果(4)の中の一例である。 いずれも 55°C 換算後の故障率は 100 FIT 前後が推定された。これらは REC 評価を徹底し、プロセスの基本的信頼性を確認、改善した結果である。

3. 《MELPS》 8 ソフトウェア

《MELPS》 8 を使用した マイクロコンピュータ 及び マイクロプロセッサ 応用機器の プログラム作成の ツール として本章で述べる各種の サポート ソフトウェア がある。

と時を同じくして開発が進められ、現在 図 5. に示す ソフトウェア の体系化がなされている。 これらの ソフトウェア の開発に際して、次の二つの基本的な設計方針をとっている。

(1) 異種計算機 システム に対する互換性の保持

はん (汎) 用計算機 システム で実行される ホストプログラム は, 仮想計算機 システム への入力とし, その記述言語は FORTRAN IV で統一化する。

(2) 各言語 プロセッサ の オブジェクト 言語の一元化

この基本方針に従って開発された各 プログラム について紹介する。

3. 1 コンパイラ PL/Iル

3. 1. 1. PL/Iμ 言語機能

PL/ $I\mu$ 言語は,汎用記述言語 PL/I を母体にし,マイクロプロセッサ の機能を十分に表現可能とする言語仕様 $^{(5)}$ となっている。 $PL/I\mu$ 言語機能において有効かつ特徴のある機能について述べ, $PL/I\mu$ 言語のもつすべての文形式を表 4. に示す。

(1) データの属性と構造

データの属性を規定するものとして、次の3種類がある。

(a) BINARY, BIT

処理 データの タイプ を規定する属性であり、 BINARY は サインビット を含み、BIT は含まない。

(b) EXTERNAL, INTERNAL

変数の有効範囲を規定する属性であり、EXTERNAL は外部手続きにその有効範囲が及び、INTERNAL は指定された手続き内にのみその有効範囲が限られる。

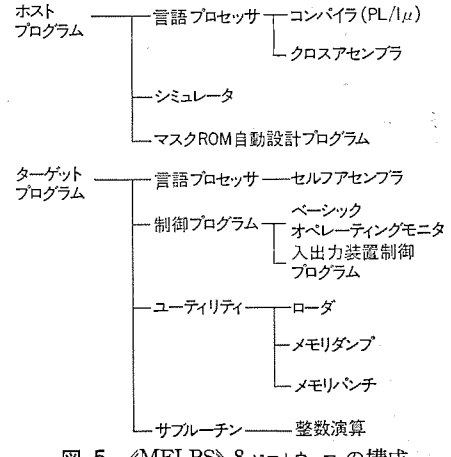


図 5. 《MELPS》 8 ソフトウェア の構成

```
代 入 文
CALL 文
                 [ラベル:]変数[変数]……=式;
                 [ラベル:]CALL 手続き名[(実引数[, 実引数]……)];
                                 . [変数名 (BASED 基底変数] | BINARY(i) | ALIGNED | ALIGNED | UNALIGNED | UNALIGNED |
DECLARE文(1)
                 [ラベル:] DECLARE [変数名 [BASED 悲底変数]
                             [INTERNAL] (INITIAL (定数〔, 定数〕······)〕;
EXTERNAL
                 [ラベル:]DECLARE (「変数名」 [BASED 基底変数] 「, 「変数名」 [BASED 悲底変数]
          (2)
                                  配列名
                                                         【配列名】
                             [(数値)] [BINARY(i)] [ALIGNED [INTERNAL] [EXTERNAL]
                             [INITIAL (定数[,定数].....)];
                 [ラベル:]DECLARE | 主構造名[BASED 基底変数][(数値)] [INTERNAL]
          (3)
                                                              EXTERNAL,
                    從攝造名,
                DECLARE ラベル LABEL (, ラベル LABEL)……;
          (5)
                         DECLARE 文字列定数名 DATA (定数〔, 定数〕·····),〔文字列定数名
                            DATA (定数〔, 定数〕……)〕;
                 「ラベル: ] DISABLE;
DISABLE 文
                 [ラベル:]DO;
          (1)
DO
          (2)
                 [ラベル:]DO[制御変数=式 TO式[BY式]];
                 [ラベル:]DO WHILE式;
          (3)
                 [ラベル:]DO CASE式;
          (4)
ENABLE 文
                 [ラベル:]ENABLE;
                 「ラベル: ] END [手続き名]:
END $
                 手続き名: ENTRY [(仮引数[, 仮引数]······)][RETURNS ([BINARY(i)])];
ENTRY X
                                                            (BIT(i)
GENERATE 文
                 [ラベル:] GENERATE (j, 「定数\).....;
                                      〔変数〕
                                  ラベル;
GOTO 文
                 [ラベル:] [GOTO )
                         igo tol
                 「ラベル: THALT:
HALT 文
                 [ラベル:] IF式 THEN 文[ELSE文]
ON k CALL手続き名;
IF文
ON 文
                 〔ラベル:〕手続き名:PROCEDURE [OPTIONS (MAIN)]
PROCEDURE 文
                         [(仮引数[, 仮引数]······)][RETURNS((BINARY(i)))];
                                                      (BIT(i)
RELOCATE 文
                         RELOCATE:
                 「ラベル: ] RETURN [(式)];
RETURN 文
                 [ラベル:];
学文
                 [ラベル:] (変数=INPUT(l));
入出力文
                         〔OUTPUT(ℓ)=式Ĵ
マクロ引用文
                 [ラベル:]マクロ名[実引数][,実引数]……;
                %[ラベル:] ブリブロセッサ変数=式;
%[ラベル:] ACTIVATE ブリプロセッサ変数 [, ブリプロセッサ変数]……;
%代入文
<u>% ACTIV</u>ATE 文
% DEACTIVATE 文 %(ラベル:) DEACTIVATE プリプロセッサ変数[, プリプロセッサ変数]……;
                         %END;
% END 文
% EXCLUDE 文
                %[ラベル:] EXCLUDE ファイル名;
                %(ラベル:) (GOTO ) ラベル;
(GO TO)
<u>% GOTO 文</u>
<u>% IF 文</u>
<u>% INCLUDE</u> 文
                %[ラベル:]IF式 % THEN プリプロセッサ文
%[ラベル:]INCLUDE ファイル名;
                %[ラベル:] MACRO マクロ名[仮引数[仮引数]……];
% MACRO 文
                %[ラベル:];
%空文
```

1≦i≦15, 1≦j≦16, 0≦k≦7, 0≦*l*≦255

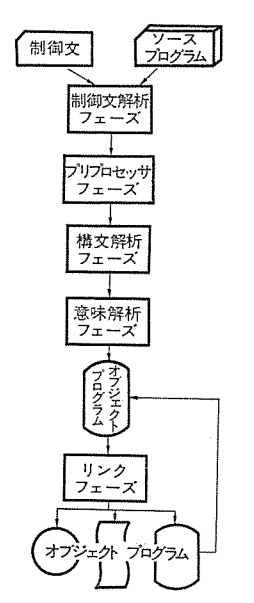


図 6. PL/I_μ 言語 プロ セッサ の構成

(c) ALIGNED, UNALIGNED 記憶域の構成を規定する属性であり, ALIGNED は バイト単位で, UNALIGNED は ビット単位に記憶域を割付ける。

データの構造は、3階層の構造体でかつ 1次元配列をとることが可能であり、構造体間の演算として構造式をもつ。

(2) ラベル による絶対値番地の割付け PL/Iμ 言語による プログラムの データ 及び プロセジュア に対して、 ラベル に数値を指定 することにより任意の番地に変数及び プログラムロジック 部を割付ける。

(3) 割込処理

外部割込処理手続きに対して,8種類の 入口点をON文により指定できる。

(4) インライン アセンブラ

アセンブリ 言語の機械語命令 78 種類の $z=\pm 1$ y/2 を z/20 として定義してあり,これを参照(z/20 展開)することにより z/20 z/20 が z/20 PL/z/21 学に記述できるz/20 つンパイル 時の操作

コンパイル 実行段階において、 10 種類の ゔリ ゔロセッサ 文により テキストの 変更, 修正及び 追加, マクロ 定義等が可能である。

3. 1. 2 PL/Iμ 言語プロセッサの構成 PL/Iμ 言語 プロセッサ は、 図 6. に示すよう に五つの フェーズ から構成^(G) されている。

(1) 制御文解析 フェーズ

ての フェーズ は、 コンパイラ に 与えられた制御情報を解析し、 制御情報 ファイル を作成する。 との ファイル は、他の フェーズ で参照される。

(2) プリプロセッサ フェーズ

テキスト内の プリプロセッサ 文の 翻訳及び解析, マクロ の展開等を行い, ソース プログラム の編集 を行う。

(3) 構文解析 フェーズ

このフェーズは、単語解析部と構文解析部から構成される。

単語解析部では、PL/Iμ 言語によるソースプログラムを区切記号によって単語に分割し、個々の単語を内部表現形に置き換える。 構文解析部では、単語解析部で生成された内部表現形列をPL/Iμの生成規則に従い、 左から右への上向構文解析法により構文解析し、逆ポーランド形式の中間言語を生成す

(4) 意味解析 フェーズ

る。

z = z = z = z は、意味解析部、最適化処理部及び z = z 生成部から構成される。

意味解析部では,前 フェーズで生成され

た中間言語をもとにして意味を解析し、疑似 メモリ に コード を生成する。

最適化処理部では、生成された コード に対して オブジェクト の高能率 化を図る。

コード 生成部では、最適化された オブジェクトコード を 《MELPS》 8 オブジェクト 言語として出力する。

(5) リンク フェーズ

この フェーズ は, テキストリンク 部と コード 生成部から構成される。

 $_{7}$ まストリンク 部では, 入力された複数の《MELPS》 8 オブジェクト 言語を表 5. (a) に示す 4 種類の シンボルタイプ を表 5. (b) に示す リンク 規則に従って一つの 7 キスト にする。

コード生成部では、前フェーズと同様《MELPS》8 オブジェクト言語として出力する。

3.2 アセンブラ

《MELPS》 8 の ァセンブラ は、二つの タイプ があり、一つは上位計算 機上で実行される クロスアセンブラ と、マイクロコンピュータ 上で実行される セルフアセンブラ がある。

表 5.(a) シンボル タイプ の種類

シンボル名	意	味
ENTRY	外部参照されるラベルで領域をもつ	c
AUTO	EXTERNAL 風性をもつ変数及び	スタックポインタ変数で、領域をもつ。
EXTERNAL	外部参照する未定義のラベル名,組 名で領域をもたない。	み込み関数及びそれに準ずる内部ラベル
INTERNAL	INTERNAL 属性をもつ変数及び	ラベルで,領域をもつ。

表 5.(b) シンボル の リンク 規則

テキスト (a)	テキスト (b)	アブソリュート オブジェ クト出力		リロケータブル オブジェ クト出力	
) + A F (D)	テキスト (a)	テキスト (b)	テキスト (a)	テキスト (b)
ENTRY	ENTRY	注 2	注 2	注 2	注 2
ENTRY	AUTO	ENTRY	INTERNAL	ENTRY	AUTO
ENTRY	EXTERNAL	ENTRY	INTERNAL	ENTRY	EXTERNAL
ENTRY	注1 (INTERNAL)	ENTRY	(INTERNAL)	ENTRY	(INTERNAL)
AUTO	AUTO	INTERNAL	INTERNAL	AUTO	AUTO
AUTO	EXTERNAL	INTERNAL	INTERNAL	AUTO	EXTERNAL
AUTO	(INTERNAL)	INTERNAL	(INTERNAL)	AUTO	(INTERNAL)
EXTERNAL	EXTERNAL	2]: 3	注 3	EXTERNAL	EXTERNAL
EXTERNAL	(INTERNAL)	注3	(INTERNAL)	EXTERNAL	(INTERNAL)
INTERNAL	(INTERNAL)	INTERNAL	(INTERNAL)	INTERNAL	(INTERNAL)

- 注 1 INTERNAL 又は無シンポルを表す
 - 2 2 重定義エラー
 - 3 未定義エラー

表 6. アセンブラ 疑似命令一覧

分類	命令	名	称
	NAM	プログラム名宣言命令	
	ORG	プログラムカウンタ設定命	令
アセンブラ 制 御 命 令	ROM	ROM 領域宣言命令	***************************************
ノゼンノノ 副国間号	RAM	RAM 領域宣営命令	
	BLK	ブロック宣言命令	
	END	プログラム終了宣言命令	
リンク記号 指 定 命 令	ENT	人口名宣言命令	
ソノン 配り 指足 間 守	EXT	外部参照記号宣言命令	
AU. Feb and Ed	EQU	数值記号設定命令	
数値配号・ メモリ内容定義命令	DEF	データ設定命令	
> = > () () () () () () () () ()	DADR	アドレス設定命令	
領坡確保命令	BSS	領域確保命令	
リスト制御命令	EJE	改ページ宣営命令	

基本的な アセッブリ 機能を指向した セルファセッブラ に、次の機能を付加したものが クロスアセッブラ の機能⁽⁸⁾であり、 クロスアセッブラ は完全な セルファセッブラ の スーパセット である。

- (1) マルチアセンブリ 機能
- (2) 条件付き アセンブリ 機能
- (3) リロケータブル オブジェクト 作成
- (4) リンケージ 機能

2027センブラ の アセンブリ 言語は《MELPS》8 CPU の機械語命令に 対応する 78 種類の基本命令と 表 6. に示す 13 種類の疑似命令とか ら構成される。

3.3 シミュレータ

《MELPS》 8 シミュレータ は、言語 プロセッサ である PL/Iμ コンパイラ 及び アセンブラ が生成した 《MELPS》 8 オブジェクト 言語を入力して、プログラム の デバッグ を上位計算機において行う。 シミュレータ に対する制御命令を表 7. に示す。

3.4 モニタ

表 8. (a) に示す4種類の モニタが開発されている。モニタは、ハード

表 7. シミュレータ 制御命令一覧

196 H				
項目	機能分類	制御コー	マンド	機能説明
大別		内 容	命令(注1)	
	スタート条	シミュレーショ ンスタート	START	使用計算機,コマンド入力機器,スタート番地を指定する。(注 2)
シ	件設定	再初期化	REINIT	START コマンド実行直後の状態にする。
ュレ	終了	シミュレーショ ン終了	<u>EN</u> D	実行を終了し、モニタにもどる。
レ 1 タ	プログラム の設定およ	対象プログラム のロード	<u>LO</u> AD	アブソリュートなオブジェクト又 はセーブされていた中間結果をロ ードする。
制御命	び退避	中間結果の退避	<u>SA</u> VE	実行内容及びレジスタ, フリップ フロップなど全情報を外部記憶装 置に保存する。
令	コマンド入 力機器の変	カードリーダに 変更	<u>BA</u> TCH	コマンドの入力装置をカードリー ダに変更する。
	更	システムタイプ ライタに変更	<u>TY</u> PE	コマンドの入力装置をシステムタ イプライタに変更する。
		対象プログラム の実行開始	ĞО	停止点を番地と命令数と両方で指 定が可能。
	開始	対象プログラム の実行開始	<u>RU</u> N	HLT まで実行し停止する。
	ALL PROPERTY OF THE PROPERTY O	ブレイクポイン ト指定	<u>BR</u> EAK	停止点を番地又は、範囲で指定す る。
	停止	ブレイクポイント指定解除	NOBREAK	ブレイクポイント指定 を 解 除 する。
奥		ステップ	STEP	後城語命令の数で、プレイクポイントを指定する。
		ROM領域指定	ROM	この命令で指定した領域がROM 領域であることを宣言する。
行	メモリ領域指定	ROM領域指定 解除	NOROM	ROM領域を解除する。
	III AL	メモリ保護領域 指定	PROT	保護する (アクセス不可能) メモ リ領域を指定する。
制		メモリ保護領域 指定解除	NOPROT	メモリ保護領域指定を解除する。
		悲数指定	BASE	数値をブリントアウトするときの 基数を指定する。
御	4111	プリントアウト の対象指定	<u>DI</u> SPLAY	レジスタ,スタックポインタ,プログラムカウンタ,フリップフロップ,I/Oボート,メモリ内容を 指定に応じてプリントする。逆ア
命	ブリントア ウト	数値変換	CONV	センブル機能を持つ。 現プログラムカウンタ,又は指定 した数値を2,8,10,16進で表 示する。
ক	A STATE OF THE STA	トレース領域指 定	<u>TR</u> ACE	レジスタ, プログラムカウンタ, フリップフロップ及び, 実行した 命令をプリントアウトしながら, プログラム実行を行う。
		トレース領域指 定解除	NOTRACE	トレース領域を解除する。
	データ設定		SET	レジスタ, スタックポインタ, プログラムカウンタ, フリップフロップ, I/O ポート, メモリ内容の値をセットする。
	割込み		INTER	割込み可能な場合, この命令で指 定したバイトの命令を実行する。
	ステータス	计算	TIME	との命令までに実行した機械語命 令のステータスの和を求める。

注 1 命令は、それぞれアンダラインの部分だけに省略することができる。

ウェア と ユーザプログラム の間に介在して, ハードウェア の利用効率の拡大を図るもので,プログラムデバッグ を主な機能とする開発用 π ニタ と,個個の π 0ステム で要求される実行形態を実現する実行用 π 1の機能 れる。開発用 π 2として充実した機能を持つ BOM-PTS の機能 一覧を表 8. (b) に示す。

BOM-PTS の プログラムデバッグ に有効な トレース、スナップショット、アドレスホルト の実行結果を、 プログラム とともに 図 7. に例 示する。図 7. (b) の①~⑤は、BOM-PTS の モニタコマンド で、 トレース、スナップショット、アドレスホルト 及び プログラム の実行開始を指示している。 それらは、図 7. (a) の プログラム に対して、 $100_{16} \sim 11 \, E_{16}$ 番地の トレースと、 シンボル 表示を《MELPS》 8 とする $12 \, A_{16}$ 番地の スナップショットと、 106_{16} 番地の アドレスホルトを行うことを示す。 ⑥~⑥ は モニタコマンド による出力である。⑥は トレース 実行の印字で、各 レジスタ に デタ が正しく設定されていくことが分かる。⑦は スナップショット 実行の印字で、 メモリ の内容を確かめることにより、 正常に プログラム が働いていることが分かる。⑧は アドレスホルト 実行の印字で、 106_{16} 番地

² この制御命令は、最初に使用し、必ずカードリーダから入力しなければならない。

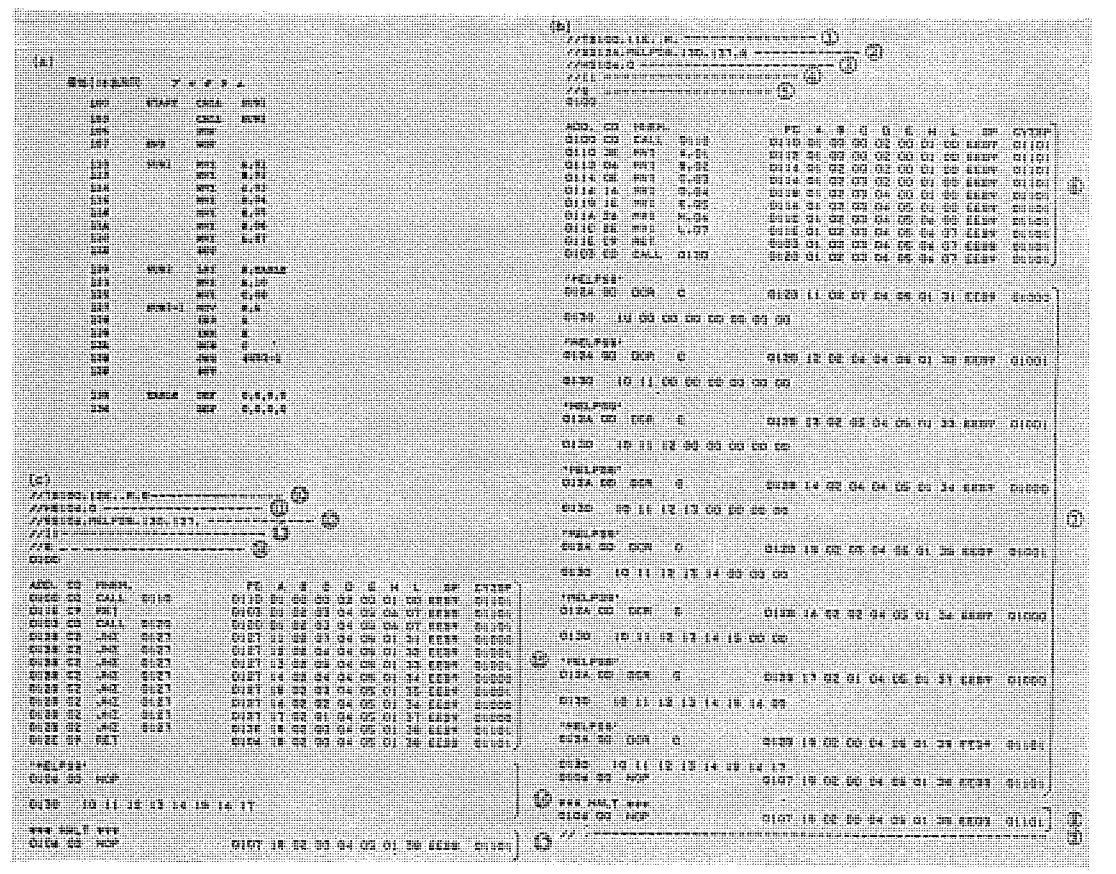


図 7. トレース, スナップショット, アドレスホルト の実行例

表 8.(a) モニター覧

モニタ名	説	明
BOM-S	プログラム開発用の汎用的なモニニタコマンドを持つ。これは, プ スホルト機能を有する。(プログラ	タで、 3コのマクロ命令と14コのモログラム処理により実児したアドレラム容量:4K パイト)
ВОМ-В	│ ニタコマンドと三つの汎用サブル │ れたモニタであるが, モニタコマ	タで、3コのマクロ命令と9コのモーチンを持つ。マスク ROM 化さンドの拡張がユーザサイドで可能で M 58731-001 S として製品化され イト)
BOM-PTS	命令と,22コのモニタコマンドを	に適応するモニタで、 3 コのマクロ 持ち、特にデバッグ機能が充実し、 止を有する。(プログラム容量: 7.5
TTS-M	多重タスク処理を特別なハードウ より実見する。汎用の実行用モニ イト)	ェアを用いないでプログラム処理に タである。(プログラム容量:100バ

表 8.(b) BOM-PTS 機能一覧

分	類	モニタコマンド・ マクロ命令名	援	能
プログラム実行	制御	G コマンド R コマンド PAUSE マクロ命令 EXIT マクロ命令	プログラム実行開始 プログラム実行再開 実行一時中断 実行終了	
入 出 力 観	」御	U コマンド EXIO マクロ命令	疑似入出力処理 入出力処理	
プログラムのロ 及びバンチ 	- F	LM コマンド DM コマンド	MELPS 8 バイナリ MELPS 8 バイナリ	
デ ー タ 装	示	PR コマンド PM コマンド PA コマンド	レジスタデータ表示 メモリデータ表示 メモリデータ逆アセ	
データ変	更	MR コマンド MM コマンド MC コマンド MS コマンド MT コマンド	レジスタデータ変更 メモリデータ薬補数リ メモリデータを強数 定数データメモ気 定数データメモ気 と数データメモ気	更
プログラムデバ	ッグ	H ====================================	アドレスホルト スナレスプショット トレース デバッガテーブル表 デバッガテーブル消 機被語命令割込可指	去
PROM 作	成	FP コマンド FT コマンド FC コマンド	PROM 書込み PROM データ,メ PROM データ,メ	

で図7. (a) のプログラム の実行を中断し、BOM-PTS の オペレータモードに 移行した ことを示す。⑩ はモニタコマンドの入力可を 示す。

プログラム の流れを追う のに ブランチトレース が有効 で, その実行例を図7. (c)に示す。⑩~⑭はモ ニタコマンドの入力であり、 ⑮は全プログラム 領域の ブ ランチトレース, ⑯は スナップ ショット, 切は アドレスホルト の各実行の印字で、低に よりSUB1, ®により SUB2の プログラムを確か めること ができる。また、 トレース, スナップショットは, レジスタ及び メモリの データ 表示の有無を,モニタコマン ドにより指定することが できる。

3.5 整数演算サブルーチン

整数演算 サブルーチン は,1 K バイトマスク ROM・M 58730-001 S に格納されている。 整数演算,論理演算, シフト 操作の機能を持ち,16ビット 及び 32 ビットの データ を取扱うことができる。

4. む す び

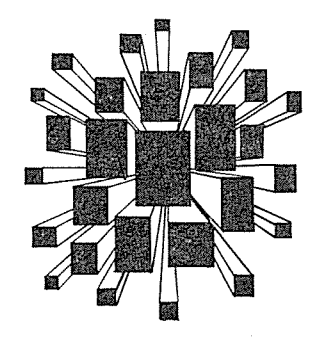
マイクロプロセッサ は,既に ミニ コンピュータ の下位の分野 と して, また Nードウェア と ソフトウェア の中間分野 として機能付けられ,情報処理 システム の重要な位置を築きつつある。

ととで述べた《MELPS》8の ハードウェア 及び ソフトウェア は,マイクロプロセッサ が各種の分野に応用されて行く中で, 一大武器になっていくことを確信する。

参考文献

- (1) 多田ほか:三菱電機技報, 49, No. 2, p. 102 (昭 50)
- (2) 大槻, 松本, 岩崎: 信学会, トランジスタ 研究会, SSD 76-23 (昭 51)
- (3) 岩森,大槻,元吉:第6回日科技連信頼性・保全性 シンポジウム, p. 379 (昭 51)
- (4) 大槻,松本:電子材料,11月号(昭51)
- (5) 水野ほか:情報処理全国大会, No. 169 (昭 50)
- (6) 井手口ほか:情報処理全国大会, No. 170 (昭 50)
- (7) 水野, 井手口:電子科学, No. 4 (昭 51)
- (8) 水野ほか:情報処理全国大会, No. 214 (昭 49)
- (9) 山田, 水野:情報処理全国大会(昭51)
- (10) 山田, 水野ほか:情報処理, No. 279 (昭 50)
- (11) 山田, 水野ほか:信学会全国大会, No. 1,265 (昭 51)

登録番号	名称	発 明	月者	登録番号	名	称	発	明		
785183	歪測定素子	高橋康英	・小鯛正二郎	788881	位相比較継電装置	1	鈴木健	と治・北	1浦 =	孝 一
785184	多気筒内燃機関用燃料噴射制御	<i>i.i.</i> , - i. −t, -t-		788882	固体撮像装置		伊藤昭	子・石	i并	孝
700104	装置	佐々木武夫		788883	搬送保護継電装置	置	鈴木優	と治・中	村里	游 己
785185	工作機械の心出し方法	渡辺孝次	•引田孝則	788884	棒材自動供給装置	置	喜多村员	以明		
785186	野菜, 果物等の貯蔵庫	安生三雄		788885	回転展望台等によ	おける透視ガラス	本谷昇	r .		
785187	全密閉形圧縮 ガス しゃ断器	松田節之		700003	清掃装置		4 分 升	. —		
785188	流量監視制御方式	藤原謙一		788886	エンジン 制御方式		今井吉	郎		
785189	連結装置	車戸秀男		788887	髙電圧 インピーダン	ス装置	田辺像	建雄		
785190	異常電流検出装置	{近藤芳行 佐々木勝男		788888 788889	空気浄化装置 トランジスタ		田畑則加藤忠		ŧ	貢
785191	信号発生器	淡 野 光 章		788890	分岐点または交流	叉点の接続装置	岸 本	健・小	、倉業	所 三
785192	連結装置	車戸秀男		788891	表示線継電装置		高田信	治		
785193	液体処理装置	田畑則一	• 森 貢	788892	信号転送保護装置	置	寺 田	真・高	5田(言治
785194	液晶組成物	柴山恭一	・小野 博	788893	溶接機用 ワイヤリー	-JU	鵜 飼	順·杉	有用;	当 男
		(蘒原 智	· 田 中 睦 務	788894	保護継電装置の	点検回路	鈴木個	1 治		
785195	真空吸着装置	沢永 寧	- I III 333		│ _{レー} ダ方式における	る自動周波数追	(近藤 超	三夫・岩	普部	昭
785196	限流しゃ断器	渡辺睦夫	•石田秀樹	788895	尾方式		津藤正			
785197	半導体装置の製造方法		・吉田美義				(前田良	雄•松	泳	宏
785198	高速銀 メッキ 液	南郷重行		788896	通信制御方式		平沢茂			
785199	燃料供給制御装置	安川 武			1 1/2 1-4-1		(倉橋浩-	一郎・中	3 田 〕	正矩
785200	位相判別回路	鈴木健治		788897	映像情報再生装置	首	(阿部正			
785201	重金属錯体の製造方法	草川英昭	•野村健次	788898	通信制御装置		前田良	と雄・松	泳	宏
785202	機関点火時期調整装置	大西正義					(渡 部	優・近	主藤岩	暉 夫
785203	電気かみそりの網刃	松岡宏昌	・態 田 泰 治	788899	レーダ方式		玉真苕			昭
785204	位相差検出器	須本一雄				***************************************	江口紅	英		
785205	機関点火用進角装置のシミュレータ -	朝日美之		788900	映像情報再生装置	<u>异</u> 国.	{倉橋浩- 阿部正			
785206	シーケンス 制御装置	岩永俊之	・酒 井 亜 男	788901	半導体装置の製造	造方法	加藤忠	は雄・山	1根(建 治
785207	内燃機関点火装置	山本一智		788902	(6. kd. +n = 1 \2 1 \4 1		ʃ倉橋浩-	一郎・中	田頂	正矩
785208	イミド 基含有 グリコール 類の製造	西崎俊一郎	• 江 藤 昌 平	788902	映像情報記録媒体	4	阿部正	昭・西	1村!	晃 一
705000		西崎俊一郎	•福島二郎	788903	トンネルダイオード 増	幅器	武富大	: 児・白	1 幡	潔
785209	エポキシ樹脂の硬化方法	安田和男		788904	発電制動装置		横 田	浩・台	田田	啓 治
785279	環状体の継目溶接装置	東川利男	• 赤枝潤二郎	788905	ゴムモールド 形変流	器の製造方法	野 口	発・木	上上	貞利
786477	機関点火装置	才田敝和	• 佐藤吉正	788906	艦船の電気推進	接置	尾畑喜	行		
786482	機関点火用進角装置の シミュレー タ	朝日美之		788907	油圧制御による び電解加工装置	等速送り装置及	荒 井 佴	自治		
787264	交流電力測定装置	小川裕三		788908	半導体装置		山本汞	リ雄・近	Ē 藤	隆
787265	映像変換素子及び装置	稲荷隆彦		788909	電磁推進装置		尾畑喜	行		
787266	クラッチモートル の制御装置	小林孝生		788910	誘導電動機のブレ	/	柳内男	彦		
788873	流体しゃ断器	稲村彰一		788911	限流しゃ断器		渡辺匿	美		
788874	負荷時タップ切換器の切換開閉器	松本 進		700010	. Harring . Agraphic Lear —	(1811 VA1-1-1-1-1-1-1-1-1-1-1-1-1-1-1-1-1-1-1-	1 亀田義	€ 房・高	橋兼	二郎
788875	電気動力装置	平尾新三		788912	ベリリウム 銅薄板の	ノ 製 垣 力 伝	石田一			
788876	掛け金装置	{服部信道 杉田 信	・岩田尚之	788913	絶縁継ぎ手		土方明 白沢		÷上ā	武 男
788877	プラズマ 電子銃	上山善司	•安永政司	788914	船用補機の制御	 接置	富永隆	弘		
788878	電気機器	藤井勲	• 林 幸平	788915	半導体制御整流	i	中田侯	は脳・伝	₹ ⊞	
788879	温度制御装置	中村富家	• 中野嘉博	788916	避雷器		但田昭	召司・宇	≅治日	日克
788880	位相比較継電装置	鈴木健治		788917	発振器装置		細野	勇		



オーディング (本) 本 (本)



冷 凍 装 置 (実用新案第1066768号)

考案者 貝瀬俊朗

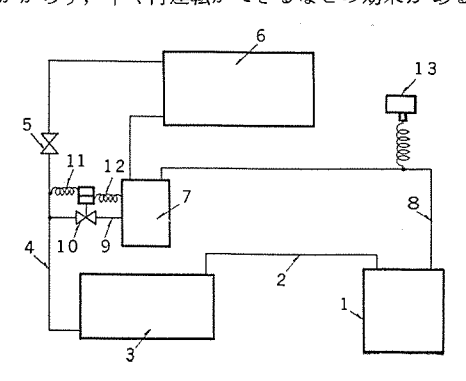
この考案は冷凍装置を運転する際,始動から定常運転に入るのを容 易かつ円滑にするためのものである。

冬期などの低温時には、冷凍装置内の大部分の冷媒は温度の低い室外側の凝縮器の中で液化し、たまってしまう。このような状態で運転すると吸入管内の圧力が急激に減少し、始動時に異常ではないにもかかわらず、低圧保護 スイッチが作動して運転ができないことがある。

この考案は図に示すように、冷凍装置において、凝縮器(3)を出た高圧側の液管(4)より低圧側へ、膨張弁(5)を通さずに結ぶパイパス管(9)を設け、このパイパス管(9)に停止時および始動時に開き、定常運転に入ると閉じるようなパイパス弁(10)を設けたものである。

このように構成することによって, 冬期などの低温時においても

低圧保護 スイッチ の誤動作をまねかず容易かつ円滑に始動できる。また、高低圧力の バランス が早く再運転するときに、圧縮 モータ に大きな負荷がかからず、早く再運転ができるなどの効果がある。



故障原因検出装置(特許第783075号)

発明者 山地正城

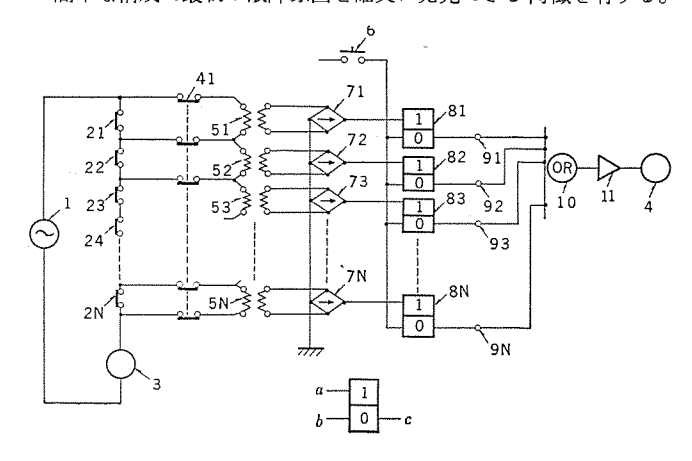
この発明は s-ビン あるいは π (r)- などの危急停止などに使用 される トリップ 用電磁弁装置などが動作した場合に、その動作原因を検出し得る故障原因検出装置を提供するものである。

図において、故障検出接点(21)、(22)……(2.N)がすべて閉で電磁コイル(3)は励磁され機械は動作しているものとする。次に故障検出接点のうちどれか一つ開になると電磁コイル(3)は無励磁となり諸機械は停止する。しかしこの故障検出接点が瞬間的に開となった場合とか、一つの接点が開になったあとそれが原因して次々に他の接点が開になった場合、あとからその最初の故障原因を発見することは難しい。

いま図で接点(21)が瞬間的に離れたとすると、トランス(51)が瞬間 励磁され整流器(71)を介して記憶要素(81)に信号が与えられ端子(91)にその信号が記憶される。この信号はOR回路(10)、増幅器(11)を通してリレー(4)を働らかせる。リレー(4)が働くとその接点(41)が開となりリレー(4)作動後のいかなる故障信号も検出できない。そして端子(91)に記憶された信号はリセットボタン(6)を押すまでは記憶されるので、故障後端子(91)に例えばテスターを当てる事などにより電磁コイル(3)が瞬時無励磁になった原因を知ることができる。

この発明によれば、 電磁 コイル に直列接続された接点の動きを リレー などを介することなく直接検出するものであり、 故障検出接点 自身の チャッタリング などによる瞬時動作も検出することができる。

又、 初めの故障原因で リレー が働くとあとはすべての検出装置の 出力が出ないようにするのでその原因が元にもどろうと、次に続い て他の故障原因が出ようと最初の故障原因しか記憶しないので極め て簡単な構成で最初の故障原因を確実に発見できる特徴を有する。



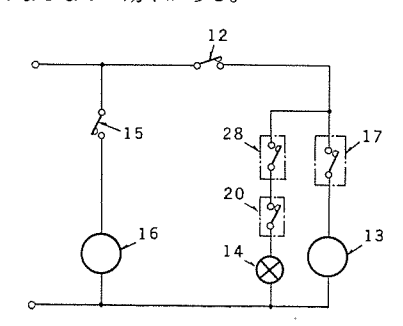
空 気 調 和 機 (実用新案第 1099912 号)

考案者 上妻親司

この考案は冷房機としての他に除湿機としての機能を兼ね備えた空 気調和機に関するものである。

室内側熱交換器を二つ以上に分離するとともに、室外側熱交換器と上記二つ以上の室内側熱交換器との間に介在させた切換弁の働きにより、冷房運転と除湿運転を行う空気調和機においては、冷房、除湿の切換スイッチとして双極双投形のスイッチを使用している。

したがって、単極単投形のマイクロスイッチを使用でき、冷房機の外部から操作しうる位置に新規に取付ける必要がなく、従来のような煩雑さもなくなるなどの効果がある。



冷 却 器 (実用新案第 1078360 号)

この考案は冷却器の除霜排水装置の改良に関するものである。

従来,図 1. のように冷却器(7)をフィン(12)の延長方向に沿って後下がりに傾斜させ、除霜水をフィン(12)の最下端部より排水とい(樋)(10)で滴下捕集するようにした場合、冷却管のu字状曲げ部の除霜水は、適当な傾斜が得られないため庫内(3)に直接滴下するので図 3. のようにとれを受ける補助排水樋(16)を別に設ける必要があった。

この考案は フィン(12) の一端が低くなるよう傾斜させて取り 付けられる冷却器において、 その傾斜方向と直交状に フィン(12) の最外端部より突出する冷却管(7)のU字状曲げ部(13)を、 図 2. のように上向きに傾斜させたものである。

このように構成すると、u 字状曲げ部(13)の除霜水(15)も フイン(12) に達するように流れることになり、したがって、補助排水樋を必要としないので、庫内の有効容積が増大し、空気対流を良好にして冷却性能を向上させ、かつ冷蔵庫の構造の簡略化にも役立つなどの効果がある。

13 11 12 13 13 14 15 11 12 13 14 15 15 16

案 者

永 野 幸

永久ヒューズの理論考察とその応用製品

宮本紀男*·和田勇一**·井上武男***·実森俊夫*·堀田滋矩**

1. まえがき

この論文では短絡保護の理想が,「限流」と「選択」各しゃ断を両立させることによって達成できることを指摘し,それに必要な限流しゃ断条件を明らかにし,この条件に合致する回路素子が自復性限流素子(永久 ta-ズ)であることを明らかにする。 更に,永久 ta-ズによって「限流」と「選択」の両立が可能になる理由とその設計法を,永久 ta-ズ 内で発生する ナトリウムプラズマ の高温時の特性と,それが急速に冷却されて自己復旧する特性を紹介して説明し,永久 ta-ズのかかる性質を応用した永久 ta-ズ応用製品について言及する。永久 ta-ズ応用製品は既に多数が実系統においてか(稼)動中であり,理想的な短絡保護システムとして,その実用実績は世界的に注目を集めている。

2. 短絡保護の理想条件

短絡保護における理想は、系統直列機器や線路を無損傷で保護し、 停電範囲と時間を極小にすることである。前者は「限流しゃ断」に より、後者は「選択しゃ断」により達成されるが、それぞれのしゃ 断が満たすべき条件を以下に求める。

2.1 限流しゃ断条件

被保護機器としては、半導体や電磁接触器、小電流定格のしゃ断器が対象となる。これらを後備限流保護 $^{(1)}$ できるための条件を求める。被保護機器の通過許容電流半波実効値を I_C 、定格電流を I_N として各種被保護機器を調査した結果、半導体までを含めると、

は,回路電圧が E のとき,

$$R_{cl} \simeq E/I_C$$
(2)

なる抵抗が限流抵抗として回路にそう(挿)入されねばならないことが 判明した。

一方, 常時 R_0 なる抵抗で I_N の定格通電能力をもち, 限流動作時 のみ R_{cl} に変化しうる限流素子を仮想すると,

$$R_0 = \Delta T_m / I_N^2 \cdot R_{TH} \quad \dots \qquad (3)$$

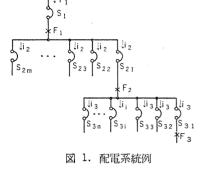
で与えられる。 ととに ΔT_m は I_N 通電時の限流素子の許容温度上昇であり, R_{TH} は限流素子熱抵抗である。式 $(1)\sim(3)$ から、

$$R_{cl}/R_0 \ge \frac{E \cdot I_N \times R_{TH}}{10 \cdot \varDelta T_m}$$
(4)

で与えられる。 $\Delta T_m=90$ °C, R_{TH} として 1 °C/W 程度の素子が具現できるものとして, E=500 V, $I_N=800$ A の低圧用限流素子の場合、

$$R_{cl}/R_0 \ge 440$$
(5)

を得る。以下 R_{cl}/R_0 を「限流比」と定義し、被保護機器の無損傷を達成するために必要とされる限流の程度、つまり、限流条件を与える指標として導入する。



2.2 短絡除去の際の停電範囲の局所化条件

図 1. のt デル 系統図は, しゃ断器を記号 S であらわし, S_1 が最上位しゃ断器で S_2 位のしゃ断器が m 分岐, S_3 位のしゃ断器が n 分岐 であるような放射状系統例である。事故が F_3 で発生したとき, S_{31} のみが動作して S_{31} 分岐の選択的切離しが行われる場合と, F_3 での事故除去の際 S_{21} のしゃ断器が S_{31} を後備保護する必要から S_{21} が動作し, $S_{31} \sim S_{2n}$ が停電する場合を対比し,両者の「停電範囲」×「停電時間」をそれぞれ Δs , Δc とすると,

$$\Delta_C/\Delta_S \propto n \cdot t_2/t_3$$
(6)

で与えられる。n は分岐数, t_2 , t_3 は S_{21} , S_{31} 各しゃ断器の短絡保護動作後,再通電までの時間を示し,被保護機器や線路に損傷のあった場合の保修時間や下位分岐数が多いときの各分岐の点検時間が含まれる。停電範囲と停電時間の積は,給電の連続性が阻害される程度を示し,阻害があれば一般に金額で表現される損害を伴い,近年これを Failure Cost としては(把) 握しようとする試みが 見られる (2)。式(6) は Failure Cost とも比例関係にある。一般に, $n\simeq 10$ の 1-g であり, 1/2 も 10 の 1/2 であるから選択しゃ断と後備保護しゃ断の Failure Cost からみた比は 10^2 の 1/2 となる。

以上述べたとおり、限流比が 440 程度の限流しゃ断と選択しゃ断の両立が理想的な短絡保護を実現する上で不可欠である。

2.3 限流・選択の両立を可能にする方式

限流・選択の両立のためには、 図 1. の S34 のしゃ断器として上位しゃ断器による後備保護を必要としないしゃ断器を用いるか、S21 が分岐しゃ断器を限流後備保護ののち、無停電で S31 以外の健全分岐へ給電できるように再通電機能を回復するかのいずれかが必要である。前者では大しゃ断容量のしゃ断器 n 個を必要とするが、後者では後備保護可能限度内の小しゃ断容量品を S34 に用いることができる点で更に理想的である。後者において再通電機能回復までの時間は、数 ms 以下でなければ健全分岐へ無停電で給電することはできない。有接点機器では、かかる短時間では再投入不可能である。したがって、高速度で自己復旧する限流素子と短限時動作の S21 を直列にして図 1. の S21 の箇所に挿入した図 2. の構成により後者方式の限流・選択の両立が可能になる。 図 2. のNが限流素子である。

^{*} 中央研究所(工博) ** 中央研究所 *** 生産技術研究所 + 福山製作所 ++ 名古屋製作所

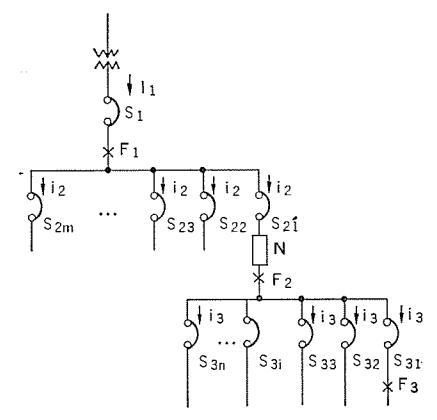


図 2. 限流・選択保護の両立を可能にする配電系統例 (Nは自己復旧性限流素子(永久 ヒューズ)を示す)

3. 永久ヒューズの動作原理と主要特性の設計法

本章では,限流・選択の両立(以下,限流選択保護と記す)を果たす際,限流素子Nとして必要十分な特性を永久 L_{2} -Z($^{(3)}$ \sim ($^{(6)}$) が備えていることを示し,その特性の設計法について述べる。

3.1 永久ヒューズの動作原理

限流された電流が直列しゃ断器でしゃ断されたのち、ピストンの復元力により Na 電路は高速度で旧形状に復旧し、抵抗 R_0 を回復する。永久 L_1 L_2 の自己復旧機能は、(1) R_{cl} から R_0 へ復元する機能と、(2)通電能力回復機能の二つであって、これらは並行して進行する。図 2. のNとして永久 L_1 を用いて限流選択保護が実現できるか否かは(2)の回復速度によって左右され、(1)の回復が完了していなくとも(2)は先行して完了する必要がある。後述するとおり、永久 L_1 L_2 L_2 L_3 L_4 L_4 L_4 L_5 L_5 L

3.2 永久ヒューズの限流特性、限流動作時圧力上昇

永久 t_{2} の実用品では I_{C} , I_{N} , R_{0} , R_{cl} がおのおの所要値になるよう設計されねばならないが、これらの設計式は、係数補正を実験

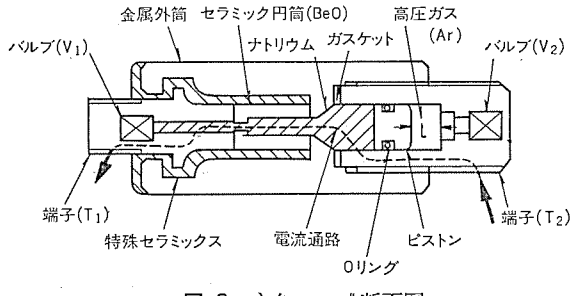


図 3. 永久 ヒューズ 断面図

的に行うものを含めて大部分解析的に与えられる $^{(4)}$ ($^{(7)}$ ($^{(8)}$)。また,過電流流通時に永久 \mathbb{L}_{2} - \mathbb{Z} が,動作を開始するまでの時間特性(以下 I-t 特性と記す)も保護協調の設計上重要なものであるが, 差分法による熱伝導解析 $^{\circ}$ 0 $^{\circ}$ 7 $^{\circ}$ 7 $^{\circ}$ 5 $^{\circ}$ 6 (HEAT) を用いて CAD ができるようになっている $^{(8)}$ 6。

永久 \mathfrak{t}_{2} \mathfrak{z} の限流動作中に瞬間的(5 ms \mathfrak{m} \mathfrak{m} \mathfrak{m} ではあるが発生する プラズマ の圧力や温度なども解明されていて \mathfrak{m} の正力上昇値 P_e を与える式も導かれている \mathfrak{m} \mathfrak{m} \mathfrak{m} \mathfrak{m} \mathfrak{m}

3.3 永久ヒューズ限流動作回数と限流特性の関係

次に、永久 t_{2} - J の限流動作回数と限流特性の関係について述べる。 限流動作回数と限流性能との間に相関関係があるのは、限流動作の 際に形成される N_a J_5 J_7 J_7

 $Z=E_1\cdot d_1^{2/5}\cdot T_f^{1/5}$ (9) が導かれている $^{(14)}$ 。ととに, E_1 は d_1 部分の プラズマ 電位傾度, T_f は限流動作 1 回ごとのいわゆる r=0 時間である。 E_1 を V/mm, d_1 を mm で表して, $Z=16\sim29$ に設計するとき,N=15 が保証され

る。Z=18 のとき の I_c , R_o の動作回数Nに対する変化の様子を図 4. に示す。同図の理論計算値とは、プラズマのエネルギ密度と d_1 の増加率を関係づける式を導き、

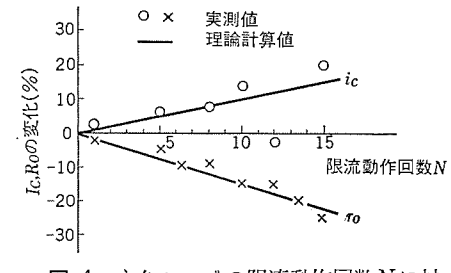


図 4. 永久 L_{2} の限流動作回数N に対する I_{C} , R_{0} の変化特性

これを式(8)に代入して求められたものである(14)。

3.4 永久ヒューズの自己復旧特性

最後に、図 2. のNのところに永久 ta-ズ を用いて、限流・選択保 護の両立を果たす際、Nに要求される自己復旧特性について述べる。 Nの抵抗は F_3 点の事故発生後、 直ちに R_0 から R_{cl} へ増加し、 S_{31} のしゃ断能力範囲内の I_{c} まで事故電流を限流する。 限流は S_{31} が $I_{\mathcal{C}}$ のしゃ断を完了するまでの約 $5 \sim 8 \, \mathrm{ms}$ の間持続される。 S_{31} の 後備限流保護はかくして達成されるが、Sal 分岐のしゃ断が選択的 であるためにはSa2~Sanへの給電の連続性が維持されねばならない。 つまりNはSa2~Sanの健全負荷群への給電能力をSanのしゃ断完了 直後に回復していなければならない。Solのしゃ断時間は5~8ms であるが、この間負荷群の電源電圧 (図 2. の F2点) が変動し、S31 のしゃ断完了後のF2点の電圧回復時に負荷群へ流入する電流は, 突流性過電流成分を含む。 Nは S_{31} のしゃ断直後, R_{cl} から R_0 へ の回復をしながら、この突流性過電流の流通能力を回復しなければ 選択保護は達成されない。突流性過電流の値は「SCAP-M」という プログラム(15) により電動機を含む系の電圧変動に伴う電流変動を解析 できるようになっている。これによって電動機容量別に過電流が求 められ、負荷群の容量に対応してNに要求される過電流流通能力の 所要値が求められている(16)(17)。一例を記すと、460 V 90 kW の電 動機で1,800 A peak, 130 kW で2,400 A peak であり、これら過電 流は80 ms 以内に定常負荷電流にまで減衰する。Nとして定格電流 800 A の永久 ヒューズを対象に、限流しゃ断直後どれだけの突流性過 電流を流しながらも、Nの抵抗復旧性が保証されるかを実験的に求 めたものが図5. である。実験では約7,000 A rms までの過電流を限 流動作直後からこの電流が減衰してしまうまでの80 ms以上の期間, 永久 ヒューズ を通じて給電可能であることが確認された。図 5. には 5,340 A rms までの電流について永久ヒュー式の給電持続特性を示す。 同図の特性1~4はおのおの付記された電流を流しながら、永久 ヒ ューズ 内 Na の固有抵抗pが低下していく様子を常温の固有抵抗 po に 対する比で表現して示したものである。抵抗値の復旧特性は2重時 定数で表され、 $d\theta/\rho_0$ が 10^4 から 35 まで減少するのに 1 ms 以内とい う高速の復旧過程と50 ms 程度の時定数で引き続き減少する過程と に分かれている。復旧過程の大部分は初めの 1 ms 以内に完了する ため永久 ヒューズは、限流動作直後 1 ms 以内に数千 A rms の電流流 通能力を回復できる。この高速回復過程が限流動作直後における高 温 Na から壁面である ベリリア 磁器への半径方向熱伝導に基づくとし

て数値計算すると、図 5. の P_1 - C_1 、 P_2 - C_2 の計算例のとおり実験とよく一致し、復旧特性も設計にのることが確認された。

図 6. は,限流動作直後から, 過電流が減衰してしまうまでの間,電流値を変えて永久 tューズの給電機能の維持が続くかどうか実験した結果を示している。 図 6. の斜線部分は実験範囲であり,全領域で給電機能は維持されている。 水平な点線は過電流が減衰してしまう時間を示している。 図 6. から分かるとおり, 給電機能は永久 tューズの コールドスタート 時の *I-t* 特性で制限される 直前まで維持 されている。

以上述べた設計手法により用途別に必要十分な性能をもつ永久 ヒューズが シリーズ 化され⁽⁵⁾⁽¹⁸⁾, 低圧(460 V)用として 6 種類の永久 ヒューズ が実用化され,自冷 100~1,000 A までの用途を カバー している。

4. 永久ヒューズ応用製品(19)~(22)

低圧 460 V 用の応用製品が昭和 45 年以来実系統で稼動している。 応用製品の形態は二つに大別される。一つは永久 L_2 一ズの冷却状態をできる限り良くして永久 L_2 一ズがもつ I_N/I_C 比の優れた面を最大限に活用するようにした CLN 形限流装置であり, 他の一つは永久 L_2 一ズ を E_1 一ルドケース に収納し, ノー L_2 一ズ しゃ断器と同様,手軽に適用できるように意図された永久 L_2 一ズ である。

4.1 CLN 形限流装置

この応用は上記第 1 の形態の応用製品で、図 2.の S_{21} のレベルあるいは S_1 のレベルに J-ヒューズ しゃ断器(S_1 や S_{2i})と永久 ヒューズ Nを直列に接続して適用したものである。この限流装置の適用分野は、 S_1 以下あるいは S_{21} 以下をそれぞれ一つのまとまりとして構成された コントロールセンタ や ロードセンタ であって、一つの限流装置は $20\sim30$ の分岐回路へ給電する。多数の分岐回路群に一括して限流機能を提供するものに限流 J_{7} クトル 方式があるが、これら従来技術と CLN 形限流装置の優劣を比較すると表 1.のようになり、永久 ヒューズ応用の方式が非常に優れていることが示されている。

表 2. は,現在市販中の CLN 形限流装置の仕様を示す。 1,000 A 定格の CLN-1000 も近く実用化の見込みである。

CLN 用永久 L_1 ーズ,主 NFB,分岐 NFB 等の特性とその協調を 図 7. に示す。永久 L_1 ーズ (PPF) の特性は気化特性で示し, その 特性は図のように立った特性である。定常状態では電動機始動電流

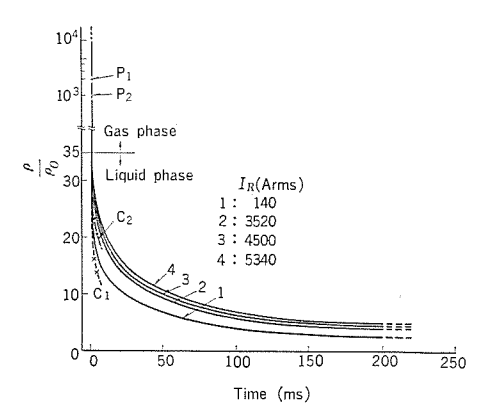


図 5. 永久 ヒューズ の自己復旧特性 通電機能 In を維持しながら Na の固有抵抗 p が復旧していく特性 po は常温 Na の固有抵抗

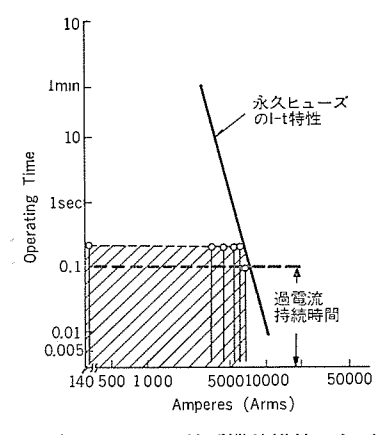


図 6. 永久 E_{1} の給電機能維持が必要とされる範囲(点線), 給電機能維持が確認された範囲(斜線)と I-t 特性との相対関係

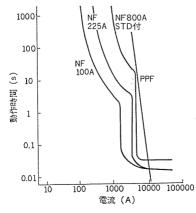


図 7. CLN 及び分岐 NFB の特性と 協調

表 1. 各種低圧配電 システム の比較

Marie internal					選択1	しゃ断シス	ステム	カスケー	全容量
	比	較	項	1	CLN 方 式	限流リ アクタ 方 式	主しゃ断 器にAC Bを使用 ナる方式	トレャ的システム	l .
1	選択	性			0	0	0	×	×
2	分岐回路の事故時, 健全回路への電 力供給の連続性				0	0	0	×	×
3	電動機始動時の電圧降下				0	×	0	0	0
4	電力	損失			0	×	0	0	0
5	分岐	回路 NFB	選定の経済	斉性	0	0	×	0	×
6	母線支持、ケーブル選定の経済性				0	0	×	×	×
7	スペースの節約				0	×	0	0	0
8	シス	テムの設計	・, 計画の-	やりやすさ	0	×	×	×	×

注) ◎:優れている ○:良い ×:悪い

表 2. CLN 形限流装置の仕様

形 名	定格	定格	冷却	付 風	永久ヒューズ素子			分岐 NFB に対 するパックアッ	
形 名	電流	電圧	方式	NFB	抵抗	並列抵抗	気 化 I ² t	プ能力 容量, C	
CLN-600	600A	660V	フイン 付自然 冷 お	600A, STD付	0.1 mΩ	55 mΩ	l×10 ⁶ A ² s	100 E 200 kA	225 G 200 kA
CLN-800	800A	"	"	800A, STD付	"	"	"	"	"

などの ℓ -ク 電流の最大値は、永久 ℓ --ズ の気化特性まで許容される。

実際の低圧配電系統に CLN 限流装置を応用したときの利点は次のようになる。

(1) コントロールセンタの限流装置として使用する場合

- (a) 200 kA の高しゃ断容量 システム を低価額で経済的な NFB により実現できる。 定格通電時の電力 ロス は限流 リアクトル 方式の 1/2, コンパクト さでは同じく 1/3 の省資源方式である。
- (b) CLN 限流装置を主しゃ断装置として使用すれば、その分岐 NFB との間に完全な選択しゃ断特性を実現できる。
- (c) 母線設計を経済的にできる。 すなわち CLN の限流特性により熱的機械的な条件が緩かになる。外部 f-ブル の選定についても同様のことがいえる。 特に NFB の通過 $\int i^2 dt$ によって決まる、f-ブル の最小断面積が小さくなり、この点で特に有効である。
- (d) システムの設計,計画が容易である。複雑な短絡電流の計算をする手間が省ける。

(2) ロードセンタとしての応用の場合

CLN 形限流装置の応用は、 コントロールセンタの電源側に装備するばかりでなく、CLN 形限流装置だけをまとめて1組の盤すなわちロードセンタの形態にまとめて使用することができる。 この場合には、 高しゃ断容量、選択しゃ断、経済性、負荷機器の保護等、優れた性能をもったロードセンタとすることができる。図 8. は CLN 形限流装置を装備したコントロールセンタであり、図 9. は CLN 形限流装置を応用したロードセンタである。

CLN 形限流装置と限流機能をもたない標準の NFB シリーズ おのおのの f-ブル 保護性能を比較して図 10. に示す。 A点は 800 A 定格の CLN 形限流装置の気化 $\int i^2 dt$ をとった点であり $\int i^2 dt = 10^6$ A 2 sec の点で,電流値として半サイクルで気化する点 i= 11 kA をとっている。 B点は 100 AF の NFB, C点は 2 25 AF, D点は 4 400 AF の場合である。 Bから Dの各点はそれぞれの NFB のしゃ断容量に等しい電流が流れたときの $\int i^2 dt$ に相当する点である。 点 E はし

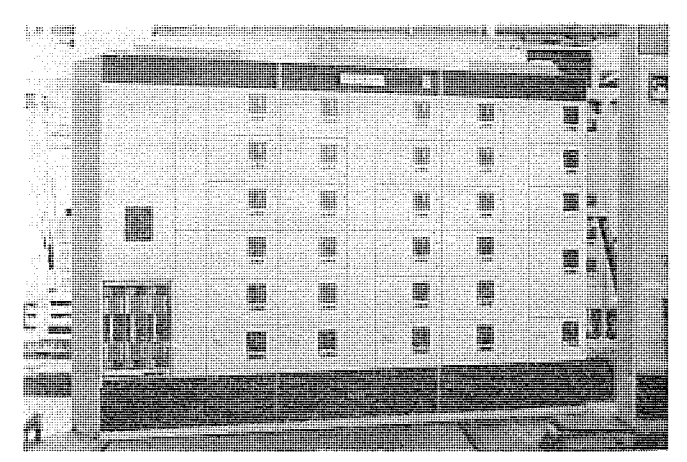


図 8. CLN 形限流装置を装備した コントロールセンタ

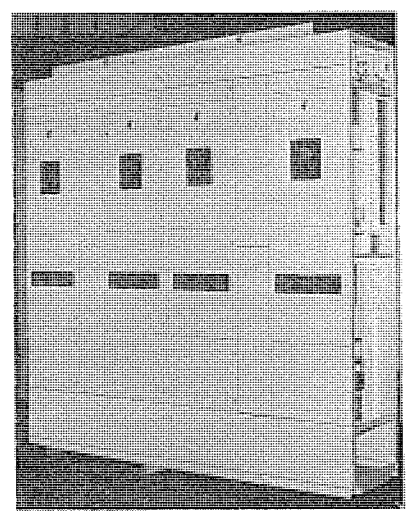


図 9. CLN 形限流装置を応用した ロードセンタ

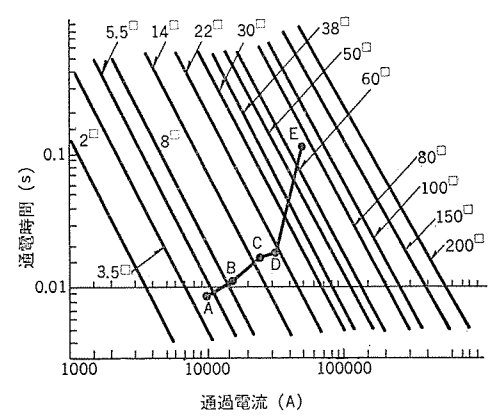


図 10. CLN 及び NFB の ケーブル 保護

ゃ断容量 50 kA,動作時間 6 サイクル の ACB の場合である。このように CLN 形限流装置は ケーブル の保護についても大変有効であることが分かる。図 11. に CLN 形限流装置の限流特性を示す。

CLN 形永久 tューズ応用限流装置は、数多くの利点と有用性を内外の顧客より認められ、低圧配電 システムへの応用の実用化を始めて5年の間に約600 tml が使用されている。

4.2 永久ヒューズつきノーヒューズしゃ断器

この応用は、前記第 2 の形態に属し、しゃ断容量が $15\sim30\,\mathrm{kA}$ までのはん (汎) 用 J=ヒューズブレーカ と永久 ヒューズ を結合して、 しゃ断容量 $200\,\mathrm{kA}$ まで格上げしたもので、 E=ルドケース に収納された永久 ヒューズ と汎用 ブレーカ が電気的に直列に接続されている。 この形態の

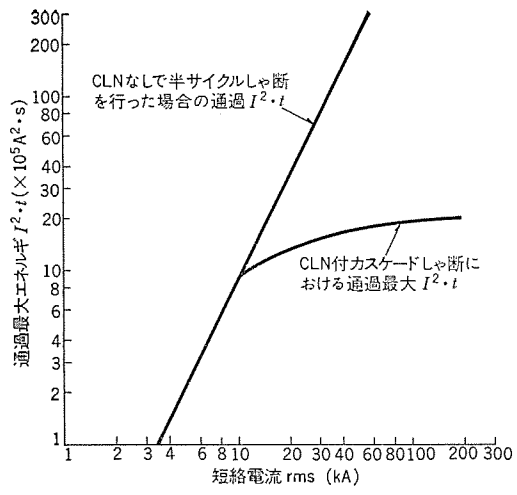


図 11. CLN 形限流装置の限流特性

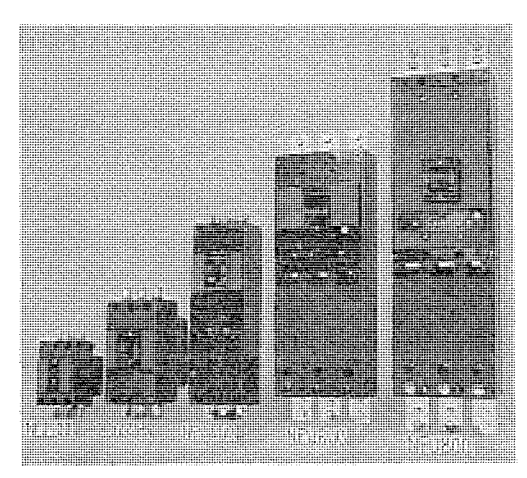


図 12. NFU形 ウルトラブレーカ の外観

表 3. NFU形 ウルトラブレーカ の仕様

形 名		NFU 100	NFU 225-B	NFU 400	NFU 600	NFU 800			
フレ	- L	(A)		100	225	400	600	800	
定格電流 (A) 基準周期温度 一般用 40°C 船用 45°C] 45°C	15 30 50 75 100	125 150 (175) 200 225	(250) 300 (350) 400	500 600	(700) 800	
極	数			3	3	3	3	3	
定权	電圧	(V)	AC	550	460	460	460	460	
定格			550V	200		_	_	-	
しゃ	JIS	AC	460V	200	200	200	200	200	
断容 量			220V	200	200	200	200	200	
斌 (kA)	NK	AC (sym)	500V	150	150	150	150	150	
	DOL 117. 1.11	. ^	NK	4,190	4,235	4,236	4,237	4,238	
	船級協 認	定	LR	☆	☆	☆	☆	☆	
	ては認り	定済を	AB	☆	☆	☆	☆	☆	
7]	ミナ)		ВV	申請中	申請中	申請中	申謝中	申請中	
電磁	電磁引外し方式		固定	固定	固定	可調整	可調整		
標準	9号 外	し方式		熱動―電磁― 永久ヒューズ	熱動―電磁―永 久ヒューズ	一永久ヒュ	整電磁一永	熱動―可調 整電磁―永 久ヒューズ	

100 A フレームから 800 A フレーム まであり、その外観を図 12. に、その仕様を表 3. に示す。NFU形の構成は NFU 100 及び NFU 225-B は、永久 ヒューズ と並列抵抗体よりなる永久 ヒューズユニット 部を しゃ断器本体の背面に装備しており、NFU 400、NFU 600 及び NFU 800 は、しゃ断器本体の負荷側に永久 ヒューズユニット 部を ドッキング させて

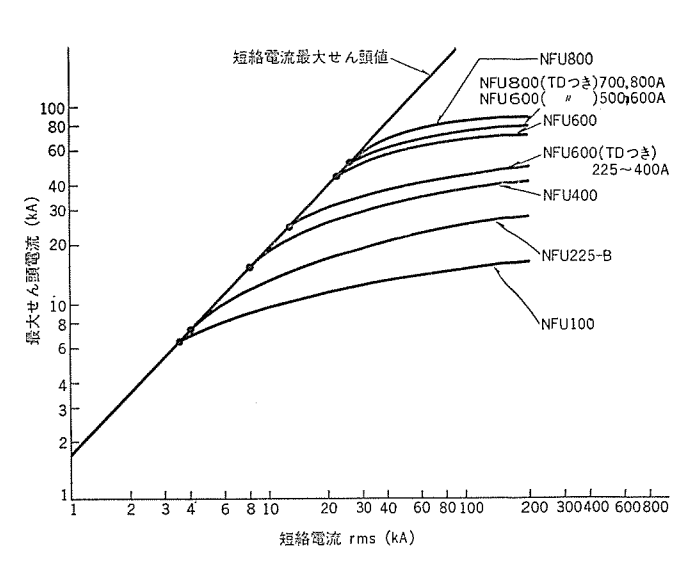


図 13. NFU形, NFU形 (TD つき) の限流 性

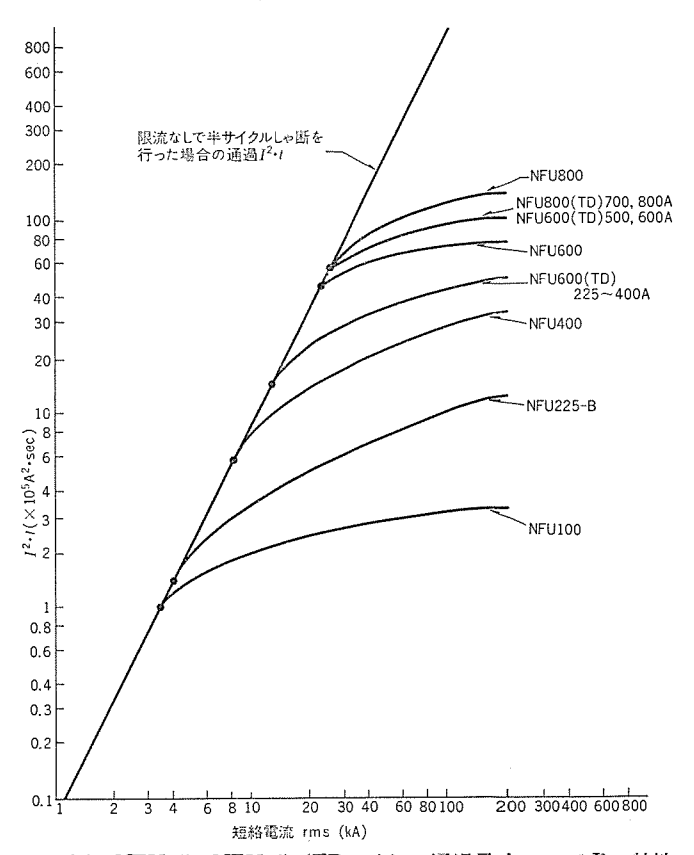


図 14. NFU形, NFU形 (TD つき) の通過最大 エネルギ I²・t 特性

いる。次に動作特性及びしゃ断性能について示す。 ノーヒューズ しゃ断器の動作特性と永久 ヒューズの気化特性が クロス する クロスオーバポイント までの比較的小さな過電流に対しては,実績ある ノーヒューズ しゃ断器自身が動作し,クロスオーバポイント以上の大きな過電流 (短絡電流) に対しては,永久 ヒューズ が気化し限流作用を行い ノーヒューズ しゃ断器でしゃ断させる。 このように限流しゃ断させているため,大しゃ断容量を有し,永久 ヒューズの自己復旧性により,くり返ししゃ断ができる。 NFU 形のしゃ断時の限流特性及び通過最大 エネルギ $I^2 \cdot t$ 特性を図 13. 及び図 14. に示す。 これらの図は, NFU 形 ブレーカの優れた限流性能を示すもので, NFU 形が, 下位の NFB を後備保護するいわゆる カスケード 保護に威力を発揮するゆえんである。そ

表 4. NFU 形 (TD つき) 限流選択 ブレーカ の仕様

形	名	NFU 600 (TDっき)	NFU 800 (TD つき)
フレ	– Δ (A)	600	800
定 格 基 準 周 「 一般用 40°C,	電 流 (A) 阻 湿 度 船用 45°C	(225) (250) ₅₀₀ (300) (350) (400) 600	(700) 800
極	数	3	3
定 格 電	圧 AC (V)	460	460
定々量 JIS 格断 JEM	AC 460 V	200	200
し容 NK (kA) (sym)	AC 500 V	150	150
	NK	4,256	4,257
船級協会認定	LR	☆	☆
☆は認定済を 示す	AB	☆	☆
~~,	BV	_	and the second
復帰可自	能 時 間 (s)	0.020 以上	0.020 以上
選択しゃ断可食	もな下位 NFB	600 A フレーム 以下の全機種	600 A フレーム 以下の全機種
冠磁引外	し方式	固定	固定
標準引外	し方式	熱動一電磁一永久ヒューズ	熱助―電磁―永久ヒューズ

の カスケード 保護能力は、2 フレーム あるいは 3 フレーム 下の NF 形の汎 用品 Səŋ-ズを AC 460 V 200 kA まで後備保護することができる。 従来, NFU形は, 3極が主であったが, 最近は4極が三相4線式 電路に使用されるケースもある。

4. 2. 2 NFU 形 (TD つき) 限流選択ブレーカ

この応用は、 さきに述べた CLN 形限流装置が持つ、 限 流 と 選択 保護の両立機能を ノーヒューズ しゃ断器の形態で実用 化 したもので ある。限流性能は CLN 形限流装置のほうが優れているが,ノーヒュー ズしゃ断器の形態にまとめることにより、限流・選択の両立機能を 広く任意の場所で生かせるよう汎用性を重んじた応用形態である。 この製品には 600 A フレーム と 800 A フレーム があり, 定格電流は 225 A から 800 A までとりそろえている。その仕様を表 4. に示す。こ のNFU形(TDつき) は既に述べたとおり限流 - 選択しゃ断の機 能を備えたしゃ断器で、短絡事故時に永久ヒューズにより限流し、そ の後ひき続いて限流状態を持続してある時間遅れの後、しゃ断を完 了するものである。したがって分岐回路に短絡事故が発生した場合, 分岐回路の NFB が主回路の NFU 形 (TD つき) により限流された 電流を瞬時にしゃ断するので、NFU形 (TD つき) と NFB との間 の選択性が得られると同時に永久 ta-ズの限流によって NFB が カ スケード保護される。 とのため従来不可能であった選択性と カスケード 保護を同時に満足する大容量の低圧電路保護システムを構成すること が可能になった。その カスケード 保護能力は、 NFU 形と同じであり、 選択しゃ断可能な下位 NFB は、600 A フレーム 以下の全機種である。

5. む す び

本文では、短絡保護の理想を実現するために、限流・選択保護の両 立が必要であること、これを合理的、経済的に達成するためには高 速度の自己復旧性を持った限流素子が必要であることを指摘し、か かる限流素子の持つべき特性を示し、これが永久 ヒューズ として実用

化され得たことを述べた。更に、永久 ヒューズ 特性の設計技術の概要 を紹介し、永久 ヒューズ 応用製品の特長、特性について述べた。永久 ヒューズは45年に発売開始以来、3万相分が稼動中であり、多数の 輸出実績をもっている。特に永久 ヒューズ 応用製品は配電系統の主回 路に採用される例が多いため、短絡保護の選択性や限流効果が提供 される範囲は広く、限流効果面では、ケーブルサイズの低減選定を可能 にするなど分岐系統の末端にまで及ぶことは特記すべき効用であっ て、実質的に100万相が、永久 ヒューズの限流・選択保護下にあると 考えられる。これらの利点は、国内、外に広く認識されつつあり、 今後更に広く永久 ヒュース 応用製品が活用されていく見込みである。 最後に永久ヒューズの基礎開発から実用化まで種々で協力いただいた 社内外の関係者各位に深謝する。(昭和51-10-14受付)

参考文献

- (1) 電気設備技術基準,第38条
- (2) IEEE Committee Report: IEEE Trans. IA-10, No. 2, P. 213~252 (1974)
- (3) T. Itoh, et al.: IEEE Summer Power Meeting, Paper No. 70-CP-601-PWR (1970)
- (4) T. Itoh, et al.: IEEE Winter Power Meeting, Paper No. C-72-103-5 (1972)
- (5) 伊藤ほか:三菱電機技報, 45, No. 6, P. 779~784 (昭 46)
- (6) 和田ほか:昭51年電気学会全国大会,519
- (7) 伊藤ほか:昭46年 同上 697
- (8) 浜野ほか:昭50年 同 上 1.310
- (9) H. Sasao, et al.: Optical Observations of Ultra High Pressure Sodium Arc in the Permanent Power Fuse, Int. Fuse Conf. at Liverpool (1976)
- (10) 笹尾ほか:電気学会,開閉保護装置研究会資料,SPD-76-3 (昭51)
- (11) 和田ほか:昭49年電気関係学会関西支部連大,G3-40
- (12) 土方ほか:昭46年電気学会全国大会,696
- (13) 浜野ほか:昭 49 年電気関係学会関西支部連大, G 3-38
- (14) T. Itoh, et al.: IEEE Trans. PAS-92, No. 4, P. 1,292~ 1,297 (1973)
- (15) 熊野ほか:昭49年電気関係学会関西支部連大,G3-47
- (16) Y. Wada, et al.: Self-rehealing Performance of the P. P. F. for A Control Center, Int. Fuse Conf. at Liverpool (1976)
- (17) 和田ほか:電気学会, 開閉保護装置研究会資料, SPD-76-4 (昭 51)
- (18) 落合ほか:三菱電機技報, 45, No. 6, P. 785~789 (昭 46)
- (19) 堀田ほか: 同 上 47, No. 6, P. 574~578 (昭 48)
- (20) 山本ほか: 同 上 47, No. 6, P. 567~573 (昭 48) 45, No. 6, P. 774~778 (昭 46)
- 47, No. 6, P. 622~628 (昭 48)

(21) 山本ほか: 同 上

(22) 岡戸ほか: 同 上

東京電力(株)鹿島変電所納め超高圧系統自動操作装置

落 合 友 義*・安 立 秀 男*・金 田 明**・矢 野 恒 雄**・横 田 敦 信**

1. まえがき

電力需要の増大に伴い,500 kV 系統,275 kV 系統等の基幹電力系統が拡充され,大形化,複雑化するとともに,電力安定供給が一層重要な課題となってきている。これにより超高圧変電所の操作も高度化,複雑化し,事故時操作を初めとして緊急を要する操作の信頼性と即応性の同時向上の必要性が生じてきた。

この装置は、変電所における事故時及び平常時の自主操作を自動化し操作の高信頼度化、高速化を計って効率的系統運用を行うもので、昭和 42 年製作以来多くの同機種を製作してきたが、その製作経験技術を生かし、昭和 50 年 4 月、275 kV 超高圧変電所として初めて、東京電力(株) 鹿島変電所に設置し良好な実績を納めている。

本文は、この装置の概要とその実用化に当たって計画、設計、製作上特に考慮した諸事項について紹介する。

2. 装置機能

275 kV 変電所の機器操作は重要電力系統の操作であり、この信頼性を一層向上し、電力供給の安定化をはかる必要がある。したがってまず操作の信頼度向上を第一に考え、装置内部信頼度向上はもちろん、手動操作介在による確認操作方式を用いるようにした。一方、将来の電力需要増加による系統運用変更に対処するためプログラマブルメモリを用いて、機能変更を簡単にし融通性、拡張性を持たせるようにしている。

2. 1 操作対象

今回設置した東京電力(株) 鹿島変電所の系統図を図 1. に、その操作対象設備を表 1. に示す。

2. 2 操作内容

この装置の行う操作には事故時操作と平常時操作の2種類がある。 それぞれの主な操作内容を次に示す。

(1) 事故時操作

事故時操作は、変電所に接続された送電線及び変電所構内に発生した事故が保護 リレー によって事故箇所が除去された後、 事故種別に対応した復旧操作を正確、かつ迅速に行い停電時間の短縮を図るた

表 1. 操作対象設備

対象区分	1号ユ	ニット	2号ユ	ニット	対象機器	
M # 12 71	現在分	将来分	現在分	将来分	All set tex no	
275 kV 線 路	6	0	4	0	CB, 甲LS, 乙LS, LLS	
275 kV 母 連	1	0	1	0	CB, 甲LS, 乙LS	
275 kV 母 区	2	0	0	0	C3, 1 L S, 2 LS	
275kV/66kV 主変圧器	0	2	2	0	(CB, 甲LS, 乙LS)×2	
所 内 用 変 圧 器	0	2	2	0	LS×2.5	
NGR	0	2	2	0	LS×2.5	
66 kV 線 路	0	8	12	0	CB, 甲LS, ZLS, LLS	
66 kV 母 連	0	1	1	0	CB, 甲LS, 乙LS	
66 kV 母 区	0	2	0	0	CB, 1 LS, 2 LS	

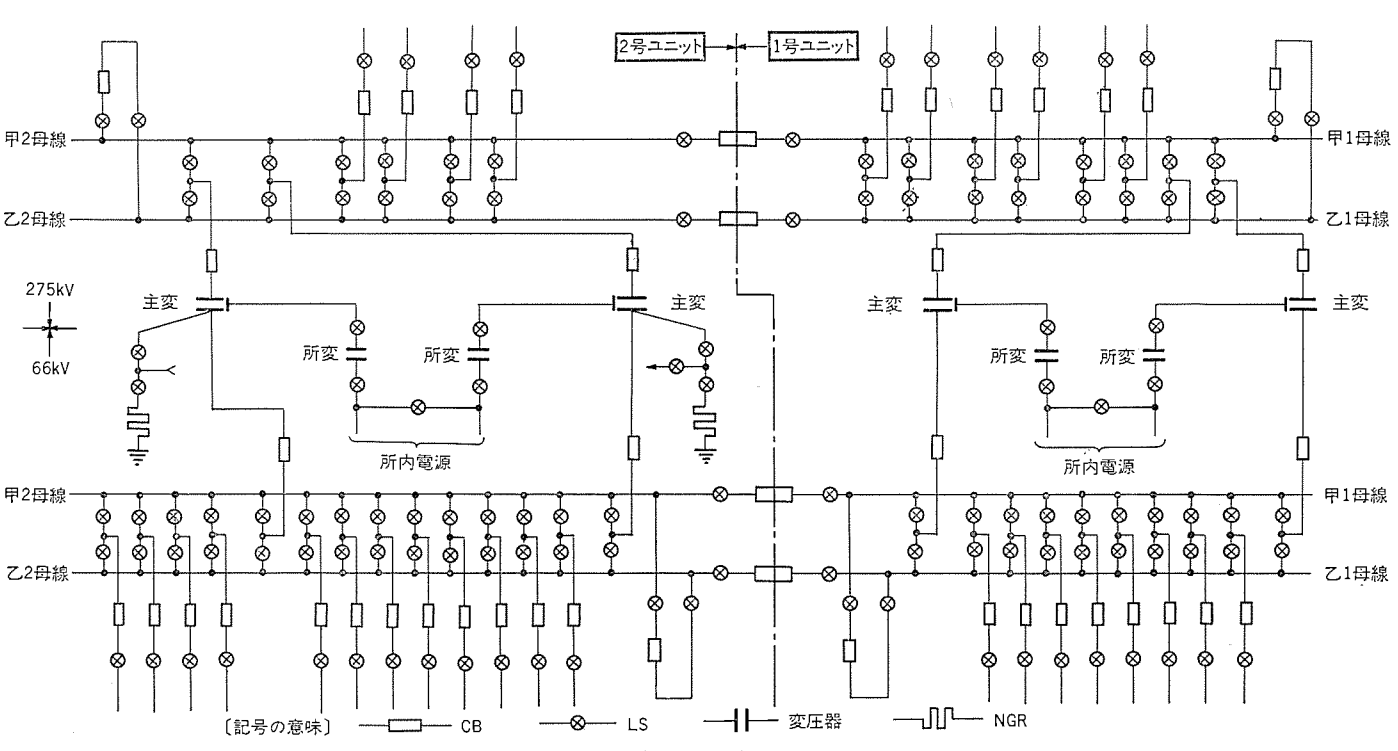


図 1. 系統図 (東京電力(株) 鹿島変電所)

表 2. 事故時操作内容

優先願位	操作名	操作条件	操作内容
1	275 kV 母線事故	母線保護リレー動作とインタ フェースパネルからの始動条 件	・所内変圧器の切換え ・リレーしゃ断した回線の健全 母線側への切換え
2	66 kV 母線事故	周 上	周 上
3	変圧器事故	変圧器保護リレー動作	・

表 3. 平常時操作内容

No.	操作名	操作条件	操作内容
1	線路停止	インタフェースパネルからの 始動条件	使用中の線路を自動的に停止
2	線路使用	同上	停止中の線路を自動的に始動
3	母線停止	同 上	使用中の母線を自動的に停止
4	母線使用	同 上	停止中の母線を自動的に始動
5	変圧器停止	同上	使用中の変圧器を自動的に停止
6	変圧器使用	同上	停止中の変圧器を自動的に始動

めの復旧操作である。復旧操作は,事故原因の確認及び給電確認を 行った後,手動始動にて行うようにしている。 表 2. にその内容を 示す。

事故操作中,多重事故が発生した場合は,優先順位の高い事故操作を,優先処置し,事故波及範囲の拡大を防止するようにしている。

(2) 平常時操作

変電所設備の保守点検及び系統運用変更を行う場合のしゃ断器及び 断路器の一連の操作を定形パターンに従って操作するもので、操作の 確実化と操作時間の短縮を図るものである。 表 3. に平常時操作の 主な内容を示す。平常時操作は系統状態に対応して融通性のある操 作ができるように、回線ごと操作ロック、母線復旧パターン等の設定 ができるようになっている。操作開始は、インタフェースパネル上の「操 作対象選択」、「操作内容選択」、「操作開始指令」の3段操作により 行われる。

3. システム構成

3.1 総合システム構成

図 2. は、この装置と変電所既設設備との関係を示す総合 システム 構成図である。図に示すように変電所の システム 構成の基本的考えは完全な 2 ユニット 分割構成で、 重大事故が発生したときの停電範囲を限定するものである。したがって、変電所の実機器(母線、変圧器、CB、LS等)はもちろん、保護 リレー、集中監視制御盤、テレコン、制御電源等は完全に、二つの独立した ユニットに分割され、それぞれュニットでとにまとめて設置されている。この自動操作装置の設置に際して、これらの ユニット構成をくずさないために、この装置と既設変電所設備との信号授受を行うこの装置の入出力部は、完全に独立した二つの ユニット に分割し、 それぞれの ユニット 専用の盤に収納するとともに、入出力信号の電源をも分割している。また、上記入出力部によって、絶縁及び論理レベルに変換された信号は、入出力部と

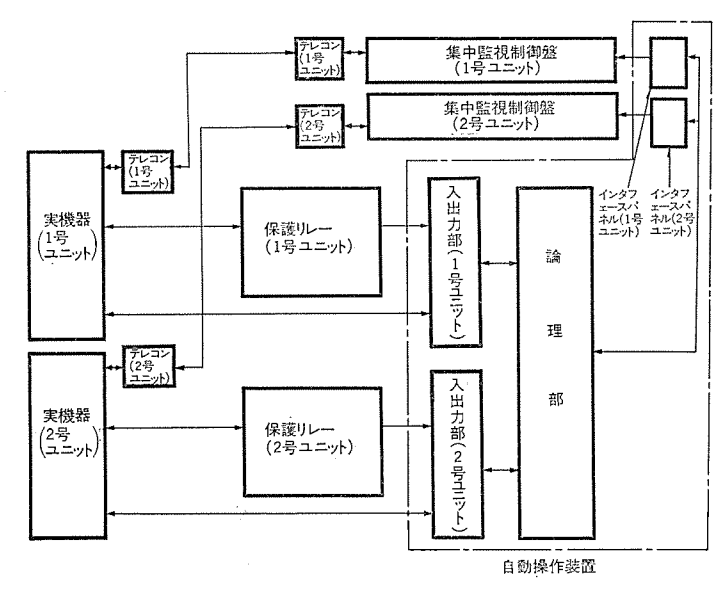


図 2. システム 構成図

は別置の共通の論理部で処理するようにして、変電所の総括的な操作を行うとともに、装置の小形化をはかった。

以下,機器操作,監視,装置間 インタフェース について,この装置を中心にその概要を述べる。

(1) 機器操作方式

機器操作には、保護 リレー による直接機器操作、構内 テレコン 経由の手動個別機器操作、この装置による直接機器操作の 3 ルート がある。

この装置は、保護リレーからのリレーしゃ断信号及び インタフェースパネルの手動操作によって始動され、 操作に必要な系統条件(機器状態と系統状態)を判断して、機器の操作を/瞬時/操作 (CB \(\) 章 5 秒、 LS \(\) も10 秒)で行う。この装置操作中は テレコンによる手動操作をロック し多重操作を防止しているが、緊急の定形外操作などの場合で手動操作を優先させたい場合はこの装置をロックすることができるようになっている。

(2) 監視方式

変電所の総合的な監視(実機器の開閉状態及び実系統の状態の表示) は、それぞれのユニットでとに設けられた集中監視制御盤で行われる が、この集中監視制御盤と結合する自動操作装置による操作の監視 は、次の方法で行われる。

(a) 運転員による インタフェース パネル の操作の確認

この装置の マンマシン インタフェース である インタフェース パネル の操作 (操作対象,操作内容の選択) に対応して,上記集中監視制御盤上のランプを フリッカ させて,運転員の操作を確認することができる。

(b) 自動操作装置による機器操作の確認

この装置の動作監視、点検を行うために設置している系統表示パネル上の ランプを フリッカ 及び反転させ、 機器個別の選択及び操作を確認することができる。

(c) 操作内容の記録による確認

この装置による操作は、操作時刻とその内容を プリンタ に記録し、操作確認と記録の省力化を図るようになっている。

3. 2 装置構成

図 3. に装置構成の ブロック 図を示す。各構成要素は、機能 ブロック どとに標準 ユニット に実装し、システム 規模、機能による入出力点数、プログラムステップ 数等の増減に対して機能 カード で対処できる ビルディングブ

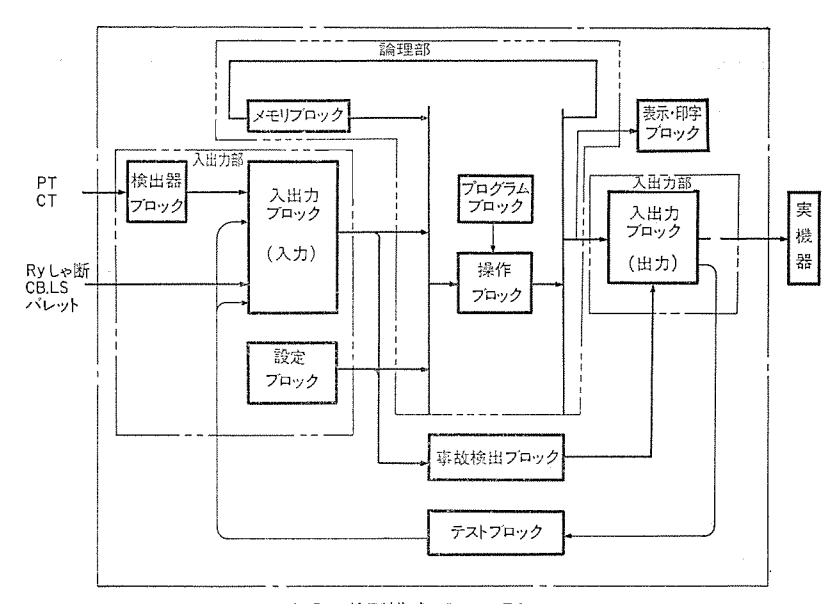
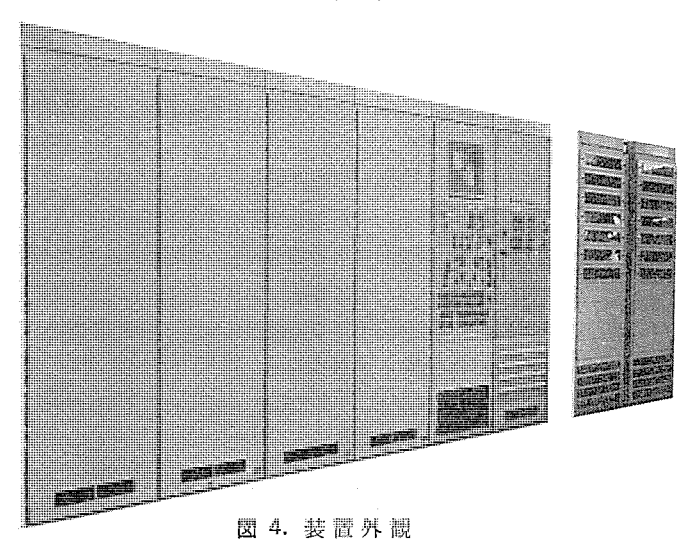


図 3. 装置構成 ブロック 図



ロック構成となっている。

盤構成は、これらのユニットを機能ごとに 700 W×600 D×2,300 H の垂直自立形盤に実装し、次の盤より構成されている。 図 4. にこの装置の外観を示す。

(1) 中央処理盤 1面

(2) プログラム 盤 3面

(3) 検出器盤 2面

(4) 入出力盤 2面

4. 信頼度向上対策

275 kV 変電所における操作は、基幹系統の操作であるため、誤操作は重大事故につながる危険性があり、この装置の信頼度が特に要求される。この装置の計画、製作に当たり、考慮した主な信頼度向上策について次に示す。

4.1 操作基本方式

装置による事故時操作の自動化は、事故原因を正確には(把)握するための情報量及びその分析処理量と経済性との相互間に限界があり、事故原因別に完全に正確な操作条件の検出を プログラム 化することが困難である。このため事故時操作は、事故時に必要な最小限の操作を行った後、事故原因(現場確認)把握及び給電指令確認後手動始動により自動操作を行う手動操作介在方式を採用して、事故時操作

の信頼度を向上している。

4.2 装置内部構成

この装置の装置内信頼度向上のために実施した監視,点 検のブロック図を図 5. に示す。以下このブロック図に従っ て、監視及び点検による信頼度向上策について述べる。

4. 2. 1 監視方式

この装置の機器操作概略 フロー と各操作 ステップ に対する 監視方式を図 6. に示す。

装置は、装置始動条件成立、個別機器操作条件成立後、操作完了までの一連の動作を各機器を対象に シーケンシャル に繰り返し行う。このシーケンシャル 動作は、装置共通の専用 シーケンス 制御 ユニット(操作 ブロック)に より行い、機器操作制御の共通化と動作監視の一元化を図って、小形化、高信頼度化を実現している。

(1) 総合監視

事故時及び平常時操作種別ごとの装置始 動条件を,装置本体とは別の信頼度の高い目的別専用 ハードウェアで検出し,装置を入力 ブロック から出力 ブロック まで統括的に監視している。 この総合監視の出力は機器操作指令出力 (出力 ブロック) の活 殺を行い装置誤出力を防止すると同時に,装置始動条件が成立しないにもかかわらず,機器操作の シーケンス が動作した場合, 直ちに装置を ロック し誤操作を防止している。

(2) 常時監視

図 3. に示す操作 ブロック は,機器操作始動条件成立後, 図 6. に示す フロー に従って,操作を シーケンシャル に実行するが, 操作の各 ステップ に対応して図 6. に示す常時監視を行い,もし異常があれば,装置出力を ロック して誤出力を防止するようにしている。

4. 2. 2 点検方式

(1) 自動点檢

自動点検は装置を構成しているハードウェア及び操作 プログラム 等の異常を周期的に自己診断するものである。この自動点検による点検範囲は、ハードウェア部は入出力用補助リレーを除く全回路、操作プログラム部は操作種別ごとに全種行い、点検周期は1日~10日まで任意の周期を設定することができる。1回の点検範囲は、点検時間の関係上、操作種別1種に限定している。自動点検の模擬入力は設定可能のダイオード ROM で行い、操作出力は内蔵の模擬しゃ断器を操作するようにしている。

点検の結果は、プリンタに操作内容を記録するとともに自己診断を

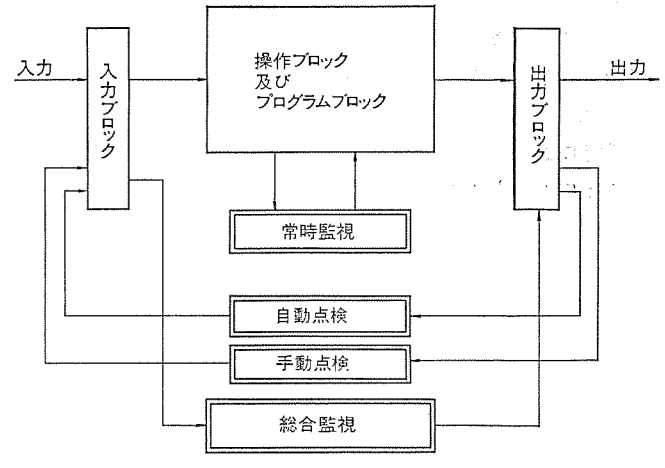


図 5. 装置内監視, 点検 ブロック図

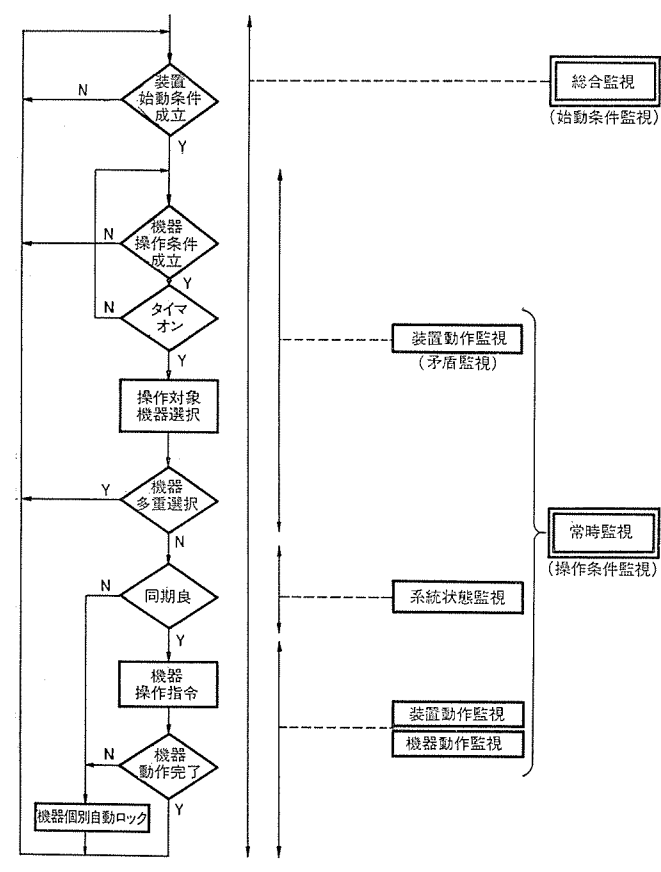


図 6. 機器操作概略 フロー と監視方式

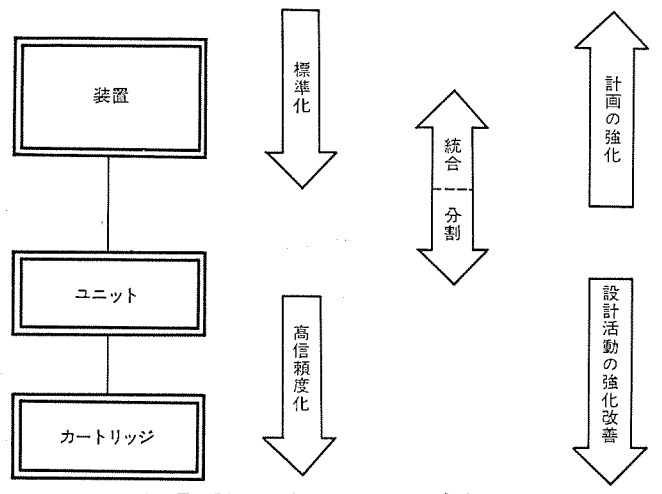


図 7. 製品階層 モデル と改善の方向

行い、異常時は装置をロックし警報を発するようになっている。

(2) 手動点検

手動点検は、定形外の操作、多重事故操作等の確認を行うもので、 入力は、入出力盤の正面に設けている系統表示設定 パネル 上の スイッチ 設定により与え、また、操作出力は内蔵の模擬しゃ断器を操作することにより確認するようにしている。 点検範囲は、ハードウェア 部は入出力補助 リレー を除く全回路,操作 プログラム 部は スイッチ 設定により任意の プログラム の点検ができる。点検の結果は、系統表示設定 パネル の ランプフリッカ、 又は、プリンタ による操作内容の記録によって確認ができる。

4.3 装置内部製作

これからの電力系統制御装置の電力系統運営における使命は、まことに重大であり、高性能でしかも高信頼度の装置が必要となることは前述のとおりである。

この装置を構成面からみると、その構成は部品レベルからプラント (システム)レベル に至るまで非常に多階層であり、ここに高性能、高信頼度の要求をいかにうまく盛り込んでゆくかという基本的な問題に対して、装置製作に当たり図 7. に示すような製品階層 モデルと改善の方向を検討し、製品に盛り込んでいる。

この階層 モデルの下位にある「カートリッジ」や「ユニット」においては、設計活動の強化改善、高信頼度設計の強化を、また、上位の「装置」においては標準化、分割と総合、計画活動の強化を行っている。また、カートリッジを構成する部品については、次の点に留意して選択している。

- (a) この装置と同機種で使用実績上信頼度確認している部品を使用する。
- (b) 部品の種類を削減し信頼度管理を容易にする。
- (c) 社内品質管理を行った部品を使用する。

また、この装置は、既設の集中監視制御盤、 保護 リレー 盤等によって構成される変電所のシステムに容易に結合できるような構成にしたが、更に、半導体を主体とするこの装置に対する耐雑音性能について、次の諸点を特に配慮して製作した。

- (a) 入出力部の補助 リレー 及び絶縁 トランス による絶縁強化。
- (b) 装置内結線の分離及び シールド化。
- (c) 必要以上の高速化を避けることによる耐 サージ性能の向上。
- (d) 装置内各部の自動監視及び インタロック の完備。

5. む す び

以上,信頼度向上策を中心に、275 kV 超高圧変電所用として、 この装置の実用化に当たって考慮した諸事項について紹介したが、今後、基幹系統の拡充に伴って超高圧変電所における操作の自動化が普及されることと思われるが、その一助となれば幸いである。

最後に、この装置実用化に当たり種々のご指導、ご援助を賜った 東京電力(株)及び三菱電機(株)の多数の方々に感謝する。

参考文献

- (1) 長町, 山田ほか:三菱電機技報, 41, No. 3, p. 503 (昭 42)
- (2) 落合,中里ほか:275 kV 変電所適用の自動操作装置について,昭51 年電気連大,812
- (3) 森,山田:三菱電機技報, 49, No. 10, p. 649 (昭 50)

高木洋一郎*·辻 徳 雄*·田 渕 靖 英*

1. まえがき

製品開発は従来の販売志向や技術志向の送り手の論理だけでなく, 受取り側, すなわち顧客側の論理を十分に製品に反映させてこそ, 真に受入れられる製品となる。

一方、市場は国内だけでなく海外にも広がり、製品は国際性と創造性を持つものでなければならず、 更に メーカ は製品の機能や構造だけでなく、経済性の メリット を、市場に提供するため生産性の向上も重要な課題である。

G形 ¬υトロールセンタの開発は、このような基本的な考え方を基にして進め、機能や構造面に新しさを生みだしたばかりでなく、設計技術や生産管理システムの合理化なども含めた総合的な開発であり、調査、基礎開発、総合展開、量産化の段階に分けて行われた。調査の段階では、広範囲にわたって設定した調査体系をもとにして調査を実施し、基本方針を作り、基礎開発の段階では顧客の種々の部門からの情報を集め、クレームや品質管理情報の活用、新しい技術情報の使用など、有効適切に広い範囲の情報を製品に反映させた。また、その間基礎開発における個々の開発 テーマに対してのウェイトづけをし、量産化までの各段階のマイルストーンにおける評価では、具体的評価基準の設定やウェイト付けのやり方などについて新しい手法が生まれている。

以上のような開発の思想と手順によって開発された G形 コントロールセンタ は,顧客の要求を十分採り入れているだけでなく,更にもう一つの重要な旧形に対する補用品対策をとり,部品の互換性を通して顧客が納得できる製品を実現している。

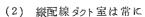
2. G 形コントロールセンタの基本構成

G 形 コントロールセンタ は、JEM-1195 に準拠した 600 V 級低圧補機 モータ 用の コントロールセンタ である。 外形寸法は、幅 630・奥行 550・高さ 2,300 mm で、 箱体上部中央に配置された水平母線と分岐用の垂直母線からなる母線室、負荷への分電と制御を行う単位装置収納の

コニット室、ケーブル 配線用の縦 配線 ダクト室、及び JEM-C 配 線用の総括端子室から構成さ れた、片面・両面共用の1面 単位箱になっている。図1. は、G形 コントロールセンタを3 面列盤にした全景写真であり、 図2. は断面を示す。

G形 コントロールセンタは,下 記の構造上の特長をもっている。

(1) 幅は 630 mm で1面単位である。



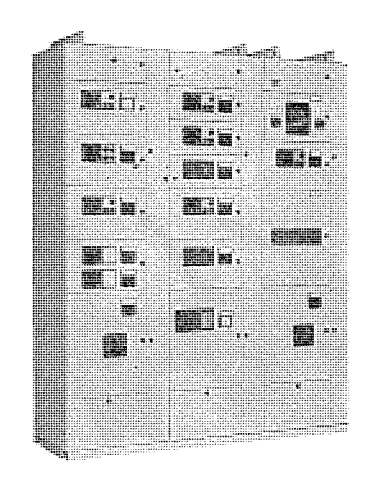


図 1. G形 コントロールセンタ の外観

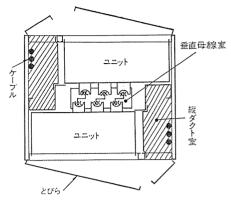


図 2. 箱断面図(両面形)

ュニット室の右側に位置する。

これらの特長は、計画性・配線作業性・保全性などを、従来形より 一層向上させたものであり、 かつ オリジナル な コントロールセンタ を追求 した結果である。なお特長の詳細は、3 章以降に述べる。

3. 信頼性の向上と事故の局限化

信頼性の向上と事故の局限化は、プラントで要求される負荷の連続性 を確保するために、特に必要である。

3.1 短絡強度を向上させた Z 形垂直母線と安全性への配慮

2 形垂直母線は、G形 コントロールセンタ に初めて導入した、図 3. に示す断面をもつ母線であり、銅フープ材をロール成型 したものである。その特性は、単位長当たりの放熱表面積が増加したことによる電流密度の増大であり、短絡事故時に際しての機械的強度が、従来形のく(矩)形母線よりも格段に向上したことである。 更に母線室と他区間とのしゃへいを容易にし、安全性の面で優れた特長を持っている。

(1) 短絡強度の向上

母線の短絡強度は,短絡時の電磁力による影響,すなわち母線自身の許容曲げ応力やユニットに付く電源引込用 グリップ の フローティング 範囲を考慮した許容たわみ量以内になることを条件に, 材質・断面形状・配列方法・母線支持間隔などの要素で決まる。 図 4. は 750 A 定格の Z 形母線と 600 A 定格の矩形母線の短絡強度を比較した グラ

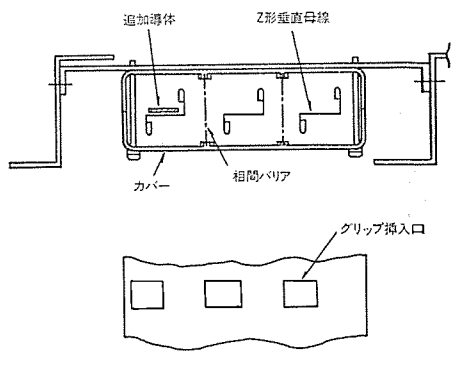


図 3. Z 形垂直母線と母線室

っであるが、同一母線支持間隔において、たわみ量・曲げ応力共に Z 形母線が優れていることが分かる。ちなみに、30 kA・RMS の短 絡回路で、長さ約 1,800 mm の母線支持本数は、矩形母線で7本、 Z 形母線では3本である。

なお、一般的に、短絡電流による母線間に働く電磁力 $F_s(kg)$ は、

$$F_s = M \cdot K \cdot 2.04 \cdot 10^{-2} \cdot I_s^2 \cdot \frac{l}{D}$$

 I_s : 非対称短絡電流 ℓ -ク 値 (kA)

D:母線間隔 (cm)l:母線支持間隔 (cm)

M :電流位相による減衰乗数

K : 形状係数

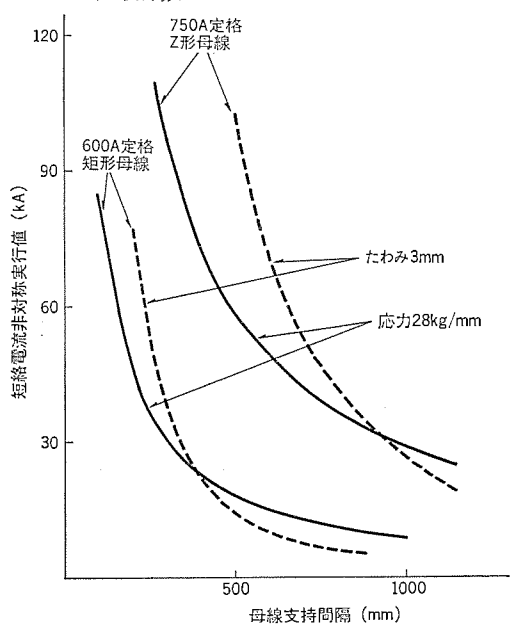
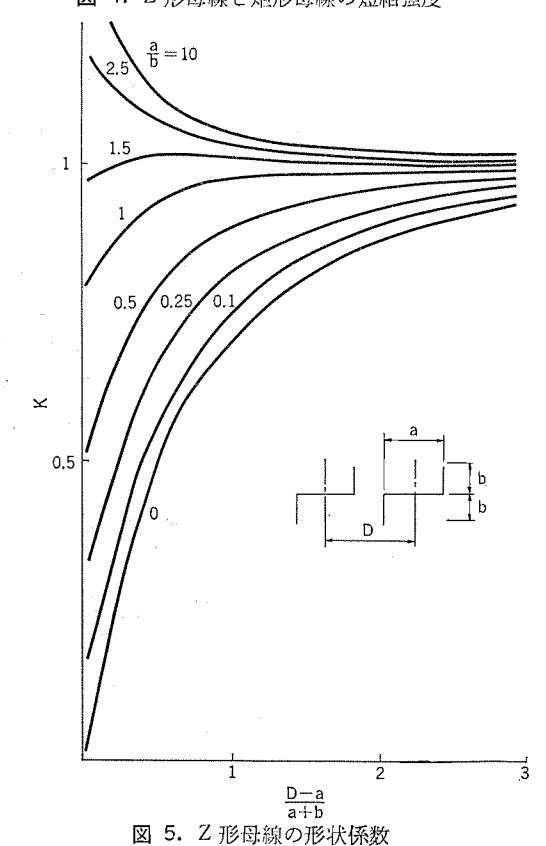


図 4. Z 形母線と矩形母線の短絡強度



で表される。2 形母線の形状係数 K は、HIGGINS の理論を発展させ、母線間の磁気 1 ネルギ を機械的 1 ネルギ に変換して求めた。図 5.は 2 形母線の形状係数を求める 5 ラフ である。

(2) 安全性への配慮

垂直母線室は、図 3. で示すように耐熱性半透明樹脂の絶縁 カバーで 覆われ、 グリップ そう(挿) 入口以外は ユニット室としゃへいされている。更に、母線相間の絶縁をもできる構造にし、従来形以上に、母線室の安全性に考慮を払っている。

(3) 接続部の信頼性向上

母線同志のボルト締めは、ヒートサイクル や母線の振動によって、ボルトが緩みがちになりやすく、 接続不良による過熱から アーク 短絡に移行する危険をはらんでいる。 G 形 コントロールセンタ では、垂直母線と水平母線との接続には、図 6. に示すように、 接続導体 (CB) に圧入された プレスナット、締付力の低下を防止する ベルビルフッシャ、及び六角穴付きの高張力ボルトを採用してボルトの緩みを防止し、接続部の信頼性を一段と向上させている。

3.2 接触信頼性と耐溶着性の増した電源グリップ

モータスタータ 用 ユニット や NFB ユニット の電源引込部 を グリップ 機構に し、 ユニット の着脱を容易にすることは、 重要 ユニット の メンテナリティ を保持し、負荷の連続性を確保するうえで必要である。

今回開発した グリップ は、 $50~\mathrm{A} \cdot 100~\mathrm{A} \cdot 150~\mathrm{A}$ 定格の低容量 グリップ と $600~\mathrm{A}$ 定格の高容量 グリップ である。

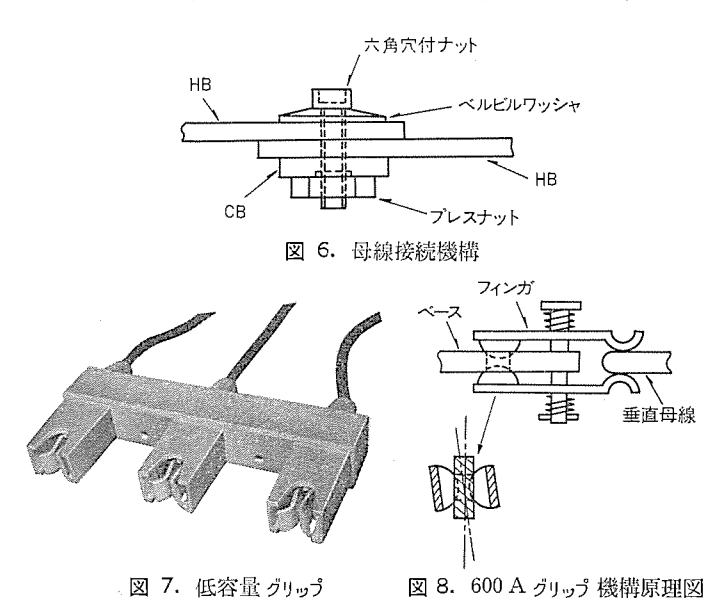
(1) 低容量 グリップ

50 A・100 A・150 A 定格の ヴリップ は、材料自身の応力を利用した自力接触形であり、図 7・に示すように ガラスポリエステル 樹脂で モールド された 3 相一体形構造になっている。垂直母線とは線状接触し、1 点接触方式の ヴリップ と比べて、接触部の耐溶着性を飛躍的に向上させている。

また、グリップ自身の自己整合性も優れ、左右・前後のずればかりでなく、ねじれに対しても追従できる3次元 フローティング 機構にしている。

(2) 大電流 グリップ

600 A 定格の ヴリップ は、主に電源 ユニット 用と して新しく開発した ヴリップ で、低容量 ヴリップ と同様、ガラスポリエステル 樹脂で モールド された 3 相一体形の ヴリップ であるが、その機構は、図 8. の原理図で示すように、コイル ばねで接触圧を出す他力接触形である。フィンガベース



212

(口出し導体) と フィンガ の接触部 を 円 状接触に し、垂直母線と フィンガ を線状 接触に した 3 次元 フローティング機構に よ り、接触信頼性や耐溶着性を低容量 グ リップ 同様優れたものに してい る。図 9. は大電流 グリップ を 取付けた 600 A 定格の電源 ユニット である。

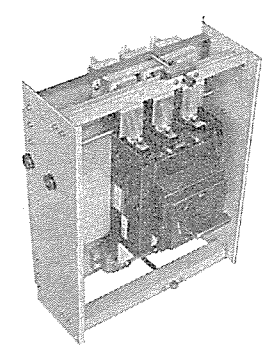


図 9. 600 A 定格電源 ユニット

4. 優れた計画性と豊富な標準仕様

コントロールセンタ は、 石油化学・鉄鋼・電力・ガス・線維・上下水道などの プラント 設備から一般工業用設備まで広範囲に進出し、その要求される仕様は多種多様である。

この仕様の多様化に対して, G 形 コントロールセンタ が, いかに柔軟に, システマチック に対処できるよう配慮されているか, その主だった特長を述べる。

4.1 計画に対してフレキシブルな箱体

G 形 コントロールセンタ の外箱は、高さ方向全長にわたって 100 mm の整数倍に区分し、水平母線室・ユニット室・総括端子室の高さを自由に変えられる。そのため、基本形を含めて 6 種類の変化をもたせることができ、計画に対して フレキシブル に対応できる。

具体的な適用例としては(表 1. 参照)

- (1) 3,000 A 級の水平母線では、 母線室の高さを 300 mm にすればよい。
- (2) B 配線工事の場合総括端子室を ユニットスペース として, 片面 10 段, 両面 20 段積みが可能である。

4.2 制約条件のなくなった両面形コントロールセンタ

Z 形垂直母線により、垂直母線容量に関係なく両面形が可能になった。

4.3 ユニットのシステム化

G形 コントロールセンタ の基本 ユニット は,電源側は グリップ 方式,負荷側 主回路は圧着端子, 制御回路は 1 ピッ ごとの ファストン 端子であり, 従来形と同一である。

ュニット 仕様の多様化に対処するために、応用形 ュニット (例えば自動連結 ュニット など) は、基本 ュニット+ α の形で製作できる構造にし、ユニットの システム 化を図った。

また、計画性を考慮し、基本 ユニット と同一寸法で対処でき、かつ、 経済性・安全性を考慮して、B配線を行えるように配慮している。

1 (基本形) 630 A 200 200 200 300 300 300 母線室 ユニ沙室 B 1800 2000 1900 1700 1800 1900 C 300 100 300 200 100 端子室 水平母線容量 1000A 1000A 1000A 3000A 3000A 3000A

表 1. フレキシブル な箱体計画表

表 2. G形, E形 ユニット 収納 リレー 比較 (一例を示す)

	寸法 (mm)	ユニット形名	電磁開閉器	リレー 個 数	制 約 条 件
	200	E 2-10 ES 01 N	MS 0-18	2	SRT タイマ、瞬停は付かない
E	300	E 3-10 ES 03 N	MS 0-35	3	SRT タイマ 取付けの場合リ レー2コ 分のスペースとなり、 リレーは 1 コとなる
形	000	E 3-10 ES 08 N	MS 0-80	2	
	600	E 6-22 GS 15 N	MS 0-150	3	瞬停をつける場合, リレー2 コ分のスペースとなり, リレ ーは1コ となる
	200	G 2-10 SA 02 N	MS 0-A 21	2	制限なし
G	300	G 3-10 SA 03 N	MS 0-A 35	3+a	同上
形	330	G 3-10 SA 08 N	MS 0-A 80	3+α	同上
	600	G 6-22 SA 15 N	MS 0-A 150	3+α	间 _ 上

注) α はトグル SW, 6 P コネクタ, 切換スイッチなどの器具を 追加取付け可能で あるととを示す。

4.4 スペースファクタが改善されたユニット単位装置

G形 コントロールセンタの ユニットは、主に

- (1) ケーブル 引込方向の規則性、 すなわち配線用 ダクト 室が常に ュニットの右側に位置している。
- (2) 効果的な器具配置, すなわち NFB は左側, 電磁開閉器は右側に配置されている。

の二つの効果により、収納器具の スペ-スファクタ が改善され、従来形の 1=yトに存在していた収納器具の取付け制約をなくし、規則性をもたせられるようになった。表 2. は G 形 1=yトと E 形 1=yトとの収納 1レーの比較表である。

4.5 取付け制限のない操作パネル

表示灯・押ボタン・切換スイッチは、図 1. で示すよう に NF 操作 ハンドル と一体になった操作パネル に取付けられる。その取付け個数は、組合せに関係なく 4 個まで可能になり、設計上の自由度が増大している。

4.6 機能の拡大を図った名板パネル

名板パネルは、G形 コントロールセンタで初めて採用したものであり、パネルには、カードボルダ式のユニット用途名板と電流計又はオプションとして、表示灯・押ボタン・切換スイッチを2個取付けられる。 そのため、仕様決定の遅れや仕様変更に対し、とびら加工することなく容易に追従できるようになっている。

4.7 MCP-150 HA の適用

MCP は、Motor Circuit Protector の略称で、NEC 規格に準拠した モータ 回路短絡保護専用のしゃ断器であり、 最近当社において開発された。

MCP-150 HA の機構は,瞬時動作のみであり,引外し電流値を 定格電流の $4\sim10$ 倍 に調整 できる マグ 可調整 タイプ になっている。 また ϵ -タ の過渡突入電流で動作しないよう アンラッチングタイム がとってある。 この MCP が G 形 \Box ントロールセンタ では適用が可能であり,次のような利点がある。

- (1) 小容量 モータの保護協調が完全になる。
- (2) しゃ断器定格電流の選定が経済的になる。 すなわち ϵ -9 全 負荷電流を MCP 定格電流に等しく選定できる。また一つの定格値 の ブレーカ が、幾つかの ϵ -9 容量への適用範囲が広くなっている。
- (3) MCP の 150 A 定格は、400 V 級 90 kW の ϵ - ϵ に適用できる。

(4) モータ 容量の変更に対して適応性が大きい。

ただし,MCP の使用は, 現状では $400\,\mathrm{A}$ $_{\mathrm{JU-L}}$ 以上の NFB と同様,通産局長への特認申請が必要である。

5. 据付け、列盤、配線工事の作業性

Pンケート 調査, 2ν ーム 分析などの調査結果では,据付け,列盤,配線工事の, しにくさの指摘や工事への不徹底が原因となって,思わぬ 2ν ーム を引き起こす場合があった。

したがって、G 形 コントロールセンタの開発では、工事上の問題点を 究明し、その結果を新製品に反映させた。

5.1 B 配線システムの完成

B配線方式の メリット は

- (a) プラント 建設後においても, ユニットの追加,変更工事が,比較的容易である。
- (b) 仕様変更に応じられやすい。
- (c) 事故の発生率を少なくする。
- (d) ケーブル 配線工事が、比較的やりやすくなる。

などの特長があり、この特長を生かすため、構造上次のような配慮 をしている。

- (1) ステップ 端子台によりすべての ケーブルサイズ に B 配線を可能にした。電磁開閉器 MSO-A 50 以上が取付く ユニット には,サーマルリレー に ステップ 端子台を付け, 外部 ケーブル 30 mm² 以上の場合, 従来は, B 配線工事ができず C 配線方式としていたが, B 配線を可能にした。
- (2) 1ユニット 当たりの縦 ダクト室の断面積を、 従来形に比して 40 %増やし余裕をもたせた。
- (3) 高さ $2,300 \, \text{mm}$ の縦 $g_{2/}$ とびらは、単独に取外しができ、また、 $g_{2/}$ 内は、しきり わく (枠) など $f_{-7/}$ 処理の障害になるようなものを、皆無にした。
- (4) 1面構成の外箱で縦 g_{2} ト室は常に、ユニットの右側にあり、 g_{2} ト内を立上がる f_{2} ーのは、十分大きな曲げ半径をもって、ユニットに接続することができる。(図 10. 参照)
- (5) g_{0} ト 室内の右側には, r_{0} プルサポートを用意し, この r_{0} プルサポートは, r_{0} プアーム付きで バインドを容易にし, かつ ポリェステル 樹脂 塗装され, r_{0} プル の保護をしている。

5.2 据付け,列盤工事に対する配慮

据付け、列盤作業の能率向上を図った主な点について紹介する。

(1) 集積誤差を吸収する チャンネルベース

列盤面数が多くなるに従って、基礎施工方法によっては寸法誤差の

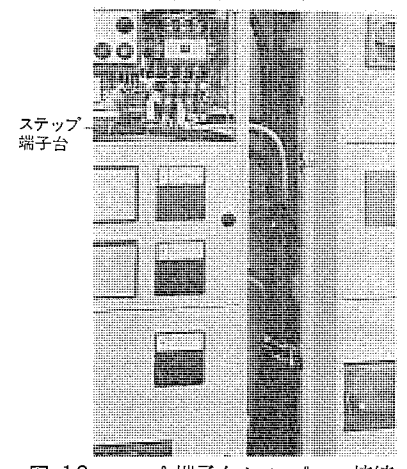


図 10. ステップ 端子台と ケーブル の接続

表 3. コントロールセンタ 据付施工方法例

		我 3. コンドロールビンタ 1名下	
	No.	基礎施工方法(例)	コントロールセンタとの 集積誤差に対する配慮
チャンネルベース先送りの場合	1 5	A コントロールセンタ B Fなり 5マ 「日本」 マドレー・・・・・・・・・・・・・・・・・・・・・・・・・・・・・・・・・・・・	A: コントロールセンタの集積誤差に対し施工時問題なしB: チャンネルベースに長穴が必要、工場手配でない場合、工事側にて考慮
光送りの場合	2	A B 特殊座金 特殊座金	チャンネルベースの固定を A:溶接,モルタルetc. B:基礎ボルト で行う場合,チャンネルベースと 一体で送付する調整金で吸収 する チャンネルベース 調整全
チャンネルベ	3	FL デザンネルベース	チャンネルベースを基礎ベースに 溶接する方法で施工時間題なし
チャンネルベース付の場合	4	- 英級クランプ	チャンネルベースを基礎ボルトに て固定する方法で、集積誤差は 基礎クランプにて吸収する

集積により、チャンネルベースとコントロールセンタ、又は、 基礎 ポルトとチャンネルベース と合わない場合があった。

上記の問題に対し、 チャンネルベース に長穴を設け、調整金、又は、基礎 クランプ との結合により、集積誤差に対処した。表 3. は、コントロールセンタ や据付方法の一例を示し、それぞれの場合の集積誤差に対しての配慮を示す。

(2) 横枠連結による容易な列盤作業

ダクト内の一方向から箱体相互の横枠を、 ポルトで締付ける単純で堅固な方法とした。

(3) 母線連結作業の簡便化

天板を外せない場合の母線連結作業は、従来、非常に作業性が悪く、 非能率であったが G 形 コントロールセンタでは、他に影響を与えること なく、母線室正面から無理のない姿勢で行えるように考慮した。

また、水平母線支えは、 縦 ダクト 部分に設け、容易に取付けができる構造にしている。

6. 操作性と保守性

6.1 増締めとチェックを容易にした母線構造

Z 形垂直母線と水平母線を箱体の中央に配置することにより、垂直 母線と水平母線の接続を容易な構造とすることができ、定修時にお ける母線接続部の増締めと チェックを、天板を外すことなく、母線室 の扉を開き、正面から専用工具により容易に行える。(図 11. 参照)

6.2 脱着と保守を容易にしたユニットケース

ユニットケース は、平面的に見て H 形形状であり、裏側 カバー を取外せる構造となっているため、裏面に取付く CT や TR などの取替え、追加、保守点検を一層容易にした。

また、ユニット 脱着 ガイド に摩擦の少ない ステンレス 製 レール を使用し、脱着が スムーズ にいくようにしている。(図 12. 参照)

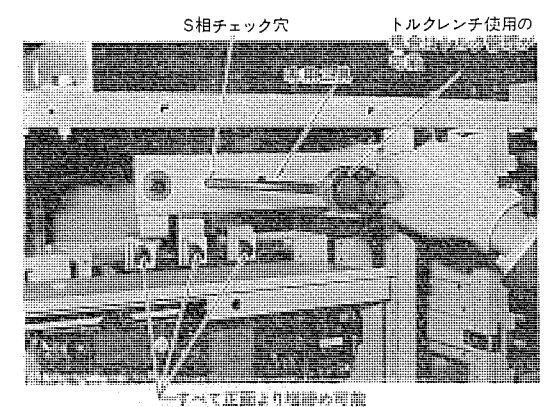


図 11. 水平母線増締め作業

6.3 堅固で操作の明確なとびら止め装置

構造堅固で操作、動作の明確な カムロック 方式を採用し、かつ、枠体 に直接 ロック する構造としているので、 衝撃や振動に対しての保護 を、より強固にしている。

6.4 テスト位置停止機能をつけたユニットラッチ装置

テスト 位置自動停止のできる コニットラッチ 装置を設け、 点検時の操作を容易にした。ロック、テスト位置自動停止、アンロック の状態は、 ラッチ 装置のつまみを 90° 回転することにより設定できる。

6.5 NFB の保守点検を容易にした NF 操作ハンドル

NFB をとびら表面から操作する NF 操作 ハンドル は、ON・OFF 状態での施錠機構、とびら表面からのとびら角穴との整合機能などの基本仕様は、従来形と同一であるが、新しく次の特長をつけ加えた。
(1) NFB 100 A 以下は、操作 ハンドル、コントロールパネル が一体で前方に回転し、また 225 A 以上は、コントロールパネル 部分だけが前方に回転する機構になっている。 そのため、NFB の取替え、保守点検が容易にできるようになった。

(2) NFB 600 A 以上には、 補助 Nンドル を一体で付け、操作を容易にした。

6.6 表示灯, 押ボタン, 切換スイッチ

表示灯,押 ボタン,切換 スイッチ は、コントロールセンタ 専用に開発し性能,操作性の面で一段と向上している。 特に、表示灯には長寿命の キオン 管を使用し、直列抵抗、 誤点灯防止抵抗は、 1 枚の磁器 ベース にプリント した金属皮膜抵抗を採用し グローブ 内に収容している。

7. モデルチェンジと補用品対策

従来ややもすると、モデルチェンジ後の新製品の PR・販売・サービス に力を入れ、既納品の補用品対策は副次的に扱ってきた感が強い。しかし、経済の低成長時代には新製品に向ける熱意以上に補用品対策に取組む姿勢が必要である。

すなわち増設・追加 ユニット 工事が多く、 コントロールセンタ のような 寿命の長い機種は、内蔵される器具を含めて、顧客が安心して長期 にわたって使用できるよう補用品対策を強力に押し進めることが必要である。

また、新製品に関しても、新・旧製品の互換性について顧客が納得できる論理が必要であり、製品に反映させねばならない。

7.1 G 形コントロールセンタに対する配慮

図 13. は、郵送法による $_{7-5}$ ト 調査や顧客に直接面接して得た新旧機種の互換性に関する $_{7-9}$ を整理した結果である。 この調査に基づき、 $_{9}$ $_{1}$ $_{1}$ $_{2}$ $_{3}$ $_{4}$ $_{5}$ $_{1}$ $_{5}$ $_{7}$ $_{1}$ $_{1}$ $_{2}$ $_{5}$ $_{1}$ $_{2}$ $_{3}$ $_{5}$ $_{5}$ $_{5}$ $_{5}$ $_{7}$ $_{1}$ $_{1}$ $_{2}$ $_{5}$ $_{5}$ $_{7}$ $_{1}$ $_{2}$ $_{5}$ $_{7}$ $_{1}$ $_{2}$ $_{5}$ $_{7}$ $_{1}$ $_{2}$ $_{5}$ $_{7}$

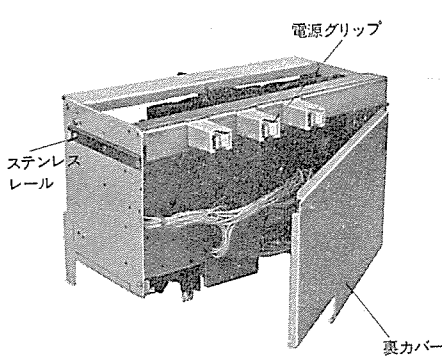


図 12. G形ュニット

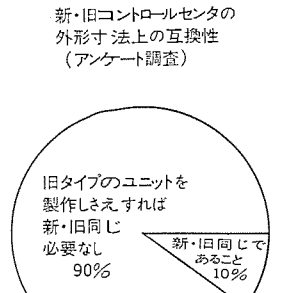
を含めて列盤を可能にしている。 ユニットについてはケースの互換性は特に必要ないとの結論であり、 器具は努めて同一のものを使用する。

7.2 従来機種の補用品対策

コントロールセンタ は プラント が か (稼) 動する限り使われ、寿命は長くその間の補用品対策は極めて重要である。

この事実をふまえ, メーカの社会

的責任として、従来機種に対する 補用品対策を次のように考えた。 (1) NC 形・E 形の各 コントロール センタの箱体と ユニットは、 客先の 要求により製造する。部材はでき るだけ G 形 コントロールセンタ用を使 用するか、又は専用の補用品とし て最適な形態で対処する。



高さ・奥行を 同じにすること 39%

新・旧同じ

30%

高さ・幅を同じにすること 3%

寸法にすること

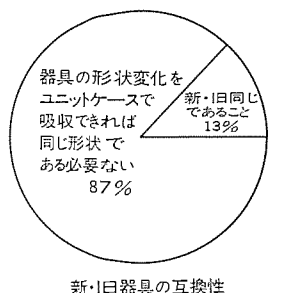
新・旧同じ

. 要なし

寸法 である心

190

新・旧ユニットの形状に 対する互換性 (アンケート調査・面接調査)



(アンケート調査)

図 13. コントロールセンタの互換性

- (2) 器具の取替えは、次のように対処する。
 - (a) G形 コントロールセンタ で使用する器具
 - (b) 市販されている器具

ただし、取付け上の互換性がない場合は、 アタッチメント などの アクセサリ をつけて提供する。

- (i) 器具を取付ける際、顧客側に穴加工、部材製作等の必要のないようにする。
- (ii) コントロールセンタ に既についている 部品や部材は極力使用できるようにする。
- (iii) 要求される機能,性能は満足させる。

8. む す び

G形 コントロールセンタ について製品の紹介とともに、 開発の基本思想と手順についても簡単に紹介した。製品の機能は、 社会的、技術的環境条件を判断したうえで決められるメーカの方針によってつくられ、またその評価は、その選択と実行のいかんによって、顧客から受けることになる。この機能の内容は、(1)基本機能(電力の供給、供給の連続性、制御、構造的要求等)、(2)顧客のための機能(対物機能、対人機能)、(3)製造のための機能、(4)社会のための機能、等がある。いずれにしろ、顧客の立場にたった機能と環境の変化に柔軟に対応できる姿がもっとも理想的なものといえ、 G形 コントロールセンタ はこの姿を追求したものである。

水 沢 丕 雄*·高 松 泰 男**·倉 島 徳 幸**

1. まえがき

15 GHz 帯の マイクロ 波通信においては、その回線の高密度化による 干渉、建築物による干渉などの条件が厳しくなっている。したがっ て、回線の新設又は分岐回線の増設を行う場合には、アンテナ の指向 性の良否が回線設計上で大きな問題となっている。このことから近 軸及び広角の放射特性の優れたアンテナが要求されている。また直交 2 偏波を共用する場合には、 交差偏波放射 レベル の低いものが要求 される。

このような観点から、昭和 48年に1次試作としてフロントフィードタイプの扇形開口 オフセット パラボラアンテナ を試作し、その基本特性を調査した(1)。その結果、水平面内の放射特性において、 広角度放射 レベル が低く、 第1 サイドローブレベル も ー32 dB 程度の良好なものが得られた。しかし直交 2 偏波を共用する場合に問題となる交差偏波放射] 特性については、正面方向で ー40 dB 程度得られるものの、水平面内の ピークレベル が ー18 dB 程度と高く、この レベル を低減することが課題となっていた。

この課題を解決するためには、1次試作の鏡面系で発生していた 交差偏波成分を打消す必要があり、更に1次放射器として交差偏波 放射レベルの低いものが必要となり、検討を重ねた。

この結果,主反射鏡の交差偏波成分を打消すために,17セットカセグレン 形 $^{(2)}$ の鏡面系を構成し,1次放射器として,交差偏波放射 レベル の低い フレア 角度変化形複 モードホーン を採用することにより改善を図った。

との論文では、前記の問題点を解決するため試作した扇形開口 オフセット カセグレンアンテナ の設計及び性能について述べている。

2. 基本的考察

15 GHz 帯の マイクロ 波通信用の アンテナ には、次のようなことが心要である。

項 性 能 考 14.4~15.25 (GHz) 帯 域 周波数 14.8G Hz レドーム付き 45.0 (dB) 和 狙 電 0.6 (dB) ム指失 気 的 Д 櫾 0.8 (形) 性 第1サイドローブレベル -32 (dB) 40 (dB) 보 는 交差偏波識別度 1.04 以下 VSWR 開 П 面 稻 2.14 (m²) 槮 60 (m/s) 十3 (度) 以上 方向調整角度範囲 性 领 件 200 (g/cm²) 能 顶 傲 約 180 (kg) 方向調物部を含む

表 1. 扇形開口 オフセット カセグレンアンテナ の主要性能

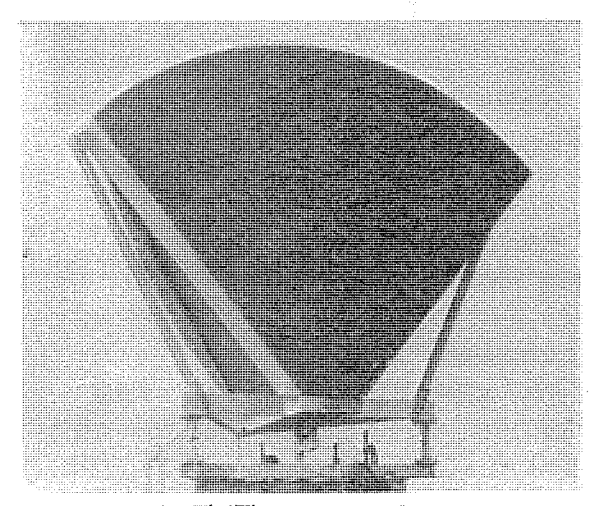


図 1. 扇形開口 オフセット カセグレンアンテナ

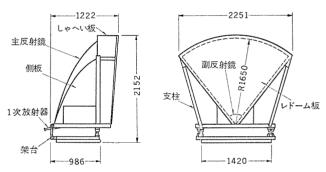


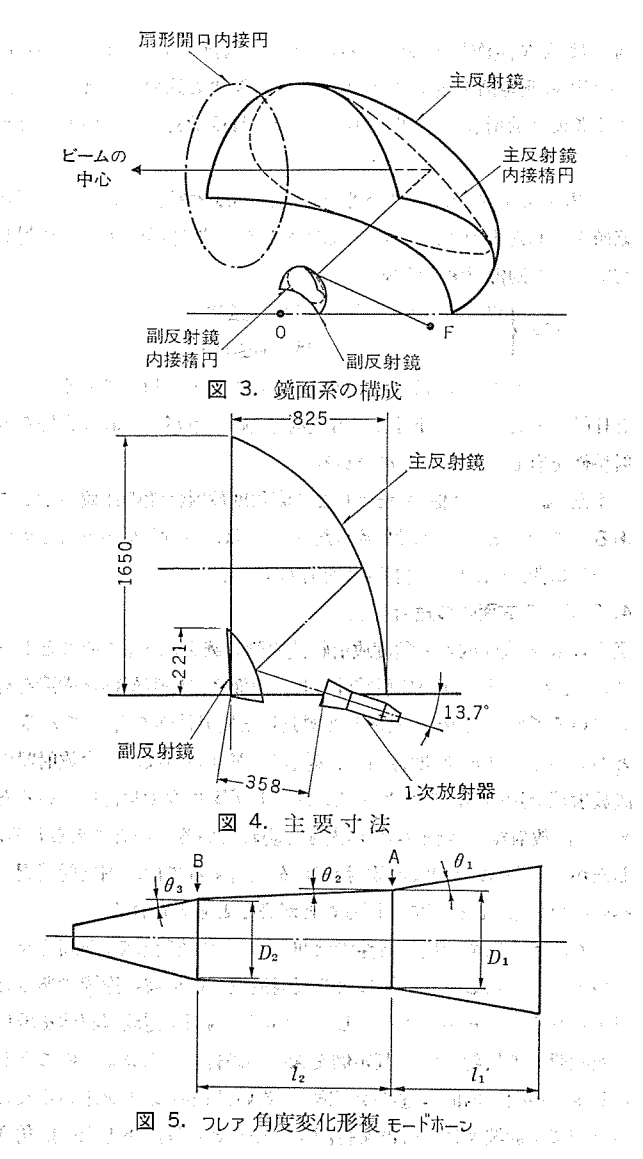
図 2. 扇形開口 オフセット カセグレンアンテナ の構造

- (1) 周波数帯域が 14.4~15.25 GHz であること。
- (2) 偏波共用であるため、交差偏波識別度が良好なこと。
- (3) 入力 VSWR の小さいこと。
- (4) 近軸及び広角の放射レベルが低いこと。
- (5) 運搬,及び据付・調整工事が容易であること。
- (6) 鉄塔の上あるいは高層 ビル屋上等への設置に適した構造であること。
- (7) 雨雪, じんあい (塵埃) の付着に対して考慮されていること。 以上の観点から $15\,\mathrm{GHz}$ 帯の 7790 波通信用 7257 として, 扇形開口 7257 かセグレンアンテナ を試作した。 この 7257 の主要性能を表 1. に示す。また外観を図 1. に, 構造を図 2. に示す。

3. 設 計

3.1 鏡面系の設計

鏡面系は、図3. に示すように、主反射鏡と副反射鏡の2枚の反射鏡を組合せたオフセットカセグレン形(2)とした。主反射鏡は直径3.3 m、焦点距離825 mm、 開口角180°の回転対称形パラボラ反射鏡の一部分を用い、副反射鏡は2葉双曲面の一部を用いた。また、その配置は図3. に示すように2葉双曲面の焦点であるO、Fの位置に主反射鏡の焦点、1次放射器の位相中心がそれぞれ設定される。



副反射鏡の形状を決定するには、図3.の破線で示じた主反射鏡及び副反射鏡の内接だ(楕)円内の部分に着目し、図中の1点鎖線で示した扇形開口の内接円内の開口分布が幾何光学的に回転対称になるようにした⁽²⁾。この結果得られた主要寸法を図4.に示す。

3.2 1 次放射器の設計

1次放射器には、コルゲートホーン⁽³⁾⁽⁴⁾、 誘電体装荷 ホーン⁽³⁾⁽⁴⁾、 長日 両面の放射 パターン の一致度が良く、交差偏波放射 レベル の低いものがあるが、今回は、これらの1次放射器と同程度の性能が得られ、しかも製作の容易な フレア 角度変化形複 モードホーン⁽⁶⁾⁽⁷⁾を用いた。

この フレア 角度変化形複 モードホーン の概略を図 5. に示す。この複モードホーン は、A 及び B で示される不連続部分で、フレア 角度を θ_1 から θ_2 及び θ_2 から θ_3 に変化させることにより、円形導波管の基本モードの一つである TE_{11} モードを励振波として高次 モードの一つである TM_{11} モードを発生させて、放射特性の改善を図るものである。また高次 モード発生部の長さ l_1 , l_2 は ホーン 開口で TE_{11} モード の位相差が所望の値になるように決定されるものである。

今回設計した複 ϵ --ドホーンでは, 帯域内中心周波数において長き l_1 , l_2 を π --ン 開口で TE_{11} ϵ --ド と TM_{11} ϵ --ド が同相となるように し, TM_{11} ϵ --ド 発生量を円形導波管の中心軸方向において TE_{11} ϵ --ド に対する電界比で 0.43 とした。

またモード発生量に関しては、文献(8)の考え方に従って新たに 算出したものを用いた。 マース ストストラー エーラー

3.3 しゃへい板及びレドームの設計

ての アンテナ は 1 次放射器及び副反射鏡からの スピルオーバ が水平面内 にあらわれないようにするために、 図 2. に示す側板及びしゃへい板で鏡面系と 1 次放射器を包む構造になっている。 また レドーム は、透過損失を小さくするために厚さ半波長の ガラス 繊維強化 ポリエステル 板を採用している。 製作した レドーム 板は

「前 音差 たっ**比誘電率** キュージン 4.2±0.2

意思。 誘電損失 (tan δ) 0.02以下

引張り強さ

18 kg/mm² 以上

縦弾性係数

1,700 kg/mm² 以上

であり、その通過損失はこの帯域で 0.6 dB 以下となっている。

次に1次放射器の気密は、その開口に テフロン の円錐形半波長板を 取付けることにより保てるようになっている。

4. 実測性能

4.1 フレア角度変化形複モードホーンの放射特性

フレア 角度変化形複 モードホーン の放射特性の測定例を 図 6., 図 7. に示した。測定は副反射鏡に吹付ける距離が 358 mm であるので、ホーン 開口から 358 mm の位置での放射 パターン を測定した。

この結果, 正偏波の放射特性では吹付け角度 14 度以内で E, H 両面の $E_{-\Delta}$ の一致度は 0.2 dB 以下となり, 交差偏波放射 U^*U^* では偏波面に対し 45 度方向の E_{-D} 値で -31 dB 程度得られることが分かった。また図中に計算値として示したものは、 TM_{11} E_{-F} の発生量を 0.43 とし,更に高次 E_{-F} 発生部で TM_{11} E_{-F} と 同時に発生する

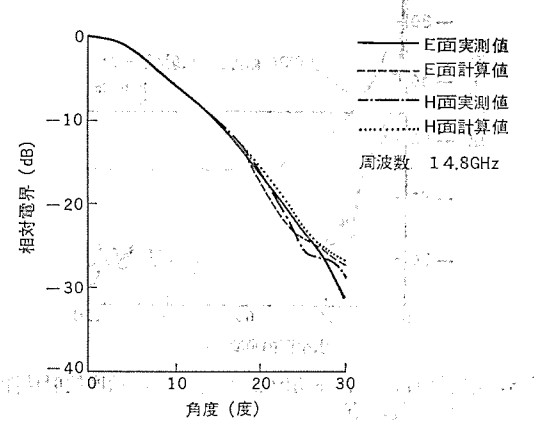


図 6. 複 モードホーン の近軸放射 パターン

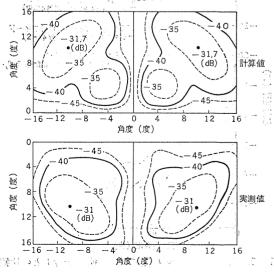


図 7. 複 モードホーン の交差偏波等電界図

 $TE_{12} = -1$ をも考慮して計算を行った。 このことから計算値と実測値は比較的良い一致が見られた。

4.2 アンテナ総合の放射特性

4.2.1 水平面内の放射特性

図 8. に水平面内近軸放射特性の E, H 両面の測定例を示す。 この ことから正偏波放射特性では,第 1 サイドローブレベル が $-32~\mathrm{dB}$ 程度 得られることが分かる。 また交差偏波放射 レベル では水平面内の ピーク 値で $-32~\mathrm{dB}$ 以上になっている。また図中の 1 点鎖線で示した

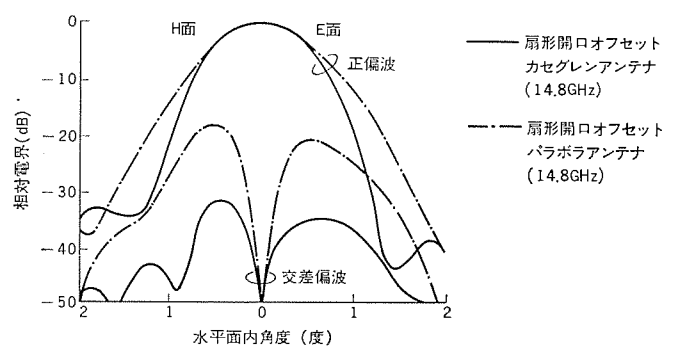


図 8. 扇形開口 オフセット カセグレンアンテナ の近軸放射 パターン

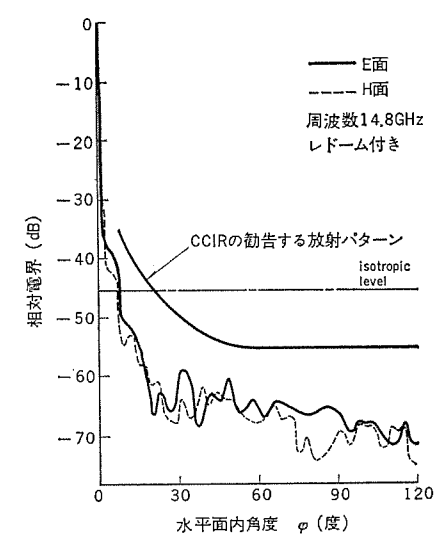


図 9. 扇形開口 オフセット カセグレンアンテナ の広角度放射特性 (せん頭包絡値)

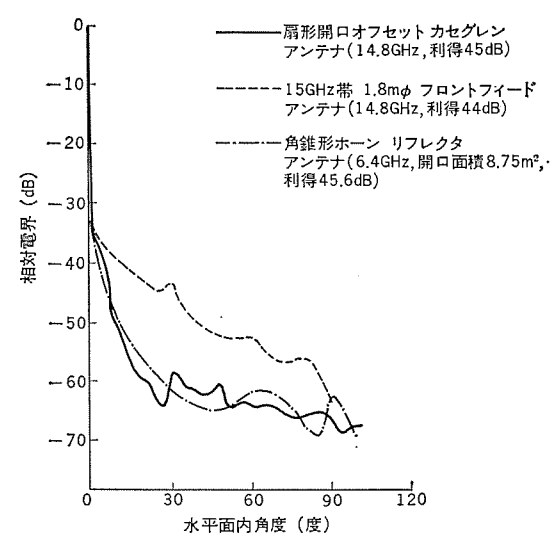


図 10. 水平面内の放射特性における他の アンテナ との比較 (せん頭包絡値)

ものは、先に試作した フロントフィードタイプ の扇形開口 オフセット パラボラア ンテナ⁽¹⁾ の測定例を示したもので、この結果と比較すると水平面内の交差偏波放射レベルのピーク値が 14 dB 程度改善されていることが分かる。

図 9. にはとの アンテナの水平面内の広角度放射 パターン のせん頭包 絡値を示したもので、 ととでは参考のため地球局用 アンテナ に対してCCIR の御告($^{(0)}$ する曲線

$$G = \begin{cases} 32 - 25 \log \varphi \text{ (dB)} & 1.8^{\circ} < \varphi \leq 48^{\circ} \\ -10 & \text{(dB)} & 48^{\circ} < \varphi \leq 180^{\circ} \end{cases}$$

ただし G は isotropic アンテナ に対する利得である。

と比較すると、 この曲線よりも放射 レベル が下がっており良好な放射特性を有していることが分かる。

また 図 10. には他の アンテナ との広角度放射特性の比較が示してある。 このことから今回開発した アンテナ は, 角錐 ホーン リフレクタアン テナ⁽¹⁰⁾に準ずる良好な放射特性を有している。

4. 2. 2 垂直面内の放射特性

図 11. に垂直面内の広角度放射特性の測定例を示す。このことからこのアンテナの上方向の放射特性では、鏡面系が回転対称な構造を有している通常の カセグレンアンテナ と類似した放射特性を有していることが分かる。また 30 度方向で放射レベルが高いのは、1次放射器の副放射鏡周辺への、吹付けレベルが -10 dB 程度で吹付けているため、1次放射器の スピルオーバが大きく現れているものと考えられる。したがって 30 度方向での放射レベルを改善するには、副反射鏡周辺への吹付けレベルを更に下げることが必要と考えられる。

また、下方向での放射特性では90度方向で放射レベルが高くなっている。これはしゃへい板による反射波及び回折波の影響であると考えられる。したがってこのしゃへい板の内面に電波吸収体を取付けた状態での放射パターン測定例を図中の破線で示した。このことからしゃへい板の内面に電波吸収体、あるいは補償板⁽¹¹⁾を用いるなどの方法で反射波及び回折波を打消す方法をとれば、下方向の広角度放射特性を更に改善できることが分かった。

4. 2. 3 交差偏波特性

図 12., 図 13. にこの アンテナ の交差偏波特性の測定例を示す。4. 1 節の 図 7. と比較すると交差偏波放射 レベル の ピーク 値は複 モードホーン を使用することにより 10 dB 程度の改善ができたことが分かる。しかし交差偏波放射の形状は、アンテナ 開口の開口分布が波動的にも回転対称であれば、1次放射器による交差偏波成分が支配的になり、偏波面に対し 45 度方向に四つのピーク 値が存在する形状となるが、ここでは異なっている。これは 3. 1 節で述べたように鏡面系を設

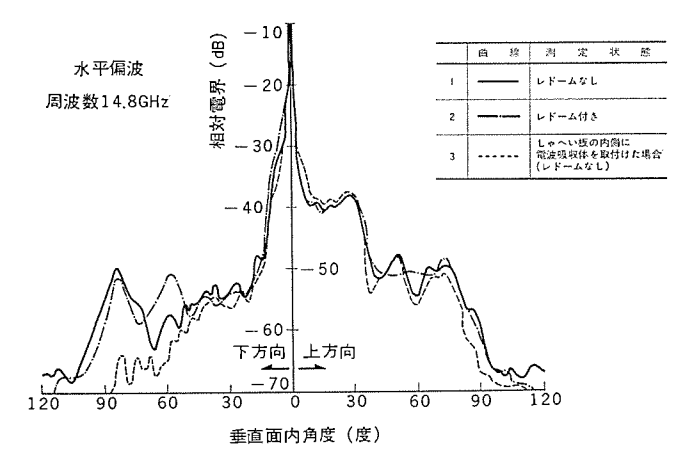


図 11. 垂直面内の広角度放射特性(せん頭包絡値)

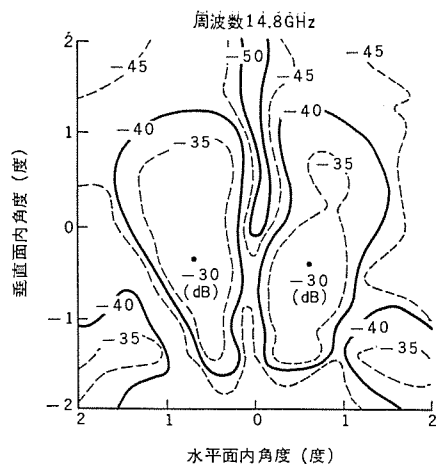


図 12. 交差偏波等電界図 (Vx)

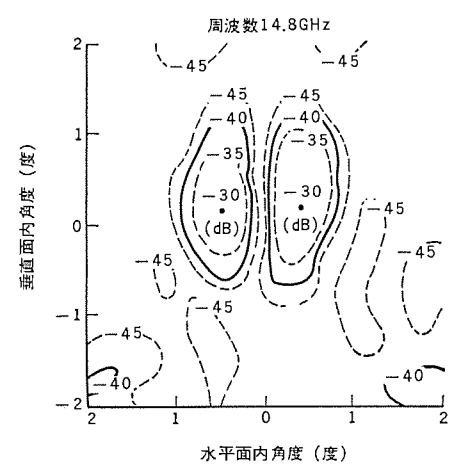
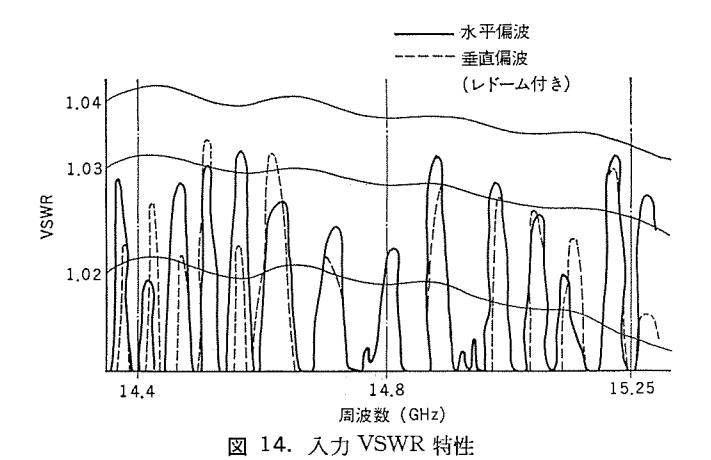


図 13. 交差偏波等電界図 (Hx)



計する際に、扇形開口の内接円内の開口分布を幾何光学的な意味で 回転対称になるように求めたために鏡面系による非対称が表れたも のと考えられる。

4.3 利 得

利得の測定結果は表 1. に示すとおりで、開口能率としては 54%程度のものが得られた。

4. 4 入力 VSWR

図 14. に入力 VSWR の測定結果を示す。鏡面系が回転対称な構造をしている通常の カセグレンアンテナ では、 副反射鏡から 1 次放射へ向

から反射波の影響が大きいために整合素子(i)を副反射鏡上に設けて整合をとっているが,この rv=rr ではそのような整合素子なしでも入力 VSWR は 1.04 以下のものが得られることが分かった。

また1次放射器単体の入力 VSWR は1.025 以下であった。

5. む す び

15 GHz 帯の マイクロ 波通信用 アンテナ として試作し た 扇形開口 オフセット カセグレンアンテナ の設計及び主要性能について述べた。

設計上の新しい試みとしては

- (1) 主反射鏡面で発生していた電界分布の非対称性を オフセット カセグレンアンテナ の考え方を応用して、 幾何光学的な意味で回転対称になる鏡面系を構成した。
- (2) 1次放射器として交差偏波放射 レベル の低い コレア 角度変化形 複モードホーン を採用することにより、交差偏波放射 レベル の低減を図った。

などである。その結果 1 次試作で課題となっていた 交差偏波放射 ν ベルが、 水平面内の ℓ^- クレベル で -30 dB 程度に低減できた。 更に 広角度放射 ν が低く,第 1 サイドローブレベル も -30 dB 程度のもの を得ることができ,27クロ 波通信用の 27ンテナとして優れたものを開発し得た。

終わりにこのアンテナの開発にあたり終始適切なご指導をいただい た日本電信電話公社の関係各位に深謝いたします。

参考文献

- (1) 武市, 片木, 高松, 佐藤: 三角開口 オフセット パラボラアンテナ, 信学会 アンテナ・伝播研資, AP 73-67 (昭 48)
- (2) 田中, 水沢: オフセット 複反射鏡における交差偏波消去, 信学 論, 58-B, No. 12, p. 643 (昭 50)
- (3) 水沢,武田,別段,田中: コルゲート円錐 ホーンアンテナ, 三菱電 機技報, 47, p. 1,136 (昭 48)
- (4) 水沢, 武田, 別段: コルゲート 円錐 ホーンアンテナ の放射特性, 信学論, 56-B, p. 14 (昭 48)
- (5) 高野, 片岡: 誘電体集束形一次放射器の特性, 信学会 アンテナ・伝播研資, AP 73-34 (昭 48)
- (6) S. B. Cohn: Flare Angle Changes in a Horn as a Means of Pattern Control, The Microwave J., 13, 10, p. 41 (1970)
- (7) 栗原, 鈴木ほか: 2段 フレア 付円錐 ホーン の放射特性, 電通学 会全大, No. 609 (昭 48)
- (8) K. Tomiyasu: Conversion of TE_{II} Mode by a Large Diameter Conical Junction, IEEE Trans. on A. P., MTT-17, p. 277 (1969)
- (9) CCIR, SG-IV, REC. 465-1 (1974)
- (10) 大橋,加藤,沼野: ホーン リフレクタアンテナ,通研実報,12,10,p. 1,251 (昭 38)
- (11) 山田, 高野, 進士: カセクレュアュテナ の スピルオーバ 抑圧の一方法, 電通学会全大, No. 579 (昭 50)
- (12) 香川, 阿部: カセグレンアンテナ の頂点整合板, 電通学会全大, No. 590 (昭 48)

最近の大形変圧器技術開発(II)-短絡強度,振動,騒音,付属品,材料-

4田村良平*·清水英範*·平井正好*·渡邊次男*·石井般次**

1. まえがき

最近の大形変圧器の技術開発につき、第〔1〕編では、絶縁、磁界・ 漂遊損、温度上昇に関する研究開発の概要を述べた⁽¹⁾。本編では、 これに続いて短絡強度、振動・騒音、付属品、材料に関する研究開 発の現状について述べる。

2. 短絡強度

変圧器の機械強度,特に短絡強度は,変圧器の信頼性向上にとって重要な課題である。外鉄形変圧器では交互配置巻線を採用しているため、コイル群数の増加によって短絡電磁力を低減できること、巻線が鉄心及びタンクによって強固に支持されることなど、短絡強度の面で本質的な利点をもっている。これは、昭和40年に納入された電源開発佐久間周波数変換所用変圧器が、短絡ひん(頻)度の極めて高い過酷な運転条件にもかかわらず、順調に運転を続けていることからも実証されているが、近年の系統容量及び変圧器単器容量の増大はめざましく、これに伴って短絡強度の重要性も高まっている。

当社では、早くから実器の短絡試験や理論解析など、短絡強度に関する研究を行ってきたが、特に昭和37~39年には、外鉄形変圧器の短絡強度に関する大規模な研究を行い、電磁力の推定、変圧器巻線構成素材の機械的特性、コイル強度、短絡時のコイル振動等について詳細に検討した⁽²⁾。更に、最近では、数値解析及び測定技術の進歩を採り入れた理論解析及び実験により、短絡強度の向上に関する検討を行うと同時に、大容量変圧器の短絡強度の検証を目的として実規模モデル変圧器の短絡試験を実施した。

2. 1 短絡電磁力

系統短絡時に変圧器に発生する電磁力を把握することは,短絡強度 検討上の基礎になる。このため,磁界分布より短絡電磁力を求める プログラムを開発してコイル各部の電磁力分布を求め,強度検討に使用 している。また,この電磁力の推定精度を検証するため,実規模 モ

The second section of the second

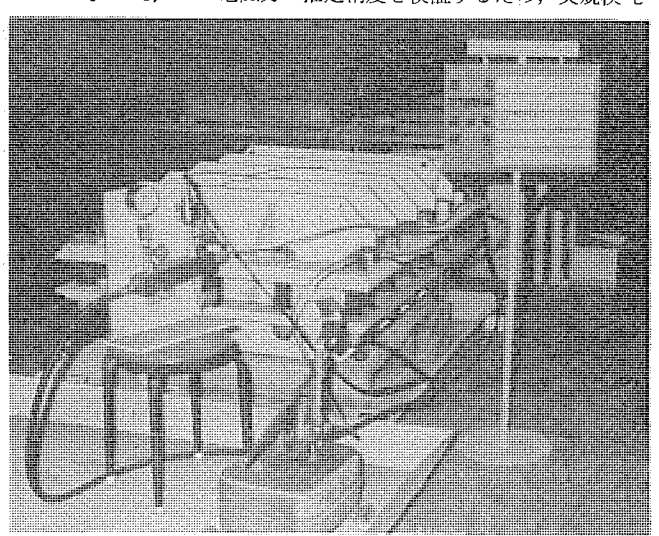


図 1. 水圧による外鉄形 モデルコイル の強度試験

デル変圧器の短絡試験において、サーチコイルによる磁界測定、及びロードセルによる機械力測定を行い、計算値とよく一致することを確認した。

2.2 コイル強度

外鉄形交互配置巻線では、コイル 群が相互に軸方向に反発する主方向電磁力が主体であり、コイル 強度は、カルタ 支点間でのコイル 導体の曲げ強度によって定まるが、コイルの構成材である銅線及び絶縁物は、機械的特性が非線形で、絶縁構造も複雑であるため、有限要素法による巻線の応力解析などの理論検討のほか、 複導体 モデルの分布荷重試験や、く(矩)形 モデルコイルの強度試験などの部分 モデル実験によって強度設計の妥当性を検証している。 矩形 モデルコイル の強度試験では、ゴム 袋に水圧を加えることによってコイルに、電磁力を模擬した分布荷重を加え、コイル 導体に取付けたひずみ ゲージ・変位計によってコイルの変形状況・強度を検討した。図 1. に試験状況を示す。

2.3 短絡試験

変圧器の短絡強度を左右する要因として、前述の電磁力、素材の機 被的特性、 巻線強度等に関する理論解析及び部分 モデル 実験と併行 し、これらの要因が総合された実器の短絡強度を検証するための実 規模短絡試験を実施している。

実器の短絡強度試験としては、500 kV 1,000/3 MVA 単相変圧器、275 kV 660 MVA 三相変圧器の短絡試験を実施した。これらは、いずれも実器と同一設計のコイルを使用し、交互配置巻線の1群を用いて実器と等価な短絡試験を行っており、実器が十分な強度を有することを確認した。また、最近では、理論検討のための詳細な測定と、大容量変圧器の強度検証を目的とした単相モデル変圧器を製作して短絡試験を行い、コイル導体及びタンクに取付けた多数のひずみ ゲージ・ロードセル・加速度素子・変位計・高速度 カメラ などにより、短絡時の発生ひずみ・電磁力・変位などを詳細に測定した。図 2. に

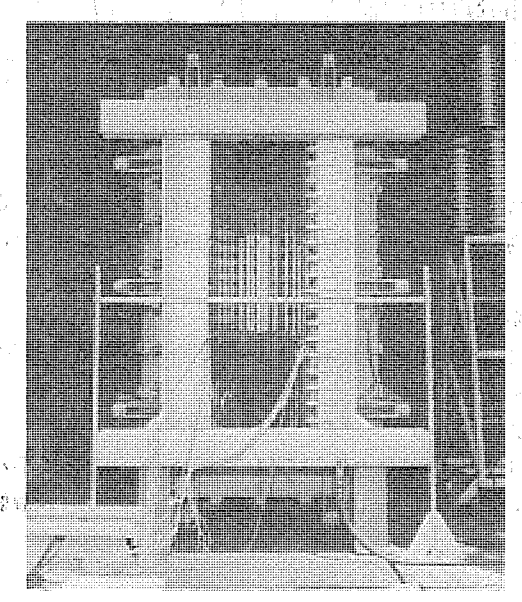


図 2. 実規模 モデル 変圧器の短絡試験

短絡試験に使用したモデル変圧器を示す。

3. 振動及び騒音

変圧器及び分路 リアクトル の振動は,騒音の発生源になると同時に,本体及び外部付属品の振動耐久性に影響を与えるので,機器の大形化とともに重要な技術課題となる。

3.1 振動

変圧器の振動は、磁気ひずみによる鉄心振動が主な発生原因と考えられており、変圧器振動の低減には、鉄心素材の磁気ひずみ特性に関する検討が必要であることはもちろんであるが、更にこの加振力に対する変圧器各部の応答、特に鉄心の振動応答をは(把)握することが重要である。特に、大容量器では、鉄心の大形化に従って磁気ひずみが増大すると同時に、鉄心の固有周波数も低下するので、鉄心の機械的特性の把握が、設計上の重要な問題になる。このため、鉄心の固有周波数・振動応答などに関する理論解析を行い、モデル鉄心の加振実験によってその妥当性を検証している。また、実器についても、500 kV 1,240/3 MVA 実証器及び 500 kV 1,100/3 MVA 実証器などの鉄心振動を測定し、振動波形・振動モードなどの解析を行って鉄心の特性を検討した。

また、分路リアクトルは、磁気ひずみによる振動のほか、磁気吸引力に基づく振動が加わるために大きな振動を生じやすく、鉄心・タンク等の振動特性の検討が、大容量器を製作する上での大きな問題点になっている。このため、前述の理論解析及びモデル実験による、鉄心の振動応答に関する検討のほか、慣性質量形油圧加振機を用いて実器の鉄心及びタンクの加振試験を行い、鉄心・タンクの動剛性・共振周波数・共振モード等を詳細に測定して有害な振動を生じないように検討している。図3.に50 MVA 分路リアクトルの加振試験状況を示す。

3.2 振動耐久試験

コイル・リード・付属品・補助回路配線などの変圧器構成材の振動耐久性 については、加振機による長時間加振試験を行い、実使用状態にお ける疲労破壊事故の未然防止を図っている。 図 4. に送油風冷式冷 却器の振動耐久試験状況を示す。

3.3 騒 音

変圧器の大容量化,発変電所周辺の市街化などにより,低騒音仕様の変圧器が多くなっており,特に変電所用変圧器は,ほとんどすべての変圧器が低騒音仕様になっている。当社では,変圧器の騒音特性・しゃ音・伝ば(播)特性などに関する基礎研究をもとに低騒音変圧器の設計技術を確立し,組立式防音壁・コンクリート防音壁・低騒音

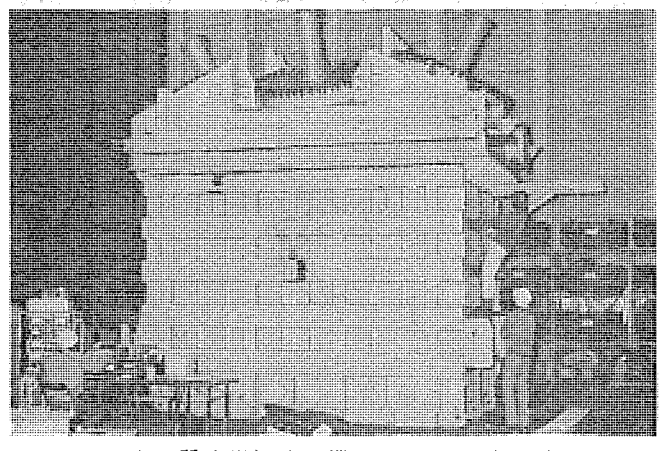


図 3. 慣性質量形油圧加振機による タンク の加振試験

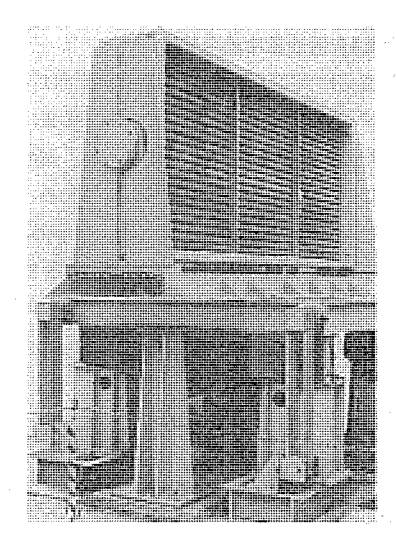


図 4. 送油風冷式冷却器の振動耐久試験

送油風冷式冷却器を開発して既に多数の低騒音変圧器を製作・納入 している⁽³⁾。

一方,環境保全問題の進展により,変圧器の低騒音化に対する要求は,今後一層強くなるものと考えられる。このため,本体騒音の低減,しゃ音構造の改良,冷却器の低騒音化等に関して新しい観点から研究に取組んでいる。本体騒音に関しては,前述の鉄心の振動特性に関する検討のほか,鉄心の磁路構成,及び微視的な磁束分布が鉄心の磁気ひずみ騒音に与える影響について検討を加えている。また,防音壁の特性については,従来,室内音響的な取扱いが一般に行われてきているが,変圧器の防音壁内音場の特殊性を考慮した新しい理論検討により,防音壁のしゃ音特性に影響を与える要因を定量的に把握してしゃ音構造の合理化を図っている。冷却器については,低回転形冷却扇の採用及び防音風どう(洞)の設置によって,後述のとおり既に50 ホン級の送油風冷式冷却器を製作・納入しているが,更に冷却扇の空力特性と騒音特性とに関して理論的検討を行い,冷却扇の改良による低騒音化について研究を進めている。

4. 付属品

変圧器の運転信頼性に対する冷却器や保護リレーなどの付属品の占める役割は大きく、変圧器の大容量化に伴い、冷却器の低騒音化・高性能化や保護リレーの信頼性向上などの付属品の改善に対する要求が強くなっている。当社では、付属品を含めた変圧器全体の信頼性向上のため、冷却器を初めとして各種付属品類の開発・改良に特に力を入れている。

4.1 送油風冷式冷却器

4.1.1 送油風冷式冷却器の開発・改良

変圧器の大容量化に伴って単器冷却容量の大きい冷却器が必要になり、かつ周囲環境に適合させるために耐食性の優れた冷却器が要求されるようになってきた。当社では、このような要求に応じて溶融亜鉛めっきを施したフインチューブを採用して耐食性を大幅に向上させるとともに冷却管の配列・構成などを検討して冷却性能の高い EF形冷却器を開発し、現在標準品として使用している。また、最近、更に冷却容量を大きくした EFP 冷却器の製品化に成功した。この冷却器は、構成部品にすべて鉄を使用した全鉄製プレートフィン形で、冷却エレメント組立後に全面に溶融亜鉛めっきを施したもので、EF形冷却器と比較して同一体積で冷却容量が約20%大きくなっている。

4.1.2 極低騷音送油風冷式冷却器

都市及び都市周辺に設置される大容量変圧器では、送油風冷式冷却器の騒音対策が、重要な課題になっている。従来、55 ホーン 級以下の低騒音変圧器では、冷却器騒音の低減のため、送油自冷式が採用されていたが、冷却器設置面積及び油量低減のため、低騒音の送油風冷式冷却器が要求されていた。 このため、冷却扇、送油ポンプなど構成機器の騒音特性、及び防音風洞の構造などを検討し、50 ホーン 級送油風冷式冷却器の製品化に成功した。図 5. に 50 ホーン 級送油風冷式冷却器群を示す。

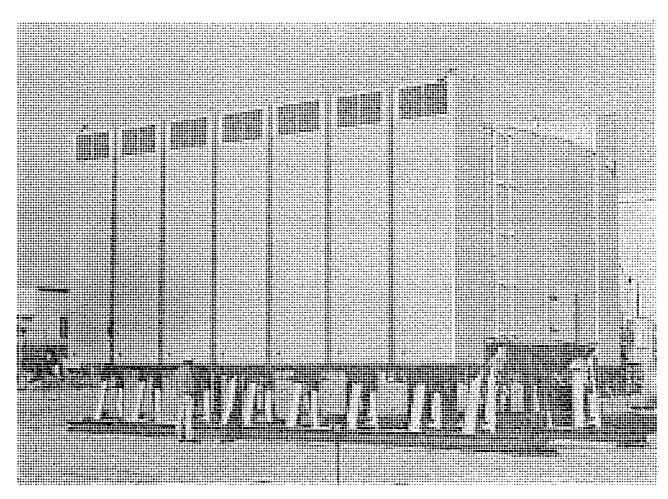


図 5. 極低騒音送油風冷式冷却器

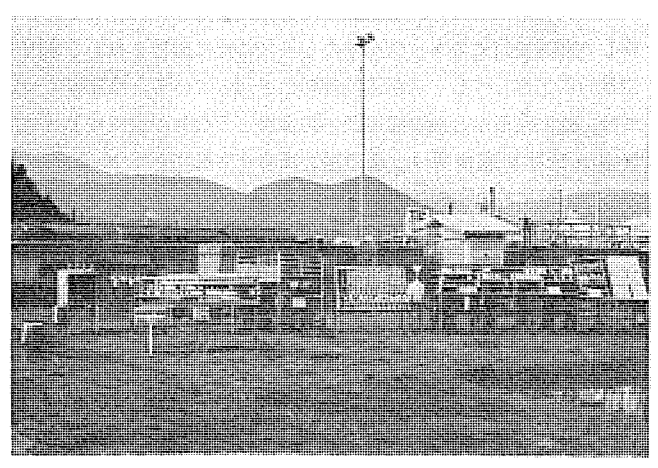


図 6. 冷却器の耐食性試験状況

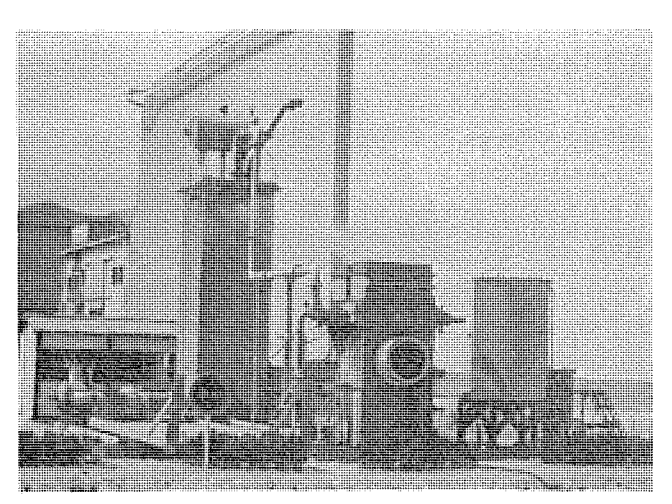


図 7. 性能試験中の蒸発式冷却器

4.1.3 冷却器の耐食性

冷却器の耐食性については、各種冷却 エレメント 材料の テストピース、うインチューブ 及び モデルクーラ などを沿岸地域・重工業地域・軽工業地域 などの各環境において長期間の大気暴露試験を行うとともに、運転状況を模擬して冷却 エレメント 表面を各種の腐食因子で汚損させた状態で、湿度・温度を変化させる繰り返し試験、及び塩水噴霧・亜硫酸 ガス 噴霧などの加速試験を実施している。 図 6. に沿岸地域における大気暴露試験状況を示す。

4.2 蒸発式冷却器

市街地・住宅地域などの都市部に設置される変圧器の冷却方式には、冷却塔による直接循環の水冷式が多く採用されているが、冷却塔の設置場所・運転保守・騒音などの点で必ずしも満足な方式とは言い難く、これの代替方式として蒸発式冷却器を開発した(4)。この冷却方式は、循環水の潜熱を利用して変圧器油を直接冷却するもので、従来の冷却塔を使用する水冷式に比べて冷却効率が大幅に向上する。現在、現地変電所において実用性能検証試験を実施中であるが、これが実用化すれば、機器構成の簡略化及び小形化、補機損の減少、低騒音化などに利点が多いものと思われる。図7.に蒸発式冷却器の性能試験状況を示す。

4.3 耐震形衝撃油圧継電器

変圧器用衝撃油圧継電器は、変圧器の内部事故による油圧上昇を検出して動作する リレーであるが、変圧器が地震などの外部要因による振動を受けた場合、比較的小規模な地震でも、内部絶縁油の動揺によって誤動作することがある。このような誤動作を防止するため、モデル変圧器を製作し、これに正弦波・地震波などを印加したときの内部絶縁油の挙動、及び地震の規模と発生圧力の関係とを調査し、地震の規模と誤動作の限界、変圧器内部事故検出能力にかかわる 1 ターン 短絡事故に対する感度、及び取付位置などについて検討して耐震形衝撃油圧継電器を製品化した。

5. 材 料

5.1 絶縁材料

超高圧大容量変圧器に用いられている絶縁材料は、鉱油と、 クラフト パルプによる絶縁紙が主体であり、今後ともこの構成に大きな変化は ないと考えられているが、絶縁性能の信頼度向上と、 UHV 変圧器 開発に関連した絶縁耐力の改良など、材料の改革への期待は大きい。 その前提になる材料の基礎的物性の究明を行うため、原材料及び製 品について化学的・物理的手法によって組成分析・性能解析を行う

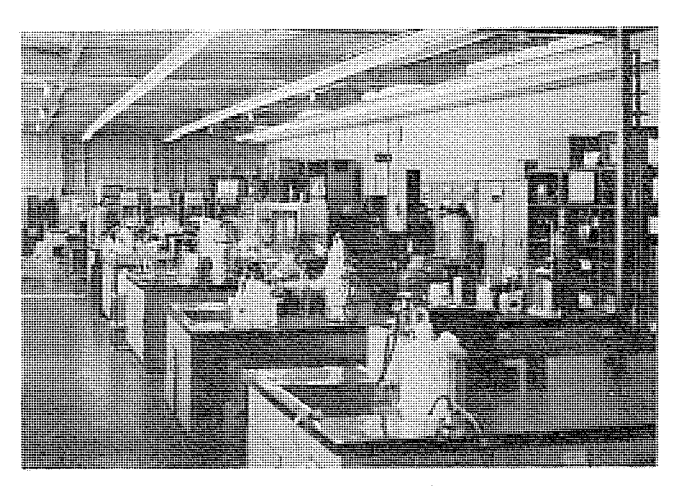


図 8. 材料分析実験室(一部)

とともに、性能の長期安定性に重点を置いた検証を重ねている。図 8. は、材料分析実験室の一部を示す。

5.1.1 紙の劣化と寿命推定

絶縁紙の寿命推定については、従来、加熱加速劣化による抗張力の 残率(例えば50%値)による方法が、よく用いられているが、当社 では、ガス発生量・平均重合度などによる方法について検討を加え、 原材料の良否、製造工程、特に乾燥処理工程の改善、製品の熱的履

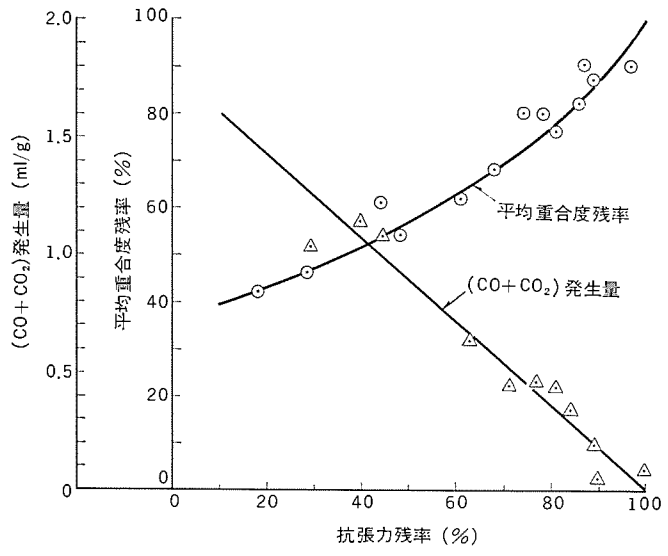


図 9. クラフト 紙の抗張力残率と平均重合度及び (CO+CO₂) 発生量との関係

歴の解析などに応用している。

図 9. は、 クラフト 紙を 2 号鉱油ととも に密封容器 に詰め、140~160°C の温度で一定時間加熱した後、抗張力残率と平均重合度残率及び (CO+CO₂) 発生量との関係を調べた結果である⁽⁵⁾⁽⁶⁾。

5.1.2 プレスボードの特性

プレスボードは、近年、製法の進歩によって各種密度のものが国産されるようになった。 当社では、内外の各種プレスボード について電気的特性・化学的特性・物理的特性の測定を行うとともに、加工性の検討も行った。表 1. は、試験結果の一例を示す。

プレスボードの特性の多くのものは、密度の変化によって変わるが、必ずしも高密度品が優れているとは言えない。使用箇所によって要求特性が異なるので、使用に際して最も適したものを選択することが必要である。

また,プレスボードは, コイル 絶縁紙と比べて使用時における温度が相対的に低いが,劣化による ガス 発生を無視することはできず,このような面からの検討も行っている。

5.1.3 接着剤

プルスポードに使用する接着剤には、耐熱性・長期安定性・耐油性などの基本的特性のほかに、最近では含浸性と部分放電とについての性状が重視されている。このため、各種接着剤について部分放電開始電圧・放電電荷量などを比較検討した。図10. は市販の各種接着剤について部分放電特性を調べた結果の一例を示す。同一系列内のものでも、原材料・製法によって性能が異なるので、適用に当たり、作

				表 1. 各種 7	ブレスボード(クラフ	フトハルフ) の特性	生比胶			
		材料	種 別	1	票 準 名	苦 度 品	h.	髙	密 度	ra na
特 性	項目	ni -	位	国産A社	国産B社	国産C社	輸入A社	国産A社	輸入A社	輸入B社
製		法		ホットプレス	ホットプレス	スチーム乾燥	ホットプレス	ホットプレス	ホットプレス	ホットプレス
審		度	g/cm³	1.173	1.069	0.997	1.058	1.253	1.234	1.254
211 207	la ika 2	縱	1 2	9.0	9.9	9.5	8.2	12.3	12.5	11.7
引張	り 強 き	横	kg/mm²	5.5	5.3	3.6	8.1	6.3	8.0	7.7
	w.f	縦	0.0	7.6	5.4	9.4	8.4	5.9	5.2	4.7
俳	עי	撷	%	5.8	5.3	15.0	8.7	5.0	5.0	5.0
収	艏 率	厚き	%	5.36	6.04	4.58	5.59	5.34	5.40	5.03
	DI 114 /55 mt	気 中		10.8	13.2	9.2	12.4	17.6	14.3	19.1
粗 稼	破壞電圧	油中	kV/mm	38.2	39.5	31.5	39.4	41.5	40.2	40.4
tan δ	(油 浸,	常温)	%	0.607	0.570	0.583	0.603	0.700	0.677	0.733
油	浸	率	%	17.5	21.2	29.1	25.4	8.8	12.6	8.4
圧 稿	a 率 (400 kg/c	m², 1分)	%	7.14	6.77	11.58	10.24	4.48	6.78	7.60
残留ひ	トずみ (400 kg/c	m², 1分)	%	2.01	1.24	3.02	2.32	0.60	1.79	2.51
水光	浸 液 導	電率	μ ℧ /cm	22.9	30.0	25.4	22.0	24.3	44.3	44.9
ηΠ	解	度	CSF ml	430	380	410	420	240	170	200
椒	維	長	mm	1.10	1.24	1.27	1.19	0.97	1.09	0.96
灰		分	%	0.38	0.40	0.42	0.44	0.34	0.38	0.38
樹	ЛН	分	%	0.06	0.08	0.06	0.09	0.06	0.08	0.05

表 1. 各種 プレスボード (クラフトパルプ) の特性比較

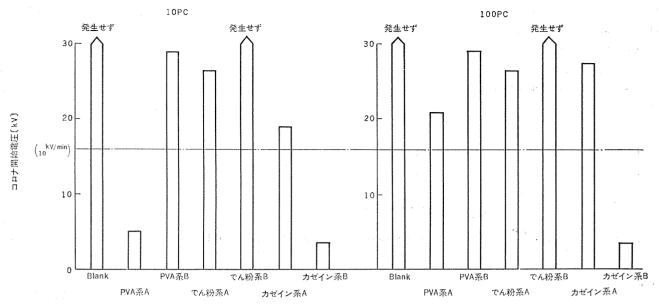


図 10. 各種接着剤の部分放電比較試験結果

業性を考慮して使用箇所に応じた検証を行って採用している。

5.1.4 鉱油の各種物性

絶縁油に関する最近の課題の一つは、パラフィン系絶縁油の変圧器への適用である。世界の ナフテン 系原油の不足が注目され、1980 年代には パラフィン 系油が主流を占めるといわれている。 パラフィン 系油は、在来油と比べて流動点が高いのが特徴で、これを下げるために添加剤を加えることが考えられている。添加剤を加えることによってほとんど JIS 2 号油に近いものが得られているが、熱劣化特性については従来油と異なる挙動を示すものがあり、今後、更に検討する必要がある。

鉱油は、分子構造が複雑で、そのうえ単一成分でないために詳細な電気絶縁性の研究はまだ十分でないが、電気伝導の基本的挙動をイおン伝導の面から解析するため、分子量の異なる油について各種物性を測定してその機構を究明するとともに、特殊物質の添加による絶縁破壊強度の向上、固有抵抗の温度依存性の抑制など、将来への改良の可能性を追求している(*7)(8)。

また、変圧器油は、使用中の経年変化に関連して熱的安定性・電界下安定性のほかに油中硫黄による腐食性の問題が重視されており、腐食性硫黄の種別、含有量、熱的・電気的効果について検証を行ってきているが、油が同じでも金属の種類によって生成量が異なるので、この効果を配慮して対策を行っている。

5.2 ガス分析

変圧器内部異常現象を早期に発見して事故を未然に防止するための 最も信頼できる手段の一つとして、油中溶解 ガス の分析が世界各国 で行われている。 ガス 分析による変圧器の内部診断で重要なことは、 診断技術の向上と、自動分析装置の開発である。

診断技術に関しては、油中局部過熱点の温度を f3 分析結果から 推定する方法として PEM 比率法を開発した。この方法は図 11. に示すように、f0 ピレン (P)、f1 アレン (E) 及び f2 及び f3 の 3 成分の濃度百分率を三角図に f3 の 1 その点の位置から過熱点温度を推定できる。絶縁油の熱分解反応を熱力学的に考察することによって得られたもので、実験結果とよく一致している f3 (10)。

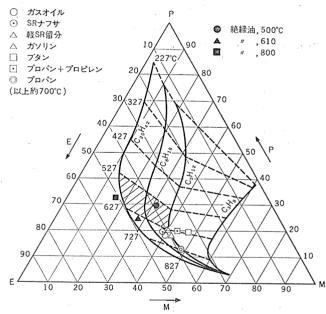


図 11. PEM 比率

ガス分析装置に関しては、変圧器据付場所へ設置できる油中溶解 ガス自動分析装置を開発した。 この装置の油中溶解 ガス 抽出には、新たに開発した バブリング 式抽出器を採用しており、プロパン、プロピレンのように絶縁油に対する溶解度の大きい ガス も、デプラーポンプ 式抽出器と同程度あるいはそれ以上の抽出率で抽出でき、油中溶解 ガス 量の少ない場合にも高精度で分析できる点が特長である(11)。

5.3 鉄心材料

5.3.1 鉄損及び騒音の要因解析

最近の鉄心材料として高透磁率けい素鋼板の出現があり、低鉄損・低磁気ひずみの素材特性が、実器の鉄損及び騒音の改良に与える効果の検証と、素材の特徴(高度の方向性)を考えた接合法・組立法などについて研究を行っている。特に、低磁気ひずみ材料である点に着目して騒音低減効果を多数の実器によって検証し、その程度が3~5 dBであるという結果を得ている。

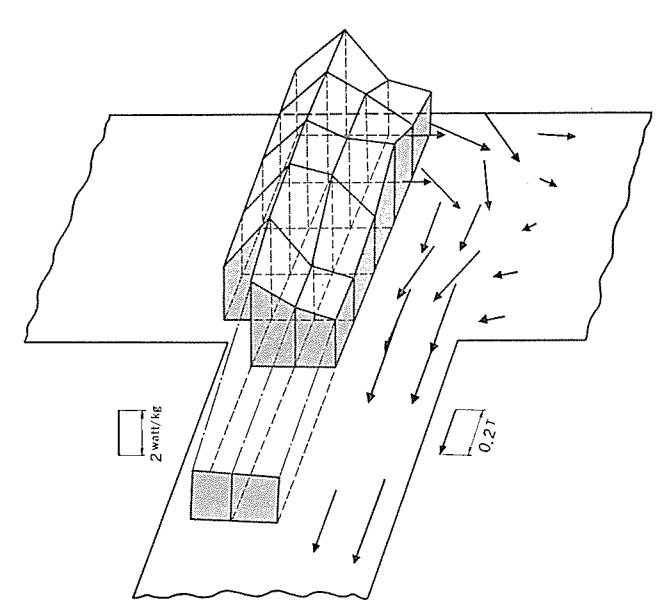


図 12. T 接合部における磁束及び鉄損分布

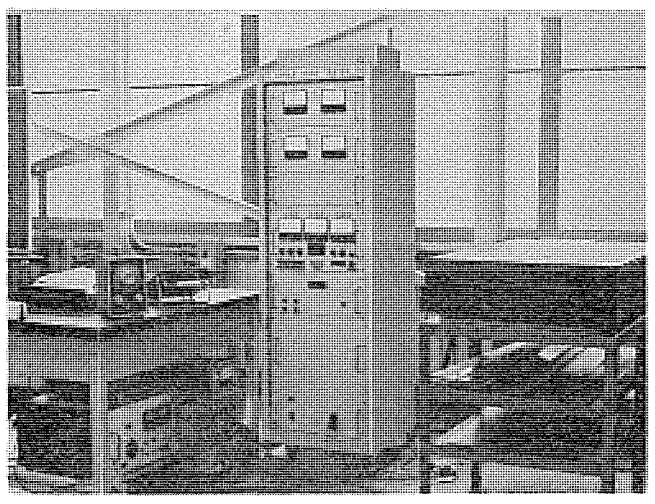


図 13. けい素鋼帯単板試験器

製品における鉄損及び騒音の改良研究の一端を述べると、まず、 鉄損については、その変動要因は素材特性・加工組立技術だけでな く、構造面における磁束分布の挙動が大きく関係することに着目し て脚部及び接合部の磁束・鉄損分布を ミクロ に測定することによっ て鉄損の発生機構を解析するとともに、形状・組立法を変えた モデル の測定結果から、 三相器における中央 2 脚の T 接合部の磁路長さ の比 (L/W W:鉄心幅, L: 磁路全長) と鉄損との間に一定の対応 関係があることを検証した。図 12. は接合部における磁束鉄損分布 を示す。

また、実器の騒音は、素材の磁気ひずみだけでなく、鉄損劣化率 との関係が大きく、劣化を抑えることが騒音の低減に効果があるこ と、形状・寸法比の同等の変圧器では、騒音と入力損失との間に良 い対応のあることなどが、モデル及び実器についての調査・解析の結果として検証されている。

5. 3. 2 単板試験器

けい素鋼帯の磁気特性を切板のままで測定する単板試験器は、測定が簡易で、特に外鉄形変圧器のように、鉄心が単一幅の場合の鉄心特性の品質管理に適している。 図 13. はけい素鋼帯単板試験器を示す。

当社では,最大幅 $500~\rm mm$ までの任意寸法のものを 1 個の試験 1 イル で測定できる装置を開発した。 鉄損精度 3 %以内, 幅依存性 $(200\sim500~\rm mm)$ 1 %以内で, 磁束密度 $2.0~\rm T$ までを 自動測定する $2.0~\rm T$ とができる。

6. む す び

大形変圧器の技術開発について、最近に行われてきた研究開発の概要を2編にわたって述べた。電力系統の拡大に伴い、万一、故障が発生すれば、社会に及ぼす影響が深刻であるので、大形変圧器には 高度の信頼性が要求される。

当社としては、この要求に答えるために、変圧器の固有技術に関して材料・絶縁・磁界・漂遊損・温度及び機械系の基礎研究から、製品機能を要素別にみたモデル試験、部分試験、実証試験などを積重ね、実績を尊重しながらも、これらの研究成果を変圧器の設計・製作に反映し、製品の信頼性向上に役立ててきたが、今後、更に一層の研究開発に努力してゆきたい。

なお,技術革新の方向づけには, に使用者の貴重なご意見が緊要 であることには論をまたない。電力会社各位を初め, 多数の方々か ら幾多のご忠言をいただいて今日あることを深く感謝申し上げる。

参考文献

- (1) 田村,清水,平井,渡辺:三菱電機技報, 50, No. 12, p. 675 (昭51)
- (2) 大谷, 渡辺, 坂田:三菱電機技報, 40, No. 3, p. 904 (昭 41)
- (3) 神谷,山内,平井,伊奈:三菱電機技報,46,No.3,p.366 (昭 47)
- (4) 明石, 西山, 山内, 川中:三菱電機技報, **43**, No. 11, p. 1,546 (昭 44)
- (5) 姉帯,石井,清水:昭51電気学会全国大会,236
- (6) 姉帯, 石井, 清水:昭50電気学会全国大会, 364
- (7) 鐘ケ江,宮本:電学誌 A,95,No.9,372 (昭50)
- (8) 宮本, 土江: 放電絶縁材料合同研究会, ED 76-8 (昭 50)
- (9) 田村,石井:火力原子力発電,27,No.3 (昭51)
- (10) 白井, 下地, 石井:石油学会絶縁油分科会講演会, 要旨集 p. 23 (昭 51)
- (11) 石井, 牧野, 清水: 昭51 電気学会全国大会, 580

《MELCOM》70モデンレ20・25のノトードウェア

阪尾正義 *·深尾忠一郎**·今村貞良**·松本典明**·田原 豊***

1. まえがき

ミニコンピュータの適用分野は、比較的小規模構成によるデータ収集、端末制御といった分野から大規模なラボラトリオートメーション、コンピュータネットワークに至るまで、近年ますます多様化・拡大の一途をたどっている。一方、マイクロコンピュータの発展はいよいよミニコンピュータの分野にまで進出しはじめるに至り、ミニコンピュータ本体部は今まで以上に高性能化と低価格化とが要求されるようになった。

このような市場と技術の動向に呼応して、 Λ ードウェアの Pーキテクチャ, 基本 ソフトウェア 共に一貫した思想のもとに、《MELCOM》 70 モデル 20、モデル 25、モデル 35 の 3 機種を新たに開発した。 新機種の主な特長は以下のとおりである。

(1) シリーズ 化による適用分野の拡大

3 機種の シリーズ 化により、適用 システム の規模に応じた最適の コストパフォーマンス が得られるよう配慮し、適用分野の拡大を図った。

モデル 25──→中規模 システム 指向 (メモリ 64 K 語)

(2) 機能・性能の向上

命令レパートリの拡大,浮動小数点演算の高速化,割込処理能力の強化,入出力 チャンネル 機能の拡充,主記憶容量の拡大など各種の機能・性能の向上を図った。

(3) 最新の ハードウェア 技術の採用

コストパフォーマンス 及び信頼性の向上を目的と して最新の ハードウェア技術を採用した。

- ・4K ビットN チャンネル ダイナミック MOS ——→ キ記憶装置
- ・ジャンボサイズ 高密度 プリント 基板────CPU モジュール

(4) 在来機種との互換性維持

ソフトウェア及び入出力 インタフェース の両面において、新モデルは《MELCOM》70 との上位方向互換性を維持しており、既に開発・蓄積されてきたソフトウェアと入出力装置はそのまま新モデルにも適用できる。

以下, はん(汎)用性の大きい モデル 20 及び モデル 25 を中心に, ハードウェアの概要を紹介する。

2. システム構成

《MELCOM》 70/20・25 の システム 構成を 図 1. に、図 2. に モデル 25 の システム 外観例を示す。

システム 構成としては、《MELCOM》 70 の プログラム 制御 チャンネル 及び DMA チャンネル に接続される入出力装置は新 シリーズ の プログラム 制御 チャンネル 及び DMA チャンネル に、そのまま接続可能である。新 シリーズ で新たに開発 した マルチプレクサ チャンネル には フレキシブル ディスク

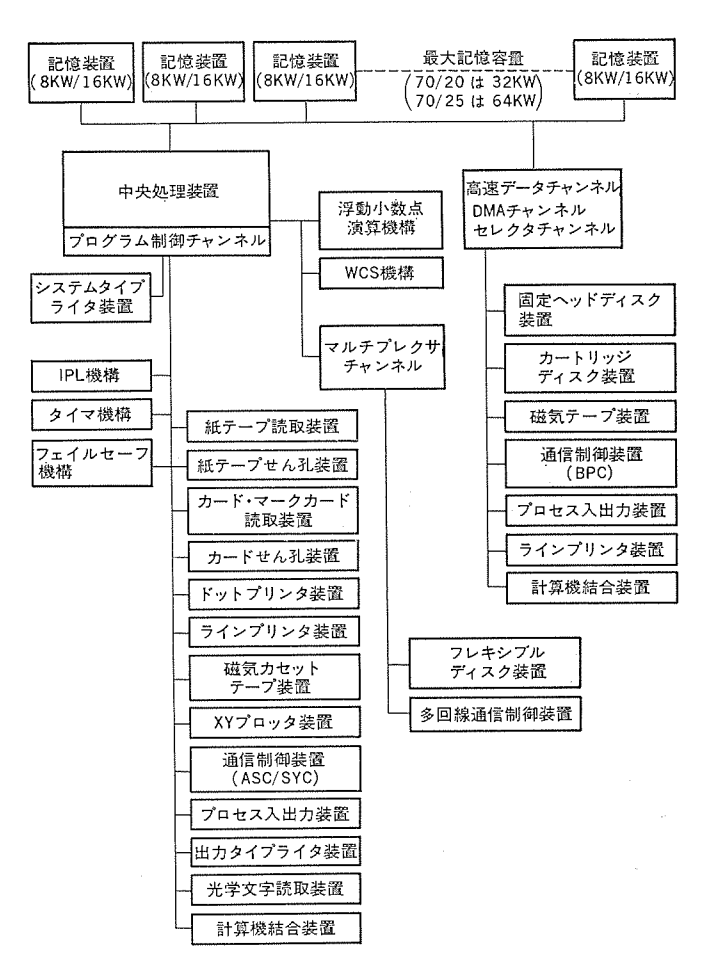


図 1. システム 構 成

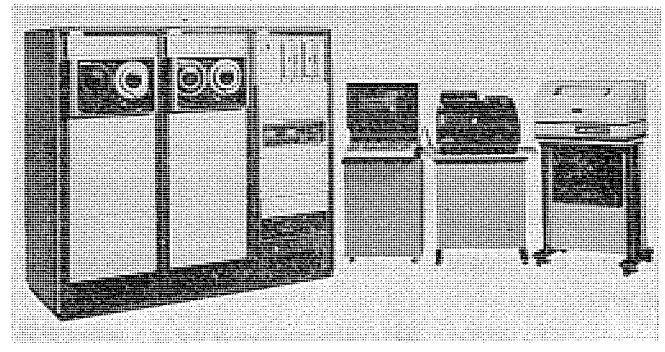


図 2. モデル 25 システム 外観例

装置及び多回線通信制御装置が接続される。

3. 中央処理装置

3.1 論理構成

中央処理装置は、主記憶装置の アドレッシング、主記憶装置及び入出力装置からの情報の読出しと書込み、命令 シーケンス の制御、論理演算と算術演算の制御及び割込制御などの機能を持っているが、論理構成からみると、 図 3. に示すように マイクロ プログラム 制御部と演算制御部とに大別される。

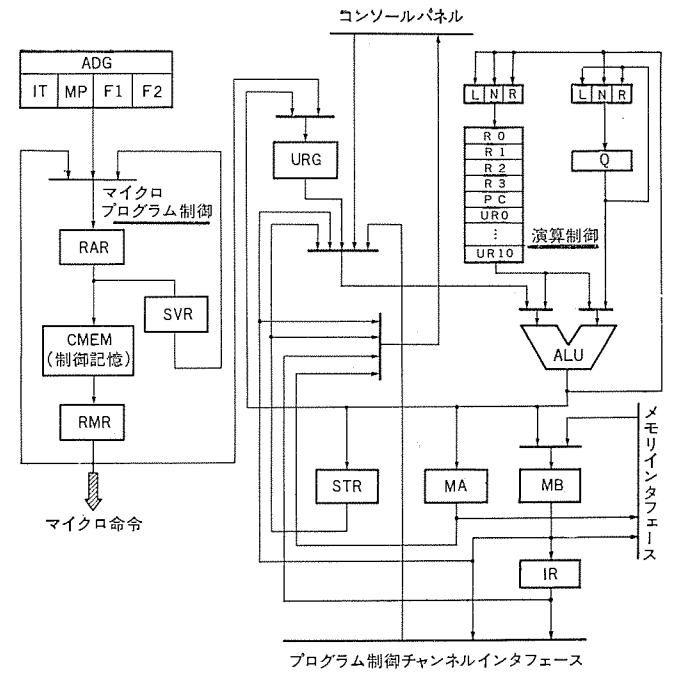


図 3. 中央処理装置の論理構成

(1) マイクロ プログラム 制御部

マイクロ プログラム を格納するための リード オンリ メモリ (以下 ROM と略称する)には、1 Kビット/チップの バイポーラ ROM 素子を使用している。 この ROM の アドレス は、命令 レジスタ の内容、割込み要因、マニュアルオペレーション などにより決定され、アドレス デコード 回路を経て ROM アドレス レジスタ (RAR) に保持される。RARは 12 ビットで構成される レジスタ で、次に実行すべき マイクロ 命令の アドレス を指定 し ている。 RAR で指定された アドレス の マイクロ 命令が アクセス され、マイクロ プログラム 命令 レジスタ (RMR) に読出される。RMR は 24 ビットで構成され、今から実行すべき マイクロ 命令を示す。アドレス セーブレジスタ は 12 ビット で構成され、マイクロ 命令で サブルーチン ジャンプ を実行した際に、リターン 命令でもどるべき アドレス を保持する。

(2) 演算制御部

上記の外に,演算制御部は メモリ バッファ レジスタ (MB) , メモリ アドレス レジスタ (MA) , 命令 レジスタ (IR) を経て,主記憶装置及び プログラム 制御 チャンネル との インタフェース に接続されている。

ステータス レジスタ (STR) は、 ブランチ 命令などで rクセス できる レジスタ であり、16 ビット で構成されている。

3.2 制御記憶の構成

マイクロ プログラム 用の ROM 及び ライタブル コントロール ストア (以下 WCS と略称する) を制御記憶と称している。

(1) 制御記憶の マップ

マイクロ ブログラム を格納する制御記憶は、 1 語が 24 ビットの構成で、総容量は 4 K語である。図 4. には 4 K語のマップを示している。まず《MELCOM》70/20・25 の基本命令処理のために 1 K語、単精度及び倍精度の浮動小数点演算処理のために各 512 語、マルチプレクサチャンネルのために 256 語を必要としている。残りの 1.75 K語は上記以外の マイクロ プログラム 拡張用の領域であり、 この内 1 K語は ユーザ へ

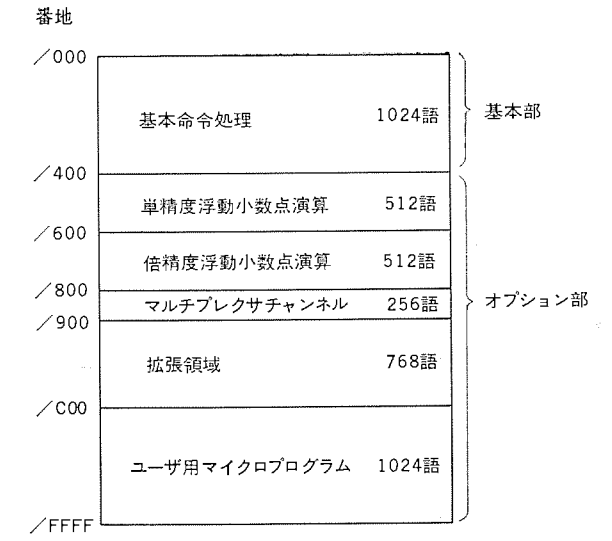
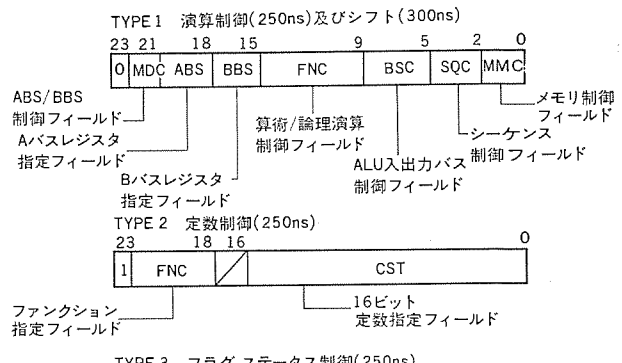


図 4. 制御記憶のマップ



TYPE 3 フラグ、ステータス制御(250ns)
23 18 0
1 FNC FGC フラグ、ステータス
指定フィールド
TYPE 4 分岐制御(300ns)
23 18 12 0
1 FNC CDN JAD

図 5. マイクロ 命令の形式

分岐条件 指定フィールド · 分岐 アドレスフィールド

の マイクロ プログラム 開放領域である。

なお、基本命令処理以外はすべて オプション 仕様である。

(2) マイクロ 命令の形式

機械語命令(アセンブラ 言語 レベル)は、複数個の マイクロ 命令のつながり、つまり マイクロ プログラム で実行される。

マイクロ 命令の形式には、下記の4種があり、各マイクロ命令の実行時間は必ずしも同じではない。

(3) 命令の実行

機械語命令が数個の マイクロ 命令に分解されて実行される様子を,レジスター メモリ 形(RS 形)の ADD 命令を例にとって図 6. に示す。

(4) WCS

制御記憶の ユーザ 用拡張領域(1 K語)は、ユーザ が アプリケーション に 適応した マクロ 命令を新たに定義し、ファームウェア オプション として使用 できる。 との ファームウェア の開発を容易に行うために、 WCS 機構 オプション が用意されている。

WCS 機構の記憶素子としては 1 K ビット/チップ の高速の バイポーラ メモリ を使用しており、容量は 24 ビット×1 K 語を有している。

3.3 中央処理装置の機能・仕様

《MELCOM》 70/20·25 の仕様を表 1. に示す。従来の《MELCOM》

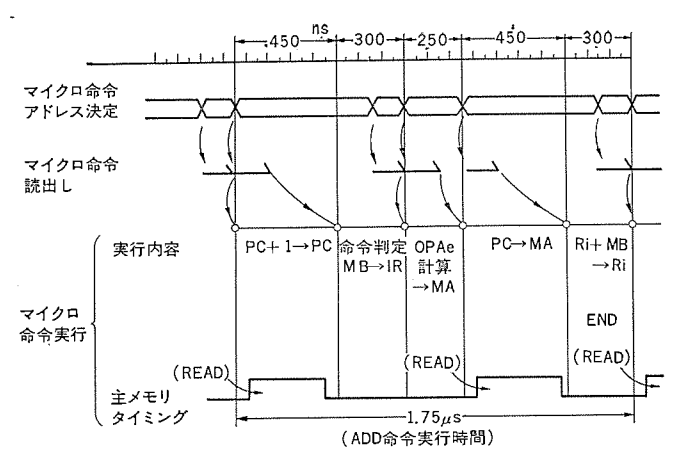


図 6. マイクロ 命令実行 タイミング の一例 (ADD 命令)

表 1. 中央処理装置関係仕様

				A 1311 A 1312 A 1313 MELCOM 70/20 MELCOM 70/25 MELCOM 70/35
	楽		子	n MOS LSI
主	語		長	16 ビット+1 パリテイ+ 1 スペアビット
記	サイ	クル タイ	4	0.5 μs
憶	記	憶 容	趾	8 K~32 K語 8 K~64 K語 16 K~128 K語
	地	設 単	位	8 K / 16 K 語 16 K 語
	楽		子	バイポーラ LSI,ROM 等
	制	御 方	定	マイクロプログラム制御
	百	算 方	江	並列2進法,2の補数表示,固定/浮動小数点
演		命令語	長	1 語及び 2 語
		命令	数	70+14(浮動小数点オプション) 90
	命令	乗 除	37.	標 準
		ビット, バイ 倍長が	Ի, ա որ	標 準 8/16/32 ビット
37		固定小数	点	16/32 ビット
	データ	浮動小数	点	32/64 ビット
	形式	論理演	笲	1/8/16 ビット
dut	アド	レス形	元	- 6種(直接 相対 インデックス 間接及びとれらの組
101	r +	ュムレー	4	合せ) 他にオート・インデックス、イミディエートあり
		ュ・ダウン・スタ		最大 16 組
	割。		ル	内部9 外部4
御		R-		1.30 µs
	演算	加波算 R-		1.75 µs
	速度	乗	算	11.25 µs
		1 1 1 1 1 1 1 1 1 1 1 1 1 1 1 1 1 1 1	算	13.85 µs
諸	機	能(標準装		バリティチェック, 不正アドレス検知, スタックオー バフロー検知, メモリ読出し再試行, メモリロ診断
	C 1700			IPL (紙テープベース), プログラム割込等 磁気ディスク, 磁気テープ, カードリーダ, カセット 磁気テープ等任意の入力機器からのイニシャル・プロ
	IP	L 機	櫛	磁気テープ等任意の入力機器からのイニシャル・プログラム・ロードがスイッチ選択可能
	C 1705			リアルタイムクロック 100μsxN(1≤N≤4096)ご とにタイマ割込発生
	9	イマ機	樹	ウェッチドッグタイマ プログラム暴走, インループ
1				特を使知し、 乗品割込発生 3エリア (プログラムで、
央				記 憶 保 護 機 能 256 語単位に任意設定可) 書込可能領域指定方式
処				アドレス サーチ機 能 フェッチ及びストア一致検知
理	A 1329			プランチトレース機能 プランチ元アドレスを4ス
	フェイ	イルセーフ様	構	1 フッノ体的
娄		• .		能能
置				タ イ マ 機 能 C 1705 の機能包含 プログラム制御可能なディ
オ				フィックルへ田 カ ジタル I/O 各 2 点内蔵
ブ	A 1331	I. Was de tota donne un	Late	加 波 算 33.7/34.5 μs
シ	任助力	ト数点演算機 (単精度)	7 1得	
3				除 算 81.0 µs
ν	A 1332		k fess	加 波 算 52.9/53.2 μs
W	任驯力	ト 数 点 演 算 機 (倍精度)	t fili	
係	A 1339			除 算 465.9 μs 〔容量〕 24 ビット×1 K 語, 垂直マイクロプログラ
	W C	S 機	構	
	内版	付加電源装	霞	[記憶内容保持時間] 2時間(32 K 語), 1時間(64 K 語)
	A 1371 増 設		シ	入出力制御装置収容スペース8スロット (電源含み)

70 に比して、 機能強化、 性能向上を図った点は以下のとおりである。

(1) 命令数

ビット処理,バイト処理,2語長命令等を追加した。

(2) ファームウェア オプション

中央処理装置の制御方式を マイクロ プログラム 制御方式化し, マルチプレクサ チャンネル, 浮動小数点演算機構などの ファームウェア オプション を付加した。

(3) 浮動小数点演算速度

ファームウェア 化により約3倍の高速化を図った。

(4) 割込処理能力

内部割込みを9要因に、外部割込みを4レベルに増強した。

(5) 主記憶の直接 アドレッシング

4. 主記憶装置

4.1 主記憶の制御方式

《MELCOM》 $70/20 \cdot 25$ の主記憶装置の記憶素子は 4 K ビット/チップ の N チャンネル ダイナミック MOS メモリ を採用して い る。 1 語の構成は 16 ビット + 1 パリティビット で, 1 モジュール 当た りの記憶容量は 8 K語の ものと 16 K 語のものの 2 種類がある。

主記憶の制御は、中央処理装置の中のメモリバスコントローラ(MBC)が行っている。図 7. において、CPU 又は DMA/SEL チャンネルから MBC に対して主記憶へのリクエスト信号 (FMRQTL) が出されると、MBC はプライオリティロジックにより優先度の最も高いものを選択する。ダイナミック MOS メモリ は、記憶内容の保持のため一定周期でリフレッシュを行う必要があるが、主記憶のリクエストが同時に行われた場合の優先順位はリフレッシュ、SEL チャンネル、DMA チャンネル、CPUの順に設定している。いま仮に CPU が選択されたとすると、MBCは CPU に対してセレクト信号 (PSSLH)を送る。これを受けて CPUはアドレスアウト信号 (MAOTL)を MBC に送り、MBC はこの信号と MBC 内部で作られるメモリビジー解放信号 (MBSYL)とによりメモリリクエスト信号 (MRQTL)を出す。この信号より一定時間後に、MBCはメモリビジー信号 (MBSYL)を出し、主記憶のアクセスが終わるまで次のメモリリクエストを出さないようにする。主記憶装置へのアクセスは READ モードと WRITE モードと READ MODIFY WRITE

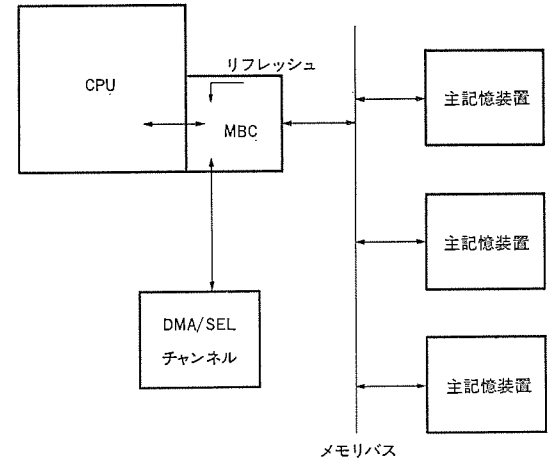


図 7. 主記憶制御の ブロック図

の3種類がある。

(1) READ _{₹-} |

MBC は MRQTL を トリガとして メモリ チッップ イネーブル 信号 (MCETL) を主記憶装置へ送り、CPU から送られる アドレス 信号に従って、主記憶装置は読出 し を 行 う。読出された リードデータ (MCRDOH) は MBC へ送られ、リードデータ ラッッチ 信号 (MRDLH) で MBC の レラスタへとり込まれる。MRDLH も MBC 内部で MRQTL を基準にして発生する タイミンク 信号である。

(2) WRITE ₹-F

MBC は MRQTL を トリガ として MCETL 及び ライト イネーブル 信号 (MWETL), ライトデータ アウト 信号 (MDOTL) を主記憶装置へ送り、 CPU から送られる アドレス に従って主記憶が アクセス され、 ライトデータ (MWDOH) が書込まれる。

DMA チャンネル,SEL チャンネルが選択された場合も主記憶装置の制御方式は同じである。

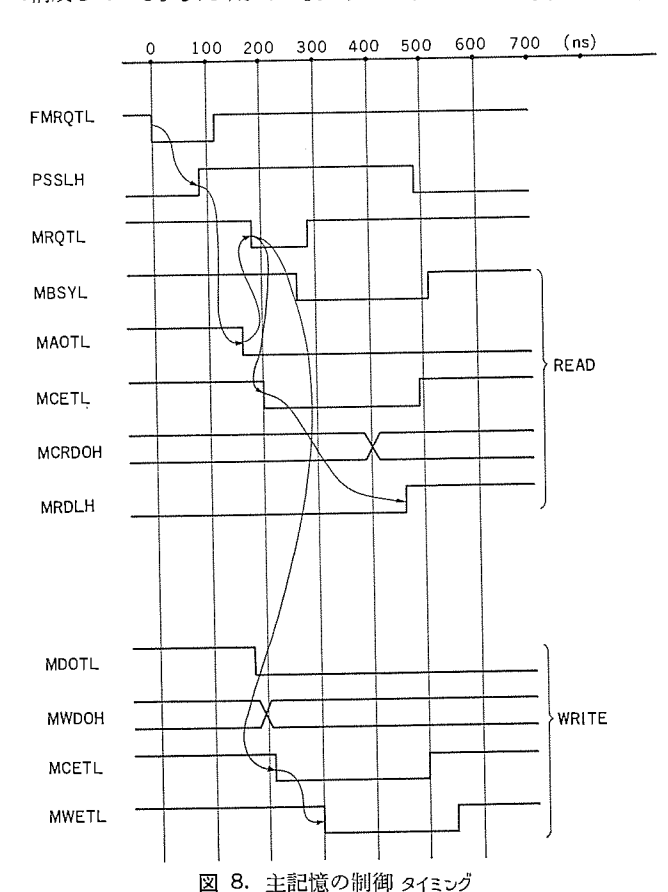
リフレッシュ が選択された場合は, MBC は リフレッシュ カウンタ により, リフレッシュ アドレス を発生し,動作終了時に アドレス を カウントアップ する。 READ MODIFY WRITE $\mathbf{t} = \mathbf{r}$ は, チャンネル による転送時に使用される。

5. 実装方式

図 9. に《MELCOM》 70/20・25 の基本 シャーシ の実装を示す。基本 シャーシ に実装されるものは、 中央処理装置の基本部の カード、 主記 憶装置の カード、ファームウェア オプション の カード、 入出力制御装置の カード 及び電源などである。

5.1 中央処理装置の実装

中央処理装置は 2 枚の ジャンボカード (408 ミリ×430 ミリ) と操作 パネルで構成している。ジャンボカード 1 枚に約 200 石の IC を実装しており,



両面 プリント 基板としては非常に高い実装密度となっている。プリント 導体 パターン は IC の リード 間 (2.54 ミリ) に 2 本を通す仕様でできており、導体幅、間隔ともに最小値が 0.18 ミリ という 高密度 プリント基板を採用している。

5.2 主記憶装置の実装

主記憶装置は 8 K 語のものと 16 K 語のものとがあるが, いずれも 202 z y × 430 z y の両面 プリント 基板に 実装されている。 モデル 20 の 基本 シャーシ には, これらの カードを 3 枚 (容量は 32 K 語まで), モデル 25 の基本 シャーシ には 5 枚 (容量は 64 K 語まで) を実装する スロット が用意されている。

5.3 電源の実装

基本 シャーシ の電源は、シャーシ の最下部に実装し、 カード の実装部と 熱的にしゃへいしている。 電源 シャーシ は、基本 シャーシ から簡単に 取外せる構造になっている。

5. 4 冷却方式

基本 シャーシ は図 10. に示すように、シャーシ の両側面を空気流入口とし、シャーシ の背面の冷却 ファン により シャーシ 外部へ排気する方式とした。 モデル 20 の基本 シャーシ では 2 個、モデル 25 の基本 シャーシ では 3 個の冷却 ファン を使用している。 電源部は内部に更に 1 個の冷却 ファン を使用しており、やはり シャーシ の背面に熱気を吐き出す方式としている。

4 ビットスライス の バイポーラ LSI (1 W/個) 及び 1 K ビット の ROM 素子 (0.5 W/個) などの特に消費電力の大きい素子は、 排気口の近傍に配置し、シャーシ 内部の温度上昇を極力抑えるようにした。

5.5 構造及び設置条件

表 2. に構造及び設置条件を示す。

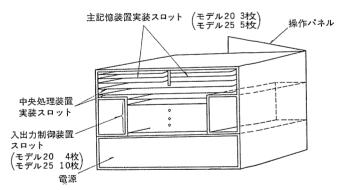


図 9. 《MELCOM》 70/20・25 基本 シャーシ の外観 イメージ

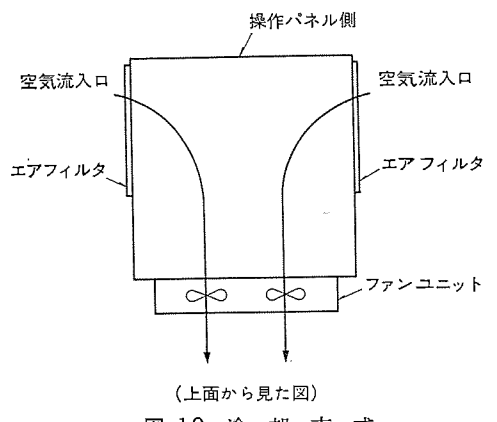


図 10. 冷 却 方 式

表 2. 構造仕様及び設置条件

-			-	M 70/20 基本シャーシ	M 70/25 遊本シャーシ	
	梢		造	ラックマウント形/	/テーブルトップ形	
構金		桶		480 mm	480 mm	
構 (悲本シ	外形寸法	高	ਣੇ	300 mm	400 mm	
†	重 量	奥	行	590 mm	590 mm	
造シ		最大:	祖 强	50 kg	60 kg	
	入出力制御装置 収容スロット			4	10	
設 (基	周四	温	度	0-	~40°C	
設 (基本シ	周 匪	湿	度	10~90	% RH	
条さ	* 1 \ 7		源	AC 100 V±10% 50/60 Hz		
件シ	最 大	折 嬰 電	力	470 V.A	680 VA	

6. 入出力インタフェース

プログラム 制御 チャンネル (PCCH), DMA チャンネル (DMA) の外に,新 シリーズ では更に マルチプレクサ チャンネル (MPX) と セレクタチャンネル (SEL) を付加し、低速から高速に至る多様な入出力装置に対応した チャンネ ル を用意した。図 11. に各入出力 チャンネル の接続関係を,表 3. に 仕様を示す。

以下に新しく付加された MPX と SEL について概略機能を 記述 する。

(1) マルチプレクサ チャンネル (A.1341)

MPX は、PCCH に接続されるような比較的低速の入 出力装置と、DMA に接続される高速の入出力装置の 中間の速度を有する入出力装置の処理用として付加し たもので、中央処理装置の マイクロ プログラム により制御 される。193×89 mm の ミニサイズ の モジュール に 256 語 ×24ビットの ROM 案子が実装されており、 ここには フレキシブルディスク装置の IPL 機能も実装されている。 図 12. に MPX の入出力動作を示す。

MPX はあらかじめ中央処理装置経由で主記憶上に 設定された コントロールワード を参照及び処理しなが ら 入 出力装置と主記憶とのデータ 転送を、 中央処理装置の プログラム の進行とは独立に、 実行させる チャンネル であ り、同時に複数の入出力装置を制御できる。

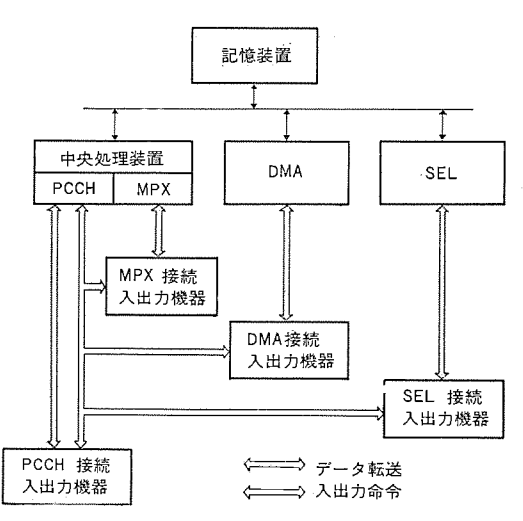


図 11. 入出力 チャンネル の接続関係

表 3. 入出力 チャンネル 仕様

	記し設置との	記憶装置 との転送 優 先 順	転 送 幅	転送速度	最 大 レイテンシ	備考
PCCH	中央処理装置の プログラム制御	4	16 ビット	4~40 K 語/秒		標準
MPX	注) インストラクシ ョン・スチール	3	8/16 ピット	50 K 語 (又はバイト) /砂	58.1 (62.2) μs	オプション
DMA	メモリサイクル・ スチール	2	16 ビット	1.25 M 語/秒	2.9 μs	オプション
SEL	メモリサイクル・ スチール	1	16ピット	1.54 M 語/秒	0.7 μs	オプション

注) インストラクション・スチール

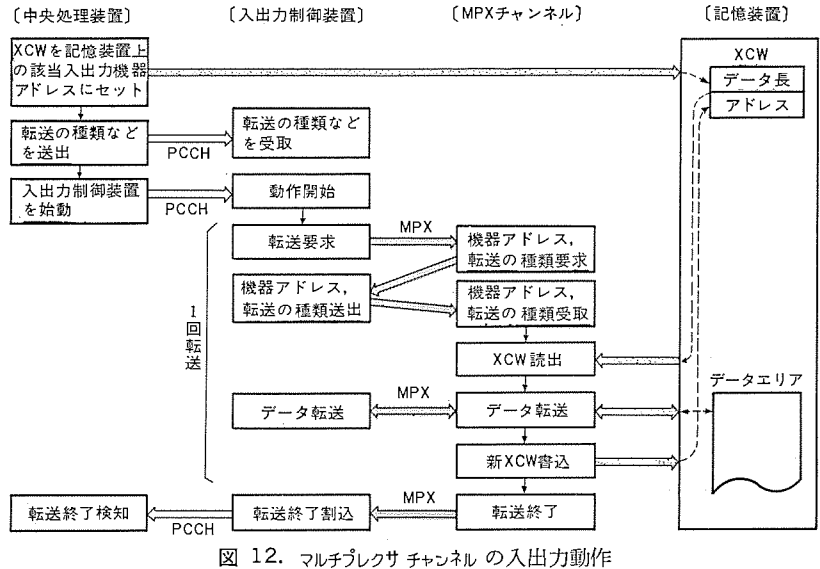
中央処理装置の命令の終わりに MPX 接続入出力制御装置から 転送要求があれば、 次の命令の実行前に MPX が割込記憶装置とのデータ転送を実行する。 ただし、実 行時間が 20 µs より長い命令の場合は、処理の途中で割込み、 MPX 動作終了後命 令の処理が続行される。

(2) セレクタチャンネル (A 1345)

SEL は超高速の入出力装置と記憶装置との データ 転送を制御する チ +ンネル であり, DMA とともに1枚の大形 モジュール に実装されてい る。 SEL は主記憶経由で チャンネル ハードウェア が保持する コントロールワ - ドに従って、データ 転送を行うが、一つの入出力装置の転送が終了 するまでその入出力装置と接続され、他の入出力機器の転送は行わ ない。図 13. は SEL の入出力動作を示す。

7. ソフトウェア

既に《MELCOM》70 により開発・蓄積されてきた アプリケーションソ



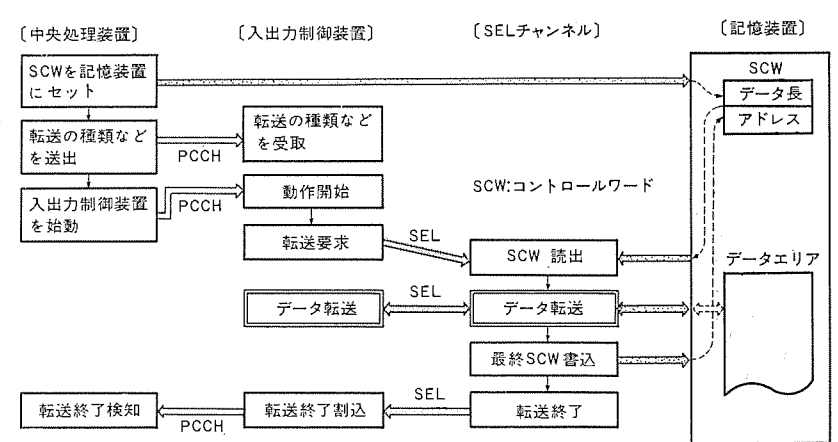


図 13. セレクタ チャンネル の入出力動作

フトウェア は、そのまま新 シリーズ にも適用できるとともに、新 シリーズ の登場により ベーシック ソフトウェア は一段と強化され、 図 14. に示すような ソフトウェア 体系 (MARCS 70) が完成した。

MARCS 70 は、オンライン システム や リアルタイム システム あるいは科学技術計算等の バッチ 処理 システム な ど 高度化・多様化する ユーザ の要求に応じられる ソフトウェア 体系である。ディスクファイル をもたない小規模 システム 用に MARCS 70-C、ディスクファイル をもつ中・大規模 システム 用に MARCS 70-D が用意されており、更に MARCS 70-C では、

プログラムの作成及び デバッグ の段階に効率よく使える BOS と,実か(稼)動時に応答が速く効率のよい RTMS が,MARCS 70-D では,プログラム 開発を能率よく行え, ジョブ の連続処理が行える BDOS と,高度な リアルタイム 処理を サポート する RDOS が用意されている。

8. む す び

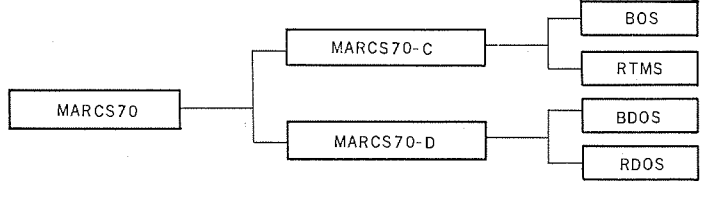
新機種の開発における最大のポイントは、 最新の 技術を採用して機能・性能を向上させながら在来機種との互換性をいかに維持してい

くかという点にある。ソフトウェア及び入出力装置の互換性の維持はややもすれば開発の足かせとなり、種々の技術的な困難を伴う。これらの問題が克服された新機種では開発と同時にシステムがフルに活用されるという大きなメリットが得られている。

日を追って拡大する ミニコン の多様な アプリケーション の中に あって、新 シリーズ の今後の活躍を大い に期待している。

参考文献

- (1) 深尾:《MELCOM》70 の ハードウェア, 三菱電機 技報, 48, No. 6 (昭 49)
- (2) 田原:《MELCOM》70 の基本ソフトウェア,三菱 電機技報,48,No.6 (昭49)



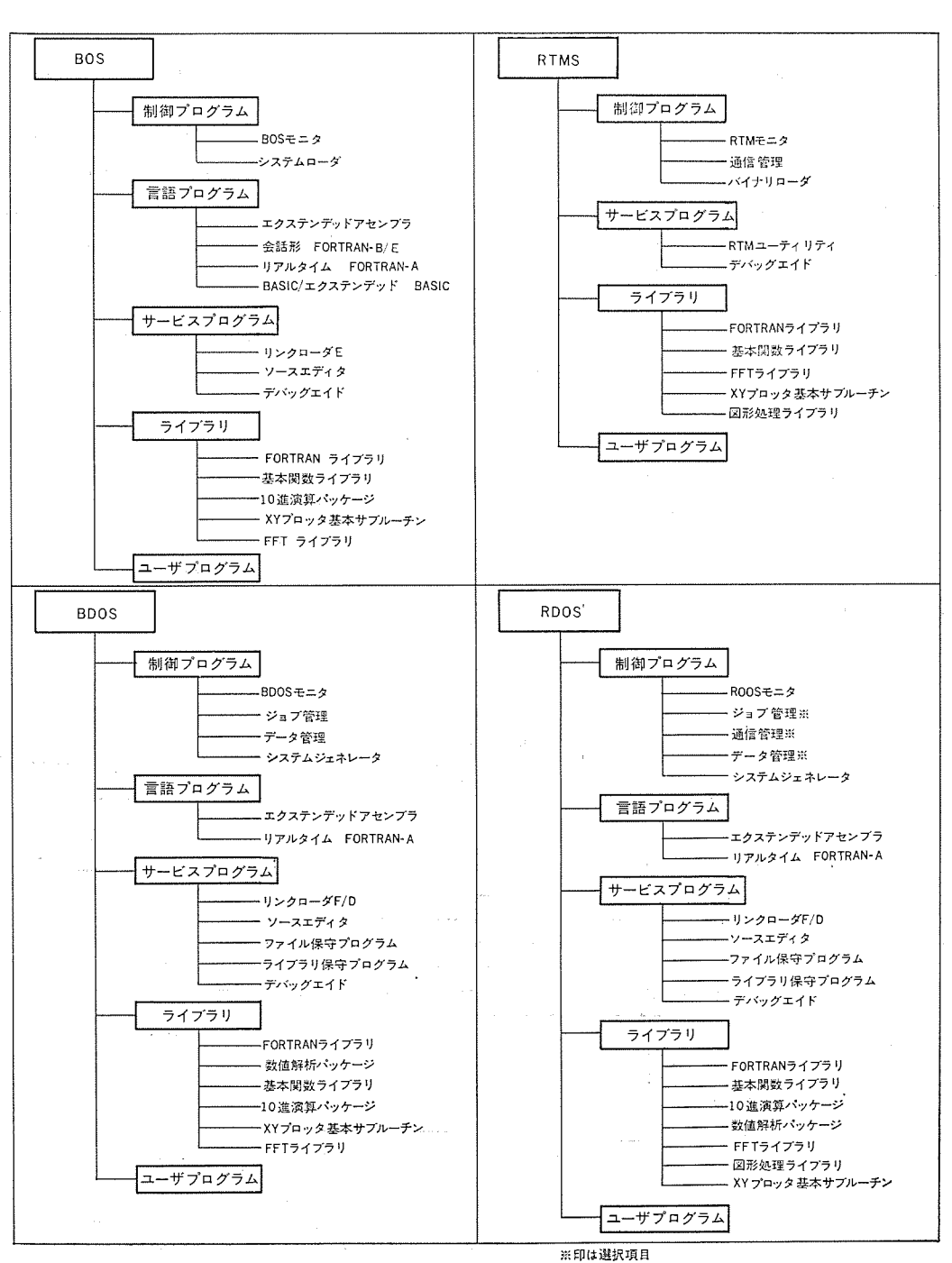


図 14. ソフトウェア体 系

今村長義*·井田芳明*·吉岡武男*·桑原 宏*

1. まえがき

近年、SF₆ ガス は、ガス しゃ断器をはじめとする電力用機器の絶縁 媒体として使われており、更に変圧器、電力用 ケーブル などへの適用 の研究も、各方面でなされている。 SF₆ ガス 使用機器は、今後とも 増加する一方であり、これらの機器の ガス の漏れ(リーク)の検出は、 製作時や保守点検時の重要な問題で、ガスリーク の検査技術の向上が 強く望まれている。 従来の SF₆ ガスリークディテクタ は、 定量的な測定 が困難であり、放射線源を使用しているために法的規制を受け、自 由に移動させて現地機器据付時に手軽に リークテストが実施できない、 大形で重量が重いので、持運びが困難である、などの欠点があるた め、ガスリーク の検査が簡便に実施できなかった。このような欠点を 克服するため、紫外線で大気中の酸素・SF₆ を イオン化し、 その移 動度の差を利用して大気中に含まれる微量の SF₆ ガス 濃度を測定す る小形軽量で定量測定可能な紫外線電離形 SF₆ ガスリーク 量測定器を 開発し、このたび実用化に成功した。ここに、その性能・特長など を紹介する。

2. 開発の意義と特長

SF₆ ガス しゃ断器をはじめとする ガス 絶縁署閉保護装置を, 当社は,業界に先駆けて開発してきた。このような状況の下で検査技術の充実を図るため,次にあげるような特長を持った SF₆ ガスリーク 量測定器を開発した。

(1) 指示直読形である

濃度が指示計から直読でき, 定量測定が可能である。

(2) 放射線を使わない

放射線を使わないので、科学技術庁への届出 の必要はなく、移動が自由である。

- (3) キャリアガスが不要である
- ‡ャリアガス の運搬管理が不要である。
- (4) 取扱い操作が簡単である

真空ポップを使わないので、 取扱い操作が簡 単である。

(5) 高安定性である

周囲温度や湿度の影響を受けず,安定した性 能が得られる。

(6) 高感度である

 SF_6 ガス に対して 0.1 ppm の検出感度がある。

(7) 小形軽量である

3. 原 理

図 1. に紫外線電離形 SF₆ ガスリーク 量測定器の系統図を示す。ガス 検出器は、一定周波数で点滅して紫外線を出す水銀灯、その紫外線を受けて光電子を放出する光電面、イオンを捕集する一定正電位に保たれた網目状加速電極、外部からの ノイズ をしゃへいする網目状補助電極から構成されている。

この測定器の原理は、次のとおりである。水銀灯は、2kHz でパルス状に ON・OFF しており、水銀灯が ON すると、1,849 Å の紫外線が網目状加速電極を通過して光電面に当たり、光電子が放射される光電面と加速電極との間に被檢 ガスが流れると、被検 ガス中の電子付着確率の大きい分子である O_2 、 SF_6 にこの光電子が付着し、それぞれ、 O_2 -、 SF_6 - となる。これらのイオンは、光電面 - 加速電極間に印加されている電界のため、それぞれ等速度で加速電極に向かって移動するが、このときの O_2 -、 SF_6 - の移動速度が異なる。この移動度の違いを利用して SF_6 の量を検出する。光電面 - 加速電極間でイオンの移動があると、検出抵抗に変位電流が流れる。その変位電流 i は

$$i = \sum_{k=1}^{n} \frac{\epsilon v_k}{d} \qquad (1)$$

で表される。

ここに e: イオンの電荷

 v_k : イオン の移動速度

d: 光電面 - 加速電極間の距離

n: イオン の数

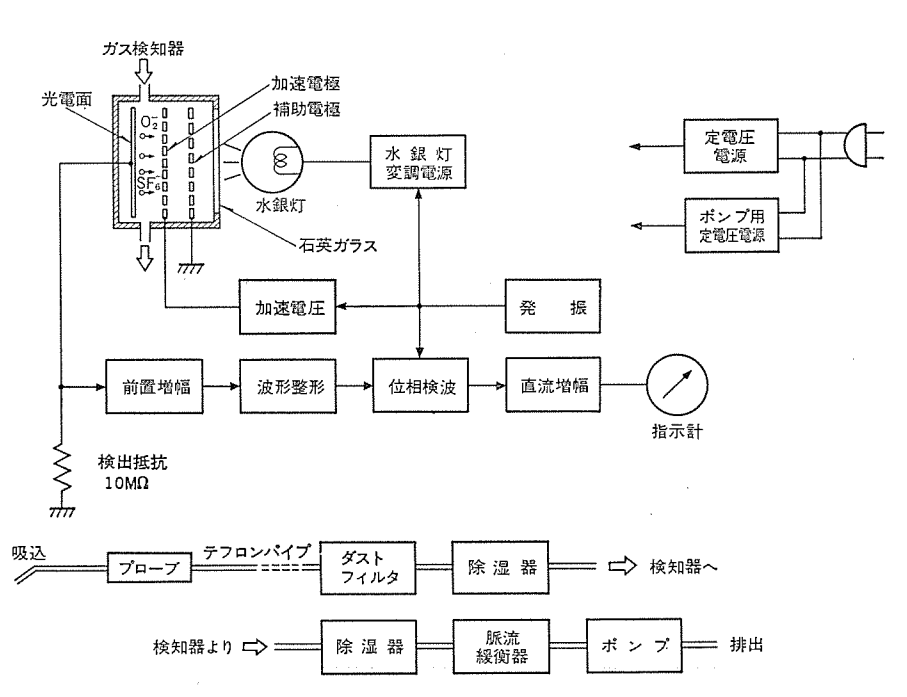


図 1. 紫外線電離形 SF₆ ガスリーク 量測定器の系統図

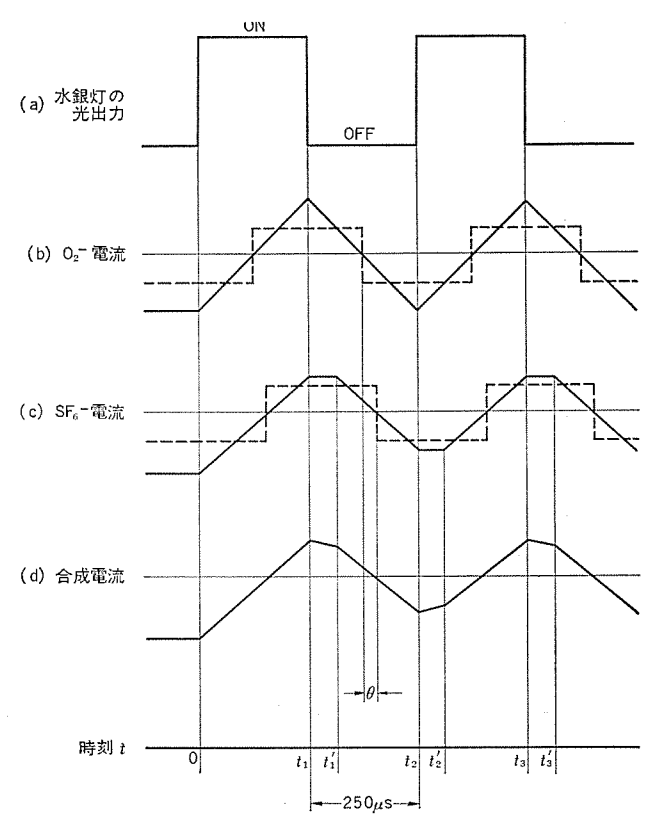


図 2. 光出力と イオン 電流波形

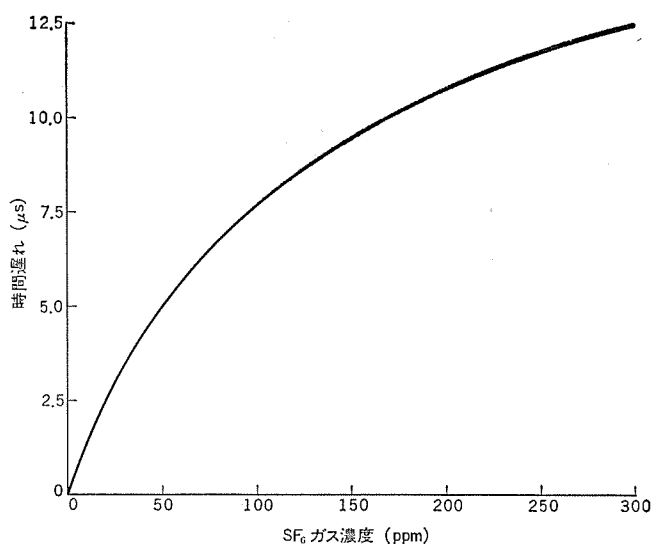


図 3. SF₆ ガス 濃度と位相遅れとの関係

 e, v_k, d は一定であるので、結局 i は 1 は 1 の数に比例することになる。これらの関係を示したのが図 2. である。図において、(a) は水銀灯の光出力波形である。 O_2 - 電流について考えると、時刻 t=0 で水銀灯が ON されると、光電面近傍で次々に 1 なが発生する。その 1 なが等速度で加速電極に向かって移動するので、その数が時間とともに増加し、変位電流が次第に増える。光電面 1 加速電極間に 1 なが充満すれば、変位電流は一定値となる。時刻 1 の下 せした 1 なが、加速電極に達した時刻 1 に水銀灯を 1 の下 すると、変位電流は逆の経過をたどって減少し、時刻 1 に一致させるには、光電面 1 加速電極間距離を適当に選ぶほか、水銀灯の点滅周波数、又は加速電圧の調整による。次に、1 公子 と比べて移動速度が遅い。時刻 1 には、時刻 1

=0 で発生した 74 つは,まだ加速電極に到着していない。 水銀灯は時刻 $t=t_1$ で OFF になり,新しい 74 つの発生がなくなるので,時刻 t=0 で発生した 74 つが加速電極に到着する時刻 $t=t_1$ までは,74 つの数が一定になり,変位電流も一定になる。後は,この繰り返しである。この様子が(c)である。(b),(c)の波形を増幅・整形してく(短)形波に直すと,それぞれ点線で示した波形になる。この点線で示した波形の位相は,(b)は(a)より 90° 遅れており,(c)は(b)より更に 90° だけ遅れている。これを位相検波する。位相検波回路は,通常,比較電圧と 90° 位相がずれた信号波は零, 90° ± 90° の信号に対して 90° に比例した直流出力が得られる から, 00° を除いて 00° の検出ができることになる。

4. 外観と構造

図 4. は,紫外線電離形 SF₆ ガスリーク 量測定器の外観を示す。図 5. は ガス 検知器の外観を,図 6. は ガス 検知器の構造を示す。

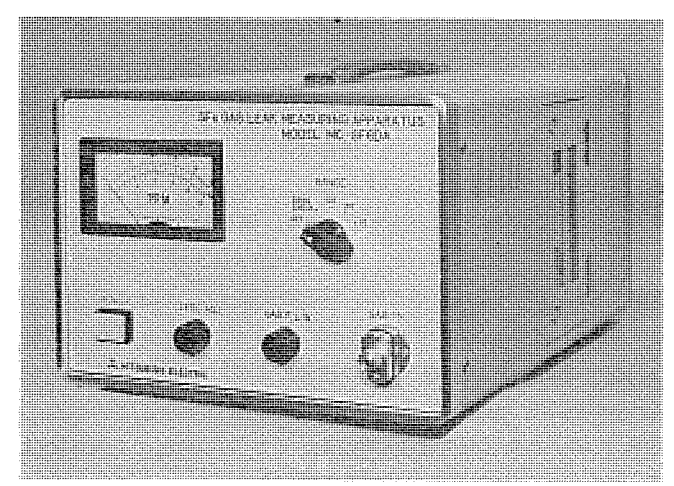
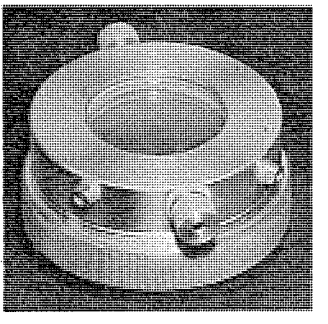


図 4. 紫外線電離形 SF。 ガスリーク 量測定器



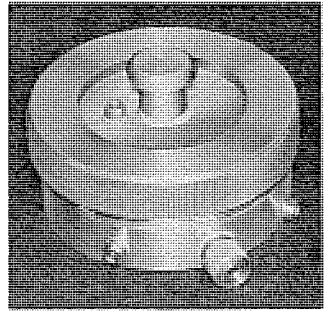


図 5. ガス検 知器

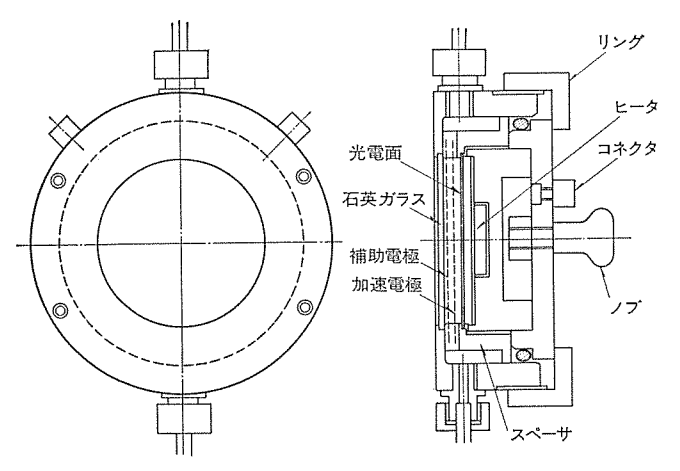


図 6. ガス 検知器の構造

光電面の交換を容易にするため、アルミリングを回して外し、ノブを 引くだけで光電面が簡単に取り出せる構造にしてある。

5. 特 性

5.1 光電面特性

ガス 検知器に使用する光電面としては、 空気中に長時間露出しても 高感度を保ち、疲労の少ないこと、また 1,849 Å の紫外線が照射さ れるために酸化が激しいので、極力酸化されにくいこと、更に SFa ガスにさらされるために硫化されにくいこと等が要求される。 これ らの要求を満たすため、光電面材料として バフ 研摩して アセトン で超 音波洗浄した Ni 板に薄く金めっきを施したものを採用した。図 7. にその経時感度特性を示す。

5.2 温度特性

温度によって変動するのは、イオンの移動度と水銀灯の紫外線輝度で ある。 イオコ の移動度が変化すると、 水銀灯の点滅周波数、加速電 圧,光電面-加速電極間距離を固定しているため,周囲温度によっ て感度が変化するし、零点も移動する。水銀灯の紫外線輝度が変化 すると、感度は変化しないが、 例えば周囲温度が 0℃ になったと き、紫外線輝度が著しく低下するため、イオン電流が減少して S/N が悪くなり、零点の変動が生ずる。また、波形整形回路が理想的で あれば位相ずれは生じないが、 現実の回路では、 入力信号の レベル に応じて位相ずれが生ずるため、零点が変動する。以上の諸点を改 良するため、検知器内の光電面後面に ヒータ を内蔵させ、 かつ水銀 灯周囲をエポキシ樹脂で囲み、その内部にもヒータを配置することで、 これらの温度を コントロール してこう(恒)温化を図った。 この結果, 図 8. に示すような温度特性が得られ、また 0℃付近でも零点変動

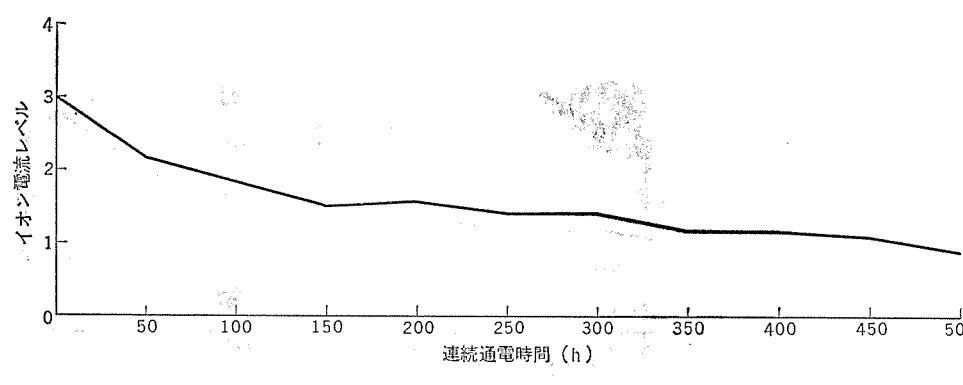
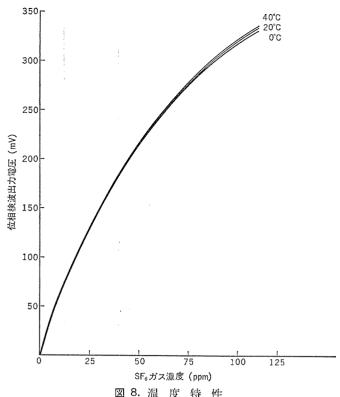


図 7. 光 電 面 特 性





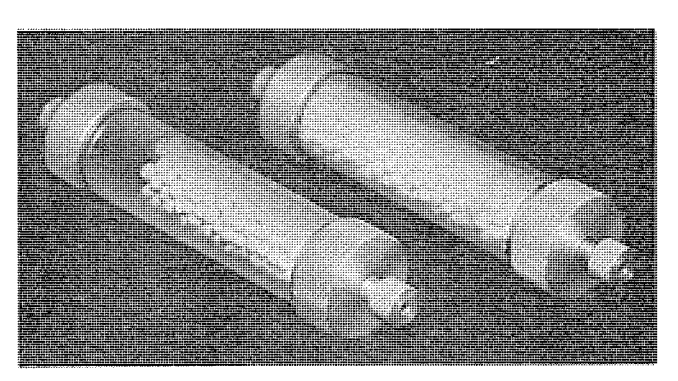


図 9. 除湿器

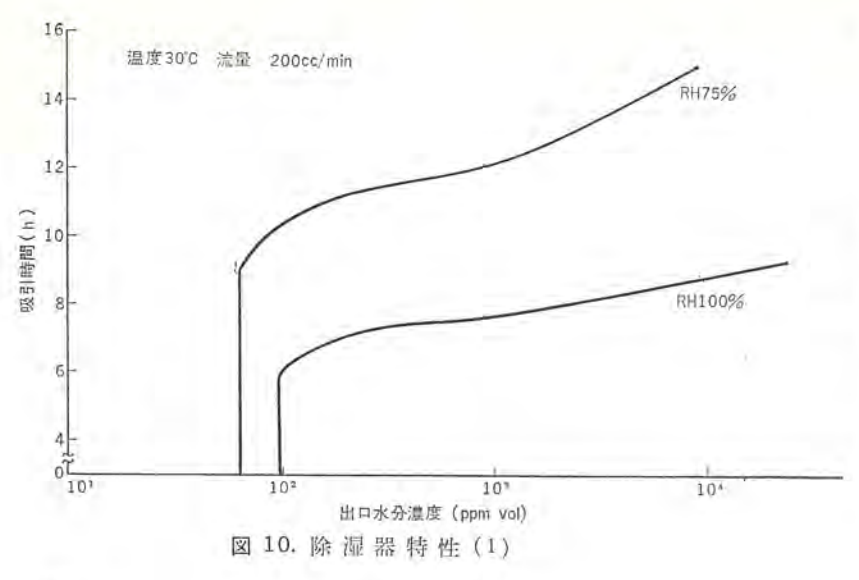
特性が良好になった。

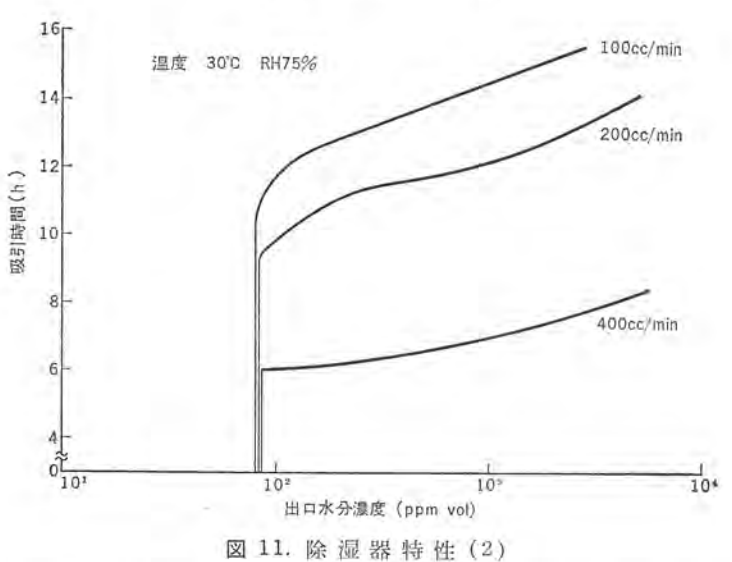
5.3 湿度の影響

大気中に含まれる成分のうち、負 イオンになりやすいものは、O2, H_2O である。本器は、さきに説明したように、大気中に SF_6 ガスが 含まれていないときの イオン 電流と, SFo ガス が混入したときの イオ っ電流の位相を比較する方式であるので、SF₆ ガス が含まれていな いときの イオン 電流の位相に変動があってはならない。 ところが,

> 大気中に含まれる H2O の量は、 温度 ・相対湿度によって絶えず変動するた めに感度に変動を及ぼす。この影響を 除くため、SF6 分子と相互作用をする ことがなく, かつ H2O を除去できる 機能を有する合成 ゼオライト 系吸着剤で ある ゼオラム A-4 を検知器の出入口 に 配置した。

> 除湿器は,全長110mm,外径26 mmφ の容器に約 20 g の ゼオラム を入れ たものである。この ゼオラム の交換時期 を表示するため,塩化コバルト含浸焼結





ガラスの粒子を被検ガス入口から80mmの所に配置した。ゼオラムの 吸湿能力に相当する量の水分が通過すると、この粒子が青色より赤 色に変色するので、ゼオラムを交換する。図9. はその外観である。 図10. は相対湿度を、図11. は流量をパラメータにしたときの除湿 器の寿命特性である。この特性において、直線が折れる時点で塩化 コバルトを含浸した焼結ガラスの粒子が変色する。

6. 仕 様

- (1) 検知器 紫外線電離形
- (2) 測定対象 ガス SF₆ ガス, フロンガス, ハロゲン 系 ガス, その他の 電子捕獲性 ガス

(3) 測定 レンジ MC-SF6DA形: 10, 30, 100 ppm MC-SF6DB形: 30, 100, 300 ppm (SF₆ ガス で校正) MC-SF 6 DA 形: 0.1 ppm (4) 検出感度 MC-SF 6 DB形: 0.5 ppm (5) 繰り返し精度 5% (フルスケール に対して) (6) 4秒 (ただし, ガス導管長 応答時間 さ 0.5 m, ガス 流量 200 cc/ min のとき) (7) 田力 指示計及び出力端子 (フルスケール で約 100 mV の 出力) 0~300 cc/min (8) 吸込み流量 AC 100 V ±10% 50/60 (9) 冠 源 Hz 40 VA 周囲温度; 0°C~40°C (10)使用条件 湿度:95% RH以下 26.5 幅×35 奥行×18 高さ (11) 外形寸法 (cm) 11 kg (12) 重 量 7. む す び

 SF_6 ガス は,電力用 ガス しゃ断器な どの電力機器の絶縁媒体として,その使用量は今後 ますます増加する と思われるが SF_6 ガス の J-D を簡便に直接定量測定できる SF_6 ガスJ-D 量測定器が開発されたことにより,工場ではもちろん,実 Dx-D でも広く使用され, SF_6 ガス 使用機器の製造技術,保全技術の向上に役立つことが期待される。

なお、その安全性(無味、無臭、無害)から、半導体 パッケージ 内への封入 ガス、一般の気密容器の リークテスト にも使用でき、これらへの利用拡大も期待できる。

終わりに、この SF₆ ガスリーク 量測定器の開発にあたり、ご指導・ ご協力をいただいた関係各位に対して厚くお礼申し上げる。

参考文献

(1) R. E. Fox, P. R. Malmberg and R. B. Gosser: The Review of Scientific Instrument, 32, No. 8, P. 898~901 (1961) 注釈, 原理において基本的な考え方を引用した。



我が国最大級のガスタービン発電機を完成

三菱電機はカタール国政府水電力庁向けに、わが国では最大級である98990kVA空冷ガスタービン発電機4セットの1号機を完成しました。

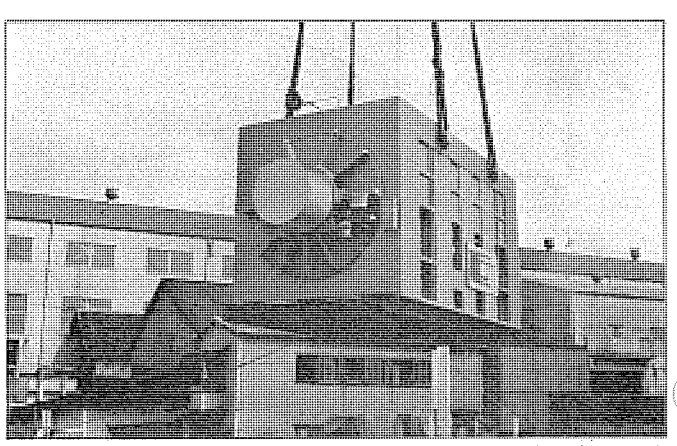
〈特長〉

- ①軸受回りの剛性を高め振動を抑制しました。
- ②騒音を小さくするために吸音材を内ばりした防音カバーを 使用しています。

また、据付場所が高温多湿の海岸であるため錆の防止には次 のような処置を講じました。

- ①すべての油配管と水配管をステンレス製にしました。
- ②クーラ (縦形) には内面にゴムライニングを施した鋼板製 水室を使用しています。
- ③防蝕効果の高い特殊塗装です。

なお、当社は昭和46年、当時世界最大級の2極同期電動機を 新日本製鉄(株)大分製作所に納入した実績をもっています。



処理時の登録機

仕様と

形 式:全閉内冷形空気冷却ガスタービン発電機

出 力: 98990kVA (79190kW)

電 圧:11000V

回転数:2極、3000rpm

力 率:0.80

励 磁:ブラシレス

台 数:4台

9375kWA4極CFC形タービン発電機

三菱電機は9375kVA 4極 CFC 形タービン発電機を製作し、中央板紙(株)恵那工場へ納入しました。

当社のCFC形発電機は幅広い用途にお応えするために、自家 用発電装置から容量10000kWまでそろっています。

なお、CFC とは Cylindrical Field Concentric Windingの略で、積層型の円形回転子コアと同心巻界磁コイルを有する回転界磁形同期発電機です。

〈特長〉

①信頼性が高い

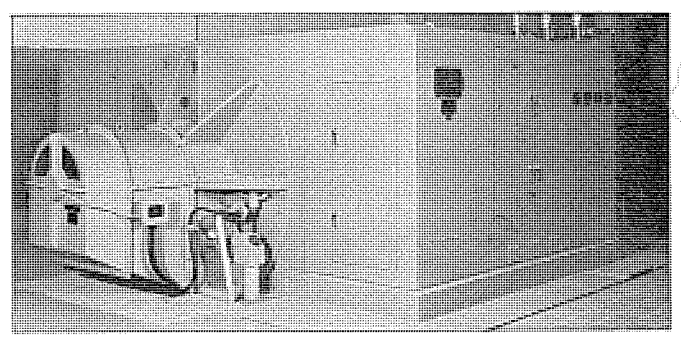
円筒形回転子を採用しましたから、冷却効果が高く軸振動 が少なくなりました。

②時定数が小さく不平衡負荷に強い

回転子表面に強力なダンパ巻線を取付けていますから、並 列運転時のダンピング効果にすぐれ、整流器負荷、不平衡 負荷に強くなりました。

③保守点検が容易

オーバーハング形ブラシレスエキサイタを採用してブラシ、



9375kVA 4極CFC形タービン発電機(現地据付状態)

スリップリング等の摺動部をなくしました。

4)低騒音

回転数が通常の2極タービン発電機の支であるうえ、全閉 内冷形ですから低騒音です。

〈仕様〉

全閉内冷形空気冷却タービン発電機(CFC形) クーラーサイドマウント 9375kVA 7500kW 0.8PF 3300V 3相 4極 60Hz 1800rpm

オーバーハングブラシレス

三菱電機技報・Vol.51・No.3・1977



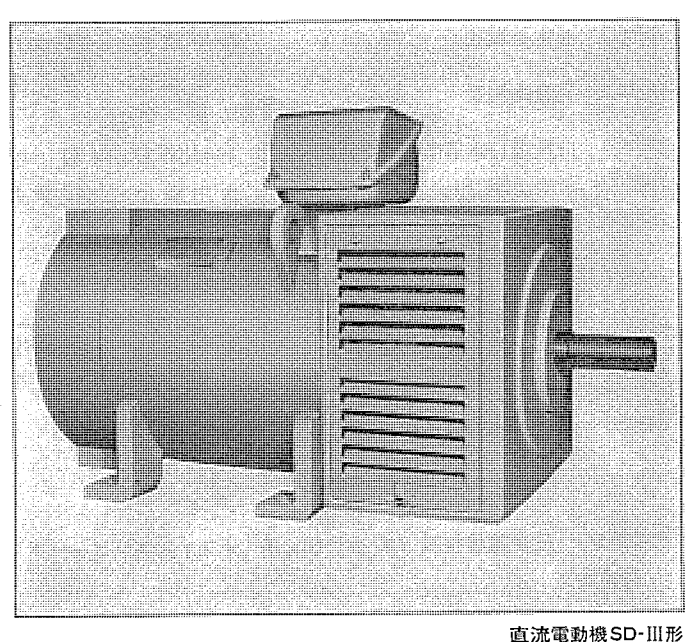
新形三菱直流電動機SD-III形

三菱電機の小形標準直流電動機SD形(出力0.37~110kW、回 転速度300~3500rpm)は、制御性能のすぐれた無段変速駆動 装置として製鉄、非鉄、紡績、化学、工作機、荷役機械等の各 種産業で使用されており、製作実績はすでに1万台を越えて います。最近は電動力応用設備の高性能化にともない需要は さらに伸びています。

三菱電機はこの需要に応え、高級機のイメージの強かった直 流機を小形軽量化するとともに構成部品の標準化により価格 を下げ、誘導電動機並の手軽さで使用できるSD-III形を開発 しました。

〈特長〉

- ①小形・軽量化しました。(当社比2~3割)
- ②信頼性の高いF種無溶剤エポキシワニスの真空全含浸及び TIG溶接(整流子部)です。
- ③慣性を小さくしましたから、早く確実な速度制御が行えます。
- ④積層構造ヨークを採用していますから、サイリスタ電動駆動に 最適です。
- ⑤構成部品を標準化しました。



直流電動機SD-III形

(SD-III形は固定子が従来の凸極構造と異なり、誘導電動機に酷似し た円筒形分布巻構造になっています。)

新形直流電気動力計

従来から直流電気動力計はその優れた制御性能と応用範囲の 〉広さにより、最も高性能な電気動力計としてエンジンの試験 など多くの分野で使用されてきました。

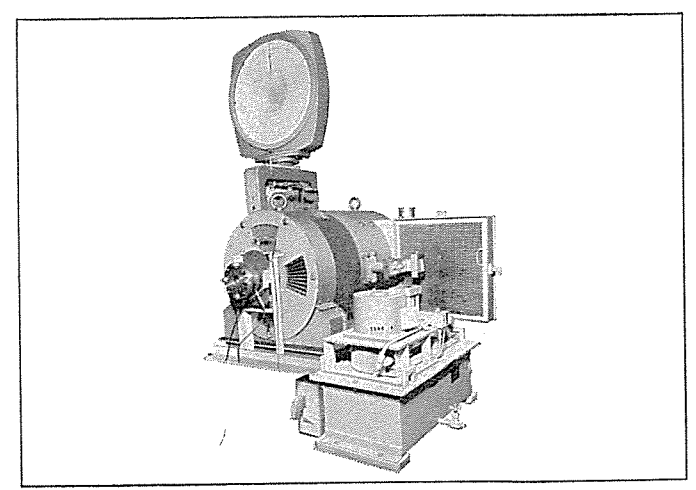
三菱電機はこのほど高精度、小形化、電気式フライホイール 装着の新形直流電気動力計を完成し、三菱直流電気動力計の 用途をさらに広げました。

〈特長〉

- ① 設置スペースを従来品の約%にしました 揺動フレームの下部を直接油圧浮揺させる胴体浮揺型静圧軸 受方式の採用により小形化しました。
- ② 電気式フライホイールを装着しました 電気トルクを制御するだけで簡単に慣性補償ができます。
- ③ 軸トルクの測定が可能

約%の短さです。

- 、トルクを電子的に検出できますから、秤トルク(平均トルク)はも ちろん、軸トルク(変動トルク)も測定できます。
- ④ 応答性を向上させました 本体の最適設計とすぐれた制御回路により応答性を高めました。 また、トルクを電子的に検出できますから、応答時間は秤式の



直流電気動力計

〈仕様〉

- (1)容量、回転数
- (2)定格
- (3)計測精度
- (4)摇動軸受
- (5)慣性範囲
- 150/110kW, 5000/8000rpm
- 連続
- F.S. $\pm 0.15\%$
- 胴体浮摇型静圧軸受方式
- 0.18~0.97kg·m·s²連続可変

登録番号	名称	発	明	背	登録番号	名	称	発	明	省
788918	パッケージ 形回集積回路装置	浜野洋	一・非	村信義	788931	磁気浮上式輸送装置		岩本和	作民・山	田忠利
788919	プラズマ 電子 ビーム 溶接にお ける 溶接割れ防止方法及び装置	赤枝潤二	郎・斎	藤長男	788932 788933	<i>"</i>		岩本新	惟民・山	田忠利
788920	交流 チョッパ 装置の ゲート 回路	矢野昌	雄・朝	枝健明	788934	曲げ加工装置 画像再生方式		森田朝日	豊・北 豊・泉・ 泉・夫	
788921 788922	半導体装置の製造方法 液体金属刷子	杉岡八十 森川 鉄			788935	コアメモリ 装置の記憶下路	内容保護回			木正夫
788923	半導体装置		雄·近 弥	藤 隆	788936 788937	選択液相成長法 磁気浮上装置		三井		田忠利
788924	自動走行車用操向制御装置	下村節	宏・内	海院	788938	スラットコンベア		一 竹内剪		171 167 4.d
788925	液体金属 ブラシ	森川鉄	也・小	林幸人	788939	変調増幅装置		岡野	晃	
788926	角度検出装置	金 井	宏		788940	ディスクメモり		織田世	厚靖・東	山界
788927	無整流子電動機の電動一回生切 換回路	宇野克	己・大	屋英雄	788941	液相成長法		三井	茂	
788928	車両用電気装置の制御方式	上田	敦・石芸	井 光 明	788942	液体燃料焼装置		1		藤利朗井正啓
788929	電気装置の制御方式	上田	敦・石芸	井光明	788943	タービン 遠隔制装置				野征弘
788930	セレン 化亜鉛膜の製造法	{大 西 吉 沢 達		村光一	790018	ディジタル 速度照査器		{石田哲 渡辺貞		居健太

〈次号予定〉 三菱電機技報 Vol. 51 No. 4 オフィスコンピュータ・数値制御特集

特集論文

- ●オフィスコンピュータ《MELCOM》80 シリーズ/モデル8
- ●オフィスコンピュータの入出力装置
- ●オフィスコンピュータ《MELCOM》 80 シリーズ/モデル 11,11 M プログレス
- ●オフィスコンピュータ《MELCOM》80 シリーズ/モデル31 オペレーティングシステム
- ●マイクロプロセッサ《MELDAS》 5000/5100 C
- ●対話形数値制御方式《MELDAS》820

普通論文

- ●最近の電鉄変電所集中管理システム
- ●ND5804形オンライン硫黄分析計
- ●オゾン酸化脱臭装置
- ●航空路管制用レーダ目標検出装置
- ●紫外線エネルギを利用した木材の塗装乾燥法
- ●電子計算機による受変電設備の仕様書・計画図の自動作成シ ステム

定価改正:編集諸費用の高騰により次号 Vol. 51 No. 4 から定価改正いたしますので、ご了承をお願い申し上げます。 **定価**1 部 400 円。

継続して購売と希望の方は年間 (Vol. 51 No. 4 から 1 カ年) 予約価 5,200 円 (送料共) を,(株) オーム社販売課へ現金 書留又は郵便振替でお申し込みください。

三菱電機技報編:	集委員			I _	36年4	#++±D	E1 44 c	
三菱電機技報編奏 長 長 副委員長 『 常任委員 『 常任委員 』 『 』 』 』 』 』 』 』 』 』 』 』 』 』 』 』 』 』	集 松後武佐葛伊北三清阿武福委小松後武佐葛伊北三清阿武川安田部田家員原阅蹀蹀木野原川矢田部田家敬 正 二信三和周 克勒 正 二十二十二十二十二十二十二十二十二十二十二十二十二十二十二十二十二十二十二	常任委員 " ② ② " " " " " " " " " "	茶平遠村熊橋吉山松小本三千谷林藤上本「田崎村野間村葉三庄裕卓」 太 長勝吉和郎司男弥永恭郎肇延啓夫夫正		定価		51 巻 3 300 円 7 300 円 所 元	昭和52年3月22日 印刷 昭和52年3月25日 発行 (送料別) 無断伝載を禁ず本 間 吉 夫高 橋 武 夫 東京都新宿区市谷加賀町1丁目12番地大日本印刷株式会社 東京都千代田区大手町2丁目6番2号(〒100)菱電エンジニアリング株式会社「三菱電機技報社」Tel. (03) 243局1785東京都千代田区神田錦町3丁目1番地(〒100)株式会社オーム社書店
								Tel. (03) 291局0811, 振替口座 東京20018



名古屋市交通局納め

3000形車両用 三菱AVFチョッパ制御装置と主電動機

三菱電機は、鉄道車両用AVFチョッパ制御装置を製作しています。この度、その一環として名古屋市交通局の新線3号線に導入される3000形車両用のAVF(自動可変界磁)チョッパ制御装置と主電動機を製作し納入しました。この3000形車両には右記のような条件が課せられており、三菱AVFチョッパ制御装置と主電動機は条件達成に効果があります。

- ●地下鉄であるため、トンネル内温度上昇の抑制およびトンネル内火災発生の防止
- ●消費電力の節減
- ●保守の簡易化
- 車両重量の軽減および名古屋鉄道との相互乗入れを目的とする高速運転可能性の向上



車両性能・仕様

- ●雷気方式
 - DC1500V 架線方式
- 編成
 - 4M(当初)、6M2T(最終)
- ●加速度
- 3.0km/h/s(200%乗車まで 一定)
- ●減速度
- 75km/h(地下)、 100km/h(地上)

3000形AVFチョッパ制御電車

AVFチョッパ制御装置

この装置は、高速運転可能性の向上、保守の簡易化、車両の 軽量化を目的として製作しました。

(特長)

- ●回生フルブレーキ可能速度を従来のチョッパ方式に比べ約20~25%(従来方式約52km/h、AVF方式約65km/h)向上しました。
- ●界磁制御を自動化しましたから、界磁制御機器(スイッチ・分路 抵抗器・誘導分流器)を必要としません。
- ●連続制御ですから、弱め制御界磁機器が必要なく、簡素で安定性の高い制御系が使用できます。

(主回路方式)

機器の簡素化や電流脈流率低減に効果のある結合リアクトル式二相 二重チョッパ方式です。

〈制御回路方式〉

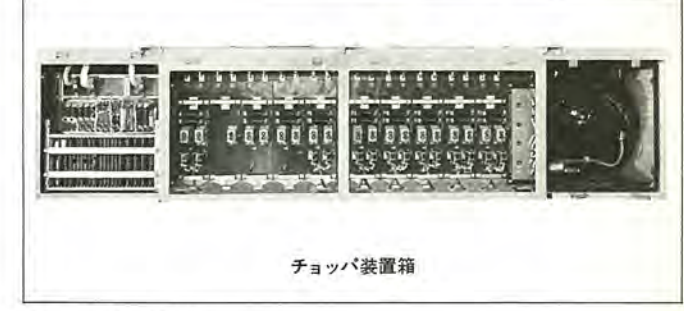
チョッパの合成周波数は、地上信号機器との緩衝を防止するため同じ周波数の486Hzを使用しました。また、電流制御は定周波平均値制御方式で、チョッパゲート制御回路にはICを使用しました。

〈主回路保護方式〉

100km/hからの高速回生制動中に転流失敗が発生した場合でも、速やかに回路をしゃ断して主電動機を保護します。これはディジタルICによる転流失敗検知回路と高速トリップ機構付高速度滅流器との組合わせ、および半導体素子によるAVF界磁短絡で主回路をしゃ断する方式によるものです。

〈チョッパ装置〉

- 2500V、400Aの逆導通サイリスタを使用し、素子数・補助部品の削減を図りました。
- ●半導体スタックを軽量化しました。
- ●リニアICとディジタルICを使用して高信頼化・小形化するとともに 調整部分をなくしました。
- チョッパ箱は、点検を要する構成機器を前面に配置し、保守・点検 を簡易化しました。



チョッパ装置仕様

- ●定格電圧……..DC1500V
- ●定格電流………1100A(最大制御電流)
- ●主電動機………135KW×8台 一括制御
- ●サイリスタ素子…FR-600A×(逆導通)、2500V、400A
- ●ダイオード素子…FD-1000A、2800V、800A
- ●素子構成………MCRF-2S2P×2U、ACRF-2S1P×2U、 FWD-2S1P×2U、AFWD-1S1P×1U、 AFCRF-1S1P×1U、OVCRF-2S1P×1U
- ●転流方式………直列消弧形反発パルス方式

主電動機

耐熱絶縁、密封構造の軸受、長尺ブラシ、ブッシング方式の口 出線などを使用して、信頼性の向上、保守の簡易化を図りました。また、整流子点検力バーをFRP製にして軽量化しました。

〈仕様〉

形名……MB-3210-A

方式……...直流直卷補極付分割界磁制御方式 1時間定格……135KW、375V、395A、1960rpm(80%F)

最弱界磁率……39%